



PROJET EOLIEN DE MAZEROLLES (86)

Etude d'impact acoustique



31 août 2020

Rapport n°476ACO2019-01D



10, Place de la République - 37190 Azay-le-Rideau

Tél : 02 47 26 88 16

E-mail : contact@ereaa-ingenierie.com

www.ereaa-ingenierie.com

SOMMAIRE

| | |
|-------------------------------------------------------------------------------|-----------|
| 1. PREAMBULE..... | 3 |
| 2. Présentation du site et du projet | 3 |
| 3. CONTEXTE REGLEMENTAIRE ET QUELQUES DEFINITIONS..... | 5 |
| 3.1. Contexte réglementaire | 5 |
| 3.1.1. Textes réglementaires | 5 |
| 3.1.2. Contexte normatif..... | 6 |
| 3.2. Généralités sur le bruit | 7 |
| 3.2.1. Quelques définitions | 7 |
| 3.2.2. Commentaires sur les infrasons..... | 9 |
| 3.2.3. Commentaires sur les effets extra-auditifs du bruit | 11 |
| 3.2.4. Echelle de bruit | 14 |
| 3.3. Particularité du bruit des éoliennes | 15 |
| 4. ETAT INITIAL | 16 |
| 4.1. Deroulement de la campagne de mesures | 16 |
| 4.2. Présentation des points de mesures | 20 |
| 4.3. Analyse du bruit résiduel en fonction de la vitesse du vent | 43 |
| 4.3.1. Méthodologie générale..... | 43 |
| 4.3.2. Résultats | 45 |
| 5. ANALYSE PREVISIONNELLE..... | 49 |
| 5.1. Calculs prévisionnels de la contribution du projet..... | 49 |
| 5.1.1. Présentation du modèle de calcul | 49 |
| 5.1.2. Configuration étudiée | 50 |
| 5.1.3. Hypothèses d'émissions..... | 51 |
| 5.1.4. Résultats des calculs | 52 |
| 5.2. Estimation des émergences | 59 |
| 5.2.1. Emergences en mode standard | 59 |
| 5.2.2. Fonctionnement optimisé..... | 66 |
| 5.3. Périmètre de mesure du bruit..... | 69 |
| 5.4. Tonalité marquée | 71 |
| 5.5. Effets cumulés..... | 73 |
| 5.6. Scenarion de référence..... | 74 |
| 6. Conclusion | 75 |
| 6.1. Etat initial..... | 75 |
| 6.2. Analyse prévisionnelle et émergences..... | 75 |
| Annexe..... | 77 |
| Annexe n°1 : Analyses « bruit-vent » | 78 |
| Annexe n°2 : Données des émissions sonore..... | 89 |
| Annexe n°3 : Logiciel de calculs | 99 |

1. PREAMBULE

Ce rapport présente l'étude d'impact acoustique concernant le projet éolien de Mazerolles, situé sur la commune de Mazerolles, dans le département de la Vienne (86).

Le bruit se présente comme un sujet sensible dans le développement de projets éoliens. Ainsi, il est indispensable de réaliser une étude détaillée en amont, intégrant tous les aspects du projet et les différents éléments de l'arrêté du 26 août 2011 relatif aux installations de production d'électricité utilisant l'énergie mécanique du vent.

Ainsi, l'étude acoustique dans son ensemble s'articule autour des trois axes suivants :

- **Campagnes de mesures *in situ*** : détermination du bruit résiduel sur le site en fonction de la vitesse du vent.
- **Calculs prévisionnels** du bruit des éoliennes : estimation de la contribution sonore du projet au droit des habitations riveraines.
- **Analyse de l'émergence** à partir des deux points précédents : validation du respect de la réglementation française en vigueur et, le cas échéant, proposition de solutions adaptées pour y parvenir.

2. PRESENTATION DU SITE ET DU PROJET

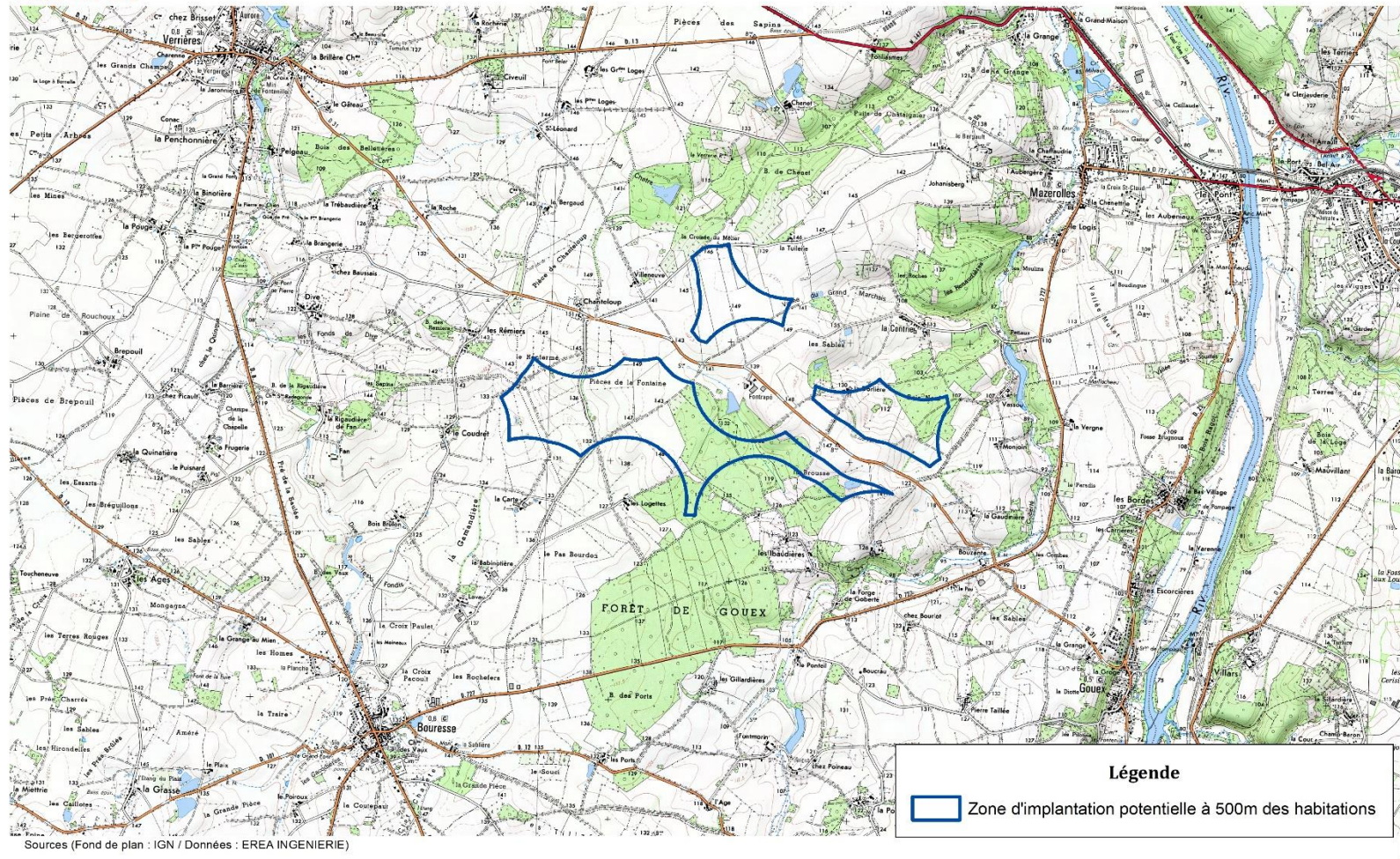
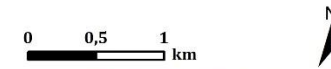
Le projet éolien de Mazerolles se situe au centre du département de la Vienne (86), sur la commune de Mazerolles.

La zone d'étude du projet éolien s'étend en zone rurale où les principales sources de bruit sont les activités humaines, la faune, la flore et les axes de transport plus ou moins fréquentés comme la route départementale RD31.

Le projet de Mazerolles se situe dans la zone présentée sur la carte ci-dessous.



Projet éolien de Mazerolles (86)



Localisation de la zone potentielle d'implantation des éoliennes du projet de Mazerolles

3. CONTEXTE REGLEMENTAIRE ET QUELQUES DEFINITIONS

3.1. CONTEXTE REGLEMENTAIRE

3.1.1. TEXTES REGLEMENTAIRES

La réglementation concernant le bruit des éoliennes est définie par l'**arrêté du 26 août 2011** relatif aux installations de production d'électricité utilisant l'énergie mécanique du vent au sein d'une installation soumise à autorisation au titre de la rubrique 2980 de la législation des installations classées pour la protection de l'environnement (Section 6 – Articles 26 à 31).

La réglementation s'appuie sur 3 paramètres :

- La notion d'émergence
- La présence de tonalité marquée
- Le niveau de bruit maximal de l'installation.

La notion d'émergence est le pilier de la réglementation. Elle représente la différence entre le niveau de pression acoustique pondéré « A » du bruit ambiant (installation en fonctionnement) et du bruit résiduel (en l'absence du bruit généré par l'installation).

L'arrêté définit également les zones à émergences réglementées qui correspondent dans le cas présent à :

- L'intérieur des immeubles habités ou occupés par des tiers, existant à la date de l'autorisation, et leurs parties extérieures éventuelles les plus proches (cour, jardin, terrasse) ;
- Les zones constructibles définies par les documents d'urbanisme opposables aux tiers et publiés à la date de l'autorisation.
- L'intérieur des immeubles habités ou occupés par des tiers qui ont fait l'objet d'une demande de permis de construire, dans les zones constructibles définies ci-dessus, et leurs parties extérieures éventuelles les plus proches (cour, jardin, terrasse), à l'exclusion de celles des immeubles implantés dans les zones destinées à recevoir des activités artisanales ou industrielles, lorsque la demande de permis de construire a été déposée avant la mise en service industrielle de l'installation.

Dans ces zones à émergences réglementées, les émissions sonores des installations ne doivent pas être à l'origine d'une émergence supérieure aux valeurs admissibles définies dans le tableau suivant :

| Niveau de bruit ambiant | Emergence admissible pour la période 7h – 22h | Emergence admissible pour la période 22h – 7h |
|-------------------------|-----------------------------------------------|-----------------------------------------------|
| Supérieur à 35 dB(A) | 5 dB(A) | 3 dB(A) |

Les valeurs d'émergence mentionnées ci-dessus peuvent être augmentées d'un terme correctif en dB(A), fonction de la durée cumulée d'apparition du bruit de l'installation à partir du tableau suivant :

| Durée cumulée d'apparition du bruit (D) | Terme correctif en dB(A) |
|-----------------------------------------|--------------------------|
| 20 minutes < D ≤ 2 heures | + 3dB(A) |
| 2 heures < D ≤ 4 heures | + 2dB(A) |
| 4 heures < D ≤ 8 heures | + 1dB(A) |
| D > 8 heures | 0 dB(A) |

D'autre part, dans le cas où le bruit particulier généré par l'installation d'éoliennes est à **tonalité marquée** au sens du point 1.9 de l'annexe de l'arrêté du 23 janvier 1997, sa durée d'apparition ne peut excéder 30 % de la durée de fonctionnement dans chacune des périodes diurne ou nocturne.

Enfin, **le niveau de bruit maximal de l'installation** est fixé à **70 dB(A) pour la période de jour et de 60 dB(A) pour la période de nuit** en n'importe quel point du **périmètre de mesure du bruit** qui est défini par le rayon R suivant :

$$R = 1,2 \times (\text{hauteur de moyeu} + \text{longueur d'un demi rotor}).$$

En ce qui concerne l'analyse des **impacts cumulés**, les projets à prendre en compte sont définis par l'article R122-5 du Code de l'Environnement :

« Ces projets sont ceux qui, lors du dépôt de l'étude d'impact :

- ont fait l'objet d'un document d'incidences au titre de l'article R. 214-6 et d'une enquête publique ;
- ont fait l'objet d'une étude d'impact au titre du présent code et pour lesquels un avis de l'autorité administrative de l'Etat compétente en matière d'environnement a été rendu public.

Sont exclus les projets ayant fait l'objet d'un arrêté au titre des articles R. 214-6 à R. 214-31 mentionnant un délai et devenu caduc, ceux dont la décision d'autorisation, d'approbation ou d'exécution est devenue caduque, dont l'enquête publique n'est plus valable ainsi que ceux qui ont été officiellement abandonnés par le pétitionnaire ou le maître d'ouvrage. »

3.1.2. CONTEXTE NORMATIF

Les niveaux résiduels (ou ambiants lorsque les éoliennes sont en service) doivent être déterminés à partir de mesures *in situ* conformément à la norme NFS 31-010 de décembre 1996 "caractérisation et mesurage des bruits de l'environnement". Celle-ci impose notamment que les mesures soient effectuées dans des conditions de vents inférieurs à 5 m/s à hauteur du microphone. La norme NFS 31-114, dans sa version de juillet 2011, a pour objectif de compléter et de préciser certains points pour l'adapter aux projets éoliens. Dans ce rapport, il est fait référence à sa version de juillet 2011. Le présent document est conforme aux normes actuellement en vigueur en France, et prend en compte la tendance des évolutions normatives en cours.

3.2. GENERALITES SUR LE BRUIT

Le bruit est un phénomène complexe à appréhender : la sensibilité au bruit varie, en effet, selon un grand nombre de facteurs liés aux bruits eux-mêmes (l'intensité, la fréquence, la durée, ...), mais aussi aux conditions d'exposition (distance, hauteur, forme de l'espace, autres bruits ambiants, ...) et à la personne qui les entend (sensibilité personnelle, état de fatigue, attention qu'on y porte...).

3.2.1. QUELQUES DEFINITIONS

Niveau de pression acoustique

La pression sonore s'exprime en Pascal (Pa). Cette unité n'est pas pratique puisqu'il existe un facteur de 1 000 000 entre les sons les plus faibles et les sons les plus élevés qui peuvent être perçus par l'oreille humaine.

Ainsi, pour plus de facilité, on utilise le décibel (dB) qui a une échelle logarithmique et qui permet de comprimer cette gamme entre 0 et 140.

Ce niveau de pression, exprimé en dB, est défini par la formule suivante :

$$L_p = 10 \log \left(\frac{p}{p_0} \right)^2$$

où p est la pression acoustique efficace (en Pascals).
 p_0 est la pression acoustique de référence (20 μ Pa).

Fréquence d'un son

La fréquence correspond au nombre de vibrations par seconde d'un son. Elle est l'expression du caractère grave ou aigu du son et s'exprime en Hertz (Hz).

La plage de fréquence audible pour l'oreille humaine est comprise entre 20 Hz (très grave) et 20 000 Hz (très aigu).

En dessous de 20 Hz, on se situe dans le domaine des infrasons et au dessus de 20 000 Hz on est dans celui des ultrasons. Infrasons et ultrasons sont inaudibles pour l'oreille humaine.

Pondération A

Afin de prendre en compte les particularités de l'oreille humaine qui ne perçoit pas les sons aigus et les sons graves de la même façon, on utilise la pondération A. Il s'agit d'appliquer un « filtre » défini par la pondération fréquentielle suivante :

| Fréquence (Hz) | 63 Hz | 125 Hz | 250 Hz | 500 Hz | 1 kHz | 2 kHz | 4 kHz | 8 kHz |
|----------------|-------|--------|--------|--------|-------|-------|-------|-------|
| Pondération A | -26 | -16 | -8,5 | -3 | 0 | 1 | 1 | -1 |

L'unité du niveau de pression devient alors le décibel « A », noté dB(A).

Arithmétique particulière du décibel

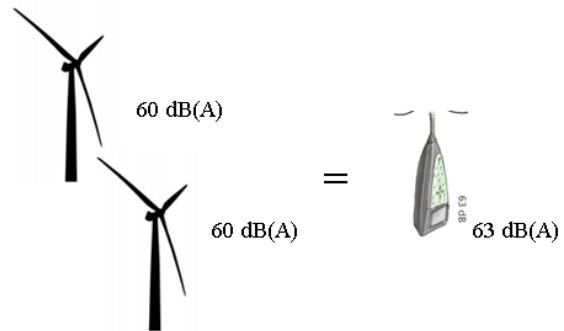
L'échelle logarithmique du décibel induit une arithmétique particulière. En effet, les décibels ne peuvent pas être directement additionnés :

- **60 dB(A) + 60 dB(A) = 63 dB(A)** et non 120 dB(A) !

Quand on additionne deux sources de même niveau sonore, le résultat global augmente de 3 décibels.

- **60 dB(A) + 70 dB(A) = 70 dB(A)**

Si deux niveaux de bruit sont émis par deux sources sonores, et si l'une est au moins supérieure de 10 dB(A) par rapport à l'autre, le niveau sonore résultant est égal au plus élevé des deux (effet de masque).



Notons que l'oreille humaine ne perçoit généralement de différence d'intensité que pour des écarts d'au moins 2 dB(A).

Indicateurs L_{Aeq} et L_{50}

Les niveaux de bruit dans l'environnement varient constamment, ils ne peuvent donc être décrits aussi simplement qu'un bruit continu.

Afin de les caractériser simplement on utilise le niveau équivalent exprimé en dB(A), noté L_{Aeq} , qui représente le niveau de pression acoustique d'un bruit stable de même énergie que le bruit réellement perçu pendant la durée d'observation.

Il est défini par la formule suivante, pour une période T :

$$L_{Aeq,T} = 10 \log \left[\frac{1}{(t_2 - t_1)} \int_{t_1}^{t_2} \frac{p_A^2(t)}{p_0^2} dt \right]$$

où $L_{Aeq,T}$ est le niveau de pression acoustique continu équivalent pondéré A déterminé pour un intervalle de temps T qui commence à t_1 et se termine à t_2 .

p_0 est la pression acoustique de référence (20 μ Pa).

$p_A(t)$ est la pression acoustique instantanée pondérée A.

On peut également utiliser les indices statistiques, notés L_x , qui représentent les niveaux acoustiques atteints ou dépassés pendant x % du temps.

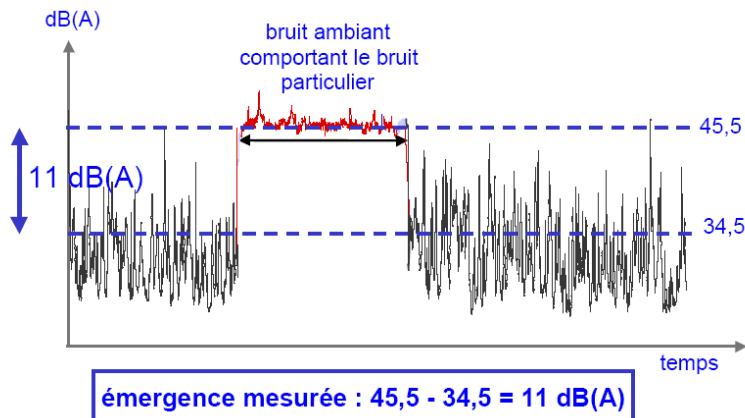
Par exemple, dans le cas de projets éoliens, nous faisons généralement le choix de l'indicateur **L_{50}** (niveau acoustique atteint ou dépassé pendant 50 % du temps) comme bruit préexistant pour le calcul des émergences car il permet une élimination très large des événements particuliers liés aux activités humaines. Il correspond en fait au bruit de fond dans l'environnement.

Notion d'émergence

L'article 2 de l'arrêté du 26 août 2011 définit l'émergence de la manière suivante :

« L'émergence est définie par la différence entre les niveaux de pression acoustique pondérés « A » du bruit ambiant (installation en fonctionnement) et du bruit résiduel (en l'absence du bruit généré par l'installation). »

Le schéma ci-dessous illustre un exemple d'émergence mesurée :



3.2.2. COMMENTAIRES SUR LES INFRASONS



Les infrasons, définis par des fréquences inférieures à 20 Hz, sont inaudibles par l'oreille humaine. Les sons de basses fréquences sont définis pour des fréquences comprises entre 20 Hz et 200 Hz alors que les infrasons sont des sons générés avec des fréquences inférieures à 20 Hz.

Les émissions d'infrasons peuvent être d'origine naturelle ou technique, par exemple :

- les activités humaines (exemple : trafic routier, activités agricoles, sites industriels, etc) dont les bruits ont une grande variabilité temporelle et dépendent des activités locales,
- le vent sur des obstacles,
- la végétation (sous l'effet du vent).

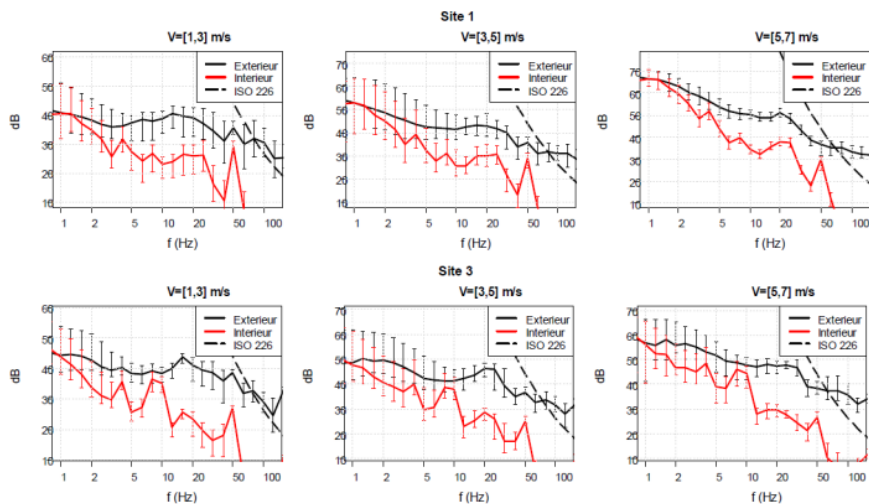
L'ANSES (l'Agence nationale de sécurité sanitaire de l'alimentation, de l'environnement et du travail) a publié en mars 2017 un avis sur le rapport relatif à l'expertise collective « Évaluation des effets sanitaires des basses fréquences sonores et infrasons dus aux parcs éoliens ». Ce document a pour objectif :

- de conduire une revue des connaissances disponibles en matière d'effets sanitaires auditifs et extra-auditifs dus aux parcs éoliens, en particulier dans le domaine des basses fréquences et des infrasons ;
- d'étudier les réglementations mises en œuvre dans les pays, notamment européens, confrontés aux mêmes problématiques ;
- de mesurer l'impact sonore de parcs éoliens, notamment de ceux où une gêne est rapportée par les riverains, en prenant en compte les contributions des basses fréquences et des infrasons ;
- de proposer des pistes d'amélioration de la prise en compte des éventuels effets sur la santé dans la réglementation, ainsi que des préconisations permettant de mieux appréhender ces effets sanitaires dans les études d'impact des projets éoliens.

Concernant les effets sanitaires, les réponses apportées s'appuient sur un très grand nombre de données disponibles. Dans un premier temps, il est constaté un fort déséquilibre entre les sources bibliographiques primaires (documents relatifs à des expériences ou études scientifiques originales) et secondaires (revues de la littérature scientifique ou articles d'opinion). En effet, les sources secondaires sont nombreuses alors que le nombre de sources primaires qu'elles sont censées synthétiser est limité. Cette particularité, ajoutée à la divergence très marquée des conclusions de ces revues, montre clairement l'existence d'une forte controverse publique sur cette thématique.

En l'absence de Directive européenne spécifique au bruit des éoliennes ou aux infrasons et basses fréquences de toutes sources sonores, il n'existe pas actuellement d'harmonisation réglementaire en Union Européenne sur ces sujets. Seuls des réglementations ou référentiels nationaux sont actuellement disponibles. Parmi les référentiels nationaux qui prennent en compte l'exposition aux bruits basses fréquences, seuls quelques uns incluent des dispositions spécifiques aux parcs éoliens, à l'exception des pénalités pour tonalités marquées, lorsqu'elles sont présentes. Seul le Danemark a intégré officiellement la prise en compte des basses fréquences dans sa réglementation sur l'impact sonore des parcs éoliens. Mais les valeurs d'isolement prises pour le calcul des niveaux d'exposition aux basses fréquences sonores à l'intérieur des habitations sont controversées.

La campagne de mesure réalisée par l'Anses pour différents parcs éoliens confirme que les éoliennes sont des sources de bruit dont la part des infrasons et basses fréquences sonores prédomine dans le spectre d'émission sonore. D'autre part, ces mesures ne montrent aucun dépassement des seuils d'audibilité dans les domaines des infrasons et basses fréquences sonores (< 50 Hz).



Seuil d'audition ISO 226 (tirets noirs). Barres verticales : intervalles contenant 75 % des échantillons autour de la médiane des niveaux sonores de chaque tiers d'octave

Spectres médians à l'extérieur (noir) et à l'intérieur (rouge) du logement

L'avis de l'agence nationale de sécurité sanitaire de l'alimentation, de l'environnement et du travail donne les conclusions suivantes. De manière générale, les infrasons ne sont audibles ou perçus par l'être humain qu'à de très forts niveaux. À la distance minimale d'éloignement des habitations par rapport aux sites d'implantations des parcs éoliens (500 m) prévue par la réglementation, les infrasons produits par les éoliennes ne dépassent pas les seuils d'audibilité. Par conséquent, la gêne liée au bruit audible potentiellement ressentie par les personnes autour des parcs éoliens concerne essentiellement les fréquences supérieures à 50 Hz.

L'expertise met en évidence le fait que les mécanismes d'effets sur la santé regroupés sous le terme « *vibroacoustic disease* », rapportés dans certaines publications, ne reposent sur aucune base scientifique sérieuse. Un faible nombre d'études scientifiques se sont intéressées aux effets potentiels sur la santé des infrasons et basses fréquences produits par les éoliennes. **L'examen de ces données expérimentales et épidémiologiques ne mettent pas en évidence d'argument scientifique suffisant en faveur de l'existence d'effets sanitaires liés aux expositions au bruit des éoliennes, autres que la gêne liée au bruit audible et un effet nocebo, qui peut contribuer à expliquer l'existence de symptômes liés au stress ressentis par des riverains de parcs éoliens.**

L'Anses conclut que les connaissances actuelles en matière d'effets potentiels sur la santé liés à l'exposition aux infrasons et basses fréquences sonores ne justifient ni de modifier les valeurs limites existantes, ni d'étendre le spectre sonore actuellement considéré.

Dans ce contexte, l'Agence recommande :

- de renforcer l'information des riverains lors de l'implantation de parcs éoliens, notamment en transmettant des éléments d'information relatifs aux projets de parcs éoliens au plus tôt (avant enquête publique) aux riverains concernés et en facilitant la participation aux enquêtes publiques ;
- de renforcer la surveillance de l'exposition aux bruits, en systématisant les contrôles des émissions sonores des éoliennes avant et après leur mise en service et en mettant en place des systèmes de mesurage en continu du bruit autour des parcs éoliens (par exemple en s'appuyant sur ce qui existe déjà dans le domaine aéroportuaire) ;
- de poursuivre les recherches sur les relations entre santé et exposition aux infrasons et basses fréquences sonores, notamment au vu des connaissances récemment acquises chez l'animal et en étudiant la faisabilité de réaliser une étude épidémiologique visant à observer l'état de santé des riverains de parcs éoliens.

L'Agence rappelle par ailleurs que la réglementation actuelle prévoit que la distance d'une éolienne à la première habitation soit évaluée au cas par cas, en tenant compte des spécificités des parcs. Cette distance, au minimum de 500 m, peut être étendue à l'issue de la réalisation de l'étude d'impact, afin de respecter les valeurs limites d'exposition au bruit.

| |
|-------------------------------------------------------------------------------------------------------------------------|
| On ne peut donc pas attribuer à l'émission d'infrasons d'éoliennes la moindre dangerosité ou gêne des riverains. |
|-------------------------------------------------------------------------------------------------------------------------|

3.2.3. COMMENTAIRES SUR LES EFFETS EXTRA-AUDITIFS DU BRUIT

Les effets extra-auditifs du bruit sont nombreux mais difficiles à attribuer de façon exclusive au bruit en raison de l'existence de nombreux facteurs différents.

Le rapport de l'Afsset (renommé à ce jour Anses – Agence nationale chargée de la sécurité sanitaire de l'alimentation, de l'environnement et du travail), de mars 2008, intitulé « impacts sanitaires du bruit généré par le éoliennes », recense les différents effets extra-auditifs suivants.

Les perturbations du sommeil

Il est démontré que le bruit peut entraîner une perturbation du sommeil. Le sommeil est nécessaire pour la survie de l'individu et une forte réduction de sa durée entraîne des troubles parfois marqués, dont le principal est la réduction du niveau de vigilance, pouvant conduire à de la fatigue, à de mauvaises performances, et à des accidents.

Selon le rapport de l'Afsset, il a été montré que les bruits intermittents ayant une intensité maximale de 45 dB (A) et au-delà, peuvent augmenter la latence d'endormissement de quelques minutes à près de 20 minutes.

Un parc éolien, avec une distance réglementaire d'au moins 500 m ne permettant pas d'atteindre des niveaux de 45 dB(A) à l'intérieur d'une habitation, il n'existe pas ou peu de risque de perturbation du sommeil dû au bruit des éoliennes.

Les troubles chroniques du sommeil

Les bruits de basses fréquences perturbent le sommeil et provoquent son interruption, par périodes brèves. Ces effets n'existent que par l'audition et ne sont pas sensibles pour des sensations vibratoires.

Ces effets ne sont pas spécifiques des éoliennes.

Les effets sur la sphère végétative

La sphère végétative comprend divers systèmes dont le fonctionnement n'est pas dépendant de la volonté. Le bruit est susceptible d'avoir des effets sur certains systèmes de la sphère végétative :

- Le système cardiovasculaire : hypertension artérielle chez les personnes soumises à des niveaux de bruit élevés de façon chronique.
- Le système respiratoire : accélération du rythme respiratoire sous l'effet de la surprise.
- Le système digestif : troubles graves tels que l'ulcère gastrique en cas d'exposition chronique à des niveaux sonores élevés.

Les niveaux sonores d'un parc éolien perçus à plus de 500 m, ne sont pas considérés comme suffisamment élevés pour induire des effets sur la sphère végétative.

Les effets sur le système endocrinien et immunitaire

L'exposition au bruit est, selon certaines études, susceptible d'entraîner une modification de la sécrétion des hormones liées au stress que sont l'adrénaline et la noradrénaline. Plusieurs études rapportent également une élévation du taux nocturne de cortisol sous l'effet d'un bruit élevé (hormone qui traduit le degré d'agression de l'organisme et qui joue un rôle essentiel dans la défense immunitaire de ce dernier).

Dans une étude réalisée autour de l'aéroport de Munich, il a été montré que les adultes et les enfants exposés au bruit des avions présentent une élévation du taux des hormones du stress associée à une augmentation de leur pression artérielle.

Les niveaux sonores d'un parc éolien ne sont pas du tout comparables aux niveaux de bruit émis par un aéroport.

Les effets sur la santé mentale

Le bruit est considéré comme étant la nuisance principale chez les personnes présentant un état anxio-dépressif et joue un rôle déterminant dans l'évolution et le risque d'aggravation de cette maladie.

La sensibilité au bruit est très inégale dans la population, mais le sentiment de ne pouvoir « échapper » au bruit auquel on est sensible constitue une cause de souffrance accrue qui accentue la fréquence des plaintes subjectives d'atteinte à la santé.

Afin de synthétiser les différents effets extra-auditifs, le tableau ci-après, extrait d'un rapport publié de 2013 de l'institut national de santé publique du Québec, « Eoliennes et santé publique – synthèse des connaissances – mise à jour », présente les effets liés à l'exposition prolongée au bruit.

Ce même rapport précise, **qu'en ce qui concerne le niveau de bruit des éoliennes, à l'heure actuelle, aucune évidence scientifique ne suggère qu'il engendre des effets néfastes pour la santé des personnes vivant à proximité** (perte d'audition, effets cardiovasculaires, effets sur le système hormonal, etc.).

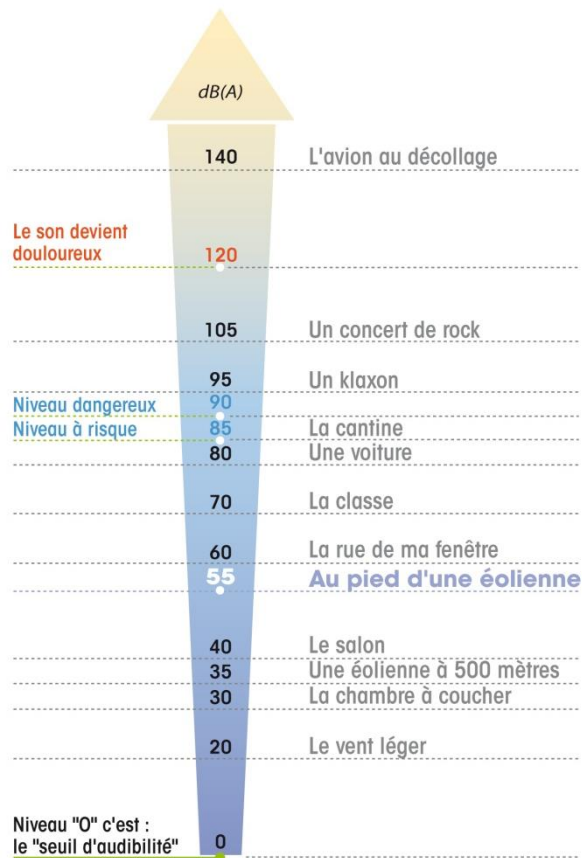
| Effet | Classification de l'évidence | Observation des valeurs seuil | | |
|-----------------------------------------|------------------------------|-------------------------------|----------------|---------------------|
| | | Mesure | Valeur (dB(A)) | Intérieur/Extérieur |
| Détérioration auditive | Suffisante | L _{Aeq, 24 h} | 70 | Intérieur |
| Hypertension | Suffisante | L _{dn} | 70 | Extérieur |
| Cardiopathie ischémique | Suffisante | L _{dn} | 70 | Extérieur |
| Effets biochimiques | Limitée | | | |
| Effets immunologiques | Limitée | | | |
| Poids à la naissance | Limitée | | | |
| Effets congénitaux | Manquante | | | |
| Troubles psychiatriques | Limitée | | | |
| Nuisance | Suffisante | L _{dn} | 42 | Extérieur |
| Taux d'absentéisme | Limitée | | | |
| Bien-être psychosocial | Limitée | | | |
| Performance | Limitée | | | |
| Troubles du sommeil, changements dans : | | | | |
| Tracé du sommeil | Suffisante | L _{Aeq, nuit} | < 60 | Extérieur |
| Éveil | Suffisante | SEL | 55 | Intérieur |
| Stades | Suffisante | SEL | 35 | Intérieur |
| Qualité subjective | Suffisante | L _{Aeq, nuit} | 40 | Extérieur |
| Fréquence cardiaque | Suffisante | SEL | 40 | Intérieur |
| Niveaux hormonaux | Limitée | | | |
| Système immunitaire | Inadéquate | | | |
| Humeur du lendemain | Suffisante | L _{Aeq, nuit} | < 60 | Extérieur |
| Performance du lendemain | Limitée | | | |

Source : Traduit de Passchier-Vermeer et Passchier, 2000²².

3.2.4. ECHELLE DE BRUIT

A titre d'information, l'échelle de bruit ci-dessous permet d'apprécier et de comparer différents niveaux sonores et types de bruit.

Ainsi, la contribution sonore au pied d'une éolienne est de l'ordre de 50 à 60 dB(A) selon le type, la hauteur et le mode de fonctionnement. Ces niveaux sonores sont comparables en intensité à une conversation à voix « normale ».



Echelle de bruit (Source : France Energie Eolienne)

3.3. PARTICULARITE DU BRUIT DES EOLIENNES

Les trois phases de fonctionnement suivantes sont généralement retenues pour définir les différentes sources de bruit issues d'une éolienne :

- A des vitesses de vent inférieures à environ 3 m/s à 10 m du sol, les pales restent immobiles et l'éolienne ne produit pas. Le faible bruit perceptible est issu du bruit aérodynamique du frottement de l'air sur le mât et les pales.
- A partir d'une vitesse d'environ 3 m/s à 10 m du sol, l'éolienne se met tout juste en fonctionnement et fournit une puissance qui augmente en fonction de la vitesse du vent jusqu'à environ 10 à 15 m/s selon le modèle. Le bruit est composé du bruit aérodynamique du frottement de l'air sur le mât et du frottement des pales dans l'air, ainsi que du bruit des systèmes mécaniques. On notera que la variation de la vitesse de rotation des pales n'est presque pas perceptible visuellement.
- Au-delà de 10 à 15 m/s à 10 m du sol, l'éolienne entre en régime nominal avec une production constante. Le bruit est alors composé du bruit aérodynamique qui augmente avec la vitesse du vent, le bruit mécanique restant quasiment constant.

L'émission sonore des éoliennes varie donc selon la vitesse du vent et la condition la plus défavorable pour le riverain est lorsque la vitesse du vent est suffisante pour faire fonctionner les éoliennes en mode de production, mais pas assez importante pour que le bruit du vent dans l'environnement masque le bruit des éoliennes.

La plage de vent correspondant à cette situation est globalement comprise entre 3 et 10 m/s à 10 m du sol et l'analyse acoustique prévisionnelle doit porter sur ces vitesses de vent.

4. ETAT INITIAL

4.1. DEROULEMENT DE LA CAMPAGNE DE MESURES

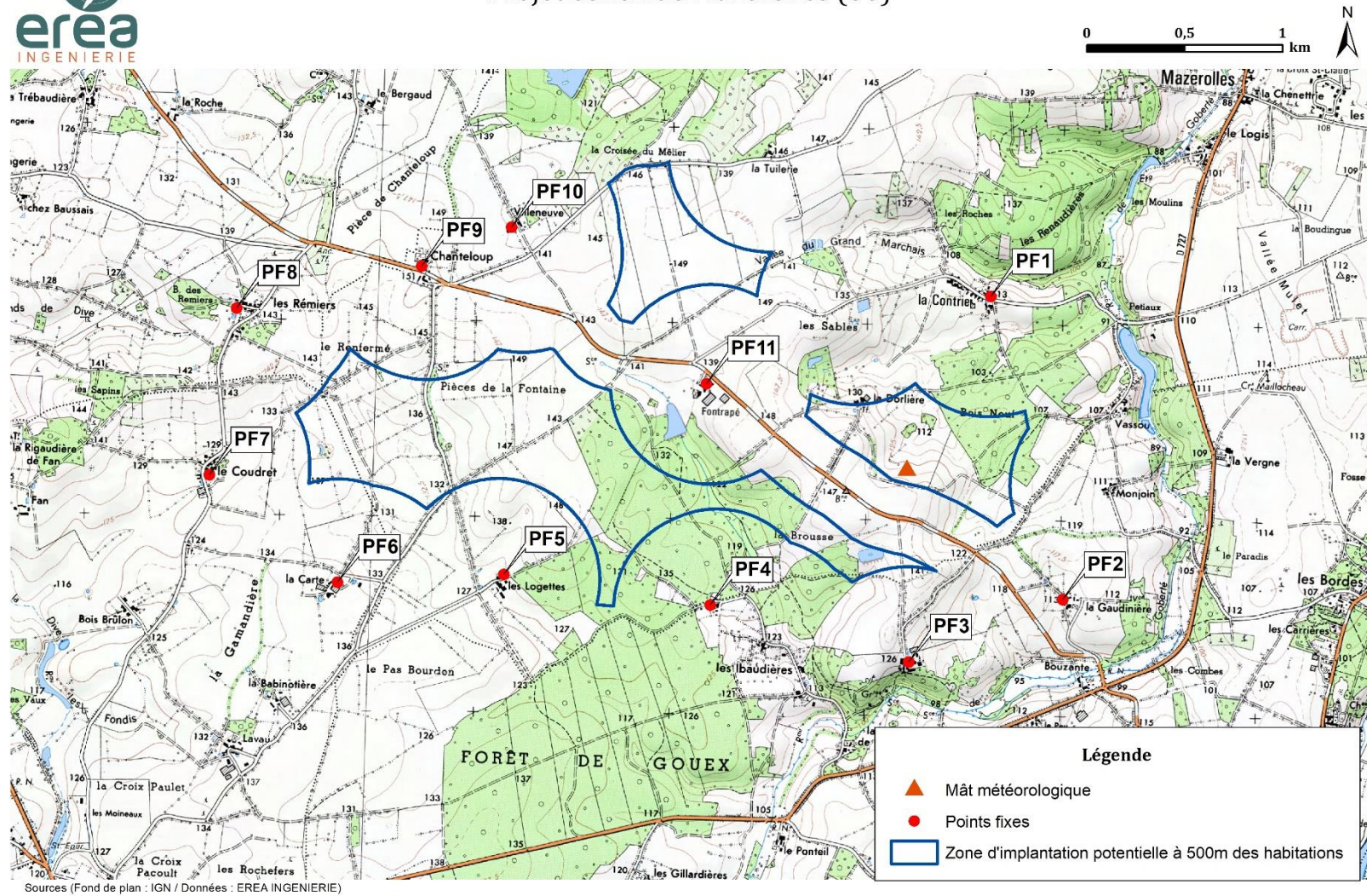
Une campagne de mesures *in situ* a été réalisée sur une période de 40 jours, du 2 juillet au 9 août 2019, afin de caractériser au mieux les différentes ambiances sonores présentes autour de la zone d'implantation potentielle (ZIP).

Cette campagne se compose de **11 points fixes**, placés au droit des habitations les plus exposées au projet. L'ambiance sonore générale est représentative d'une zone rurale traversée et bordée par plusieurs routes départementales (D31 et D727).

La carte suivante localise les 11 points de mesures réalisés et le mât météorologique.



Projet éolien de Mazerolles (86)



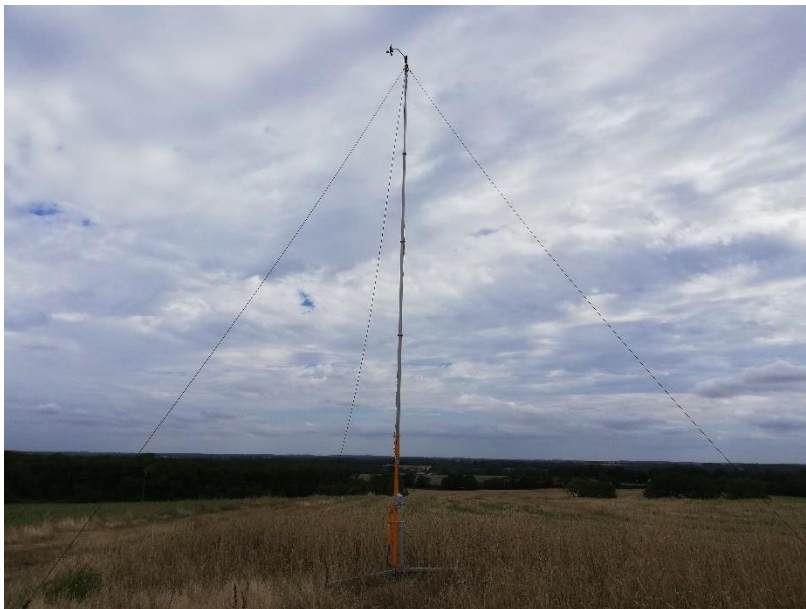
Localisation des points de mesures acoustiques et du mât météorologique

Il est précisé qu'un point fixe consiste en l'acquisition d'un niveau sonore toutes les secondes pendant toute la période de mesurage.

La campagne de mesures a été effectuée conformément au projet de norme NF S 31-114 dans sa version de juillet 2011. Les appareils de mesures utilisés sont des sonomètres analyseurs statistiques (classe 1) de type FUSION et SOLO de la société 01dB Acoem; les données sont traitées et analysées par informatique.

D'une manière générale, les points de mesures sont placés à minimum 2 m des obstacles (mur, façade...).

A hauteur des microphones (à environ 1,50 m du sol), la vitesse de vent est inférieure à 5 m/s lors des mesures (vent faible ou masqué par les habitations), conformément à la norme NFS 31-110. Une station météo est placée à 10 m de hauteur à l'aide d'un mât positionné sur la zone d'étude. Il se présente donc dans une configuration représentative du site d'implantation des éoliennes.

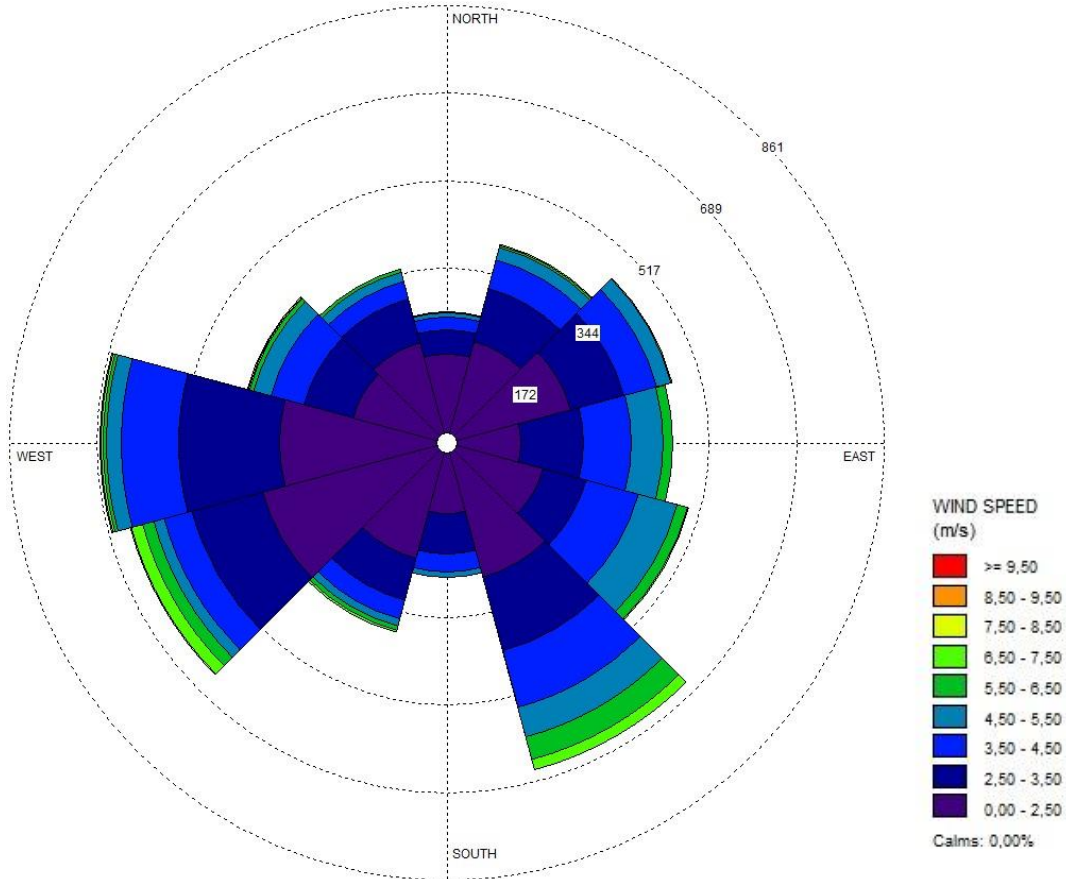


Photographie du mât de mesures météorologiques

Les données météorologiques (vitesse et direction du vent) extraites de cette station météo présente sur la zone d'étude sont utilisées pour réaliser les analyses dans la suite de ce rapport. Ces données sont relevées toutes les 10 minutes.

Les conditions météorologiques étaient globalement les suivantes lors de la campagne de mesures acoustiques :

- La vitesse de vent maximale relevée est de 8,1 m/s à 10 m du sol en période de jour et 8,5 m/s à 10 m du sol en période de nuit ;
- Le vent provient principalement de l'ouest, du sud-ouest et du sud-est sur la période de mesures.



Roses des vents du 2 juillet au 9 août 2019

Les conditions de vents pendant la campagne de mesures acoustiques sont caractéristiques des conditions de vents généralement rencontrées sur le site de l'étude. En effet, les vents dominants sont des vents provenant du secteur sud-ouest. Les mesures ont donc été réalisées dans des conditions représentatives du site.

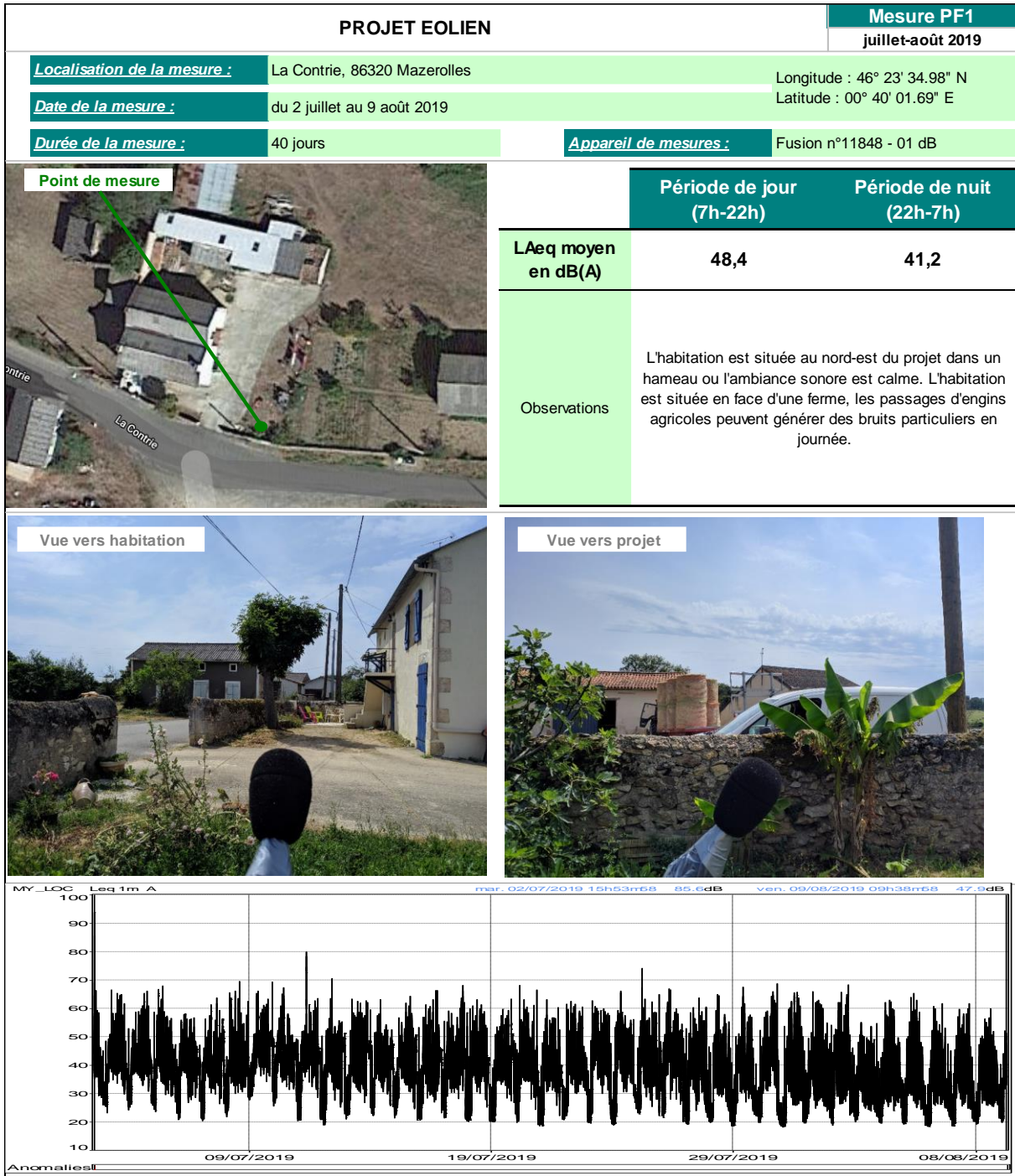
4.2. PRESENTATION DES POINTS DE MESURES

Pour les 11 points de mesures, les fiches ci-après présentent les informations suivantes :




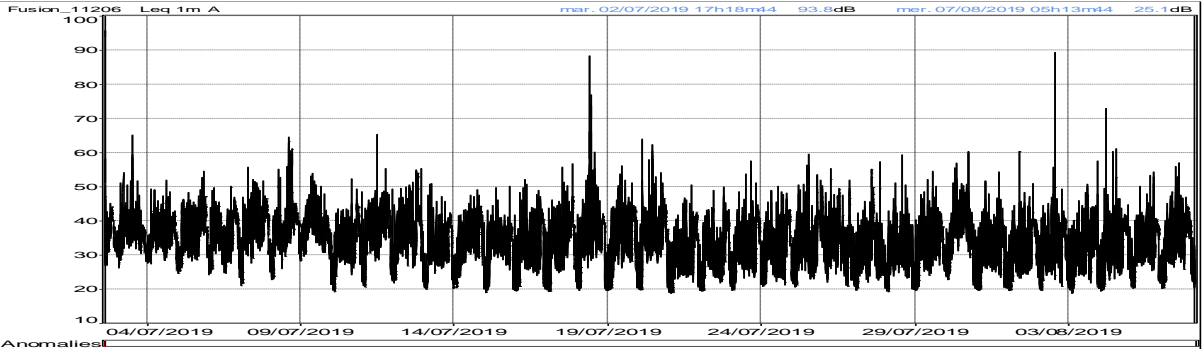
- caractéristiques du site
- photographies et repérage du point de mesure
- évolution temporelle du niveau de bruit
- listing des niveaux L_{Aeq} et L_{50} sur chaque période réglementaire de jour et de nuit
- niveau L_{Aeq} moyen sur chacune des périodes réglementaires.

Remarque :

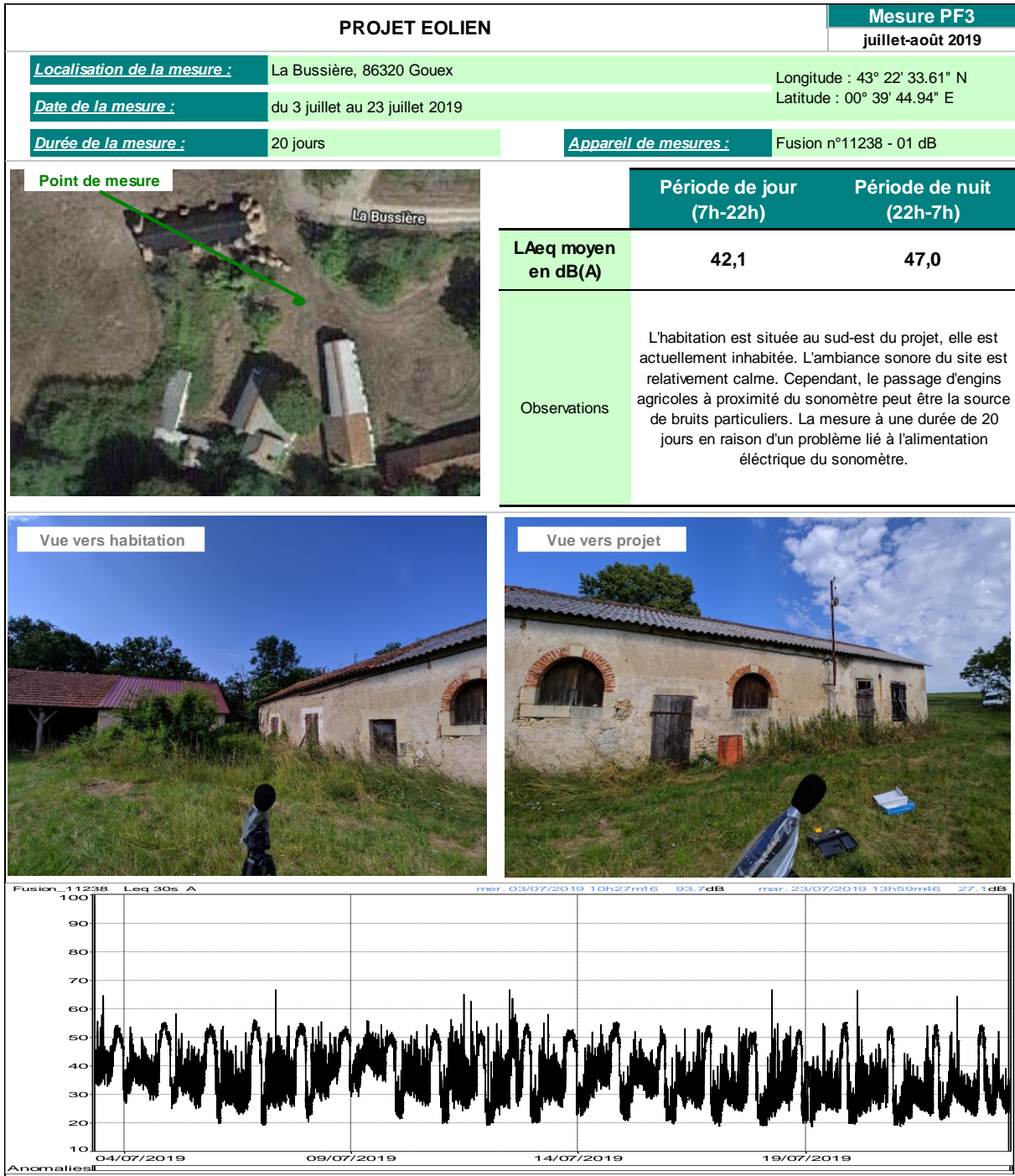
Si l'on observe des périodes qui sont marquées par des événements particuliers (type : véhicule au ralenti devant le microphone, aboiements répétés, pompes, etc.), elles ne seront pas prises en compte dans le bruit résiduel pour le calcul des émergences. Dans la mesure où l'émergence est calculée à partir des niveaux L_{50} (qui correspondent aux niveaux sonores atteints ou dépassés pendant 50% du temps), la plupart de ces événements particuliers sont évacués automatiquement.



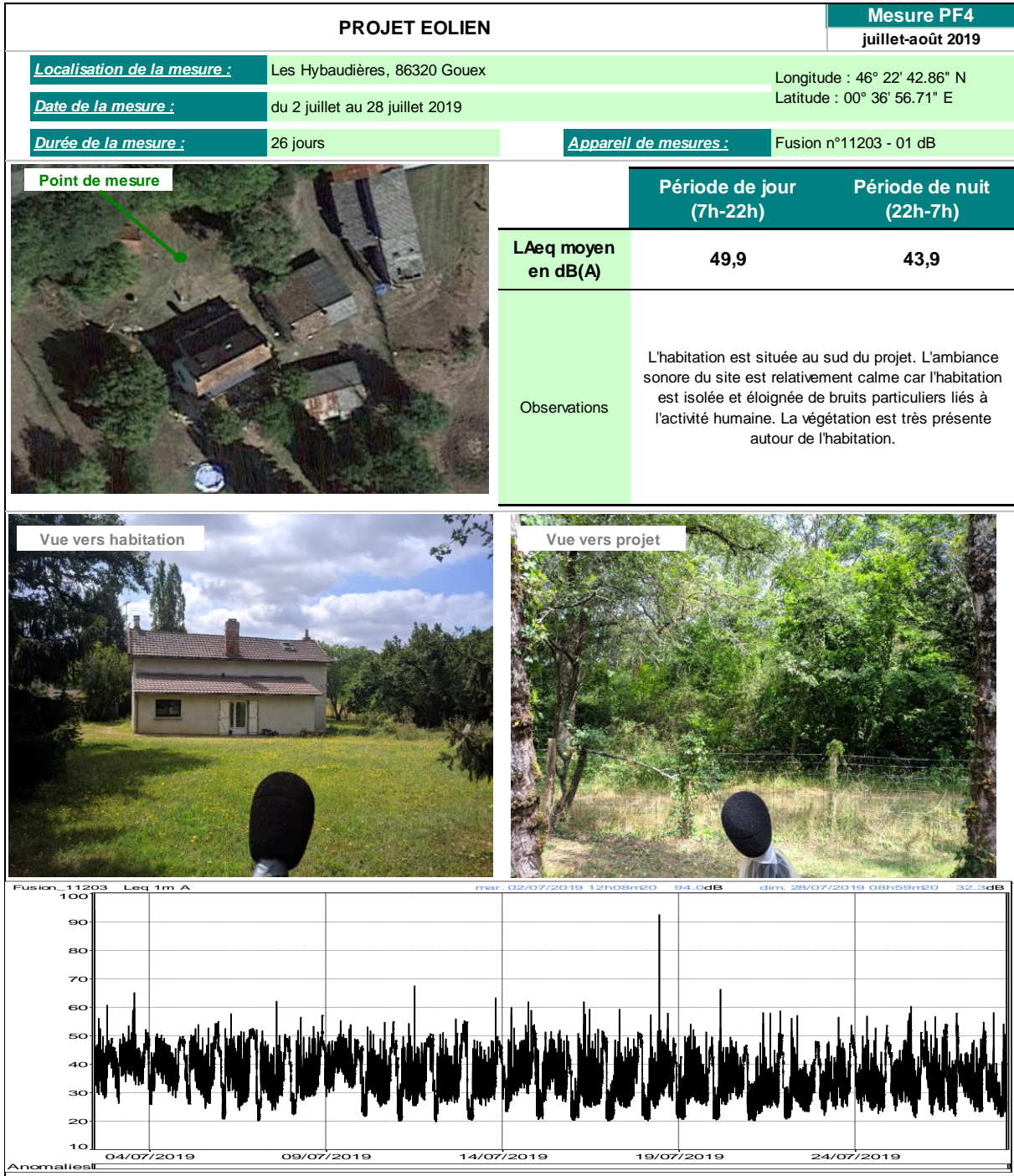
| Début | Fin | Période | LAeq | L50 |
|------------------|------------------|---------|------|------|
| 02/07/2019 22:00 | 03/07/2019 07:00 | Nuit | 37,2 | 33,3 |
| 03/07/2019 07:00 | 03/07/2019 22:00 | Jour | 50,2 | 41,7 |
| 03/07/2019 22:00 | 04/07/2019 07:00 | Nuit | 39,6 | 30,5 |
| 04/07/2019 07:00 | 04/07/2019 22:00 | Jour | 49,2 | 40,8 |
| 04/07/2019 22:00 | 05/07/2019 07:00 | Nuit | 39,7 | 34,0 |
| 05/07/2019 07:00 | 05/07/2019 22:00 | Jour | 49,5 | 39,6 |
| 05/07/2019 22:00 | 06/07/2019 07:00 | Nuit | 40,6 | 33,8 |
| 06/07/2019 07:00 | 06/07/2019 22:00 | Jour | 44,4 | 39,4 |
| 06/07/2019 22:00 | 07/07/2019 07:00 | Nuit | 40,4 | 33,1 |
| 07/07/2019 07:00 | 07/07/2019 22:00 | Jour | 45,9 | 38,7 |
| 07/07/2019 22:00 | 08/07/2019 07:00 | Nuit | 45,1 | 34,0 |
| 08/07/2019 07:00 | 08/07/2019 22:00 | Jour | 49,1 | 39,7 |
| 08/07/2019 22:00 | 09/07/2019 07:00 | Nuit | 43,6 | 33,7 |
| 09/07/2019 07:00 | 09/07/2019 22:00 | Jour | 52,1 | 43,9 |
| 09/07/2019 22:00 | 10/07/2019 07:00 | Nuit | 45,1 | 34,3 |
| 10/07/2019 07:00 | 10/07/2019 22:00 | Jour | 48,7 | 40,8 |
| 10/07/2019 22:00 | 11/07/2019 07:00 | Nuit | 46,4 | 42,1 |
| 11/07/2019 07:00 | 11/07/2019 22:00 | Jour | 57,7 | 41,5 |
| 11/07/2019 22:00 | 12/07/2019 07:00 | Nuit | 43,2 | 34,7 |
| 12/07/2019 07:00 | 12/07/2019 22:00 | Jour | 47,4 | 38,8 |
| 12/07/2019 22:00 | 13/07/2019 07:00 | Nuit | 42,5 | 27,7 |
| 13/07/2019 07:00 | 13/07/2019 22:00 | Jour | 46,7 | 38,3 |
| 13/07/2019 22:00 | 14/07/2019 07:00 | Nuit | 44,2 | 29,0 |
| 14/07/2019 07:00 | 14/07/2019 22:00 | Jour | 43,8 | 38,2 |
| 14/07/2019 22:00 | 15/07/2019 07:00 | Nuit | 44,3 | 41,3 |
| 15/07/2019 07:00 | 15/07/2019 22:00 | Jour | 45,3 | 37,6 |
| 15/07/2019 22:00 | 16/07/2019 07:00 | Nuit | 42,3 | 32,2 |
| 16/07/2019 07:00 | 16/07/2019 22:00 | Jour | 47,6 | 36,8 |
| 16/07/2019 22:00 | 17/07/2019 07:00 | Nuit | 41,2 | 29,4 |
| 17/07/2019 07:00 | 17/07/2019 22:00 | Jour | 45,7 | 38,4 |
| 17/07/2019 22:00 | 18/07/2019 07:00 | Nuit | 46,2 | 33,1 |
| 18/07/2019 07:00 | 18/07/2019 22:00 | Jour | 45,3 | 38,7 |
| 18/07/2019 22:00 | 19/07/2019 07:00 | Nuit | 42,1 | 23,9 |
| 19/07/2019 07:00 | 19/07/2019 22:00 | Jour | 45,8 | 39,0 |
| 19/07/2019 22:00 | 20/07/2019 07:00 | Nuit | 40,4 | 22,6 |
| 20/07/2019 07:00 | 20/07/2019 22:00 | Jour | 45,8 | 39,4 |
| 20/07/2019 22:00 | 21/07/2019 07:00 | Nuit | 44,3 | 29,9 |
| 21/07/2019 07:00 | 21/07/2019 22:00 | Jour | 44,5 | 37,4 |
| 21/07/2019 22:00 | 22/07/2019 07:00 | Nuit | 36,1 | 25,3 |
| 22/07/2019 07:00 | 22/07/2019 22:00 | Jour | 46,5 | 38,7 |
| 22/07/2019 22:00 | 23/07/2019 07:00 | Nuit | 40,8 | 27,9 |
| 23/07/2019 07:00 | 23/07/2019 22:00 | Jour | 49,6 | 42,6 |
| 23/07/2019 22:00 | 24/07/2019 07:00 | Nuit | 40,3 | 28,8 |
| 24/07/2019 07:00 | 24/07/2019 22:00 | Jour | 48,0 | 41,6 |
| 24/07/2019 22:00 | 25/07/2019 07:00 | Nuit | 40,7 | 23,9 |
| 25/07/2019 07:00 | 25/07/2019 22:00 | Jour | 50,3 | 39,5 |
| 25/07/2019 22:00 | 26/07/2019 07:00 | Nuit | 40,0 | 28,7 |
| 26/07/2019 07:00 | 26/07/2019 22:00 | Jour | 49,5 | 41,2 |
| 26/07/2019 22:00 | 27/07/2019 07:00 | Nuit | 43,1 | 33,1 |
| 27/07/2019 07:00 | 27/07/2019 22:00 | Jour | 46,7 | 37,8 |
| 27/07/2019 22:00 | 28/07/2019 07:00 | Nuit | 41,0 | 23,8 |
| 28/07/2019 07:00 | 28/07/2019 22:00 | Jour | 43,3 | 34,7 |
| 28/07/2019 22:00 | 29/07/2019 07:00 | Nuit | 35,0 | 23,2 |
| 29/07/2019 07:00 | 29/07/2019 22:00 | Jour | 46,3 | 37,1 |
| 29/07/2019 22:00 | 30/07/2019 07:00 | Nuit | 34,0 | 24,5 |
| 30/07/2019 07:00 | 30/07/2019 22:00 | Jour | 49,0 | 38,6 |
| 30/07/2019 22:00 | 31/07/2019 07:00 | Nuit | 31,9 | 23,5 |
| 31/07/2019 07:00 | 31/07/2019 22:00 | Jour | 49,8 | 34,6 |
| 31/07/2019 22:00 | 01/08/2019 07:00 | Nuit | 35,8 | 20,3 |
| 01/08/2019 07:00 | 01/08/2019 22:00 | Jour | 46,4 | 33,5 |
| 01/08/2019 22:00 | 02/08/2019 07:00 | Nuit | 34,8 | 27,8 |
| 02/08/2019 07:00 | 02/08/2019 22:00 | Jour | 47,5 | 33,9 |
| 02/08/2019 22:00 | 03/08/2019 07:00 | Nuit | 37,2 | 26,4 |
| 03/08/2019 07:00 | 03/08/2019 22:00 | Jour | 39,4 | 29,8 |
| 03/08/2019 22:00 | 04/08/2019 07:00 | Nuit | 32,0 | 24,7 |
| 04/08/2019 07:00 | 04/08/2019 22:00 | Jour | 45,2 | 32,1 |
| 04/08/2019 22:00 | 05/08/2019 07:00 | Nuit | 34,9 | 25,5 |
| 05/08/2019 07:00 | 05/08/2019 22:00 | Jour | 45,8 | 32,6 |
| 05/08/2019 22:00 | 06/08/2019 07:00 | Nuit | 32,6 | 27,1 |
| 06/08/2019 07:00 | 06/08/2019 22:00 | Jour | 42,8 | 32,1 |
| 06/08/2019 22:00 | 07/08/2019 07:00 | Nuit | 30,6 | 22,4 |
| 07/08/2019 07:00 | 07/08/2019 22:00 | Jour | 43,5 | 33,0 |
| 07/08/2019 22:00 | 08/08/2019 07:00 | Nuit | 30,4 | 23,2 |
| 08/08/2019 07:00 | 08/08/2019 22:00 | Jour | 42,9 | 31,4 |
| 08/08/2019 22:00 | 09/08/2019 07:00 | Nuit | 42,9 | 23,2 |

| PROJET EOLIEN | | Mesure PF2 juillet-août 2019 | |
|------------------------------------------------------------------------------------------------------------------|--------------------------------------------------------------------------------------------------------------------------------------------------------------------------------------------------------|---------------------------------|---------------------------------|
| Localisation de la mesure : | La Gaudinière, 86320 Goux | Longitude : 43° 22' 45.66" N | Latitude : 00° 40' 21.58" E |
| Date de la mesure : | du 2 juillet au 7 août 2019 | | |
| Durée de la mesure : | 38 jours | Appareil de mesures : | Fusion n°11206 - 01 dB |
| Point de mesure  | | Période de jour (7h-22h) | Période de nuit (22h-7h) |
| | LAeq moyen en dB(A) | 49,2 | 37,0 |
| Observations | L'habitation est située à l'est du projet dans un hameau relativement calme constitué de trois maisons. Le sonomètre était situé à côté de chevaux qui peuvent être une source de bruits particuliers. | | |
| Vue vers habitation  | Vue vers projet  | | |
|  | | | |

| Début | Fin | Période | LAeq | L50 |
|------------------|------------------|---------|------|------|
| 02/07/2019 22:00 | 03/07/2019 07:00 | Nuit | 41,3 | 41,0 |
| 03/07/2019 07:00 | 03/07/2019 22:00 | Jour | 42,3 | 36,3 |
| 03/07/2019 22:00 | 04/07/2019 07:00 | Nuit | 36,1 | 33,1 |
| 04/07/2019 07:00 | 04/07/2019 22:00 | Jour | 38,7 | 34,3 |
| 04/07/2019 22:00 | 05/07/2019 07:00 | Nuit | 36,0 | 32,0 |
| 05/07/2019 07:00 | 05/07/2019 22:00 | Jour | 39,1 | 34,3 |
| 05/07/2019 22:00 | 06/07/2019 07:00 | Nuit | 38,9 | 31,9 |
| 06/07/2019 07:00 | 06/07/2019 22:00 | Jour | 37,4 | 32,5 |
| 06/07/2019 22:00 | 07/07/2019 07:00 | Nuit | 39,7 | 34,5 |
| 07/07/2019 07:00 | 07/07/2019 22:00 | Jour | 41,9 | 36,8 |
| 07/07/2019 22:00 | 08/07/2019 07:00 | Nuit | 40,3 | 36,5 |
| 08/07/2019 07:00 | 08/07/2019 22:00 | Jour | 47,6 | 36,5 |
| 08/07/2019 22:00 | 09/07/2019 07:00 | Nuit | 38,9 | 35,5 |
| 09/07/2019 07:00 | 09/07/2019 22:00 | Jour | 42,2 | 38,8 |
| 09/07/2019 22:00 | 10/07/2019 07:00 | Nuit | 37,1 | 35,2 |
| 10/07/2019 07:00 | 10/07/2019 22:00 | Jour | 35,6 | 30,7 |
| 10/07/2019 22:00 | 11/07/2019 07:00 | Nuit | 37,6 | 30,8 |
| 11/07/2019 07:00 | 11/07/2019 22:00 | Jour | 41,4 | 36,9 |
| 11/07/2019 22:00 | 12/07/2019 07:00 | Nuit | 38,1 | 30,4 |
| 12/07/2019 07:00 | 12/07/2019 22:00 | Jour | 41,9 | 35,4 |
| 12/07/2019 22:00 | 13/07/2019 07:00 | Nuit | 40,0 | 29,1 |
| 13/07/2019 07:00 | 13/07/2019 22:00 | Jour | 35,1 | 29,9 |
| 13/07/2019 22:00 | 14/07/2019 07:00 | Nuit | 37,1 | 27,9 |
| 14/07/2019 07:00 | 14/07/2019 22:00 | Jour | 36,8 | 33,8 |
| 14/07/2019 22:00 | 15/07/2019 07:00 | Nuit | 35,8 | 26,3 |
| 15/07/2019 07:00 | 15/07/2019 22:00 | Jour | 35,2 | 32,3 |
| 15/07/2019 22:00 | 16/07/2019 07:00 | Nuit | 33,6 | 27,4 |
| 16/07/2019 07:00 | 16/07/2019 22:00 | Jour | 35,6 | 29,2 |
| 16/07/2019 22:00 | 17/07/2019 07:00 | Nuit | 35,3 | 23,6 |
| 17/07/2019 07:00 | 17/07/2019 22:00 | Jour | 37,9 | 33,7 |
| 17/07/2019 22:00 | 18/07/2019 07:00 | Nuit | 38,4 | 24,0 |
| 18/07/2019 07:00 | 18/07/2019 22:00 | Jour | 62,0 | 36,3 |
| 18/07/2019 22:00 | 19/07/2019 07:00 | Nuit | 35,1 | 27,1 |
| 19/07/2019 07:00 | 19/07/2019 22:00 | Jour | 39,8 | 33,8 |
| 19/07/2019 22:00 | 20/07/2019 07:00 | Nuit | 36,6 | 23,6 |
| 20/07/2019 07:00 | 20/07/2019 22:00 | Jour | 42,4 | 34,6 |
| 20/07/2019 22:00 | 21/07/2019 07:00 | Nuit | 40,5 | 28,4 |
| 21/07/2019 07:00 | 21/07/2019 22:00 | Jour | 33,6 | 27,2 |
| 21/07/2019 22:00 | 22/07/2019 07:00 | Nuit | 35,4 | 25,5 |
| 22/07/2019 07:00 | 22/07/2019 22:00 | Jour | 34,3 | 27,8 |
| 22/07/2019 22:00 | 23/07/2019 07:00 | Nuit | 35,1 | 23,9 |
| 23/07/2019 07:00 | 23/07/2019 22:00 | Jour | 36,6 | 30,7 |
| 23/07/2019 22:00 | 24/07/2019 07:00 | Nuit | 36,2 | 28,0 |
| 24/07/2019 07:00 | 24/07/2019 22:00 | Jour | 35,2 | 29,3 |
| 24/07/2019 22:00 | 25/07/2019 07:00 | Nuit | 37,3 | 30,9 |
| 25/07/2019 07:00 | 25/07/2019 22:00 | Jour | 39,8 | 31,3 |
| 25/07/2019 22:00 | 26/07/2019 07:00 | Nuit | 37,1 | 30,0 |
| 26/07/2019 07:00 | 26/07/2019 22:00 | Jour | 38,6 | 31,5 |
| 26/07/2019 22:00 | 27/07/2019 07:00 | Nuit | 39,9 | 34,4 |
| 27/07/2019 07:00 | 27/07/2019 22:00 | Jour | 39,1 | 30,6 |
| 27/07/2019 22:00 | 28/07/2019 07:00 | Nuit | 36,4 | 24,7 |
| 28/07/2019 07:00 | 28/07/2019 22:00 | Jour | 36,0 | 30,3 |
| 28/07/2019 22:00 | 29/07/2019 07:00 | Nuit | 30,1 | 25,8 |
| 29/07/2019 07:00 | 29/07/2019 22:00 | Jour | 37,6 | 32,2 |
| 29/07/2019 22:00 | 30/07/2019 07:00 | Nuit | 33,4 | 23,3 |
| 30/07/2019 07:00 | 30/07/2019 22:00 | Jour | 43,1 | 39,1 |
| 30/07/2019 22:00 | 31/07/2019 07:00 | Nuit | 31,3 | 27,8 |
| 31/07/2019 07:00 | 31/07/2019 22:00 | Jour | 36,3 | 30,7 |
| 31/07/2019 22:00 | 01/08/2019 07:00 | Nuit | 31,5 | 23,0 |
| 01/08/2019 07:00 | 01/08/2019 22:00 | Jour | 37,8 | 28,7 |
| 01/08/2019 22:00 | 02/08/2019 07:00 | Nuit | 34,5 | 22,3 |
| 02/08/2019 07:00 | 02/08/2019 22:00 | Jour | 59,8 | 29,6 |
| 02/08/2019 22:00 | 03/08/2019 07:00 | Nuit | 35,5 | 29,5 |
| 03/08/2019 07:00 | 03/08/2019 22:00 | Jour | 35,5 | 28,7 |
| 03/08/2019 22:00 | 04/08/2019 07:00 | Nuit | 33,2 | 25,4 |
| 04/08/2019 07:00 | 04/08/2019 22:00 | Jour | 44,9 | 31,6 |
| 04/08/2019 22:00 | 05/08/2019 07:00 | Nuit | 36,9 | 23,8 |
| 05/08/2019 07:00 | 05/08/2019 22:00 | Jour | 37,3 | 32,5 |
| 05/08/2019 22:00 | 06/08/2019 07:00 | Nuit | 34,2 | 26,2 |
| 06/08/2019 07:00 | 06/08/2019 22:00 | Jour | 40,2 | 33,1 |
| 06/08/2019 22:00 | 07/08/2019 07:00 | Nuit | 36,8 | 24,3 |



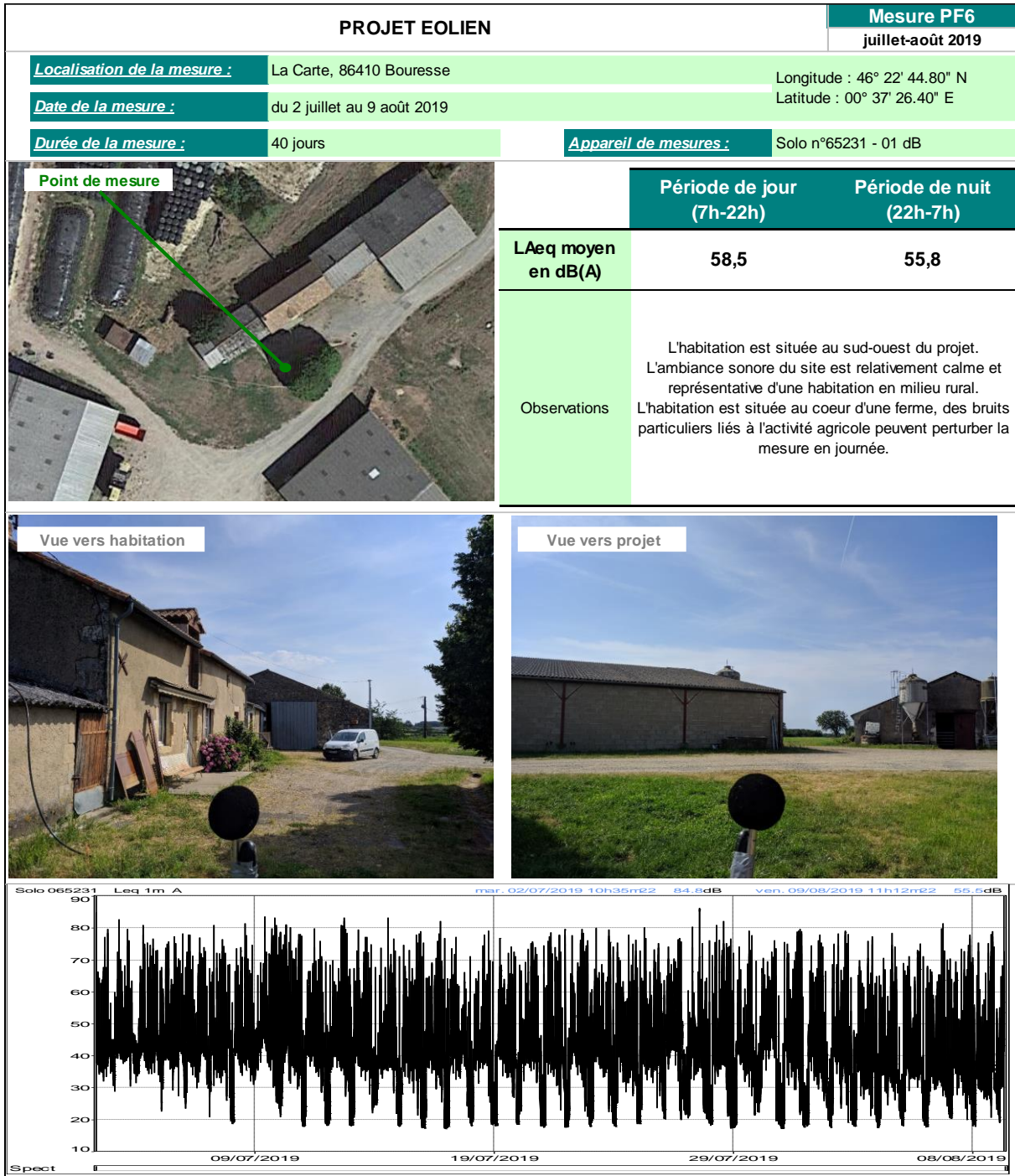
| Début | Fin | Période | LAeq | L50 |
|------------------|------------------|---------|------|------|
| 02/07/2019 22:00 | 03/07/2019 07:00 | Nuit | 52,5 | 52,4 |
| 03/07/2019 07:00 | 03/07/2019 22:00 | Jour | 41,6 | 36,5 |
| 03/07/2019 22:00 | 04/07/2019 07:00 | Nuit | 48,8 | 43,7 |
| 04/07/2019 07:00 | 04/07/2019 22:00 | Jour | 39,8 | 33,6 |
| 04/07/2019 22:00 | 05/07/2019 07:00 | Nuit | 49,0 | 48,1 |
| 05/07/2019 07:00 | 05/07/2019 22:00 | Jour | 38,9 | 28,9 |
| 05/07/2019 22:00 | 06/07/2019 07:00 | Nuit | 50,0 | 47,7 |
| 06/07/2019 07:00 | 06/07/2019 22:00 | Jour | 42,7 | 31,6 |
| 06/07/2019 22:00 | 07/07/2019 07:00 | Nuit | 49,2 | 44,7 |
| 07/07/2019 07:00 | 07/07/2019 22:00 | Jour | 43,2 | 37,0 |
| 07/07/2019 22:00 | 08/07/2019 07:00 | Nuit | 48,7 | 45,5 |
| 08/07/2019 07:00 | 08/07/2019 22:00 | Jour | 45,3 | 43,2 |
| 08/07/2019 22:00 | 09/07/2019 07:00 | Nuit | 46,2 | 38,7 |
| 09/07/2019 07:00 | 09/07/2019 22:00 | Jour | 41,7 | 33,5 |
| 09/07/2019 22:00 | 10/07/2019 07:00 | Nuit | 45,8 | 33,1 |
| 10/07/2019 07:00 | 10/07/2019 22:00 | Jour | 42,3 | 33,0 |
| 10/07/2019 22:00 | 11/07/2019 07:00 | Nuit | 45,3 | 32,9 |
| 11/07/2019 07:00 | 11/07/2019 22:00 | Jour | 46,8 | 33,8 |
| 11/07/2019 22:00 | 12/07/2019 07:00 | Nuit | 46,8 | 27,2 |
| 12/07/2019 07:00 | 12/07/2019 22:00 | Jour | 44,0 | 33,4 |
| 12/07/2019 22:00 | 13/07/2019 07:00 | Nuit | 45,9 | 27,4 |
| 13/07/2019 07:00 | 13/07/2019 22:00 | Jour | 45,1 | 38,3 |
| 13/07/2019 22:00 | 14/07/2019 07:00 | Nuit | 47,4 | 30,8 |
| 14/07/2019 07:00 | 14/07/2019 22:00 | Jour | 40,1 | 36,0 |
| 14/07/2019 22:00 | 15/07/2019 07:00 | Nuit | 43,7 | 28,2 |
| 15/07/2019 07:00 | 15/07/2019 22:00 | Jour | 39,8 | 31,5 |
| 15/07/2019 22:00 | 16/07/2019 07:00 | Nuit | 45,8 | 25,4 |
| 16/07/2019 07:00 | 16/07/2019 22:00 | Jour | 41,0 | 30,6 |
| 16/07/2019 22:00 | 17/07/2019 07:00 | Nuit | 43,9 | 24,8 |
| 17/07/2019 07:00 | 17/07/2019 22:00 | Jour | 41,2 | 32,6 |
| 17/07/2019 22:00 | 18/07/2019 07:00 | Nuit | 44,4 | 24,1 |
| 18/07/2019 07:00 | 18/07/2019 22:00 | Jour | 38,7 | 29,2 |
| 18/07/2019 22:00 | 19/07/2019 07:00 | Nuit | 47,0 | 34,2 |
| 19/07/2019 07:00 | 19/07/2019 22:00 | Jour | 37,0 | 30,9 |
| 19/07/2019 22:00 | 20/07/2019 07:00 | Nuit | 46,9 | 28,3 |
| 20/07/2019 07:00 | 20/07/2019 22:00 | Jour | 34,9 | 27,0 |
| 20/07/2019 22:00 | 21/07/2019 07:00 | Nuit | 46,3 | 23,6 |
| 21/07/2019 07:00 | 21/07/2019 22:00 | Jour | 37,6 | 29,0 |
| 21/07/2019 22:00 | 22/07/2019 07:00 | Nuit | 46,0 | 27,0 |
| 22/07/2019 07:00 | 22/07/2019 22:00 | Jour | 32,8 | 29,4 |
| 22/07/2019 22:00 | 23/07/2019 07:00 | Nuit | 41,2 | 27,2 |



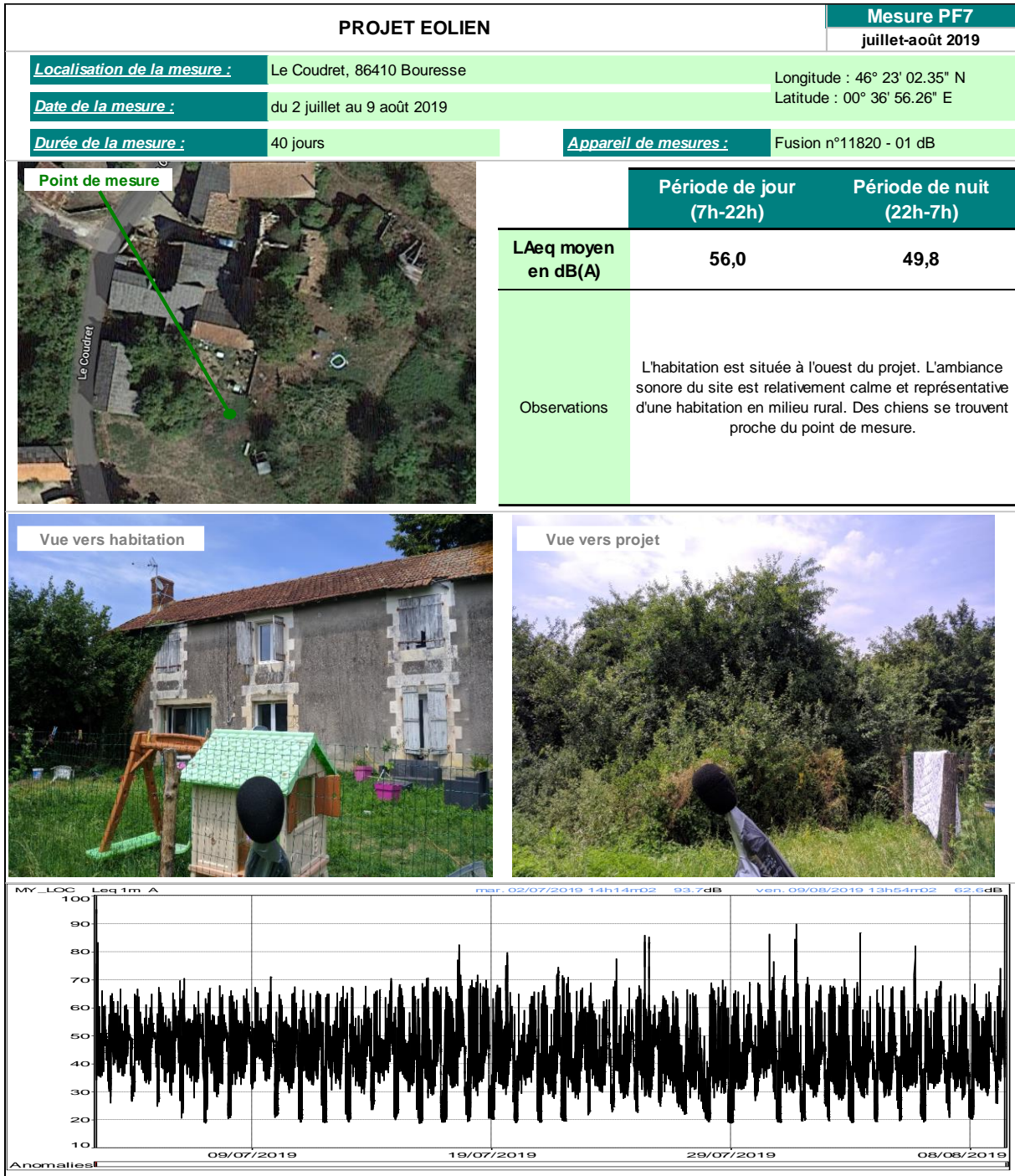
| Début | Fin | Période | LAeq | L50 |
|------------------|------------------|---------|------|------|
| 02/07/2019 22:00 | 03/07/2019 07:00 | Nuit | 43,5 | 43,1 |
| 03/07/2019 07:00 | 03/07/2019 22:00 | Jour | 44,1 | 38,3 |
| 03/07/2019 22:00 | 04/07/2019 07:00 | Nuit | 44,2 | 40,7 |
| 04/07/2019 07:00 | 04/07/2019 22:00 | Jour | 41,7 | 36,7 |
| 04/07/2019 22:00 | 05/07/2019 07:00 | Nuit | 45,3 | 40,6 |
| 05/07/2019 07:00 | 05/07/2019 22:00 | Jour | 40,8 | 33,7 |
| 05/07/2019 22:00 | 06/07/2019 07:00 | Nuit | 46,2 | 42,2 |
| 06/07/2019 07:00 | 06/07/2019 22:00 | Jour | 41,7 | 32,5 |
| 06/07/2019 22:00 | 07/07/2019 07:00 | Nuit | 47,1 | 43,0 |
| 07/07/2019 07:00 | 07/07/2019 22:00 | Jour | 39,5 | 31,2 |
| 07/07/2019 22:00 | 08/07/2019 07:00 | Nuit | 46,4 | 45,7 |
| 08/07/2019 07:00 | 08/07/2019 22:00 | Jour | 39,5 | 33,8 |
| 08/07/2019 22:00 | 09/07/2019 07:00 | Nuit | 45,1 | 36,2 |
| 09/07/2019 07:00 | 09/07/2019 22:00 | Jour | 43,4 | 40,2 |
| 09/07/2019 22:00 | 10/07/2019 07:00 | Nuit | 42,8 | 39,5 |
| 10/07/2019 07:00 | 10/07/2019 22:00 | Jour | 37,0 | 31,2 |
| 10/07/2019 22:00 | 11/07/2019 07:00 | Nuit | 44,6 | 41,4 |
| 11/07/2019 07:00 | 11/07/2019 22:00 | Jour | 40,8 | 31,4 |
| 11/07/2019 22:00 | 12/07/2019 07:00 | Nuit | 44,0 | 39,6 |
| 12/07/2019 07:00 | 12/07/2019 22:00 | Jour | 38,4 | 31,2 |
| 12/07/2019 22:00 | 13/07/2019 07:00 | Nuit | 46,8 | 42,5 |
| 13/07/2019 07:00 | 13/07/2019 22:00 | Jour | 38,9 | 31,7 |
| 13/07/2019 22:00 | 14/07/2019 07:00 | Nuit | 45,4 | 29,9 |
| 14/07/2019 07:00 | 14/07/2019 22:00 | Jour | 41,7 | 36,2 |
| 14/07/2019 22:00 | 15/07/2019 07:00 | Nuit | 44,0 | 36,2 |
| 15/07/2019 07:00 | 15/07/2019 22:00 | Jour | 39,4 | 33,9 |
| 15/07/2019 22:00 | 16/07/2019 07:00 | Nuit | 38,7 | 27,6 |
| 16/07/2019 07:00 | 16/07/2019 22:00 | Jour | 41,3 | 28,8 |
| 16/07/2019 22:00 | 17/07/2019 07:00 | Nuit | 42,9 | 27,7 |
| 17/07/2019 07:00 | 17/07/2019 22:00 | Jour | 38,4 | 30,8 |
| 17/07/2019 22:00 | 18/07/2019 07:00 | Nuit | 43,7 | 27,6 |
| 18/07/2019 07:00 | 18/07/2019 22:00 | Jour | 63,4 | 33,4 |
| 18/07/2019 22:00 | 19/07/2019 07:00 | Nuit | 41,0 | 27,2 |
| 19/07/2019 07:00 | 19/07/2019 22:00 | Jour | 37,3 | 30,7 |
| 19/07/2019 22:00 | 20/07/2019 07:00 | Nuit | 38,8 | 28,3 |
| 20/07/2019 07:00 | 20/07/2019 22:00 | Jour | 37,8 | 33,4 |
| 20/07/2019 22:00 | 21/07/2019 07:00 | Nuit | 43,1 | 30,0 |
| 21/07/2019 07:00 | 21/07/2019 22:00 | Jour | 35,2 | 27,2 |
| 21/07/2019 22:00 | 22/07/2019 07:00 | Nuit | 42,8 | 26,5 |
| 22/07/2019 07:00 | 22/07/2019 22:00 | Jour | 35,0 | 30,1 |
| 22/07/2019 22:00 | 23/07/2019 07:00 | Nuit | 40,8 | 29,9 |
| 23/07/2019 07:00 | 23/07/2019 22:00 | Jour | 37,5 | 32,3 |
| 23/07/2019 22:00 | 24/07/2019 07:00 | Nuit | 43,2 | 35,5 |
| 24/07/2019 07:00 | 24/07/2019 22:00 | Jour | 35,6 | 29,6 |
| 24/07/2019 22:00 | 25/07/2019 07:00 | Nuit | 43,3 | 36,4 |
| 25/07/2019 07:00 | 25/07/2019 22:00 | Jour | 41,0 | 32,8 |
| 25/07/2019 22:00 | 26/07/2019 07:00 | Nuit | 43,2 | 39,5 |
| 26/07/2019 07:00 | 26/07/2019 22:00 | Jour | 41,9 | 29,9 |
| 26/07/2019 22:00 | 27/07/2019 07:00 | Nuit | 45,1 | 39,8 |
| 27/07/2019 07:00 | 27/07/2019 22:00 | Jour | 41,0 | 30,5 |
| 27/07/2019 22:00 | 28/07/2019 07:00 | Nuit | 37,5 | 33,7 |



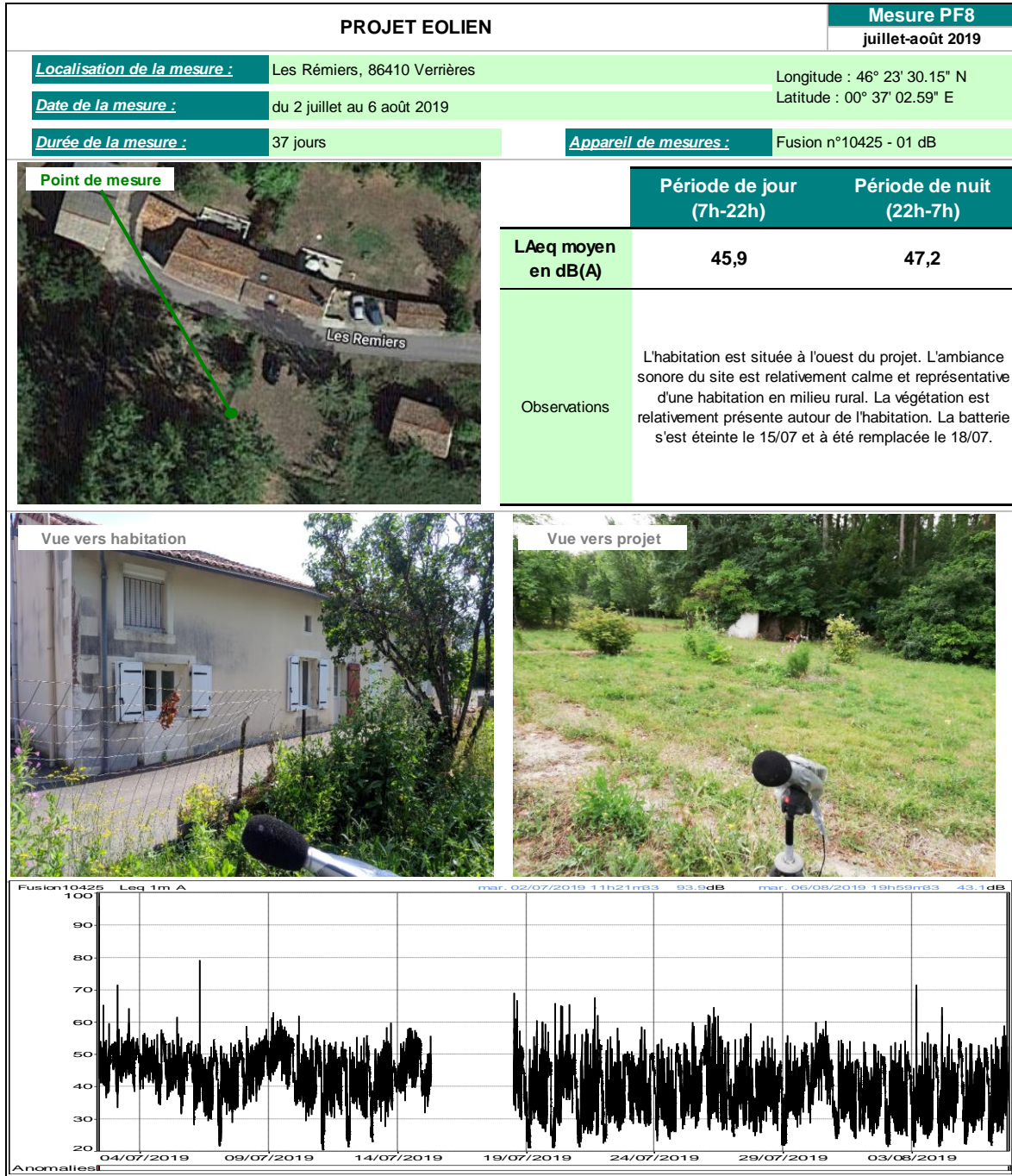
| Début | Fin | Période | LAeq | L50 |
|------------------|------------------|---------|------|------|
| 02/07/2019 22:00 | 03/07/2019 07:00 | Nuit | 51,8 | 52,0 |
| 03/07/2019 07:00 | 03/07/2019 22:00 | Jour | 45,2 | 40,1 |
| 03/07/2019 22:00 | 04/07/2019 07:00 | Nuit | 47,6 | 45,6 |
| 04/07/2019 07:00 | 04/07/2019 22:00 | Jour | 43,1 | 39,2 |
| 04/07/2019 22:00 | 05/07/2019 07:00 | Nuit | 49,0 | 41,3 |
| 05/07/2019 07:00 | 05/07/2019 22:00 | Jour | 43,8 | 40,5 |
| 05/07/2019 22:00 | 06/07/2019 07:00 | Nuit | 49,5 | 47,5 |
| 06/07/2019 07:00 | 06/07/2019 22:00 | Jour | 44,7 | 39,1 |
| 06/07/2019 22:00 | 07/07/2019 07:00 | Nuit | 48,6 | 38,2 |
| 07/07/2019 07:00 | 07/07/2019 22:00 | Jour | 43,3 | 39,7 |
| 07/07/2019 22:00 | 08/07/2019 07:00 | Nuit | 48,1 | 41,2 |
| 08/07/2019 07:00 | 08/07/2019 22:00 | Jour | 45,5 | 40,4 |
| 08/07/2019 22:00 | 09/07/2019 07:00 | Nuit | 48,9 | 37,7 |
| 09/07/2019 07:00 | 09/07/2019 22:00 | Jour | 48,3 | 42,8 |
| 09/07/2019 22:00 | 10/07/2019 07:00 | Nuit | 48,5 | 38,1 |
| 10/07/2019 07:00 | 10/07/2019 22:00 | Jour | 43,7 | 39,5 |
| 10/07/2019 22:00 | 11/07/2019 07:00 | Nuit | 45,6 | 33,2 |
| 11/07/2019 07:00 | 11/07/2019 22:00 | Jour | 47,7 | 38,3 |
| 11/07/2019 22:00 | 12/07/2019 07:00 | Nuit | 46,0 | 32,0 |
| 12/07/2019 07:00 | 12/07/2019 22:00 | Jour | 43,7 | 38,4 |
| 12/07/2019 22:00 | 13/07/2019 07:00 | Nuit | 48,1 | 29,6 |
| 13/07/2019 07:00 | 13/07/2019 22:00 | Jour | 42,4 | 38,7 |
| 13/07/2019 22:00 | 14/07/2019 07:00 | Nuit | 48,2 | 33,5 |
| 14/07/2019 07:00 | 14/07/2019 22:00 | Jour | 43,9 | 40,2 |
| 14/07/2019 22:00 | 15/07/2019 07:00 | Nuit | 47,1 | 35,6 |
| 15/07/2019 07:00 | 15/07/2019 22:00 | Jour | 43,1 | 37,6 |
| 15/07/2019 22:00 | 16/07/2019 07:00 | Nuit | 44,6 | 26,3 |
| 16/07/2019 07:00 | 16/07/2019 22:00 | Jour | 46,4 | 37,2 |
| 16/07/2019 22:00 | 17/07/2019 07:00 | Nuit | 44,0 | 21,1 |
| 17/07/2019 07:00 | 17/07/2019 22:00 | Jour | 44,5 | 37,2 |
| 17/07/2019 22:00 | 18/07/2019 07:00 | Nuit | 46,5 | 23,8 |
| 18/07/2019 07:00 | 18/07/2019 22:00 | Jour | 43,1 | 36,7 |
| 18/07/2019 22:00 | 19/07/2019 07:00 | Nuit | 47,4 | 27,7 |
| 19/07/2019 07:00 | 19/07/2019 22:00 | Jour | 41,2 | 36,8 |
| 19/07/2019 22:00 | 20/07/2019 07:00 | Nuit | 45,6 | 26,1 |
| 20/07/2019 07:00 | 20/07/2019 22:00 | Jour | 42,4 | 36,2 |
| 20/07/2019 22:00 | 21/07/2019 07:00 | Nuit | 48,9 | 35,0 |
| 21/07/2019 07:00 | 21/07/2019 22:00 | Jour | 45,9 | 39,6 |
| 21/07/2019 22:00 | 22/07/2019 07:00 | Nuit | 45,0 | 28,1 |
| 22/07/2019 07:00 | 22/07/2019 22:00 | Jour | 42,3 | 35,6 |
| 22/07/2019 22:00 | 23/07/2019 07:00 | Nuit | 45,8 | 27,2 |
| 23/07/2019 07:00 | 23/07/2019 22:00 | Jour | 45,5 | 35,0 |
| 23/07/2019 22:00 | 24/07/2019 07:00 | Nuit | 46,6 | 38,2 |
| 24/07/2019 07:00 | 24/07/2019 22:00 | Jour | 45,9 | 36,8 |
| 24/07/2019 22:00 | 25/07/2019 07:00 | Nuit | 45,4 | 37,9 |
| 25/07/2019 07:00 | 25/07/2019 22:00 | Jour | 45,8 | 35,0 |
| 25/07/2019 22:00 | 26/07/2019 07:00 | Nuit | 48,5 | 42,2 |
| 26/07/2019 07:00 | 26/07/2019 22:00 | Jour | 46,0 | 36,0 |
| 26/07/2019 22:00 | 27/07/2019 07:00 | Nuit | 46,9 | 43,9 |
| 27/07/2019 07:00 | 27/07/2019 22:00 | Jour | 43,7 | 36,3 |
| 27/07/2019 22:00 | 28/07/2019 07:00 | Nuit | 41,3 | 33,6 |
| 28/07/2019 07:00 | 28/07/2019 22:00 | Jour | 41,1 | 35,6 |
| 28/07/2019 22:00 | 29/07/2019 07:00 | Nuit | 38,3 | 24,5 |
| 29/07/2019 07:00 | 29/07/2019 22:00 | Jour | 41,0 | 36,3 |
| 29/07/2019 22:00 | 30/07/2019 07:00 | Nuit | 43,7 | 21,0 |
| 30/07/2019 07:00 | 30/07/2019 22:00 | Jour | 43,6 | 39,4 |
| 30/07/2019 22:00 | 31/07/2019 07:00 | Nuit | 46,6 | 45,5 |
| 31/07/2019 07:00 | 31/07/2019 22:00 | Jour | 41,0 | 35,6 |
| 31/07/2019 22:00 | 01/08/2019 07:00 | Nuit | 37,4 | 31,3 |
| 01/08/2019 07:00 | 01/08/2019 22:00 | Jour | 42,6 | 35,2 |
| 01/08/2019 22:00 | 02/08/2019 07:00 | Nuit | 47,4 | 39,5 |
| 02/08/2019 07:00 | 02/08/2019 22:00 | Jour | 43,7 | 34,7 |
| 02/08/2019 22:00 | 03/08/2019 07:00 | Nuit | 45,7 | 42,9 |
| 03/08/2019 07:00 | 03/08/2019 22:00 | Jour | 40,9 | 34,1 |
| 03/08/2019 22:00 | 04/08/2019 07:00 | Nuit | 41,8 | 35,0 |
| 04/08/2019 07:00 | 04/08/2019 22:00 | Jour | 42,8 | 32,9 |
| 04/08/2019 22:00 | 05/08/2019 07:00 | Nuit | 46,0 | 42,2 |
| 05/08/2019 07:00 | 05/08/2019 22:00 | Jour | 45,6 | 34,2 |
| 05/08/2019 22:00 | 06/08/2019 07:00 | Nuit | 43,9 | 39,5 |
| 06/08/2019 07:00 | 06/08/2019 22:00 | Jour | 42,3 | 33,2 |
| 06/08/2019 22:00 | 07/08/2019 07:00 | Nuit | 48,3 | 41,5 |
| 07/08/2019 07:00 | 07/08/2019 22:00 | Jour | 42,3 | 33,6 |
| 07/08/2019 22:00 | 08/08/2019 07:00 | Nuit | 49,2 | 45,7 |
| 08/08/2019 07:00 | 08/08/2019 22:00 | Jour | 43,3 | 32,2 |
| 08/08/2019 22:00 | 09/08/2019 07:00 | Nuit | 43,3 | 40,9 |



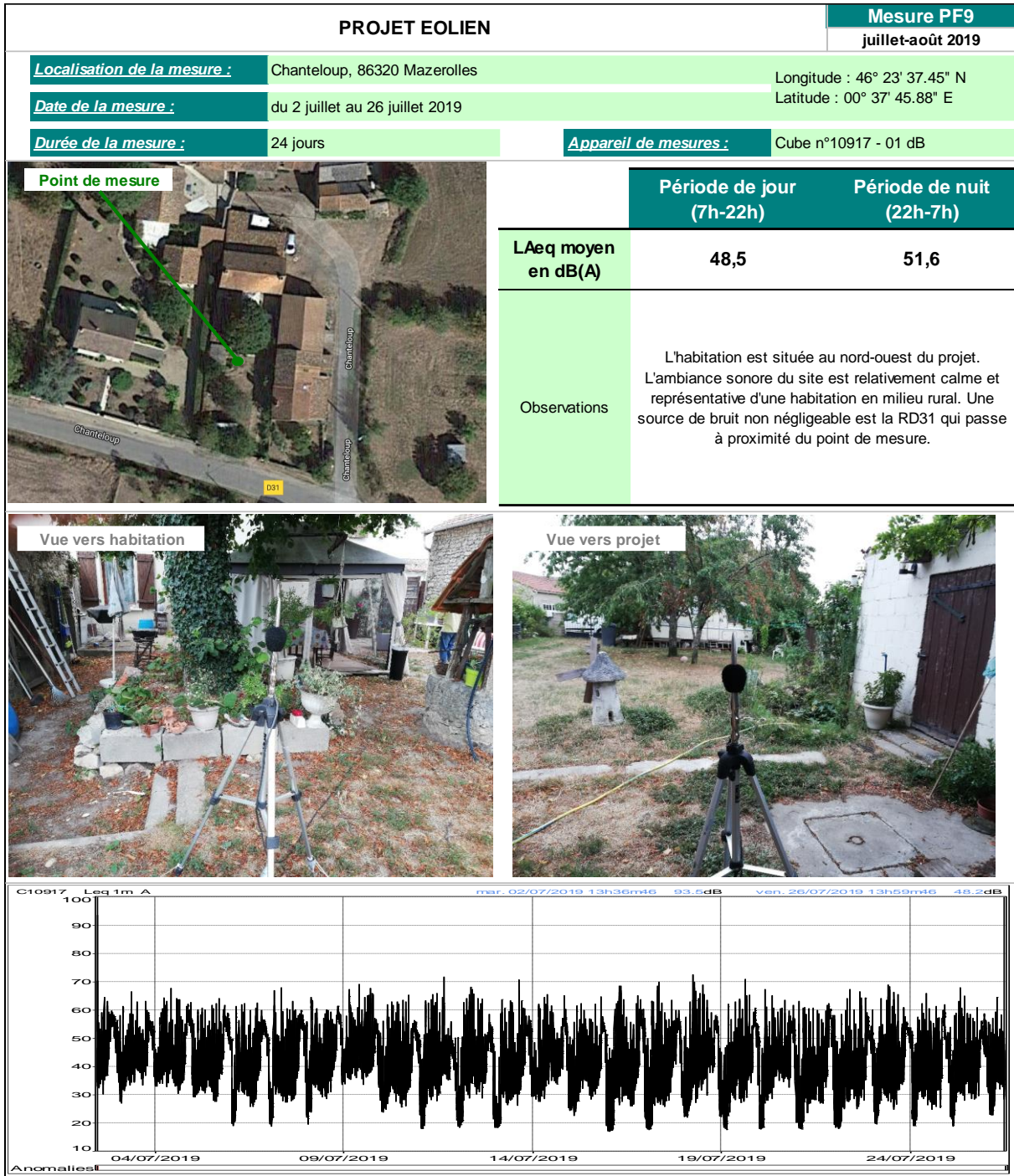
| Début | Fin | Période | LAeq | L50 |
|------------------|------------------|---------|------|------|
| 02/07/2019 22:00 | 03/07/2019 07:00 | Nuit | 62,5 | 42,8 |
| 03/07/2019 07:00 | 03/07/2019 22:00 | Jour | 59,3 | 43,5 |
| 03/07/2019 22:00 | 04/07/2019 07:00 | Nuit | 44,5 | 41,1 |
| 04/07/2019 07:00 | 04/07/2019 22:00 | Jour | 58,9 | 42,8 |
| 04/07/2019 22:00 | 05/07/2019 07:00 | Nuit | 48,3 | 40,2 |
| 05/07/2019 07:00 | 05/07/2019 22:00 | Jour | 57,2 | 41,9 |
| 05/07/2019 22:00 | 06/07/2019 07:00 | Nuit | 51,4 | 39,8 |
| 06/07/2019 07:00 | 06/07/2019 22:00 | Jour | 59,8 | 42,2 |
| 06/07/2019 22:00 | 07/07/2019 07:00 | Nuit | 57,6 | 42,1 |
| 07/07/2019 07:00 | 07/07/2019 22:00 | Jour | 57,0 | 41,0 |
| 07/07/2019 22:00 | 08/07/2019 07:00 | Nuit | 53,5 | 39,1 |
| 08/07/2019 07:00 | 08/07/2019 22:00 | Jour | 59,6 | 42,3 |
| 08/07/2019 22:00 | 09/07/2019 07:00 | Nuit | 50,3 | 37,2 |
| 09/07/2019 07:00 | 09/07/2019 22:00 | Jour | 62,9 | 44,8 |
| 09/07/2019 22:00 | 10/07/2019 07:00 | Nuit | 63,0 | 38,9 |
| 10/07/2019 07:00 | 10/07/2019 22:00 | Jour | 61,3 | 43,0 |
| 10/07/2019 22:00 | 11/07/2019 07:00 | Nuit | 63,2 | 30,4 |
| 11/07/2019 07:00 | 11/07/2019 22:00 | Jour | 58,7 | 42,2 |
| 11/07/2019 22:00 | 12/07/2019 07:00 | Nuit | 50,8 | 32,7 |
| 12/07/2019 07:00 | 12/07/2019 22:00 | Jour | 62,7 | 41,4 |
| 12/07/2019 22:00 | 13/07/2019 07:00 | Nuit | 52,8 | 24,3 |
| 13/07/2019 07:00 | 13/07/2019 22:00 | Jour | 56,5 | 41,0 |
| 13/07/2019 22:00 | 14/07/2019 07:00 | Nuit | 50,7 | 26,7 |
| 14/07/2019 07:00 | 14/07/2019 22:00 | Jour | 59,1 | 40,8 |
| 14/07/2019 22:00 | 15/07/2019 07:00 | Nuit | 47,9 | 34,1 |
| 15/07/2019 07:00 | 15/07/2019 22:00 | Jour | 55,6 | 41,6 |
| 15/07/2019 22:00 | 16/07/2019 07:00 | Nuit | 55,5 | 25,2 |
| 16/07/2019 07:00 | 16/07/2019 22:00 | Jour | 59,2 | 40,1 |
| 16/07/2019 22:00 | 17/07/2019 07:00 | Nuit | 54,7 | 25,3 |
| 17/07/2019 07:00 | 17/07/2019 22:00 | Jour | 53,9 | 41,9 |
| 17/07/2019 22:00 | 18/07/2019 07:00 | Nuit | 52,5 | 25,6 |
| 18/07/2019 07:00 | 18/07/2019 22:00 | Jour | 55,6 | 41,5 |
| 18/07/2019 22:00 | 19/07/2019 07:00 | Nuit | 45,1 | 25,2 |
| 19/07/2019 07:00 | 19/07/2019 22:00 | Jour | 55,6 | 41,6 |
| 19/07/2019 22:00 | 20/07/2019 07:00 | Nuit | 49,2 | 21,0 |
| 20/07/2019 07:00 | 20/07/2019 22:00 | Jour | 57,5 | 42,3 |
| 20/07/2019 22:00 | 21/07/2019 07:00 | Nuit | 47,3 | 36,4 |
| 21/07/2019 07:00 | 21/07/2019 22:00 | Jour | 59,0 | 40,6 |
| 21/07/2019 22:00 | 22/07/2019 07:00 | Nuit | 51,5 | 25,2 |
| 22/07/2019 07:00 | 22/07/2019 22:00 | Jour | 59,2 | 42,1 |
| 22/07/2019 22:00 | 23/07/2019 07:00 | Nuit | 60,4 | 24,0 |
| 23/07/2019 07:00 | 23/07/2019 22:00 | Jour | 57,0 | 41,1 |
| 23/07/2019 22:00 | 24/07/2019 07:00 | Nuit | 58,5 | 28,3 |
| 24/07/2019 07:00 | 24/07/2019 22:00 | Jour | 54,5 | 39,9 |
| 24/07/2019 22:00 | 25/07/2019 07:00 | Nuit | 54,2 | 31,0 |
| 25/07/2019 07:00 | 25/07/2019 22:00 | Jour | 55,1 | 40,8 |
| 25/07/2019 22:00 | 26/07/2019 07:00 | Nuit | 58,5 | 32,5 |
| 26/07/2019 07:00 | 26/07/2019 22:00 | Jour | 58,1 | 45,2 |
| 26/07/2019 22:00 | 27/07/2019 07:00 | Nuit | 53,9 | 39,0 |
| 27/07/2019 07:00 | 27/07/2019 22:00 | Jour | 63,2 | 43,1 |
| 27/07/2019 22:00 | 28/07/2019 07:00 | Nuit | 42,3 | 24,9 |
| 28/07/2019 07:00 | 28/07/2019 22:00 | Jour | 61,5 | 42,2 |
| 28/07/2019 22:00 | 29/07/2019 07:00 | Nuit | 57,3 | 22,2 |
| 29/07/2019 07:00 | 29/07/2019 22:00 | Jour | 55,8 | 41,9 |
| 29/07/2019 22:00 | 30/07/2019 07:00 | Nuit | 48,0 | 19,9 |
| 30/07/2019 07:00 | 30/07/2019 22:00 | Jour | 56,5 | 45,5 |
| 30/07/2019 22:00 | 31/07/2019 07:00 | Nuit | 44,5 | 26,5 |
| 31/07/2019 07:00 | 31/07/2019 22:00 | Jour | 60,1 | 41,5 |
| 31/07/2019 22:00 | 01/08/2019 07:00 | Nuit | 59,1 | 20,2 |
| 01/08/2019 07:00 | 01/08/2019 22:00 | Jour | 56,5 | 41,0 |
| 01/08/2019 22:00 | 02/08/2019 07:00 | Nuit | 37,5 | 21,4 |
| 02/08/2019 07:00 | 02/08/2019 22:00 | Jour | 59,3 | 40,8 |
| 02/08/2019 22:00 | 03/08/2019 07:00 | Nuit | 45,6 | 24,8 |
| 03/08/2019 07:00 | 03/08/2019 22:00 | Jour | 52,7 | 37,3 |
| 03/08/2019 22:00 | 04/08/2019 07:00 | Nuit | 54,4 | 21,6 |
| 04/08/2019 07:00 | 04/08/2019 22:00 | Jour | 55,1 | 37,2 |
| 04/08/2019 22:00 | 05/08/2019 07:00 | Nuit | 46,9 | 23,3 |
| 05/08/2019 07:00 | 05/08/2019 22:00 | Jour | 54,5 | 38,1 |
| 05/08/2019 22:00 | 06/08/2019 07:00 | Nuit | 55,4 | 25,2 |
| 06/08/2019 07:00 | 06/08/2019 22:00 | Jour | 56,5 | 37,1 |
| 06/08/2019 22:00 | 07/08/2019 07:00 | Nuit | 52,9 | 23,4 |
| 07/08/2019 07:00 | 07/08/2019 22:00 | Jour | 52,8 | 36,3 |
| 07/08/2019 22:00 | 08/08/2019 07:00 | Nuit | 56,1 | 27,1 |
| 08/08/2019 07:00 | 08/08/2019 22:00 | Jour | 53,7 | 33,5 |
| 08/08/2019 22:00 | 09/08/2019 07:00 | Nuit | 53,7 | 24,2 |



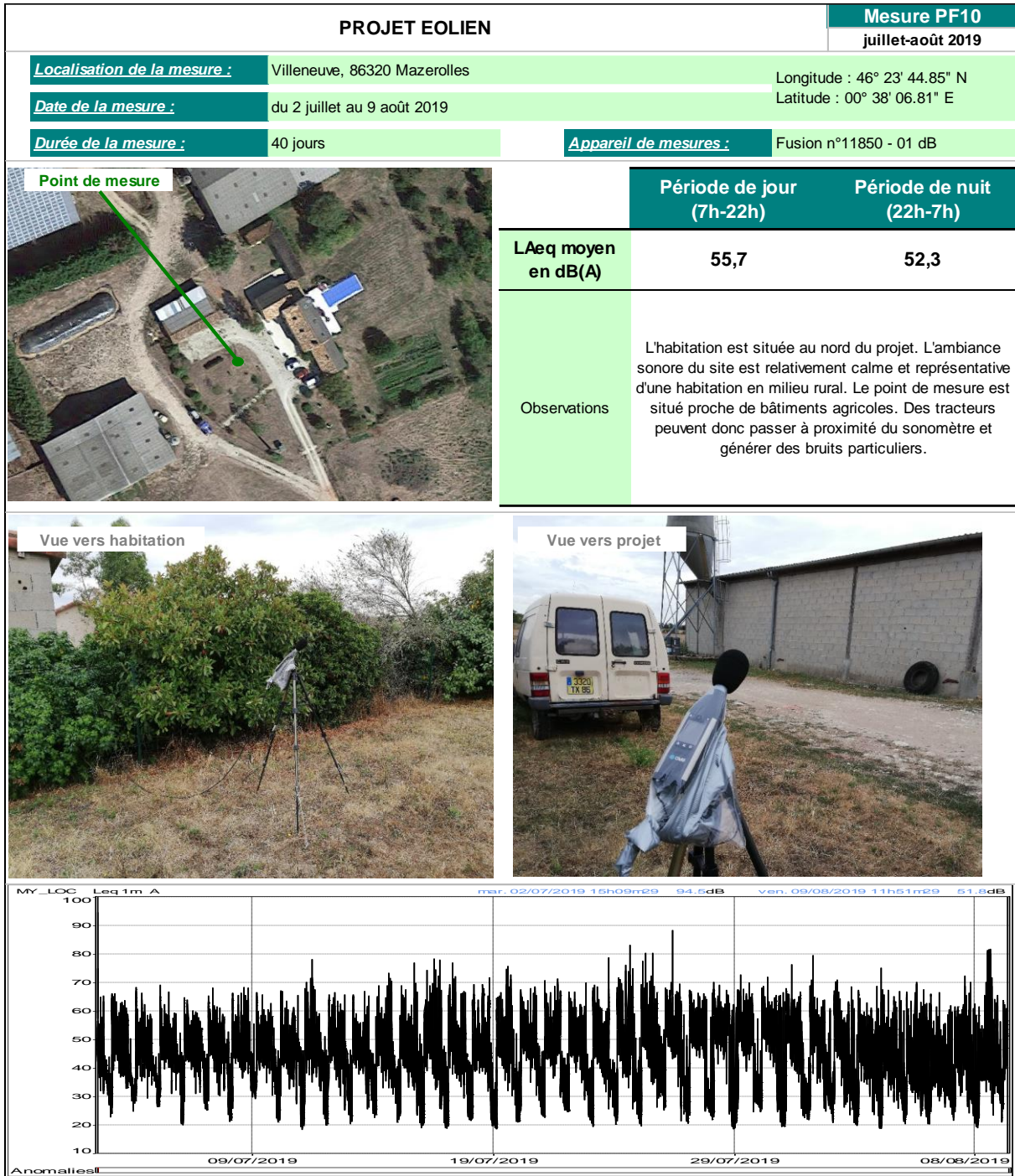
| Début | Fin | Période | LAeq | L50 |
|------------------|------------------|---------|------|------|
| 02/07/2019 22:00 | 03/07/2019 07:00 | Nuit | 51,6 | 48,3 |
| 03/07/2019 07:00 | 03/07/2019 22:00 | Jour | 49,4 | 42,7 |
| 03/07/2019 22:00 | 04/07/2019 07:00 | Nuit | 50,8 | 45,3 |
| 04/07/2019 07:00 | 04/07/2019 22:00 | Jour | 50,3 | 41,5 |
| 04/07/2019 22:00 | 05/07/2019 07:00 | Nuit | 49,9 | 46,4 |
| 05/07/2019 07:00 | 05/07/2019 22:00 | Jour | 48,6 | 40,4 |
| 05/07/2019 22:00 | 06/07/2019 07:00 | Nuit | 52,4 | 49,0 |
| 06/07/2019 07:00 | 06/07/2019 22:00 | Jour | 48,3 | 40,5 |
| 06/07/2019 22:00 | 07/07/2019 07:00 | Nuit | 53,3 | 46,9 |
| 07/07/2019 07:00 | 07/07/2019 22:00 | Jour | 50,5 | 39,9 |
| 07/07/2019 22:00 | 08/07/2019 07:00 | Nuit | 50,4 | 45,7 |
| 08/07/2019 07:00 | 08/07/2019 22:00 | Jour | 49,0 | 41,1 |
| 08/07/2019 22:00 | 09/07/2019 07:00 | Nuit | 51,1 | 47,0 |
| 09/07/2019 07:00 | 09/07/2019 22:00 | Jour | 51,6 | 44,1 |
| 09/07/2019 22:00 | 10/07/2019 07:00 | Nuit | 51,6 | 46,7 |
| 10/07/2019 07:00 | 10/07/2019 22:00 | Jour | 50,0 | 39,2 |
| 10/07/2019 22:00 | 11/07/2019 07:00 | Nuit | 48,1 | 42,5 |
| 11/07/2019 07:00 | 11/07/2019 22:00 | Jour | 50,0 | 40,6 |
| 11/07/2019 22:00 | 12/07/2019 07:00 | Nuit | 50,8 | 41,1 |
| 12/07/2019 07:00 | 12/07/2019 22:00 | Jour | 48,8 | 42,7 |
| 12/07/2019 22:00 | 13/07/2019 07:00 | Nuit | 50,6 | 30,4 |
| 13/07/2019 07:00 | 13/07/2019 22:00 | Jour | 47,6 | 39,0 |
| 13/07/2019 22:00 | 14/07/2019 07:00 | Nuit | 50,4 | 40,3 |
| 14/07/2019 07:00 | 14/07/2019 22:00 | Jour | 50,6 | 41,3 |
| 14/07/2019 22:00 | 15/07/2019 07:00 | Nuit | 53,1 | 40,7 |
| 15/07/2019 07:00 | 15/07/2019 22:00 | Jour | 52,4 | 38,7 |
| 15/07/2019 22:00 | 16/07/2019 07:00 | Nuit | 49,7 | 28,6 |
| 16/07/2019 07:00 | 16/07/2019 22:00 | Jour | 55,5 | 38,1 |
| 16/07/2019 22:00 | 17/07/2019 07:00 | Nuit | 51,9 | 29,4 |
| 17/07/2019 07:00 | 17/07/2019 22:00 | Jour | 60,5 | 40,7 |
| 17/07/2019 22:00 | 18/07/2019 07:00 | Nuit | 49,3 | 24,7 |
| 18/07/2019 07:00 | 18/07/2019 22:00 | Jour | 57,1 | 40,3 |
| 18/07/2019 22:00 | 19/07/2019 07:00 | Nuit | 53,7 | 28,5 |
| 19/07/2019 07:00 | 19/07/2019 22:00 | Jour | 57,5 | 37,7 |
| 19/07/2019 22:00 | 20/07/2019 07:00 | Nuit | 47,7 | 24,2 |
| 20/07/2019 07:00 | 20/07/2019 22:00 | Jour | 48,1 | 39,8 |
| 20/07/2019 22:00 | 21/07/2019 07:00 | Nuit | 46,9 | 33,9 |
| 21/07/2019 07:00 | 21/07/2019 22:00 | Jour | 57,2 | 36,4 |
| 21/07/2019 22:00 | 22/07/2019 07:00 | Nuit | 49,0 | 30,8 |
| 22/07/2019 07:00 | 22/07/2019 22:00 | Jour | 50,6 | 36,9 |
| 22/07/2019 22:00 | 23/07/2019 07:00 | Nuit | 53,4 | 30,6 |
| 23/07/2019 07:00 | 23/07/2019 22:00 | Jour | 46,2 | 36,8 |
| 23/07/2019 22:00 | 24/07/2019 07:00 | Nuit | 50,9 | 40,4 |
| 24/07/2019 07:00 | 24/07/2019 22:00 | Jour | 54,0 | 36,7 |
| 24/07/2019 22:00 | 25/07/2019 07:00 | Nuit | 51,0 | 41,3 |
| 25/07/2019 07:00 | 25/07/2019 22:00 | Jour | 62,7 | 36,8 |
| 25/07/2019 22:00 | 26/07/2019 07:00 | Nuit | 49,8 | 41,8 |
| 26/07/2019 07:00 | 26/07/2019 22:00 | Jour | 48,6 | 37,9 |
| 26/07/2019 22:00 | 27/07/2019 07:00 | Nuit | 47,6 | 40,7 |
| 27/07/2019 07:00 | 27/07/2019 22:00 | Jour | 48,1 | 35,3 |
| 27/07/2019 22:00 | 28/07/2019 07:00 | Nuit | 36,5 | 25,9 |
| 28/07/2019 07:00 | 28/07/2019 22:00 | Jour | 53,2 | 36,3 |
| 28/07/2019 22:00 | 29/07/2019 07:00 | Nuit | 42,9 | 23,9 |
| 29/07/2019 07:00 | 29/07/2019 22:00 | Jour | 51,1 | 38,2 |
| 29/07/2019 22:00 | 30/07/2019 07:00 | Nuit | 47,7 | 22,0 |
| 30/07/2019 07:00 | 30/07/2019 22:00 | Jour | 58,9 | 42,9 |
| 30/07/2019 22:00 | 31/07/2019 07:00 | Nuit | 47,0 | 39,1 |
| 31/07/2019 07:00 | 31/07/2019 22:00 | Jour | 66,1 | 36,9 |
| 31/07/2019 22:00 | 01/08/2019 07:00 | Nuit | 47,9 | 22,6 |
| 01/08/2019 07:00 | 01/08/2019 22:00 | Jour | 52,7 | 35,4 |
| 01/08/2019 22:00 | 02/08/2019 07:00 | Nuit | 48,1 | 25,7 |
| 02/08/2019 07:00 | 02/08/2019 22:00 | Jour | 53,1 | 35,0 |
| 02/08/2019 22:00 | 03/08/2019 07:00 | Nuit | 46,6 | 35,9 |
| 03/08/2019 07:00 | 03/08/2019 22:00 | Jour | 62,5 | 35,3 |
| 03/08/2019 22:00 | 04/08/2019 07:00 | Nuit | 48,2 | 26,9 |
| 04/08/2019 07:00 | 04/08/2019 22:00 | Jour | 47,5 | 36,6 |
| 04/08/2019 22:00 | 05/08/2019 07:00 | Nuit | 46,0 | 37,3 |
| 05/08/2019 07:00 | 05/08/2019 22:00 | Jour | 55,6 | 36,8 |
| 05/08/2019 22:00 | 06/08/2019 07:00 | Nuit | 47,0 | 34,3 |
| 06/08/2019 07:00 | 06/08/2019 22:00 | Jour | 51,1 | 37,9 |
| 06/08/2019 22:00 | 07/08/2019 07:00 | Nuit | 45,8 | 28,3 |
| 07/08/2019 07:00 | 07/08/2019 22:00 | Jour | 47,6 | 36,3 |
| 07/08/2019 22:00 | 08/08/2019 07:00 | Nuit | 45,3 | 37,6 |
| 08/08/2019 07:00 | 08/08/2019 22:00 | Jour | 47,7 | 35,2 |
| 08/08/2019 22:00 | 09/08/2019 07:00 | Nuit | 47,7 | 32,6 |



| Début | Fin | Période | LAeq | L50 |
|------------------|------------------|---------|------|------|
| 02/07/2019 22:00 | 03/07/2019 07:00 | Nuit | 50,5 | 50,4 |
| 03/07/2019 07:00 | 03/07/2019 22:00 | Jour | 49,5 | 47,7 |
| 03/07/2019 22:00 | 04/07/2019 07:00 | Nuit | 51,7 | 49,5 |
| 04/07/2019 07:00 | 04/07/2019 22:00 | Jour | 47,6 | 45,7 |
| 04/07/2019 22:00 | 05/07/2019 07:00 | Nuit | 50,6 | 48,2 |
| 05/07/2019 07:00 | 05/07/2019 22:00 | Jour | 45,6 | 43,5 |
| 05/07/2019 22:00 | 06/07/2019 07:00 | Nuit | 49,3 | 47,0 |
| 06/07/2019 07:00 | 06/07/2019 22:00 | Jour | 50,4 | 38,5 |
| 06/07/2019 22:00 | 07/07/2019 07:00 | Nuit | 48,4 | 47,4 |
| 07/07/2019 07:00 | 07/07/2019 22:00 | Jour | 42,5 | 38,5 |
| 07/07/2019 22:00 | 08/07/2019 07:00 | Nuit | 47,6 | 45,2 |
| 08/07/2019 07:00 | 08/07/2019 22:00 | Jour | 47,7 | 45,8 |
| 08/07/2019 22:00 | 09/07/2019 07:00 | Nuit | 49,5 | 47,2 |
| 09/07/2019 07:00 | 09/07/2019 22:00 | Jour | 52,4 | 50,4 |
| 09/07/2019 22:00 | 10/07/2019 07:00 | Nuit | 51,5 | 49,8 |
| 10/07/2019 07:00 | 10/07/2019 22:00 | Jour | 42,5 | 39,8 |
| 10/07/2019 22:00 | 11/07/2019 07:00 | Nuit | 48,5 | 42,2 |
| 11/07/2019 07:00 | 11/07/2019 22:00 | Jour | 41,6 | 38,2 |
| 11/07/2019 22:00 | 12/07/2019 07:00 | Nuit | 47,3 | 45,2 |
| 12/07/2019 07:00 | 12/07/2019 22:00 | Jour | 41,8 | 39,1 |
| 12/07/2019 22:00 | 13/07/2019 07:00 | Nuit | 46,7 | 43,8 |
| 13/07/2019 07:00 | 13/07/2019 22:00 | Jour | 45,3 | 42,0 |
| 13/07/2019 22:00 | 14/07/2019 07:00 | Nuit | 42,1 | 38,5 |
| 14/07/2019 07:00 | 14/07/2019 22:00 | Jour | 50,2 | 48,2 |
| 14/07/2019 22:00 | 15/07/2019 07:00 | Nuit | 47,6 | 43,1 |
| 15/07/2019 07:00 | 15/07/2019 22:00 | Jour | 44,1 | 41,9 |
| 15/07/2019 22:00 | 16/07/2019 07:00 | Nuit | 43,7 | 40,8 |
| 16/07/2019 07:00 | 16/07/2019 22:00 | Jour | 0,0 | 0,0 |
| 16/07/2019 22:00 | 17/07/2019 07:00 | Nuit | 0,0 | 0,0 |
| 17/07/2019 07:00 | 17/07/2019 22:00 | Jour | 0,0 | 0,0 |
| 17/07/2019 22:00 | 18/07/2019 07:00 | Nuit | 0,0 | 0,0 |
| 18/07/2019 07:00 | 18/07/2019 22:00 | Jour | 52,1 | 42,8 |
| 18/07/2019 22:00 | 19/07/2019 07:00 | Nuit | 48,2 | 48,1 |
| 19/07/2019 07:00 | 19/07/2019 22:00 | Jour | 44,0 | 35,0 |
| 19/07/2019 22:00 | 20/07/2019 07:00 | Nuit | 42,4 | 34,2 |
| 20/07/2019 07:00 | 20/07/2019 22:00 | Jour | 46,0 | 41,0 |
| 20/07/2019 22:00 | 21/07/2019 07:00 | Nuit | 45,2 | 39,1 |
| 21/07/2019 07:00 | 21/07/2019 22:00 | Jour | 46,4 | 31,9 |
| 21/07/2019 22:00 | 22/07/2019 07:00 | Nuit | 46,2 | 34,6 |
| 22/07/2019 07:00 | 22/07/2019 22:00 | Jour | 40,1 | 34,7 |
| 22/07/2019 22:00 | 23/07/2019 07:00 | Nuit | 43,9 | 36,4 |
| 23/07/2019 07:00 | 23/07/2019 22:00 | Jour | 40,5 | 36,2 |
| 23/07/2019 22:00 | 24/07/2019 07:00 | Nuit | 45,6 | 42,1 |
| 24/07/2019 07:00 | 24/07/2019 22:00 | Jour | 37,5 | 32,2 |
| 24/07/2019 22:00 | 25/07/2019 07:00 | Nuit | 46,0 | 39,6 |
| 25/07/2019 07:00 | 25/07/2019 22:00 | Jour | 42,9 | 37,4 |
| 25/07/2019 22:00 | 26/07/2019 07:00 | Nuit | 46,0 | 43,8 |
| 26/07/2019 07:00 | 26/07/2019 22:00 | Jour | 45,8 | 35,5 |
| 26/07/2019 22:00 | 27/07/2019 07:00 | Nuit | 50,0 | 46,8 |
| 27/07/2019 07:00 | 27/07/2019 22:00 | Jour | 43,5 | 36,0 |
| 27/07/2019 22:00 | 28/07/2019 07:00 | Nuit | 35,7 | 31,2 |
| 28/07/2019 07:00 | 28/07/2019 22:00 | Jour | 41,3 | 38,0 |
| 28/07/2019 22:00 | 29/07/2019 07:00 | Nuit | 41,8 | 38,2 |
| 29/07/2019 07:00 | 29/07/2019 22:00 | Jour | 41,5 | 38,2 |
| 29/07/2019 22:00 | 30/07/2019 07:00 | Nuit | 45,4 | 30,9 |
| 30/07/2019 07:00 | 30/07/2019 22:00 | Jour | 48,7 | 45,9 |
| 30/07/2019 22:00 | 31/07/2019 07:00 | Nuit | 43,7 | 41,5 |
| 31/07/2019 07:00 | 31/07/2019 22:00 | Jour | 39,7 | 35,3 |
| 31/07/2019 22:00 | 01/08/2019 07:00 | Nuit | 41,8 | 32,5 |
| 01/08/2019 07:00 | 01/08/2019 22:00 | Jour | 40,6 | 36,1 |
| 01/08/2019 22:00 | 02/08/2019 07:00 | Nuit | 43,4 | 39,1 |
| 02/08/2019 07:00 | 02/08/2019 22:00 | Jour | 39,1 | 32,8 |
| 02/08/2019 22:00 | 03/08/2019 07:00 | Nuit | 42,6 | 32,5 |
| 03/08/2019 07:00 | 03/08/2019 22:00 | Jour | 38,7 | 32,6 |
| 03/08/2019 22:00 | 04/08/2019 07:00 | Nuit | 49,1 | 37,6 |
| 04/08/2019 07:00 | 04/08/2019 22:00 | Jour | 42,7 | 35,3 |
| 04/08/2019 22:00 | 05/08/2019 07:00 | Nuit | 48,5 | 41,7 |
| 05/08/2019 07:00 | 05/08/2019 22:00 | Jour | 40,0 | 35,8 |
| 05/08/2019 22:00 | 06/08/2019 07:00 | Nuit | 45,6 | 37,6 |
| 06/08/2019 07:00 | 06/08/2019 22:00 | Jour | 41,6 | 36,5 |



| Début | Fin | Période | LAeq | L50 |
|------------------|------------------|---------|------|------|
| 02/07/2019 22:00 | 03/07/2019 07:00 | Nuit | 56,7 | 56,6 |
| 03/07/2019 07:00 | 03/07/2019 22:00 | Jour | 48,0 | 40,8 |
| 03/07/2019 22:00 | 04/07/2019 07:00 | Nuit | 52,9 | 50,0 |
| 04/07/2019 07:00 | 04/07/2019 22:00 | Jour | 49,4 | 39,0 |
| 04/07/2019 22:00 | 05/07/2019 07:00 | Nuit | 52,6 | 44,7 |
| 05/07/2019 07:00 | 05/07/2019 22:00 | Jour | 45,5 | 36,0 |
| 05/07/2019 22:00 | 06/07/2019 07:00 | Nuit | 53,6 | 51,4 |
| 06/07/2019 07:00 | 06/07/2019 22:00 | Jour | 45,3 | 34,7 |
| 06/07/2019 22:00 | 07/07/2019 07:00 | Nuit | 52,6 | 49,8 |
| 07/07/2019 07:00 | 07/07/2019 22:00 | Jour | 47,9 | 33,6 |
| 07/07/2019 22:00 | 08/07/2019 07:00 | Nuit | 53,1 | 48,6 |
| 08/07/2019 07:00 | 08/07/2019 22:00 | Jour | 46,9 | 37,7 |
| 08/07/2019 22:00 | 09/07/2019 07:00 | Nuit | 54,4 | 49,7 |
| 09/07/2019 07:00 | 09/07/2019 22:00 | Jour | 51,6 | 43,7 |
| 09/07/2019 22:00 | 10/07/2019 07:00 | Nuit | 52,8 | 44,6 |
| 10/07/2019 07:00 | 10/07/2019 22:00 | Jour | 46,5 | 35,0 |
| 10/07/2019 22:00 | 11/07/2019 07:00 | Nuit | 49,7 | 33,7 |
| 11/07/2019 07:00 | 11/07/2019 22:00 | Jour | 49,1 | 37,6 |
| 11/07/2019 22:00 | 12/07/2019 07:00 | Nuit | 50,1 | 45,0 |
| 12/07/2019 07:00 | 12/07/2019 22:00 | Jour | 49,5 | 36,9 |
| 12/07/2019 22:00 | 13/07/2019 07:00 | Nuit | 48,4 | 36,8 |
| 13/07/2019 07:00 | 13/07/2019 22:00 | Jour | 48,6 | 35,3 |
| 13/07/2019 22:00 | 14/07/2019 07:00 | Nuit | 49,8 | 26,7 |
| 14/07/2019 07:00 | 14/07/2019 22:00 | Jour | 48,3 | 40,4 |
| 14/07/2019 22:00 | 15/07/2019 07:00 | Nuit | 51,6 | 37,9 |
| 15/07/2019 07:00 | 15/07/2019 22:00 | Jour | 46,4 | 37,7 |
| 15/07/2019 22:00 | 16/07/2019 07:00 | Nuit | 49,9 | 30,3 |
| 16/07/2019 07:00 | 16/07/2019 22:00 | Jour | 49,9 | 33,2 |
| 16/07/2019 22:00 | 17/07/2019 07:00 | Nuit | 51,8 | 24,8 |
| 17/07/2019 07:00 | 17/07/2019 22:00 | Jour | 49,2 | 35,3 |
| 17/07/2019 22:00 | 18/07/2019 07:00 | Nuit | 51,3 | 34,8 |
| 18/07/2019 07:00 | 18/07/2019 22:00 | Jour | 52,6 | 40,6 |
| 18/07/2019 22:00 | 19/07/2019 07:00 | Nuit | 49,8 | 31,7 |
| 19/07/2019 07:00 | 19/07/2019 22:00 | Jour | 48,9 | 36,2 |
| 19/07/2019 22:00 | 20/07/2019 07:00 | Nuit | 51,5 | 27,6 |
| 20/07/2019 07:00 | 20/07/2019 22:00 | Jour | 46,8 | 39,9 |
| 20/07/2019 22:00 | 21/07/2019 07:00 | Nuit | 50,8 | 45,1 |
| 21/07/2019 07:00 | 21/07/2019 22:00 | Jour | 45,2 | 33,4 |
| 21/07/2019 22:00 | 22/07/2019 07:00 | Nuit | 52,4 | 28,6 |
| 22/07/2019 07:00 | 22/07/2019 22:00 | Jour | 46,9 | 32,9 |
| 22/07/2019 22:00 | 23/07/2019 07:00 | Nuit | 49,8 | 32,4 |
| 23/07/2019 07:00 | 23/07/2019 22:00 | Jour | 48,8 | 35,1 |
| 23/07/2019 22:00 | 24/07/2019 07:00 | Nuit | 49,5 | 46,7 |
| 24/07/2019 07:00 | 24/07/2019 22:00 | Jour | 45,2 | 33,6 |
| 24/07/2019 22:00 | 25/07/2019 07:00 | Nuit | 51,9 | 48,5 |
| 25/07/2019 07:00 | 25/07/2019 22:00 | Jour | 48,6 | 36,1 |
| 25/07/2019 22:00 | 26/07/2019 07:00 | Nuit | 48,9 | 45,0 |



| Début | Fin | Période | LAeq | L50 |
|------------------|------------------|---------|------|------|
| 02/07/2019 22:00 | 03/07/2019 07:00 | Nuit | 39,4 | 38,7 |
| 03/07/2019 07:00 | 03/07/2019 22:00 | Jour | 53,2 | 48,7 |
| 03/07/2019 22:00 | 04/07/2019 07:00 | Nuit | 52,3 | 35,8 |
| 04/07/2019 07:00 | 04/07/2019 22:00 | Jour | 52,0 | 48,1 |
| 04/07/2019 22:00 | 05/07/2019 07:00 | Nuit | 52,3 | 35,0 |
| 05/07/2019 07:00 | 05/07/2019 22:00 | Jour | 51,1 | 47,3 |
| 05/07/2019 22:00 | 06/07/2019 07:00 | Nuit | 51,9 | 36,4 |
| 06/07/2019 07:00 | 06/07/2019 22:00 | Jour | 50,7 | 47,3 |
| 06/07/2019 22:00 | 07/07/2019 07:00 | Nuit | 51,7 | 39,0 |
| 07/07/2019 07:00 | 07/07/2019 22:00 | Jour | 52,1 | 47,8 |
| 07/07/2019 22:00 | 08/07/2019 07:00 | Nuit | 51,5 | 40,6 |
| 08/07/2019 07:00 | 08/07/2019 22:00 | Jour | 52,9 | 47,4 |
| 08/07/2019 22:00 | 09/07/2019 07:00 | Nuit | 51,4 | 41,0 |
| 09/07/2019 07:00 | 09/07/2019 22:00 | Jour | 51,7 | 47,0 |
| 09/07/2019 22:00 | 10/07/2019 07:00 | Nuit | 51,9 | 37,5 |
| 10/07/2019 07:00 | 10/07/2019 22:00 | Jour | 50,3 | 45,2 |
| 10/07/2019 22:00 | 11/07/2019 07:00 | Nuit | 52,7 | 33,7 |
| 11/07/2019 07:00 | 11/07/2019 22:00 | Jour | 55,2 | 46,4 |
| 11/07/2019 22:00 | 12/07/2019 07:00 | Nuit | 52,6 | 36,3 |
| 12/07/2019 07:00 | 12/07/2019 22:00 | Jour | 51,7 | 46,3 |
| 12/07/2019 22:00 | 13/07/2019 07:00 | Nuit | 51,3 | 33,3 |
| 13/07/2019 07:00 | 13/07/2019 22:00 | Jour | 50,2 | 45,7 |
| 13/07/2019 22:00 | 14/07/2019 07:00 | Nuit | 51,4 | 31,7 |
| 14/07/2019 07:00 | 14/07/2019 22:00 | Jour | 53,3 | 45,8 |
| 14/07/2019 22:00 | 15/07/2019 07:00 | Nuit | 51,1 | 33,7 |
| 15/07/2019 07:00 | 15/07/2019 22:00 | Jour | 54,5 | 45,0 |
| 15/07/2019 22:00 | 16/07/2019 07:00 | Nuit | 52,1 | 29,7 |
| 16/07/2019 07:00 | 16/07/2019 22:00 | Jour | 55,8 | 45,8 |
| 16/07/2019 22:00 | 17/07/2019 07:00 | Nuit | 49,8 | 28,6 |
| 17/07/2019 07:00 | 17/07/2019 22:00 | Jour | 53,8 | 44,9 |
| 17/07/2019 22:00 | 18/07/2019 07:00 | Nuit | 49,8 | 29,4 |
| 18/07/2019 07:00 | 18/07/2019 22:00 | Jour | 52,9 | 46,4 |
| 18/07/2019 22:00 | 19/07/2019 07:00 | Nuit | 55,0 | 27,7 |
| 19/07/2019 07:00 | 19/07/2019 22:00 | Jour | 54,6 | 46,8 |
| 19/07/2019 22:00 | 20/07/2019 07:00 | Nuit | 49,6 | 26,1 |
| 20/07/2019 07:00 | 20/07/2019 22:00 | Jour | 54,3 | 48,0 |
| 20/07/2019 22:00 | 21/07/2019 07:00 | Nuit | 52,2 | 31,3 |
| 21/07/2019 07:00 | 21/07/2019 22:00 | Jour | 56,9 | 48,4 |
| 21/07/2019 22:00 | 22/07/2019 07:00 | Nuit | 51,6 | 29,5 |
| 22/07/2019 07:00 | 22/07/2019 22:00 | Jour | 53,4 | 48,2 |
| 22/07/2019 22:00 | 23/07/2019 07:00 | Nuit | 52,0 | 27,8 |
| 23/07/2019 07:00 | 23/07/2019 22:00 | Jour | 54,3 | 48,3 |
| 23/07/2019 22:00 | 24/07/2019 07:00 | Nuit | 54,8 | 28,9 |
| 24/07/2019 07:00 | 24/07/2019 22:00 | Jour | 59,2 | 48,2 |
| 24/07/2019 22:00 | 25/07/2019 07:00 | Nuit | 52,8 | 31,3 |
| 25/07/2019 07:00 | 25/07/2019 22:00 | Jour | 58,4 | 49,3 |
| 25/07/2019 22:00 | 26/07/2019 07:00 | Nuit | 54,1 | 29,8 |
| 26/07/2019 07:00 | 26/07/2019 22:00 | Jour | 64,0 | 52,4 |
| 26/07/2019 22:00 | 27/07/2019 07:00 | Nuit | 53,3 | 35,6 |
| 27/07/2019 07:00 | 27/07/2019 22:00 | Jour | 56,3 | 52,3 |
| 27/07/2019 22:00 | 28/07/2019 07:00 | Nuit | 53,4 | 26,9 |
| 28/07/2019 07:00 | 28/07/2019 22:00 | Jour | 57,4 | 54,5 |
| 28/07/2019 22:00 | 29/07/2019 07:00 | Nuit | 54,8 | 26,5 |
| 29/07/2019 07:00 | 29/07/2019 22:00 | Jour | 57,8 | 53,4 |
| 29/07/2019 22:00 | 30/07/2019 07:00 | Nuit | 54,6 | 25,5 |
| 30/07/2019 07:00 | 30/07/2019 22:00 | Jour | 57,3 | 53,6 |
| 30/07/2019 22:00 | 31/07/2019 07:00 | Nuit | 53,2 | 28,6 |
| 31/07/2019 07:00 | 31/07/2019 22:00 | Jour | 56,5 | 51,8 |
| 31/07/2019 22:00 | 01/08/2019 07:00 | Nuit | 53,5 | 24,3 |
| 01/08/2019 07:00 | 01/08/2019 22:00 | Jour | 56,4 | 50,4 |
| 01/08/2019 22:00 | 02/08/2019 07:00 | Nuit | 51,6 | 26,8 |
| 02/08/2019 07:00 | 02/08/2019 22:00 | Jour | 53,9 | 47,5 |
| 02/08/2019 22:00 | 03/08/2019 07:00 | Nuit | 50,8 | 29,3 |
| 03/08/2019 07:00 | 03/08/2019 22:00 | Jour | 50,9 | 45,6 |
| 03/08/2019 22:00 | 04/08/2019 07:00 | Nuit | 51,3 | 27,6 |
| 04/08/2019 07:00 | 04/08/2019 22:00 | Jour | 51,3 | 42,7 |
| 04/08/2019 22:00 | 05/08/2019 07:00 | Nuit | 53,7 | 30,6 |
| 05/08/2019 07:00 | 05/08/2019 22:00 | Jour | 51,3 | 39,0 |
| 05/08/2019 22:00 | 06/08/2019 07:00 | Nuit | 51,7 | 30,1 |
| 06/08/2019 07:00 | 06/08/2019 22:00 | Jour | 46,2 | 37,6 |
| 06/08/2019 22:00 | 07/08/2019 07:00 | Nuit | 49,4 | 29,5 |
| 07/08/2019 07:00 | 07/08/2019 22:00 | Jour | 54,5 | 46,4 |
| 07/08/2019 22:00 | 08/08/2019 07:00 | Nuit | 51,5 | 29,5 |
| 08/08/2019 07:00 | 08/08/2019 22:00 | Jour | 60,5 | 42,0 |
| 08/08/2019 22:00 | 09/08/2019 07:00 | Nuit | 60,5 | 26,2 |



Volkswind – Projet éolien de Mazerolles (86)
Etude d'impact acoustique

| Début | Fin | Période | LAeq | L50 |
|------------------|------------------|---------|------|------|
| 02/07/2019 22:00 | 03/07/2019 07:00 | Nuit | 41,5 | 42,1 |
| 03/07/2019 07:00 | 03/07/2019 22:00 | Jour | 48,5 | 39,9 |
| 03/07/2019 22:00 | 04/07/2019 07:00 | Nuit | 39,0 | 36,0 |
| 04/07/2019 07:00 | 04/07/2019 22:00 | Jour | 49,4 | 42,5 |
| 04/07/2019 22:00 | 05/07/2019 07:00 | Nuit | 47,8 | 35,2 |
| 05/07/2019 07:00 | 05/07/2019 22:00 | Jour | 48,9 | 45,1 |
| 05/07/2019 22:00 | 06/07/2019 07:00 | Nuit | 46,2 | 37,4 |
| 06/07/2019 07:00 | 06/07/2019 22:00 | Jour | 63,2 | 42,9 |
| 06/07/2019 22:00 | 07/07/2019 07:00 | Nuit | 44,9 | 38,7 |
| 18/07/2019 22:00 | 19/07/2019 07:00 | Nuit | 44,6 | 43,6 |
| 19/07/2019 07:00 | 19/07/2019 22:00 | Jour | 45,3 | 36,2 |
| 19/07/2019 22:00 | 20/07/2019 07:00 | Nuit | 39,2 | 23,5 |
| 20/07/2019 07:00 | 20/07/2019 22:00 | Jour | 45,6 | 39,3 |
| 20/07/2019 22:00 | 21/07/2019 07:00 | Nuit | 43,5 | 28,2 |
| 21/07/2019 07:00 | 21/07/2019 22:00 | Jour | 44,9 | 34,7 |
| 21/07/2019 22:00 | 22/07/2019 07:00 | Nuit | 38,3 | 26,5 |
| 22/07/2019 07:00 | 22/07/2019 22:00 | Jour | 44,4 | 33,9 |
| 22/07/2019 22:00 | 23/07/2019 07:00 | Nuit | 38,5 | 26,2 |
| 23/07/2019 07:00 | 23/07/2019 22:00 | Jour | 44,0 | 34,9 |
| 23/07/2019 22:00 | 24/07/2019 07:00 | Nuit | 38,6 | 30,1 |
| 24/07/2019 07:00 | 24/07/2019 22:00 | Jour | 42,7 | 31,6 |
| 24/07/2019 22:00 | 25/07/2019 07:00 | Nuit | 39,9 | 32,7 |
| 25/07/2019 07:00 | 25/07/2019 22:00 | Jour | 43,5 | 33,9 |
| 25/07/2019 22:00 | 26/07/2019 07:00 | Nuit | 36,5 | 28,5 |
| 26/07/2019 07:00 | 26/07/2019 22:00 | Jour | 44,9 | 34,3 |
| 26/07/2019 22:00 | 27/07/2019 07:00 | Nuit | 44,6 | 36,9 |
| 27/07/2019 07:00 | 27/07/2019 22:00 | Jour | 43,0 | 34,7 |
| 27/07/2019 22:00 | 28/07/2019 07:00 | Nuit | 36,1 | 29,6 |
| 28/07/2019 07:00 | 28/07/2019 22:00 | Jour | 46,9 | 36,5 |
| 28/07/2019 22:00 | 29/07/2019 07:00 | Nuit | 36,6 | 28,2 |
| 29/07/2019 07:00 | 29/07/2019 22:00 | Jour | 44,1 | 34,7 |
| 29/07/2019 22:00 | 30/07/2019 07:00 | Nuit | 35,4 | 26,4 |
| 30/07/2019 07:00 | 30/07/2019 22:00 | Jour | 45,6 | 40,2 |
| 30/07/2019 22:00 | 31/07/2019 07:00 | Nuit | 35,8 | 27,2 |
| 31/07/2019 07:00 | 31/07/2019 22:00 | Jour | 44,7 | 33,5 |
| 31/07/2019 22:00 | 01/08/2019 07:00 | Nuit | 39,5 | 24,6 |
| 01/08/2019 07:00 | 01/08/2019 22:00 | Jour | 43,1 | 33,8 |
| 01/08/2019 22:00 | 02/08/2019 07:00 | Nuit | 37,3 | 28,1 |
| 02/08/2019 07:00 | 02/08/2019 22:00 | Jour | 42,9 | 32,1 |
| 02/08/2019 22:00 | 03/08/2019 07:00 | Nuit | 37,0 | 29,1 |
| 03/08/2019 07:00 | 03/08/2019 22:00 | Jour | 38,7 | 30,4 |
| 03/08/2019 22:00 | 04/08/2019 07:00 | Nuit | 36,2 | 26,2 |
| 04/08/2019 07:00 | 04/08/2019 22:00 | Jour | 39,8 | 31,9 |
| 04/08/2019 22:00 | 05/08/2019 07:00 | Nuit | 36,4 | 26,3 |
| 05/08/2019 07:00 | 05/08/2019 22:00 | Jour | 46,9 | 35,6 |
| 05/08/2019 22:00 | 06/08/2019 07:00 | Nuit | 35,6 | 28,7 |
| 06/08/2019 07:00 | 06/08/2019 22:00 | Jour | 46,4 | 35,3 |
| 06/08/2019 22:00 | 07/08/2019 07:00 | Nuit | 37,0 | 27,2 |

4.3. ANALYSE DU BRUIT RESIDUEL EN FONCTION DE LA VITESSE DU VENT

4.3.1. METHODOLOGIE GENERALE

L'analyse du bruit résiduel en fonction de la vitesse du vent est réalisée à partir des mesures *in situ* présentées précédemment et des données de vent issues du mât de mesures de hauteur 10 m, situé sur le site :

- **Les niveaux de bruit résiduel :**

Les niveaux de bruit résiduel sont déterminés à partir de l'**indicateur L_{50}** qui représente le niveau sonore atteint ou dépassé pendant 50 % du temps. Cet indicateur est adapté à la problématique de l'éolien car il caractérise bien les « bruits de fond moyens » en s'affranchissant des bruits particuliers ponctuels.

Ils sont calculés sur une durée d'intégration élémentaire de 1 seconde puis calculés sur un pas de 10 minutes.

Ces niveaux de bruit résiduel sont ensuite analysés par **classe de vent** (selon la vitesse du vent globalement comprise entre 2 et 10 m/s à la hauteur standardisée de 10 m du sol) et par **classe homogène** (période de jour 7h-22h, de nuit 22h-7h).

- **Les vitesses du vent :**

Afin d'avoir un référentiel de vitesse de vent comparable aux données d'émissions des éoliennes (les puissances acoustiques des éoliennes sont caractérisées selon la norme IEC 61-400-11, et sont d'une manière générale fournies pour un vent de référence à la hauteur de 10 m du sol dans des conditions de rugosité du sol standard à $Z_0=0,05$ m), la vitesse du vent mesurée à hauteur de l'anémomètre est estimée à hauteur du moyeu en considérant la rugosité Z , puis est ramenée à hauteur de 10 m en considérant la rugosité standard $Z_0=0,05$ m. Ici, vu la configuration du site présentant des cultures basses, la rugosité estimée correspond à une rugosité $Z=0,05$ m.

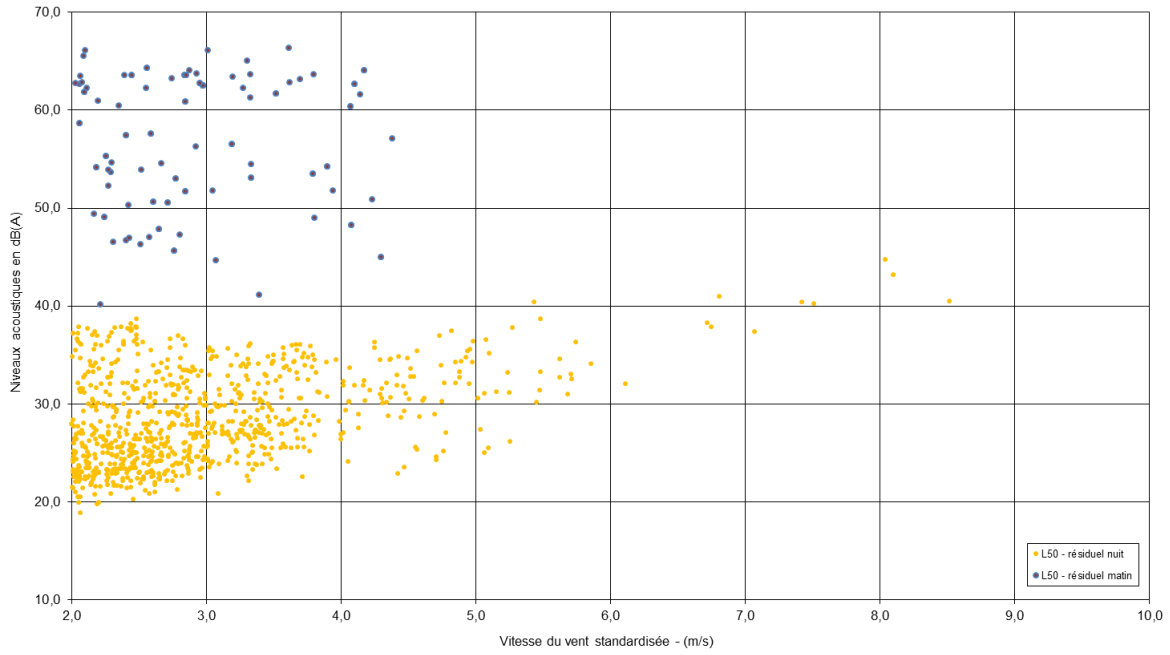
Les données de vent dans l'analyse « bruit-vent » sont donc sous la forme de **vitesse standardisée à 10 m du sol**, notée V_s dans la suite du rapport.

L'analyse porte sur l'ensemble des secteurs de vent. En effet, les niveaux de bruit changent principalement avec la vitesse du vent mais peu avec sa direction. Aucune source sonore particulière (routes, voies ferrées, industries...) n'est suffisamment impactante pour justifier de séparer l'analyse selon plusieurs directions de vent. Par exemple, la séparation en secteurs de vents permet d'analyser le résiduel en tenant compte de la position des éoliennes lors de réception de parcs en fonctionnement. L'analyse est donc valable pour l'ensemble des directions de vent.

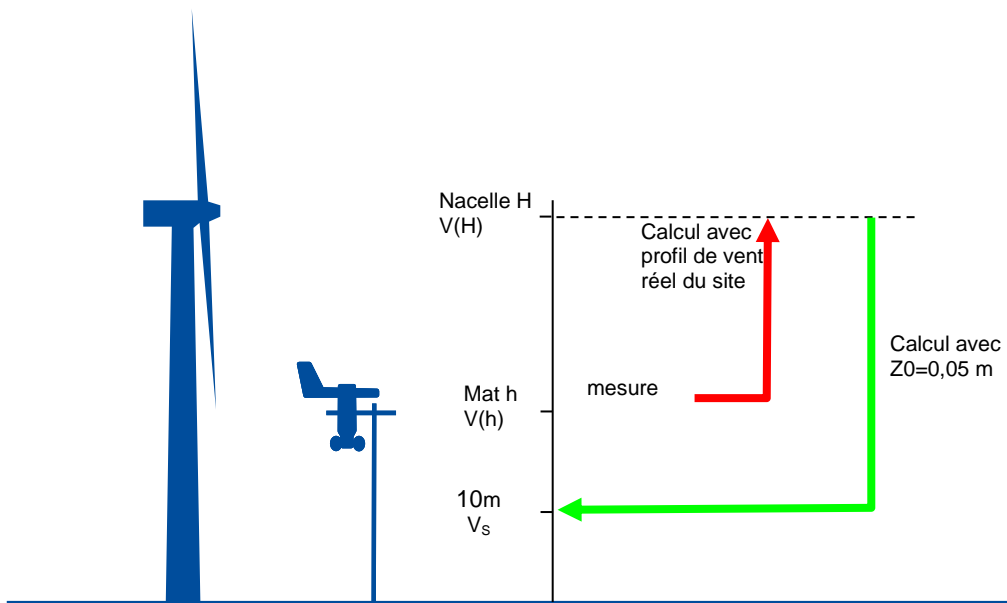
D'autre part, l'analyse selon les périodes jour/nuit réglementaires, 7h-22h et 22h-7h, est suffisante. En effet, l'analyse montre qu'en cette période de l'année, la période du chorus matinal (période de réveil de la faune entre 6h et 7h) est très bruyante. Ainsi, il convient de ne pas retenir les niveaux sonores car ceci aurait pour effet d'augmenter les niveaux sonores résiduels de la période de nuit (22h-7h).

La figure ci-dessous illustre la séparation en fonction de sous-périodes horaires données par le chorus matinal (période de réveil de la faune).

PF10 - Villeneuve, 86320 Mazerolles - Période de Nuit (22h-7h)



Exemple d'observation de sous-périodes horaires « chorus matinal » – période 22h – 6h en jaune et période 6h-7h en bleu



Principe du calcul de la vitesse standardisée V_s

H : hauteur de la nacelle (m),
 H_{ref} : hauteur de référence (10m),
 h : hauteur de mesure de l'anémomètre (m),
 $V(h)$: vitesse mesurée à la hauteur h .

Afin de s'assurer de conditions météorologiques analogues en termes de conditions de vent pour l'estimation des niveaux sonores ambiants et résiduels, l'analyse de l'émergence s'appuie sur le calcul de l'indicateur de bruit. Ce calcul de l'indicateur de bruit se base sur les deux étapes suivantes :

▪ **Calcul des valeurs médianes des descripteurs et de la vitesse de vent moyenne**

Les couples « vitesse standardisée moyenne/niveau sonore » sont calculés pour chaque classe de vitesse de vent.

▪ **Interpolations et extrapolations aux valeurs de vitesses de vent entières**

Les niveaux sonores sont déterminés pour chaque vitesse de vent entière à partir de l'interpolation linéaire entre les couples « vitesse standardisée moyenne/niveau sonore ».

Les analyses « **bruit – vent** » permettent de déterminer les médianes recentrées correspondant aux niveaux sonores moyens mesurés par intervalle de vitesse de vent à 10 m (selon le projet de norme NF S 31-114).

Ainsi, pour toutes les vitesses de vent comprises entre 3 et 10 m/s, les niveaux L_{50} peuvent être estimés pour chacun des points de mesures.

Ces niveaux sont d'autant plus fiables qu'il y a d'échantillons (couples L_{50} / V_s) par classe de vent et par classe homogène.

4.3.2. RESULTATS

Les analyses « bruit-vent » réalisées selon la méthodologie précédemment détaillée, permet de déterminer les niveaux de bruit résiduel pour les classes homogènes suivantes :

- **Classe 1** : période de jour (7h-22h)
- **Classe 2** : période de nuit (22h-7h).

Le nombre d'échantillons par classe homogène et par classe de vent est donné dans les tableaux suivants.

| Nb échantillons JOUR (7h-22h) | 3 m/s | 4 m/s | 5 m/s | 6 m/s | 7 m/s | 8 m/s | 9 m/s | 10 m/s |
|----------------------------------|-------|-------|-------|-------|-------|-------|-------|--------|
| PF1 | 751 | 575 | 311 | 110 | 30 | 3 | 0 | 0 |
| PF2 | 704 | 545 | 298 | 116 | 35 | 3 | 0 | 0 |
| PF3 | 325 | 299 | 214 | 92 | 22 | 0 | 0 | 0 |
| PF4 | 470 | 419 | 263 | 93 | 23 | 0 | 0 | 0 |
| PF5 | 759 | 586 | 304 | 116 | 28 | 3 | 0 | 0 |
| PF6 | 764 | 585 | 305 | 111 | 26 | 2 | 0 | 0 |
| PF7 | 776 | 596 | 314 | 124 | 47 | 4 | 0 | 0 |
| PF8 | 660 | 525 | 276 | 108 | 36 | 3 | 0 | 0 |
| PF9 | 423 | 412 | 260 | 93 | 21 | 0 | 0 | 0 |
| PF10 | 764 | 586 | 316 | 119 | 41 | 3 | 0 | 0 |
| PF11 | 433 | 333 | 176 | 52 | 13 | 3 | 0 | 0 |

Nombres d'échantillons par classe de vitesse de vent pour la classe 1

| Nb échantillons NUIT (22h-7h) | 3 m/s | 4 m/s | 5 m/s | 6 m/s | 7 m/s | 8 m/s | 9 m/s | 10 m/s |
|----------------------------------|-------|-------|-------|-------|-------|-------|-------|--------|
| PF1 | 371 | 109 | 48 | 8 | 6 | 3 | 1 | 0 |
| PF2 | 295 | 63 | 34 | 8 | 6 | 3 | 1 | 0 |
| PF3 | 129 | 22 | 17 | 2 | 1 | 0 | 0 | 0 |
| PF4 | 162 | 29 | 23 | 8 | 6 | 3 | 1 | 0 |
| PF5 | 190 | 42 | 30 | 7 | 3 | 3 | 1 | 0 |
| PF6 | 254 | 35 | 22 | 7 | 6 | 3 | 1 | 0 |
| PF7 | 236 | 43 | 18 | 8 | 6 | 3 | 1 | 0 |
| PF8 | 156 | 26 | 22 | 8 | 6 | 3 | 1 | 0 |
| PF9 | 162 | 49 | 30 | 8 | 6 | 3 | 1 | 0 |
| PF10 | 360 | 104 | 48 | 8 | 5 | 3 | 1 | 0 |
| PF11 | 268 | 88 | 30 | 6 | 6 | 3 | 1 | 0 |

Nombres d'échantillons par classe de vitesse de vent pour la classe 2

En période de jour, le nombre d'échantillons est satisfaisant pour toutes les vitesses de vents jusqu'à 7 m/s, pour la plupart des points. En période de nuit, le nombre d'échantillons est satisfaisant jusqu'à 5 m/s pour la plupart des points. Lorsque le nombre d'échantillons est inférieur à 10 en période de jour (à partir de 8 m/s), une extrapolation réaliste est réalisée à l'aide d'une droite de régression linéaire basée sur les médianes recentrées qui ont pu être calculées. En période de nuit, lorsque le nombre d'échantillons est inférieur à 10 (à partir de 6 m/s), on calcule les niveaux de bruit résiduels pour les vitesses 6 m/s et 7 m/s avec un nombre d'échantillons inférieur à 10. Pour les vitesses de vents supérieures à 8 m/s, on réalise une extrapolation de la même manière que pour la période de jour.

Les résultats des niveaux du bruit résiduel sont présentés dans les tableaux suivants, en décibels A, pour les deux classes homogènes.

| Niveaux résiduels JOUR (7h-22h) | 3 m/s | 4 m/s | 5 m/s | 6 m/s | 7 m/s | 8 m/s | 9 m/s | 10 m/s |
|---------------------------------|-------|-------|-------|-------|-------|-------|-------|--------|
| PF1 | 38,0 | 38,7 | 39,4 | 41,2 | 44,2 | 44,8 | 46,2 | 47,7 |
| PF2 | 31,6 | 33,1 | 35,9 | 38,4 | 41,8 | 43,8 | 46,4 | 48,9 |
| PF3 | 31,0 | 33,9 | 37,9 | 41,4 | 46,3 | 49,5 | 53,3 | 57,1 |
| PF4 | 31,2 | 33,6 | 37,0 | 40,1 | 43,9 | 46,7 | 49,9 | 53,1 |
| PF5 | 36,6 | 37,3 | 38,8 | 40,8 | 41,8 | 43,2 | 44,6 | 46,0 |
| PF6 | 41,2 | 41,2 | 42,5 | 44,1 | 47,9 | 48,3 | 49,9 | 51,5 |
| PF7 | 37,6 | 38,6 | 41,5 | 43,3 | 46,3 | 48,1 | 50,3 | 52,5 |
| PF8 | 38,5 | 42,4 | 46,9 | 50,3 | 52,1 | 53,8 | 55,6 | 57,4 |
| PF9 | 35,5 | 38,0 | 40,9 | 43,8 | 46,3 | 49,1 | 51,8 | 54,5 |
| PF10 | 47,3 | 47,3 | 47,3 | 47,5 | 47,7 | 47,8 | 47,9 | 48,0 |
| PF11 | 34,7 | 37,1 | 39,4 | 41,4 | 43,9 | 46,1 | 48,4 | 50,6 |

Valeurs en italiques : valeurs estimées

Niveaux résiduels par classe de vitesse de vent pour la classe 1 (période de jour)

| Niveaux résiduels NUIT (22h-7h) | 3 m/s | 4 m/s | 5 m/s | 6 m/s | 7 m/s | 8 m/s | 9 m/s | 10 m/s |
|---------------------------------|-------|-------|-------|-------|-------|-------|-------|--------|
| PF1 | 26,1 | 28,3 | 29,9 | 32,2 | 36,9 | 38,3 | 40,9 | 43,4 |
| PF2 | 25,0 | 28,8 | 31,0 | 33,9 | 38,7 | 41,2 | 44,5 | 47,7 |
| PF3 | 24,7 | 33,0 | 36,1 | 39,3 | 42,5 | 45,6 | 48,8 | 52,0 |
| PF4 | 26,6 | 30,9 | 33,0 | 37,9 | 42,3 | 45,6 | 49,4 | 53,1 |
| PF5 | 23,9 | 29,5 | 32,3 | 40,6 | 41,8 | 43,0 | 44,2 | 45,4 |
| PF6 | 22,5 | 26,2 | 34,4 | 36,2 | 38,2 | 40,1 | 42,0 | 43,9 |
| PF7 | 24,7 | 30,1 | 32,6 | 39,5 | 41,8 | 44,1 | 46,4 | 48,7 |
| PF8 | 31,6 | 38,8 | 44,0 | 48,7 | 50,6 | 52,5 | 54,4 | 56,3 |
| PF9 | 30,2 | 37,5 | 39,9 | 40,6 | 40,8 | 41,3 | 41,8 | 42,2 |
| PF10 | 27,9 | 31,2 | 32,3 | 34,3 | 40,0 | 41,3 | 44,1 | 46,8 |
| PF11 | 28,6 | 32,5 | 35,0 | 38,4 | 42,2 | 45,2 | 48,4 | 50,6 |

Valeurs en italiques : valeurs estimées

Niveaux résiduels par classe de vitesse de vent pour la classe 2 (période de nuit)

Les niveaux résiduels sont globalement compris entre 22 et 57 dB(A) en période de nuit (22h-7h) et entre 31 et 58 dB(A) en période de jour (7h-22h) selon les vitesses de vent.

Ce sont ces valeurs du bruit résiduel, caractéristiques des différentes ambiances sonores du site, qui serviront de base dans les calculs prévisionnels des émergences au droit des habitations riveraines au projet de Mazerolles.

Les différentes analyses « bruit-vent » réalisées pour chaque point de mesure sont présentées en annexe pour les périodes de jour (7h-22h) et de nuit (22h-7h).

5. ANALYSE PREVISIONNELLE

L'analyse prévisionnelle se décompose en deux phases qui consistent tout d'abord à déterminer l'impact acoustique du projet, puis à estimer les émergences futures :

- **L'étude de l'impact acoustique du projet éolien** dans son environnement consiste à analyser la propagation du bruit autour des éoliennes jusqu'aux riverains les plus proches en y calculant la contribution sonore du projet.
- **L'analyse des émergences futures liées au projet**, estimées à partir de la contribution sonore du projet et des mesures in situ, permet de valider le respect de la réglementation française en vigueur, ou, le cas échéant, de proposer des solutions adaptées pour y parvenir.

5.1. CALCULS PREVISIONNELS DE LA CONTRIBUTION DU PROJET

5.1.1. PRESENTATION DU MODELE DE CALCUL

L'estimation des niveaux sonores est réalisée à partir de la **modélisation du site en trois dimensions** à l'aide du logiciel CADNAA, logiciel développé par DataKustik en Allemagne, un des leaders mondiaux depuis plus de 25 ans dans le domaine du calcul de la dispersion acoustique.

Cette modélisation tient compte des émissions sonores de chacune des éoliennes (sources ponctuelles disposées à hauteur du moyeu) et de la propagation acoustique en trois dimensions selon la topographie du site (distance, hauteur, exposition directe ou indirecte), la nature du sol et l'absorption dans l'air.

La modélisation du site a été réalisée à partir du modèle numérique de terrain en trois dimensions et les calculs ont été effectués avec la méthode ISO-9613-2 qui prend en compte les conditions météorologiques (hypothèse prise : 100% d'occurrences météorologiques). Les paramètres de calculs sont donnés en annexe du rapport.

La figure suivante illustre la modélisation du site en 3D à partir du logiciel CadnaA.



Aperçu de la modélisation 3D du site (image 3D CadnaA)

5.1.2. CONFIGURATION ETUDIEE

Les calculs sont réalisés pour une configuration élaborée à partir de deux modèles d'éoliennes :

- VESTAS V150 – 4,2 MW – 125 m de hauteur de moyeu – avec peignes sur les pales,
- NORDEX N149 – 4,5 MW – 125 m de hauteur de moyeu – avec peignes sur les pales.

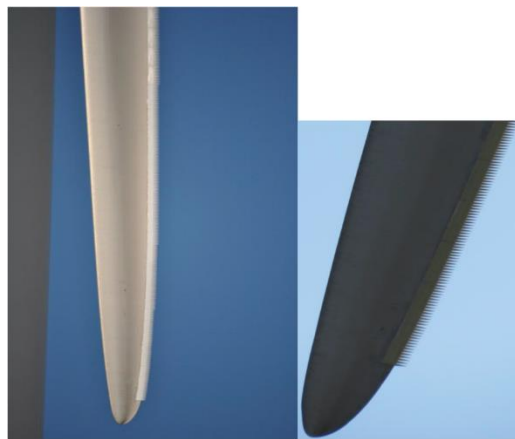
L'implantation étudiée est composée de 4 éoliennes. Les coordonnées d'implantation des éoliennes sont données dans le tableau suivant.

| Numéro Eolienne | Coordonnées en Lambert 93* | |
|-----------------|----------------------------|-----------|
| | X | Y |
| E01 | 518 963 | 6 590 812 |
| E02 | 518 594 | 6 590 422 |
| E03 | 518 148 | 6 590 115 |
| E04 | 518 554 | 6 589 916 |

* Coordonnées arrondies au mètre près

Tableau des coordonnées d'implantation des éoliennes

Les éoliennes de type VESTAS V150 et NORDEX N149 sont équipées de peignes positionnés sur toutes les pales afin de réduire les émissions sonores tout en conservant la production d'électricité (voir illustrations ci-dessous). Ces peignes sont parfois appelés STE (serrated trailing edge : bords de fuite dentelés).



Illustrations du montage des peignes sur les pales d'une éolienne
(source VESTAS : 0048-1259 V01 - STE Technical description)

5.1.3. HYPOTHESES D'EMISSIONS

Les émissions acoustiques utilisées dans les calculs de propagation correspondent aux valeurs globales garanties (données constructeur VESTAS et NORDEX). Les spectres de puissances acoustiques pris comme hypothèses de base dans les calculs de propagation sont présentés dans le tableau ci-après, en fonction de la vitesse de vent standardisée (à 10 m du sol).

VESTAS V150 – 4,2 MW – STE – 125 m – Mode 0s

| dB(A) | 63 Hz | 125 Hz | 250 Hz | 500 Hz | 1000 Hz | 2000 Hz | 4000 Hz | 8000 Hz | Global en dB(A) |
|--------|-------|--------|--------|--------|---------|---------|---------|---------|-----------------|
| 3 m/s | 72,7 | 80,5 | 85,4 | 87,3 | 86,2 | 82,0 | 74,9 | 64,8 | 92,1 |
| 4 m/s | 76,8 | 84,6 | 89,4 | 91,3 | 90,2 | 86,0 | 78,9 | 68,7 | 96,1 |
| 5 m/s | 82,1 | 89,8 | 94,5 | 96,4 | 95,2 | 91,1 | 84,1 | 74,1 | 101,2 |
| 6 m/s | 85,6 | 93,3 | 97,9 | 99,8 | 98,6 | 94,5 | 87,6 | 77,7 | 104,6 |
| 7 m/s | 86,1 | 93,6 | 98,2 | 100,0 | 98,9 | 94,9 | 88,1 | 78,3 | 104,9 |
| 8 m/s | 86,3 | 93,6 | 98,2 | 100,0 | 98,9 | 95,0 | 88,4 | 78,8 | 104,9 |
| 9 m/s | 86,4 | 93,7 | 98,2 | 99,9 | 98,9 | 95,1 | 88,6 | 79,2 | 104,9 |
| 10 m/s | 86,6 | 93,7 | 98,2 | 99,9 | 98,9 | 95,1 | 88,7 | 79,5 | 104,9 |

Tableau des émissions sonores de l'éolienne Vestas V150

NORDEX N149 - 4,5 MW - STE - 125 m - Mode 0

| dB(A) | 63 Hz | 125 Hz | 250 Hz | 500 Hz | 1000 Hz | 2000 Hz | 4000 Hz | 8000 Hz | Global en dB(A) |
|--------|-------|--------|--------|--------|---------|---------|---------|---------|-----------------|
| 3 m/s | 77,0 | 83,8 | 87,5 | 87,3 | 86,8 | 85,6 | 83,5 | 75,2 | 94,0 |
| 4 m/s | 78,4 | 85,2 | 88,9 | 88,7 | 88,2 | 87,0 | 84,9 | 76,6 | 95,4 |
| 5 m/s | 82,5 | 89,5 | 93,3 | 94,2 | 94,7 | 93,4 | 89,1 | 79,9 | 100,8 |
| 6 m/s | 86,5 | 93,5 | 97,3 | 98,2 | 98,7 | 97,4 | 93,1 | 83,9 | 104,8 |
| 7 m/s | 87,8 | 94,8 | 98,6 | 99,5 | 100,0 | 98,7 | 94,4 | 85,2 | 106,1 |
| 8 m/s | 87,8 | 94,8 | 98,6 | 99,5 | 100,0 | 98,7 | 94,4 | 85,2 | 106,1 |
| 9 m/s | 89,0 | 94,7 | 97,0 | 97,8 | 99,6 | 100,1 | 97,8 | 87,2 | 106,1 |
| 10 m/s | 89,0 | 94,7 | 97,0 | 97,8 | 99,6 | 100,1 | 97,8 | 87,2 | 106,1 |

Tableau des émissions sonores de l'éolienne Nordex N149

Le détail de ces données est présenté en annexe, en fonction de la vitesse de vent à hauteur de nacelle.

5.1.4. RESULTATS DES CALCULS

Les simulations informatiques en trois dimensions permettent de déterminer la contribution sonore de l'ensemble du projet éolien selon les vitesses de fonctionnement, au droit de récepteurs (points de calculs) positionnés à proximité des habitations riveraines au projet et à hauteur de 2 m du sol.

La carte suivante localise la position des récepteurs, c'est-à-dire des points auxquels sont calculées la propagation du bruit émis par les éoliennes et l'émergence qui en résulte.

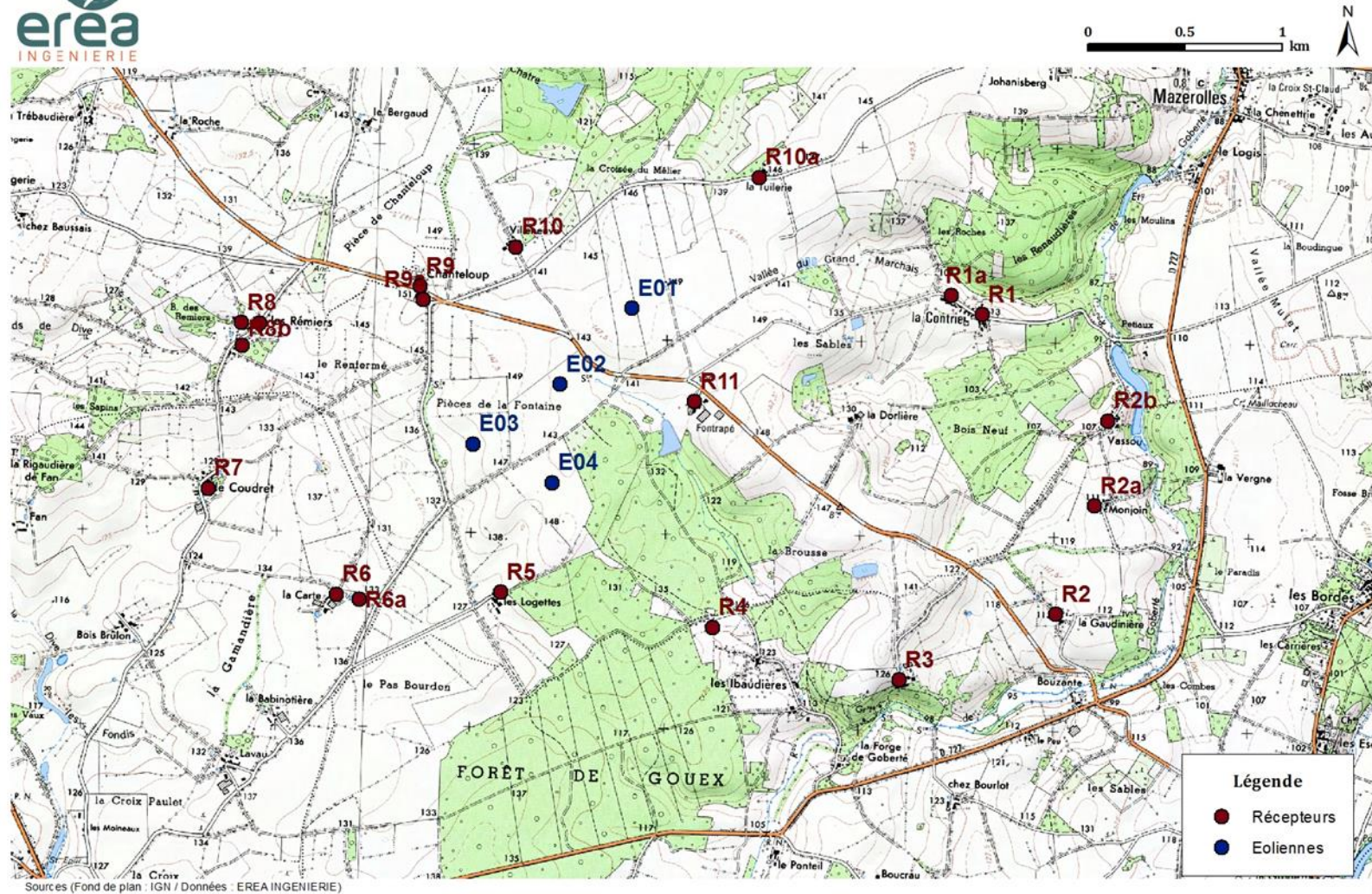
Les récepteurs de calculs sont positionnés de manière à quadriller les habitations et zones à émergence réglementée les plus exposées au parc éolien. Des points récepteurs de calculs sont donc placés au droit des habitations où des points de mesures ont été réalisés (R1, R2, R3, etc.) mais aussi au droit d'autres habitations à proximité (R2a, R3a, R3b, etc.) afin d'étudier les impacts sonores à venir de manière exhaustive. Pour les récepteurs positionnés au droit d'habitations où il n'y a pas eu de mesures sur site, les niveaux résiduels seront extrapolés par rapport au point de mesure le plus représentatif de l'ambiance sonore au droit du récepteur. Ainsi, l'émergence pourra être calculée en tout point récepteur.

De cette manière, si la réglementation est respectée au droit de tous les récepteurs de calculs (positionnés aux endroits les plus exposés au projet éolien), elle le sera au droit de toutes les zones à émergence réglementée aux alentours.

Les distances des points de calculs aux éoliennes les plus proches du projet éolien de Mazerolles sont répertoriées dans le tableau ci-dessous.

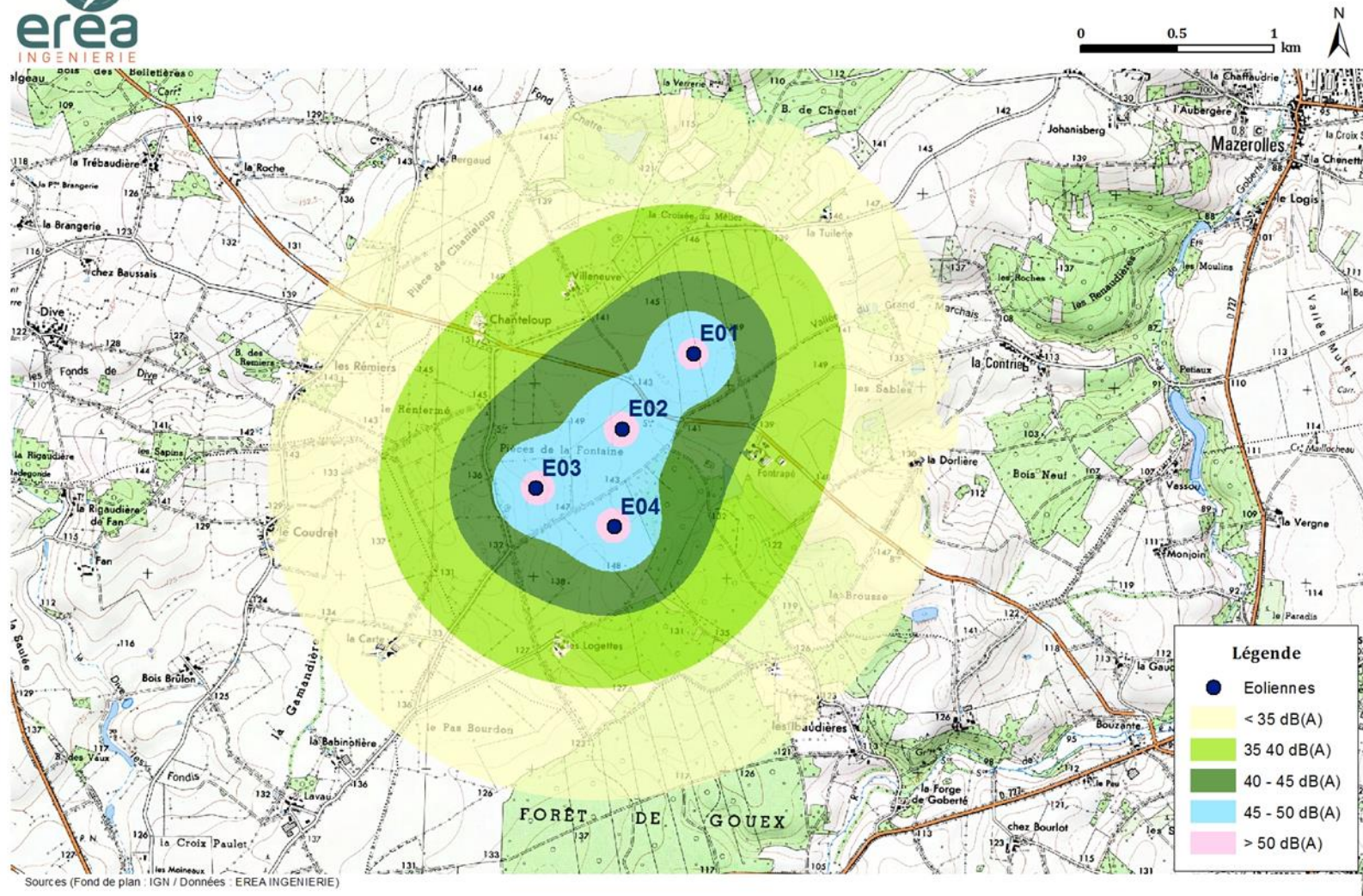
| Récepteurs | Distance de l'éolienne la plus proche (m) | Eolienne la plus proche |
|------------|-------------------------------------------|-------------------------|
| R1 | 1786 | E01 |
| R1a | 1653 | E01 |
| R2 | 2682 | E04 |
| R2a | 2608 | E01 |
| R2b | 2509 | E01 |
| R3 | 2018 | E04 |
| R4 | 1055 | E04 |
| R5 | 607 | E04 |
| R6 | 1043 | E03 |
| R6a | 992 | E03 |
| R7 | 1375 | E03 |
| R8 | 1327 | E03 |
| R8a | 1260 | E03 |
| R8b | 1289 | E03 |
| R9 | 862 | E03 |
| R9a | 785 | E03 |
| R10 | 671 | E01 |
| R10a | 945 | E01 |
| R11 | 604 | E01 |

Distance entre les points de calculs et les éoliennes les plus proches

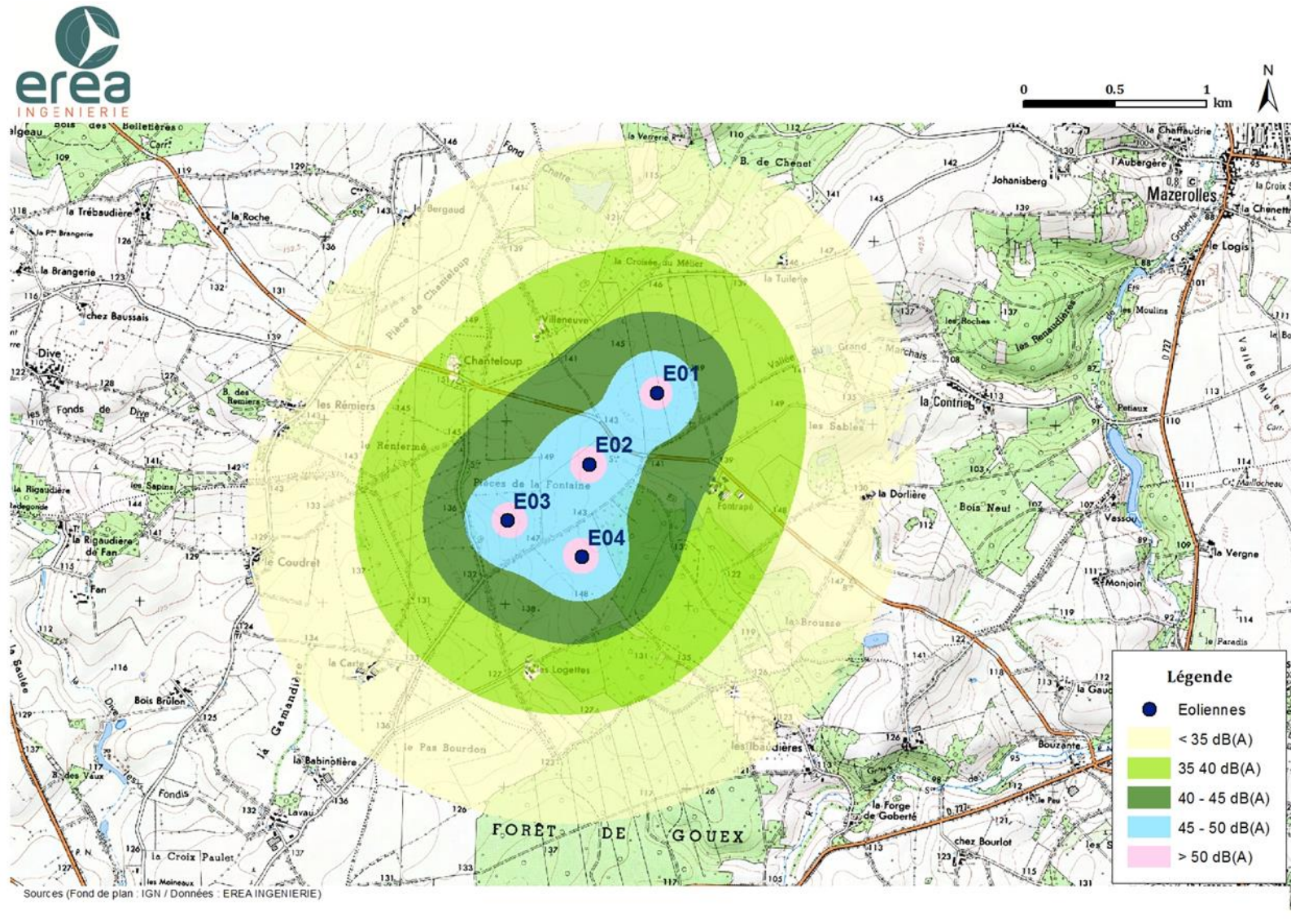


Localisation des récepteurs de calculs

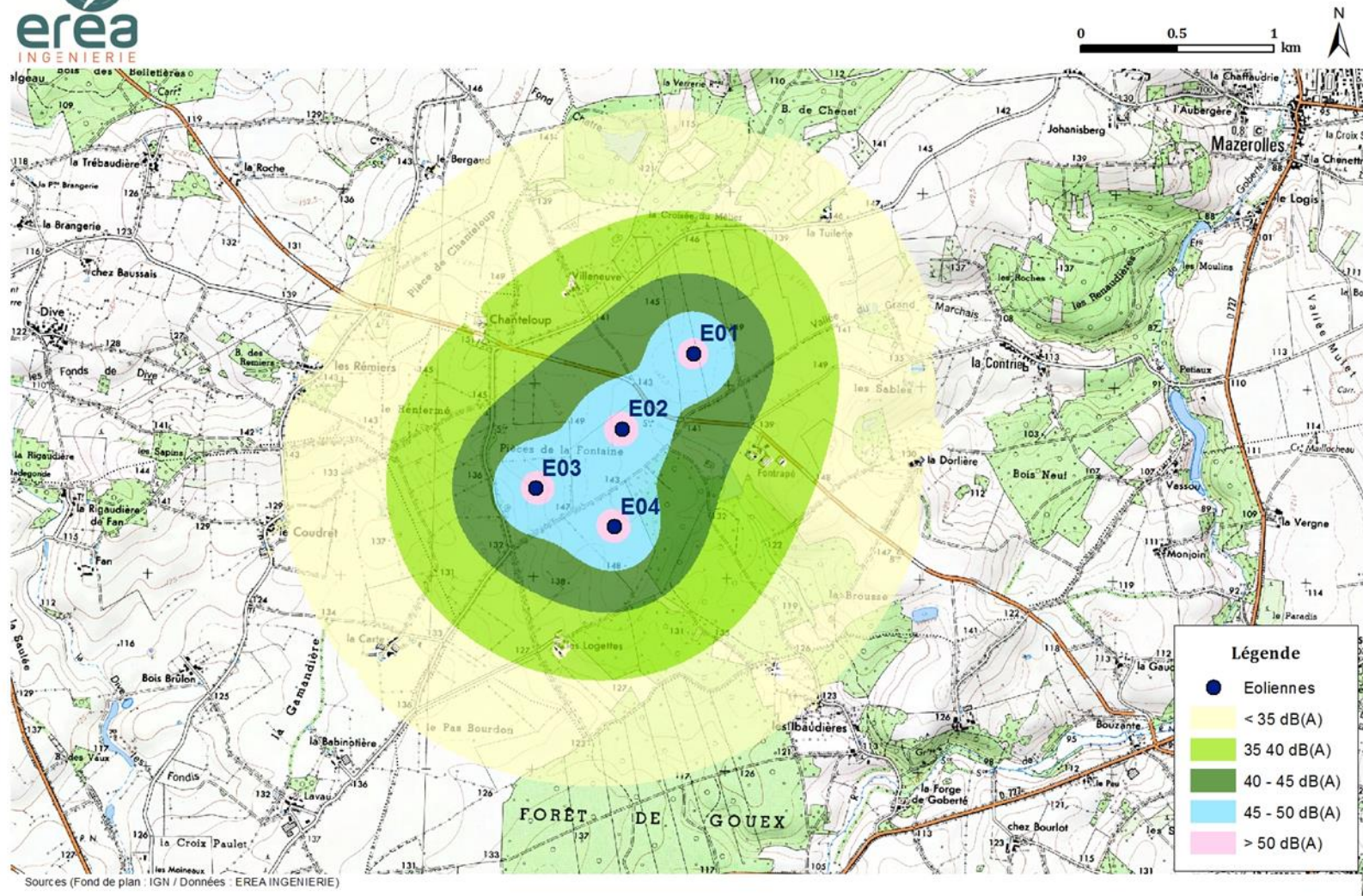
Les cartes d'isophones présentées dans la suite de ce document illustrent la propagation du bruit des éoliennes du projet dans l'environnement à une hauteur de 2 m du sol de vitesses standardisées 6 m/s et 10 m/s.



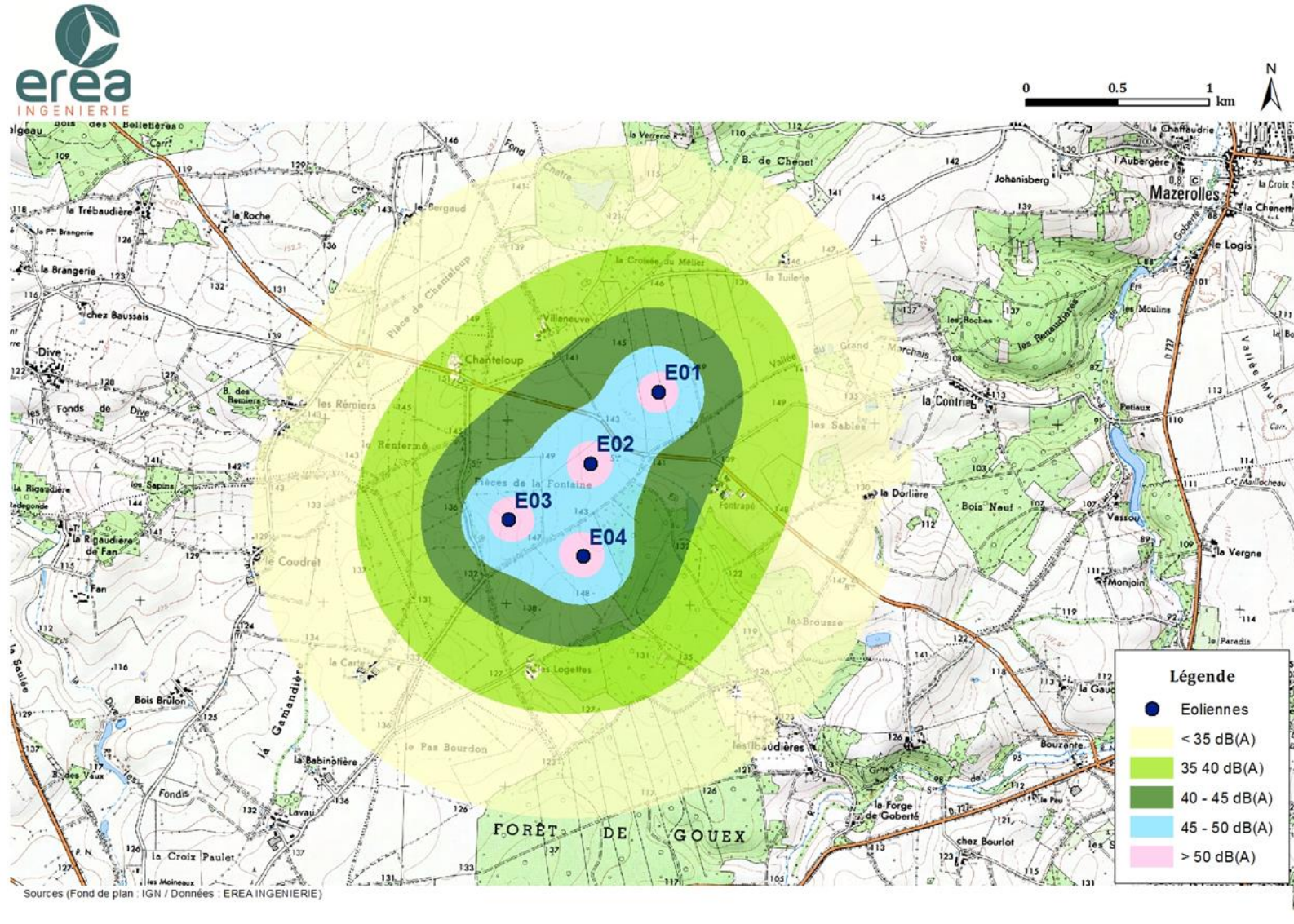
Isophones pour l'implantation de 4 éoliennes de modèle V150 pour un vent de vitesse standardisée de 6 m/s



Isophones pour l'implantation de 4 éoliennes de modèle V150 pour un vent de vitesse standardisée de 10 m/s



Isophones pour l'implantation de 4 éoliennes de modèle N149 pour un vent de vitesse standardisée de 6 m/s



Isophones pour l'implantation de 4 éoliennes de modèle N149 pour un vent de vitesse standardisée de 10 m/s

5.2. ESTIMATION DES EMERGENCES

Méthodologie

L'émergence globale à l'extérieur des habitations est calculée à partir des mesures *in situ* présentées précédemment et du résultat des calculs prévisionnels au droit des habitations.

Ainsi, l'émergence globale est calculée à partir du bruit résiduel L_{50} observé lors des mesures (selon analyses L_{50} / vitesse du vent) et de la contribution des éoliennes (selon les hypothèses d'émissions pour les deux configurations). Les émergences sont calculées pour des vitesses de vent allant de 3 à 10 m/s à 10 m du sol.

Les seuils réglementaires admissibles pour l'émergence globale sont rappelés ici :

- Période de jour (7h-22h) : émergence de 5 dB(A) pour des niveaux ambiants supérieurs à 35 dB(A),
- Période de nuit (22h-7h) : émergence de 3 dB(A) pour des niveaux ambiants supérieurs à 35 dB(A).

Ces résultats donnent :

- Le niveau de bruit résiduel à partir des mesures acoustiques
- Le niveau de bruit des éoliennes à partir du calcul
- Le niveau de bruit ambiant qui est la somme logarithmique du bruit des éoliennes et du bruit résiduel
- L'émergence qui est la soustraction du bruit ambiant par le bruit résiduel

5.2.1. EMERGENCES EN MODE STANDARD

Les tableaux suivants présentent l'ensemble de ces résultats pour la période de jour (7h-22h), puis pour la période de nuit (22h-7h).

5.2.1.1. VESTAS V150 – 4,2 MW

EMERGENCES GLOBALES - VESTAS V150 - 4,2 MW - mât de 125 m

| Période de JOUR (7h-22h) | | Type de bruit | 3 m/s | 4 m/s | 5 m/s | 6 m/s | 7 m/s | 8 m/s | 9 m/s | 10 m/s |
|------------------------------|------------------------------|------------------|-------|-------|-------|-------|-------|-------|-------|--------|
| La Contrie | R1 | Bruit résiduel | 38,0 | 38,7 | 39,4 | 41,2 | 44,2 | 44,8 | 46,2 | 47,7 |
| | | Bruit éoliennes | 9,9 | 13,9 | 19,0 | 22,4 | 22,7 | 22,7 | 22,7 | 22,7 |
| | | Bruit ambiant | 38,0 | 38,7 | 39,5 | 41,3 | 44,2 | 44,8 | 46,3 | 47,7 |
| | | EMERGENCE | 0,0 | 0,0 | 0,1 | 0,1 | 0,0 | 0,0 | 0,1 | 0,0 |
| | Diminution nécessaire | 0,0 | 0,0 | 0,0 | 0,0 | 0,0 | 0,0 | 0,0 | 0,0 | |
| | R1a | Bruit résiduel | 38,0 | 38,7 | 39,4 | 41,2 | 44,2 | 44,8 | 46,2 | 47,7 |
| | | Bruit éoliennes | 13,5 | 17,6 | 22,7 | 26,1 | 26,4 | 26,4 | 26,4 | 26,4 |
| | | Bruit ambiant | 38,0 | 38,8 | 39,5 | 41,4 | 44,2 | 44,8 | 46,3 | 47,8 |
| EMERGENCE | | 0,0 | 0,1 | 0,1 | 0,2 | 0,0 | 0,0 | 0,1 | 0,1 | |
| Diminution nécessaire | 0,0 | 0,0 | 0,0 | 0,0 | 0,0 | 0,0 | 0,0 | 0,0 | | |
| La Gaudinière | R2 | Bruit résiduel | 31,6 | 33,1 | 35,9 | 38,4 | 41,8 | 43,8 | 46,4 | 48,9 |
| | | Bruit éoliennes | 11,4 | 15,4 | 20,6 | 24,0 | 24,3 | 24,3 | 24,3 | 24,3 |
| | | Bruit ambiant | 31,7 | 33,2 | 36,0 | 38,5 | 41,8 | 43,9 | 46,4 | 48,9 |
| | | EMERGENCE | 0,1 | 0,1 | 0,1 | 0,1 | 0,0 | 0,1 | 0,0 | 0,0 |
| | Diminution nécessaire | 0,0 | 0,0 | 0,0 | 0,0 | 0,0 | 0,0 | 0,0 | 0,0 | |
| | R2a | Bruit résiduel | 31,6 | 33,1 | 35,9 | 38,4 | 41,8 | 43,8 | 46,4 | 48,9 |
| | | Bruit éoliennes | 11,3 | 15,4 | 20,5 | 23,9 | 24,2 | 24,2 | 24,2 | 24,2 |
| | | Bruit ambiant | 31,7 | 33,2 | 36,0 | 38,5 | 41,8 | 43,9 | 46,4 | 48,9 |
| | | EMERGENCE | 0,1 | 0,1 | 0,1 | 0,1 | 0,0 | 0,1 | 0,0 | 0,0 |
| | Diminution nécessaire | 0,0 | 0,0 | 0,0 | 0,0 | 0,0 | 0,0 | 0,0 | 0,0 | |
| | R2b | Bruit résiduel | 31,6 | 33,1 | 35,9 | 38,4 | 41,8 | 43,8 | 46,4 | 48,9 |
| | | Bruit éoliennes | 11,3 | 15,3 | 20,5 | 23,9 | 24,2 | 24,2 | 24,2 | 24,2 |
| Bruit ambiant | | 31,7 | 33,2 | 36,0 | 38,5 | 41,8 | 43,9 | 46,4 | 48,9 | |
| EMERGENCE | | 0,1 | 0,1 | 0,1 | 0,1 | 0,0 | 0,1 | 0,0 | 0,0 | |
| Diminution nécessaire | 0,0 | 0,0 | 0,0 | 0,0 | 0,0 | 0,0 | 0,0 | 0,0 | | |
| La Bussièrre | R3 | Bruit résiduel | 31,0 | 33,9 | 37,9 | 41,4 | 46,3 | 49,5 | 53,3 | 57,1 |
| | | Bruit éoliennes | 9,2 | 13,3 | 18,4 | 21,8 | 22,1 | 22,1 | 22,1 | 22,1 |
| | | Bruit ambiant | 31,0 | 33,9 | 37,9 | 41,5 | 46,3 | 49,5 | 53,3 | 57,1 |
| | | EMERGENCE | 0,0 | 0,0 | 0,0 | 0,1 | 0,0 | 0,0 | 0,0 | 0,0 |
| Diminution nécessaire | 0,0 | 0,0 | 0,0 | 0,0 | 0,0 | 0,0 | 0,0 | 0,0 | | |
| Les Hybaudières | R4 | Bruit résiduel | 31,2 | 33,6 | 37,0 | 40,1 | 43,9 | 46,7 | 49,9 | 53,1 |
| | | Bruit éoliennes | 15,0 | 19,0 | 24,1 | 27,6 | 27,8 | 27,9 | 27,9 | 27,9 |
| | | Bruit ambiant | 31,3 | 33,7 | 37,2 | 40,3 | 44,0 | 46,8 | 49,9 | 53,1 |
| | | EMERGENCE | 0,1 | 0,1 | 0,2 | 0,2 | 0,1 | 0,1 | 0,0 | 0,0 |
| Diminution nécessaire | 0,0 | 0,0 | 0,0 | 0,0 | 0,0 | 0,0 | 0,0 | 0,0 | | |
| Les Logettes | R5 | Bruit résiduel | 36,6 | 37,3 | 38,8 | 40,8 | 41,8 | 43,2 | 44,6 | 46,0 |
| | | Bruit éoliennes | 27,8 | 31,8 | 36,9 | 40,3 | 40,6 | 40,6 | 40,6 | 40,6 |
| | | Bruit ambiant | 37,2 | 38,3 | 40,9 | 43,6 | 44,3 | 45,1 | 46,1 | 47,1 |
| | | EMERGENCE | 0,6 | 1,0 | 2,1 | 2,8 | 2,5 | 1,9 | 1,5 | 1,1 |
| Diminution nécessaire | 0,0 | 0,0 | 0,0 | 0,0 | 0,0 | 0,0 | 0,0 | 0,0 | | |
| La Carte | R6 | Bruit résiduel | 41,2 | 41,2 | 42,5 | 44,1 | 47,9 | 48,3 | 49,9 | 51,5 |
| | | Bruit éoliennes | 22,8 | 26,8 | 31,9 | 35,4 | 35,6 | 35,6 | 35,6 | 35,6 |
| | | Bruit ambiant | 41,3 | 41,4 | 42,8 | 44,7 | 48,2 | 48,5 | 50,1 | 51,6 |
| | | EMERGENCE | 0,1 | 0,2 | 0,3 | 0,6 | 0,3 | 0,2 | 0,2 | 0,1 |
| | Diminution nécessaire | 0,0 | 0,0 | 0,0 | 0,0 | 0,0 | 0,0 | 0,0 | 0,0 | |
| | R6a | Bruit résiduel | 41,2 | 41,2 | 42,5 | 44,1 | 47,9 | 48,3 | 49,9 | 51,5 |
| | | Bruit éoliennes | 23,5 | 27,5 | 32,6 | 36,0 | 36,3 | 36,3 | 36,3 | 36,3 |
| | | Bruit ambiant | 41,3 | 41,4 | 42,9 | 44,8 | 48,2 | 48,5 | 50,1 | 51,7 |
| EMERGENCE | | 0,1 | 0,2 | 0,4 | 0,7 | 0,3 | 0,2 | 0,2 | 0,2 | |
| Diminution nécessaire | 0,0 | 0,0 | 0,0 | 0,0 | 0,0 | 0,0 | 0,0 | 0,0 | | |
| Le Coudret | R7 | Bruit résiduel | 37,6 | 38,6 | 41,5 | 43,3 | 46,3 | 48,1 | 50,3 | 52,5 |
| | | Bruit éoliennes | 17,5 | 21,5 | 26,6 | 30,0 | 30,3 | 30,3 | 30,3 | 30,3 |
| | | Bruit ambiant | 37,6 | 38,7 | 41,6 | 43,5 | 46,4 | 48,1 | 50,3 | 52,5 |
| | | EMERGENCE | 0,0 | 0,1 | 0,1 | 0,2 | 0,1 | 0,0 | 0,0 | 0,0 |
| Diminution nécessaire | 0,0 | 0,0 | 0,0 | 0,0 | 0,0 | 0,0 | 0,0 | 0,0 | | |
| Les Rémières | R8 | Bruit résiduel | 38,5 | 42,4 | 46,9 | 50,3 | 52,1 | 53,8 | 55,6 | 57,4 |
| | | Bruit éoliennes | 14,9 | 18,9 | 24,0 | 27,4 | 27,7 | 27,7 | 27,7 | 27,7 |
| | | Bruit ambiant | 38,5 | 42,4 | 46,9 | 50,3 | 52,1 | 53,9 | 55,6 | 57,4 |
| | | EMERGENCE | 0,0 | 0,0 | 0,0 | 0,0 | 0,0 | 0,1 | 0,0 | 0,0 |
| | Diminution nécessaire | 0,0 | 0,0 | 0,0 | 0,0 | 0,0 | 0,0 | 0,0 | 0,0 | |
| | R8a | Bruit résiduel | 38,5 | 42,4 | 46,9 | 50,3 | 52,1 | 53,8 | 55,6 | 57,4 |
| | | Bruit éoliennes | 21,3 | 25,3 | 30,4 | 33,8 | 34,1 | 34,1 | 34,1 | 34,1 |
| | | Bruit ambiant | 38,6 | 42,5 | 47,0 | 50,4 | 52,1 | 53,9 | 55,7 | 57,4 |
| EMERGENCE | | 0,1 | 0,1 | 0,1 | 0,1 | 0,0 | 0,1 | 0,1 | 0,0 | |
| Diminution nécessaire | 0,0 | 0,0 | 0,0 | 0,0 | 0,0 | 0,0 | 0,0 | 0,0 | | |
| R8b | Bruit résiduel | 38,5 | 42,4 | 46,9 | 50,3 | 52,1 | 53,8 | 55,6 | 57,4 | |
| | Bruit éoliennes | 19,5 | 23,5 | 28,6 | 32,0 | 32,3 | 32,3 | 32,3 | 32,3 | |
| | Bruit ambiant | 38,6 | 42,4 | 46,9 | 50,3 | 52,1 | 53,9 | 55,7 | 57,4 | |
| | EMERGENCE | 0,1 | 0,0 | 0,0 | 0,0 | 0,0 | 0,1 | 0,1 | 0,0 | |
| Diminution nécessaire | 0,0 | 0,0 | 0,0 | 0,0 | 0,0 | 0,0 | 0,0 | 0,0 | | |
| Chanteloup | R9 | Bruit résiduel | 35,5 | 38,0 | 40,9 | 43,8 | 46,3 | 49,1 | 51,8 | 54,5 |
| | | Bruit éoliennes | 17,1 | 21,1 | 26,2 | 29,6 | 29,9 | 29,9 | 29,9 | 29,9 |
| | | Bruit ambiant | 35,6 | 38,1 | 41,1 | 43,9 | 46,4 | 49,1 | 51,8 | 54,6 |
| | | EMERGENCE | 0,1 | 0,1 | 0,2 | 0,1 | 0,1 | 0,0 | 0,0 | 0,1 |
| | Diminution nécessaire | 0,0 | 0,0 | 0,0 | 0,0 | 0,0 | 0,0 | 0,0 | 0,0 | |
| | R9a | Bruit résiduel | 35,5 | 38,0 | 40,9 | 43,8 | 46,3 | 49,1 | 51,8 | 54,5 |
| | | Bruit éoliennes | 24,7 | 28,7 | 33,8 | 37,2 | 37,5 | 37,5 | 37,5 | 37,5 |
| | | Bruit ambiant | 35,9 | 38,5 | 41,7 | 44,6 | 46,8 | 49,4 | 52,0 | 54,6 |
| EMERGENCE | | 0,4 | 0,5 | 0,8 | 0,8 | 0,5 | 0,3 | 0,2 | 0,1 | |
| Diminution nécessaire | 0,0 | 0,0 | 0,0 | 0,0 | 0,0 | 0,0 | 0,0 | 0,0 | | |
| Villeneuve | R10 | Bruit résiduel | 47,3 | 47,3 | 47,3 | 47,5 | 47,7 | 47,8 | 47,9 | 48,0 |
| | | Bruit éoliennes | 26,8 | 30,8 | 35,9 | 39,3 | 39,6 | 39,6 | 39,6 | 39,6 |
| | | Bruit ambiant | 47,3 | 47,4 | 47,6 | 48,1 | 48,4 | 48,4 | 48,5 | 48,6 |
| | | EMERGENCE | 0,0 | 0,1 | 0,3 | 0,6 | 0,7 | 0,6 | 0,6 | 0,6 |
| | Diminution nécessaire | 0,0 | 0,0 | 0,0 | 0,0 | 0,0 | 0,0 | 0,0 | 0,0 | |
| | R10a | Bruit résiduel | 47,3 | 47,3 | 47,3 | 47,5 | 47,7 | 47,8 | 47,9 | 48,0 |
| | | Bruit éoliennes | 22,7 | 26,7 | 31,8 | 35,2 | 35,5 | 35,5 | 35,5 | 35,5 |
| | | Bruit ambiant | 47,3 | 47,3 | 47,4 | 47,8 | 48,0 | 48,0 | 48,2 | 48,3 |
| EMERGENCE | | 0,0 | 0,0 | 0,1 | 0,3 | 0,3 | 0,2 | 0,3 | 0,3 | |
| Diminution nécessaire | 0,0 | 0,0 | 0,0 | 0,0 | 0,0 | 0,0 | 0,0 | 0,0 | | |
| Fontrapé | R11 | Bruit résiduel | 34,7 | 37,1 | 39,4 | 41,4 | 43,9 | 46,1 | 48,4 | 50,6 |
| | | Bruit éoliennes | 29,4 | 33,4 | 38,5 | 41,9 | 42,2 | 42,2 | 42,2 | 42,2 |
| | | Bruit ambiant | 35,8 | 38,6 | 42,0 | 44,6 | 46,1 | 47,6 | 49,3 | 51,2 |
| | | EMERGENCE | 1,1 | 1,5 | 2,6 | 3,2 | 2,2 | 1,5 | 0,9 | 0,6 |
| Diminution nécessaire | 0,0 | 0,0 | 0,0 | 0,0 | 0,0 | 0,0 | 0,0 | 0,0 | | |

 Niveau ambiant inférieur ou égal à 35 dB(A) : aucun seuil d'urgence n'est à respecter dans ce cas
Rappel : si bruit ambiant > 35 dB(A), seuil de 5 dB(A)

Volkswind – Projet éolien de Mazerolles (86)
Etude d'impact acoustique

EMERGENCES GLOBALES - VESTAS V150 - 4,2 MW - mât de 125 m

| Période de NUIT (22h-7h) | | Type de bruit | 3 m/s | 4 m/s | 5 m/s | 6 m/s | 7 m/s | 8 m/s | 9 m/s | 10 m/s |
|--------------------------|------------------------------|------------------------------|-------|-------|-------|-------|-------|-------|-------|--------|
| La Contrie | R1 | Bruit résiduel | 26,1 | 28,3 | 29,9 | 32,2 | 36,9 | 38,3 | 40,9 | 43,4 |
| | | Bruit éoliennes | 9,9 | 13,9 | 19,0 | 22,4 | 22,7 | 22,7 | 22,7 | 22,7 |
| | | Bruit ambiant | 26,2 | 28,5 | 30,2 | 32,7 | 37,0 | 38,4 | 40,9 | 43,4 |
| | | EMERGENCE | 0,1 | 0,2 | 0,3 | 0,5 | 0,1 | 0,1 | 0,0 | 0,0 |
| | | Diminution nécessaire | 0,0 | 0,0 | 0,0 | 0,0 | 0,0 | 0,0 | 0,0 | 0,0 |
| | R1a | Bruit résiduel | 26,1 | 28,3 | 29,9 | 32,2 | 36,9 | 38,3 | 40,9 | 43,4 |
| | | Bruit éoliennes | 13,5 | 17,6 | 22,7 | 26,1 | 26,4 | 26,4 | 26,4 | 26,4 |
| | | Bruit ambiant | 26,3 | 28,7 | 30,7 | 33,2 | 37,2 | 38,6 | 41,0 | 43,5 |
| | | EMERGENCE | 0,2 | 0,4 | 0,8 | 1,0 | 0,3 | 0,3 | 0,1 | 0,1 |
| | | Diminution nécessaire | 0,0 | 0,0 | 0,0 | 0,0 | 0,0 | 0,0 | 0,0 | 0,0 |
| La Gaudinière | R2 | Bruit résiduel | 25,0 | 28,8 | 31,0 | 33,9 | 38,7 | 41,2 | 44,5 | 47,7 |
| | | Bruit éoliennes | 11,4 | 15,4 | 20,6 | 24,0 | 24,3 | 24,3 | 24,3 | 24,3 |
| | | Bruit ambiant | 25,2 | 29,0 | 31,4 | 34,3 | 38,8 | 41,3 | 44,5 | 47,7 |
| | | EMERGENCE | 0,2 | 0,2 | 0,4 | 0,4 | 0,1 | 0,1 | 0,0 | 0,0 |
| | | Diminution nécessaire | 0,0 | 0,0 | 0,0 | 0,0 | 0,0 | 0,0 | 0,0 | 0,0 |
| | R2a | Bruit résiduel | 25,0 | 28,8 | 31,0 | 33,9 | 38,7 | 41,2 | 44,5 | 47,7 |
| | | Bruit éoliennes | 11,3 | 15,4 | 20,5 | 23,9 | 24,2 | 24,2 | 24,2 | 24,2 |
| | | Bruit ambiant | 25,2 | 29,0 | 31,4 | 34,3 | 38,8 | 41,3 | 44,5 | 47,7 |
| | | EMERGENCE | 0,2 | 0,2 | 0,4 | 0,4 | 0,1 | 0,1 | 0,0 | 0,0 |
| | | Diminution nécessaire | 0,0 | 0,0 | 0,0 | 0,0 | 0,0 | 0,0 | 0,0 | 0,0 |
| R2b | Bruit résiduel | 25,0 | 28,8 | 31,0 | 33,9 | 38,7 | 41,2 | 44,5 | 47,7 | |
| | Bruit éoliennes | 11,3 | 15,3 | 20,5 | 23,9 | 24,2 | 24,2 | 24,2 | 24,2 | |
| | Bruit ambiant | 25,2 | 29,0 | 31,4 | 34,3 | 38,8 | 41,3 | 44,5 | 47,7 | |
| | EMERGENCE | 0,2 | 0,2 | 0,4 | 0,4 | 0,1 | 0,1 | 0,0 | 0,0 | |
| | Diminution nécessaire | 0,0 | 0,0 | 0,0 | 0,0 | 0,0 | 0,0 | 0,0 | 0,0 | |
| La Bussièrè | R3 | Bruit résiduel | 24,7 | 33,0 | 36,1 | 39,3 | 42,5 | 45,6 | 48,8 | 52,0 |
| | | Bruit éoliennes | 9,2 | 13,3 | 18,4 | 21,8 | 22,1 | 22,1 | 22,1 | 22,1 |
| | | Bruit ambiant | 24,8 | 33,0 | 36,2 | 39,4 | 42,5 | 45,7 | 48,8 | 52,0 |
| | | EMERGENCE | 0,1 | 0,0 | 0,1 | 0,1 | 0,0 | 0,1 | 0,0 | 0,0 |
| | | Diminution nécessaire | 0,0 | 0,0 | 0,0 | 0,0 | 0,0 | 0,0 | 0,0 | 0,0 |
| Les Hybaudières | R4 | Bruit résiduel | 26,6 | 30,9 | 33,0 | 37,9 | 42,3 | 45,6 | 49,4 | 53,1 |
| | | Bruit éoliennes | 15,0 | 19,0 | 24,1 | 27,6 | 27,8 | 27,9 | 27,9 | 27,9 |
| | | Bruit ambiant | 26,9 | 31,2 | 33,5 | 38,3 | 42,4 | 45,7 | 49,5 | 53,1 |
| | | EMERGENCE | 0,3 | 0,3 | 0,5 | 0,4 | 0,1 | 0,1 | 0,1 | 0,0 |
| | | Diminution nécessaire | 0,0 | 0,0 | 0,0 | 0,0 | 0,0 | 0,0 | 0,0 | 0,0 |
| Les Logettes | R5 | Bruit résiduel | 23,9 | 29,5 | 32,3 | 40,6 | 41,8 | 43,0 | 44,2 | 45,4 |
| | | Bruit éoliennes | 27,8 | 31,8 | 36,9 | 40,3 | 40,6 | 40,6 | 40,6 | 40,6 |
| | | Bruit ambiant | 29,3 | 33,8 | 38,2 | 43,5 | 44,3 | 45,0 | 45,8 | 46,7 |
| | | EMERGENCE | 5,4 | 4,3 | 5,9 | 2,9 | 2,5 | 2,0 | 1,6 | 1,3 |
| | | Diminution nécessaire | 0,0 | 0,0 | 4,6 | 0,0 | 0,0 | 0,0 | 0,0 | 0,0 |
| La Carte | R6 | Bruit résiduel | 22,5 | 26,2 | 34,4 | 36,2 | 38,2 | 40,1 | 42,0 | 43,9 |
| | | Bruit éoliennes | 22,8 | 26,8 | 31,9 | 35,4 | 35,6 | 35,6 | 35,6 | 35,6 |
| | | Bruit ambiant | 25,7 | 29,6 | 36,4 | 38,8 | 40,1 | 41,4 | 42,9 | 44,5 |
| | | EMERGENCE | 3,2 | 3,4 | 2,0 | 2,6 | 1,9 | 1,3 | 0,9 | 0,6 |
| | | Diminution nécessaire | 0,0 | 0,0 | 0,0 | 0,0 | 0,0 | 0,0 | 0,0 | 0,0 |
| | R6a | Bruit résiduel | 22,5 | 26,2 | 34,4 | 36,2 | 38,2 | 40,1 | 42,0 | 43,9 |
| | | Bruit éoliennes | 23,5 | 27,5 | 32,6 | 36,0 | 36,3 | 36,3 | 36,3 | 36,3 |
| | | Bruit ambiant | 26,0 | 29,9 | 36,6 | 39,1 | 40,4 | 41,6 | 43,1 | 44,6 |
| | | EMERGENCE | 3,5 | 3,7 | 2,2 | 2,9 | 2,2 | 1,5 | 1,1 | 0,7 |
| | | Diminution nécessaire | 0,0 | 0,0 | 0,0 | 0,0 | 0,0 | 0,0 | 0,0 | 0,0 |
| Le Coudret | R7 | Bruit résiduel | 24,7 | 30,1 | 32,6 | 39,5 | 41,8 | 44,1 | 46,4 | 48,7 |
| | | Bruit éoliennes | 17,5 | 21,5 | 26,6 | 30,0 | 30,3 | 30,3 | 30,3 | 30,3 |
| | | Bruit ambiant | 25,4 | 30,6 | 33,6 | 39,9 | 42,1 | 44,3 | 46,5 | 48,8 |
| | | EMERGENCE | 0,7 | 0,5 | 1,0 | 0,4 | 0,3 | 0,2 | 0,1 | 0,1 |
| | | Diminution nécessaire | 0,0 | 0,0 | 0,0 | 0,0 | 0,0 | 0,0 | 0,0 | 0,0 |
| Les Rémièrs | R8 | Bruit résiduel | 31,6 | 38,8 | 44,0 | 48,7 | 50,6 | 52,5 | 54,4 | 56,3 |
| | | Bruit éoliennes | 14,9 | 18,9 | 24,0 | 27,4 | 27,7 | 27,7 | 27,7 | 27,7 |
| | | Bruit ambiant | 31,6 | 38,8 | 44,1 | 48,7 | 50,6 | 52,5 | 54,4 | 56,3 |
| | | EMERGENCE | 0,0 | 0,0 | 0,1 | 0,0 | 0,0 | 0,0 | 0,0 | 0,0 |
| | | Diminution nécessaire | 0,0 | 0,0 | 0,0 | 0,0 | 0,0 | 0,0 | 0,0 | 0,0 |
| | R8a | Bruit résiduel | 31,6 | 38,8 | 44,0 | 48,7 | 50,6 | 52,5 | 54,4 | 56,3 |
| | | Bruit éoliennes | 21,3 | 25,3 | 30,4 | 33,8 | 34,1 | 34,1 | 34,1 | 34,1 |
| | | Bruit ambiant | 32,0 | 39,0 | 44,2 | 48,8 | 50,7 | 52,6 | 54,4 | 56,3 |
| | | EMERGENCE | 0,4 | 0,2 | 0,2 | 0,1 | 0,1 | 0,1 | 0,0 | 0,0 |
| | | Diminution nécessaire | 0,0 | 0,0 | 0,0 | 0,0 | 0,0 | 0,0 | 0,0 | 0,0 |
| R8b | Bruit résiduel | 31,6 | 38,8 | 44,0 | 48,7 | 50,6 | 52,5 | 54,4 | 56,3 | |
| | Bruit éoliennes | 19,5 | 23,5 | 28,6 | 32,0 | 32,3 | 32,3 | 32,3 | 32,3 | |
| | Bruit ambiant | 31,8 | 38,9 | 44,2 | 48,8 | 50,6 | 52,5 | 54,4 | 56,3 | |
| | EMERGENCE | 0,2 | 0,1 | 0,2 | 0,1 | 0,0 | 0,0 | 0,0 | 0,0 | |
| | Diminution nécessaire | 0,0 | 0,0 | 0,0 | 0,0 | 0,0 | 0,0 | 0,0 | 0,0 | |
| Chanteloup | R9 | Bruit résiduel | 30,2 | 37,5 | 39,9 | 40,6 | 40,8 | 41,3 | 41,8 | 42,2 |
| | | Bruit éoliennes | 17,1 | 21,1 | 26,2 | 29,6 | 29,9 | 29,9 | 29,9 | 29,9 |
| | | Bruit ambiant | 30,4 | 37,6 | 40,1 | 40,9 | 41,1 | 41,6 | 42,0 | 42,5 |
| | | EMERGENCE | 0,2 | 0,1 | 0,2 | 0,3 | 0,3 | 0,3 | 0,2 | 0,3 |
| | | Diminution nécessaire | 0,0 | 0,0 | 0,0 | 0,0 | 0,0 | 0,0 | 0,0 | 0,0 |
| R9a | Bruit résiduel | 30,2 | 37,5 | 39,9 | 40,6 | 40,8 | 41,3 | 41,8 | 42,2 | |
| | Bruit éoliennes | 24,7 | 28,7 | 33,8 | 37,2 | 37,5 | 37,5 | 37,5 | 37,5 | |
| | Bruit ambiant | 31,3 | 38,1 | 40,8 | 42,2 | 42,4 | 42,8 | 43,1 | 43,5 | |
| | EMERGENCE | 1,1 | 0,6 | 0,9 | 1,6 | 1,6 | 1,5 | 1,3 | 1,3 | |
| | Diminution nécessaire | 0,0 | 0,0 | 0,0 | 0,0 | 0,0 | 0,0 | 0,0 | 0,0 | |
| Villeneuve | R10 | Bruit résiduel | 27,9 | 31,2 | 32,3 | 34,3 | 40,0 | 41,3 | 44,1 | 46,8 |
| | | Bruit éoliennes | 26,8 | 30,8 | 35,9 | 39,3 | 39,6 | 39,6 | 39,6 | 39,6 |
| | | Bruit ambiant | 30,4 | 34,0 | 37,5 | 40,5 | 42,8 | 43,6 | 45,4 | 47,6 |
| | | EMERGENCE | 2,5 | 2,8 | 5,2 | 6,2 | 2,8 | 2,3 | 1,3 | 0,8 |
| | | Diminution nécessaire | 0,0 | 0,0 | 3,5 | 4,9 | 0,0 | 0,0 | 0,0 | 0,0 |
| | R10a | Bruit résiduel | 27,9 | 31,2 | 32,3 | 34,3 | 40,0 | 41,3 | 44,1 | 46,8 |
| | | Bruit éoliennes | 22,7 | 26,7 | 31,8 | 35,2 | 35,5 | 35,5 | 35,5 | 35,5 |
| | | Bruit ambiant | 29,0 | 32,5 | 35,1 | 37,8 | 41,3 | 42,3 | 44,6 | 47,1 |
| | | EMERGENCE | 1,1 | 1,3 | 2,8 | 3,5 | 1,3 | 1,0 | 0,5 | 0,3 |
| | | Diminution nécessaire | 0,0 | 0,0 | 0,0 | 0,8 | 0,0 | 0,0 | 0,0 | 0,0 |
| Fontrapé | R11 | Bruit résiduel | 28,6 | 32,5 | 35,0 | 38,4 | 42,2 | 45,2 | 48,4 | 50,6 |
| | | Bruit éoliennes | 29,4 | 33,4 | 38,5 | 41,9 | 42,2 | 42,2 | 42,2 | 42,2 |
| | | Bruit ambiant | 32,0 | 36,0 | 40,1 | 43,5 | 45,2 | 46,9 | 49,3 | 51,2 |
| | | EMERGENCE | 3,4 | 3,5 | 5,1 | 5,1 | 3,0 | 1,7 | 0,9 | 0,6 |
| | | Diminution nécessaire | 0,0 | 0,8 | 3,4 | 3,5 | 0,0 | 0,0 | 0,0 | 0,0 |

 Niveau ambiant inférieur ou égal à 35 dB(A) : aucun seuil d'émergence n'est à respecter dans ce cas
Rappel : si bruit ambiant > 35 dB(A), seuil de 3 dB(A)

Les résultats du calcul des émergences avec des modèles d'éolienne V150 indiquent le respect des seuils réglementaires en période de jour pour le projet éolien de Mazerolles.

En période de nuit, des risques de dépassements des seuils réglementaires sont estimés au droit des lieux-dits les Logettes (R5), Villeneuve (R10 et R10a) et Fontrapé (R11) pour des vitesses de vents comprises entre 4 et 6 m/s.

Un plan de fonctionnement optimisé est donc à prévoir pour la période nocturne, dans le but de respecter les seuils réglementaires.

5.2.1.2. NORDEX N149 – 4,5 MW

EMERGENCES GLOBALES - NORDEX N149 - 4,5 MW - mât de 125 m

| Période de JOUR (7h-22h) | | Type de bruit | 3 m/s | 4 m/s | 5 m/s | 6 m/s | 7 m/s | 8 m/s | 9 m/s | 10 m/s |
|--------------------------|------------------------------|------------------------------|------------|------------|------------|------------|------------|------------|------------|------------|
| La Contrie | R1 | Bruit résiduel | 38,0 | 38,7 | 39,4 | 41,2 | 44,2 | 44,8 | 46,2 | 47,7 |
| | | Bruit éoliennes | 11,4 | 12,8 | 17,9 | 21,9 | 23,2 | 23,2 | 22,5 | 22,5 |
| | | Bruit ambiant | 38,0 | 38,7 | 39,5 | 41,3 | 44,2 | 44,8 | 46,3 | 47,7 |
| | | EMERGENCE | 0,0 | 0,0 | 0,1 | 0,1 | 0,0 | 0,0 | 0,1 | 0,0 |
| | | Diminution nécessaire | 0,0 | 0,0 | 0,0 | 0,0 | 0,0 | 0,0 | 0,0 | 0,0 |
| | R1a | Bruit résiduel | 38,0 | 38,7 | 39,4 | 41,2 | 44,2 | 44,8 | 46,2 | 47,7 |
| | | Bruit éoliennes | 15,0 | 16,4 | 21,6 | 25,6 | 26,9 | 26,9 | 26,2 | 26,2 |
| | | Bruit ambiant | 38,0 | 38,7 | 39,5 | 41,3 | 44,2 | 44,8 | 46,3 | 47,8 |
| | | EMERGENCE | 0,0 | 0,0 | 0,1 | 0,1 | 0,0 | 0,0 | 0,1 | 0,1 |
| | | Diminution nécessaire | 0,0 | 0,0 | 0,0 | 0,0 | 0,0 | 0,0 | 0,0 | 0,0 |
| La Gaudinière | R2 | Bruit résiduel | 31,6 | 33,1 | 35,9 | 38,4 | 41,8 | 43,8 | 46,4 | 48,9 |
| | | Bruit éoliennes | 13,2 | 14,6 | 19,5 | 23,5 | 24,8 | 24,8 | 24,1 | 24,1 |
| | | Bruit ambiant | 31,7 | 33,2 | 36,0 | 38,5 | 41,8 | 43,9 | 46,4 | 48,9 |
| | | EMERGENCE | 0,1 | 0,1 | 0,1 | 0,1 | 0,0 | 0,1 | 0,0 | 0,0 |
| | | Diminution nécessaire | 0,0 | 0,0 | 0,0 | 0,0 | 0,0 | 0,0 | 0,0 | 0,0 |
| | R2a | Bruit résiduel | 31,6 | 33,1 | 35,9 | 38,4 | 41,8 | 43,8 | 46,4 | 48,9 |
| | | Bruit éoliennes | 13,1 | 14,5 | 19,4 | 23,4 | 24,7 | 24,7 | 24,1 | 24,1 |
| | | Bruit ambiant | 31,7 | 33,2 | 36,0 | 38,5 | 41,8 | 43,9 | 46,4 | 48,9 |
| | | EMERGENCE | 0,1 | 0,1 | 0,1 | 0,1 | 0,0 | 0,1 | 0,0 | 0,0 |
| | | Diminution nécessaire | 0,0 | 0,0 | 0,0 | 0,0 | 0,0 | 0,0 | 0,0 | 0,0 |
| R2b | Bruit résiduel | 31,6 | 33,1 | 35,9 | 38,4 | 41,8 | 43,8 | 46,4 | 48,9 | |
| | Bruit éoliennes | 13,1 | 14,5 | 19,4 | 23,4 | 24,7 | 24,7 | 24,1 | 24,1 | |
| | Bruit ambiant | 31,7 | 33,2 | 36,0 | 38,5 | 41,8 | 43,9 | 46,4 | 48,9 | |
| | EMERGENCE | 0,1 | 0,1 | 0,1 | 0,1 | 0,0 | 0,1 | 0,0 | 0,0 | |
| | Diminution nécessaire | 0,0 | 0,0 | 0,0 | 0,0 | 0,0 | 0,0 | 0,0 | 0,0 | |
| La Bussière | R3 | Bruit résiduel | 31,0 | 33,9 | 37,9 | 41,4 | 46,3 | 49,5 | 53,3 | 57,1 |
| | | Bruit éoliennes | 10,9 | 12,3 | 17,3 | 21,3 | 22,6 | 22,6 | 21,9 | 21,9 |
| | | Bruit ambiant | 31,1 | 33,9 | 37,9 | 41,5 | 46,3 | 49,5 | 53,3 | 57,1 |
| | | EMERGENCE | 0,1 | 0,0 | 0,0 | 0,1 | 0,0 | 0,0 | 0,0 | 0,0 |
| | | Diminution nécessaire | 0,0 | 0,0 | 0,0 | 0,0 | 0,0 | 0,0 | 0,0 | 0,0 |
| Les Hybaudières | R4 | Bruit résiduel | 31,2 | 33,6 | 37,0 | 40,1 | 43,9 | 46,7 | 49,9 | 53,1 |
| | | Bruit éoliennes | 16,5 | 17,9 | 23,1 | 27,1 | 28,4 | 28,4 | 27,7 | 27,7 |
| | | Bruit ambiant | 31,4 | 33,7 | 37,2 | 40,3 | 44,1 | 46,8 | 49,9 | 53,1 |
| | | EMERGENCE | 0,2 | 0,1 | 0,2 | 0,2 | 0,2 | 0,1 | 0,0 | 0,0 |
| | | Diminution nécessaire | 0,0 | 0,0 | 0,0 | 0,0 | 0,0 | 0,0 | 0,0 | 0,0 |
| Les Logettes | R5 | Bruit résiduel | 36,6 | 37,3 | 38,8 | 40,8 | 41,8 | 43,2 | 44,6 | 46,0 |
| | | Bruit éoliennes | 29,0 | 30,4 | 36,0 | 40,0 | 41,3 | 41,3 | 40,6 | 40,6 |
| | | Bruit ambiant | 37,3 | 38,1 | 40,6 | 43,4 | 44,6 | 45,4 | 46,1 | 47,1 |
| | | EMERGENCE | 0,7 | 0,8 | 1,8 | 2,6 | 2,8 | 2,2 | 1,5 | 1,1 |
| | | Diminution nécessaire | 0,0 | 0,0 | 0,0 | 0,0 | 0,0 | 0,0 | 0,0 | 0,0 |
| La Carte | R6 | Bruit résiduel | 41,2 | 41,2 | 42,5 | 44,1 | 47,9 | 48,3 | 49,9 | 51,5 |
| | | Bruit éoliennes | 24,2 | 25,6 | 30,9 | 34,9 | 36,2 | 36,2 | 35,6 | 35,6 |
| | | Bruit ambiant | 41,3 | 41,4 | 42,8 | 44,6 | 48,2 | 48,5 | 50,1 | 51,6 |
| | | EMERGENCE | 0,1 | 0,2 | 0,3 | 0,5 | 0,3 | 0,2 | 0,2 | 0,1 |
| | | Diminution nécessaire | 0,0 | 0,0 | 0,0 | 0,0 | 0,0 | 0,0 | 0,0 | 0,0 |
| | R6a | Bruit résiduel | 41,2 | 41,2 | 42,5 | 44,1 | 47,9 | 48,3 | 49,9 | 51,5 |
| | | Bruit éoliennes | 24,8 | 26,2 | 31,5 | 35,5 | 36,8 | 36,8 | 36,2 | 36,2 |
| | | Bruit ambiant | 41,3 | 41,4 | 42,8 | 44,7 | 48,2 | 48,6 | 50,1 | 51,7 |
| | | EMERGENCE | 0,1 | 0,2 | 0,3 | 0,6 | 0,3 | 0,3 | 0,2 | 0,2 |
| | | Diminution nécessaire | 0,0 | 0,0 | 0,0 | 0,0 | 0,0 | 0,0 | 0,0 | 0,0 |
| Le Coudret | R7 | Bruit résiduel | 37,6 | 38,6 | 41,5 | 43,3 | 46,3 | 48,1 | 50,3 | 52,5 |
| | | Bruit éoliennes | 18,9 | 20,3 | 25,5 | 29,5 | 30,8 | 30,8 | 30,1 | 30,1 |
| | | Bruit ambiant | 37,6 | 38,7 | 41,6 | 43,5 | 46,4 | 48,1 | 50,3 | 52,5 |
| | | EMERGENCE | 0,0 | 0,1 | 0,1 | 0,2 | 0,1 | 0,0 | 0,0 | 0,0 |
| | | Diminution nécessaire | 0,0 | 0,0 | 0,0 | 0,0 | 0,0 | 0,0 | 0,0 | 0,0 |
| Les Rémières | R8 | Bruit résiduel | 38,5 | 42,4 | 46,9 | 50,3 | 52,1 | 53,8 | 55,6 | 57,4 |
| | | Bruit éoliennes | 16,3 | 17,7 | 22,9 | 26,9 | 28,2 | 28,2 | 27,5 | 27,5 |
| | | Bruit ambiant | 38,5 | 42,4 | 46,9 | 50,3 | 52,1 | 53,9 | 55,6 | 57,4 |
| | | EMERGENCE | 0,0 | 0,0 | 0,0 | 0,0 | 0,0 | 0,1 | 0,0 | 0,0 |
| | | Diminution nécessaire | 0,0 | 0,0 | 0,0 | 0,0 | 0,0 | 0,0 | 0,0 | 0,0 |
| | R8a | Bruit résiduel | 38,5 | 42,4 | 46,9 | 50,3 | 52,1 | 53,8 | 55,6 | 57,4 |
| | | Bruit éoliennes | 22,7 | 24,1 | 29,3 | 33,3 | 34,6 | 34,6 | 33,9 | 33,9 |
| | | Bruit ambiant | 38,6 | 42,4 | 46,9 | 50,3 | 52,1 | 53,9 | 55,7 | 57,4 |
| | | EMERGENCE | 0,1 | 0,0 | 0,0 | 0,0 | 0,0 | 0,1 | 0,1 | 0,0 |
| | | Diminution nécessaire | 0,0 | 0,0 | 0,0 | 0,0 | 0,0 | 0,0 | 0,0 | 0,0 |
| R8b | Bruit résiduel | 38,5 | 42,4 | 46,9 | 50,3 | 52,1 | 53,8 | 55,6 | 57,4 | |
| | Bruit éoliennes | 20,9 | 22,3 | 27,5 | 31,5 | 32,8 | 32,8 | 32,2 | 32,2 | |
| | Bruit ambiant | 38,6 | 42,4 | 46,9 | 50,3 | 52,1 | 53,9 | 55,7 | 57,4 | |
| | EMERGENCE | 0,1 | 0,0 | 0,0 | 0,0 | 0,0 | 0,1 | 0,1 | 0,0 | |
| | Diminution nécessaire | 0,0 | 0,0 | 0,0 | 0,0 | 0,0 | 0,0 | 0,0 | 0,0 | |
| Chanteloup | R9 | Bruit résiduel | 35,5 | 38,0 | 40,9 | 43,8 | 46,3 | 49,1 | 51,8 | 54,5 |
| | | Bruit éoliennes | 18,7 | 20,1 | 25,4 | 29,4 | 30,7 | 30,7 | 30,3 | 30,3 |
| | | Bruit ambiant | 35,6 | 38,1 | 41,0 | 43,9 | 46,4 | 49,1 | 51,8 | 54,6 |
| | | EMERGENCE | 0,1 | 0,1 | 0,1 | 0,1 | 0,1 | 0,0 | 0,0 | 0,1 |
| | | Diminution nécessaire | 0,0 | 0,0 | 0,0 | 0,0 | 0,0 | 0,0 | 0,0 | 0,0 |
| | R9a | Bruit résiduel | 35,5 | 38,0 | 40,9 | 43,8 | 46,3 | 49,1 | 51,8 | 54,5 |
| | | Bruit éoliennes | 26,0 | 27,4 | 32,8 | 36,8 | 38,1 | 38,1 | 37,5 | 37,5 |
| | | Bruit ambiant | 36,0 | 38,4 | 41,5 | 44,6 | 46,9 | 49,4 | 52,0 | 54,6 |
| | | EMERGENCE | 0,5 | 0,4 | 0,6 | 0,8 | 0,6 | 0,3 | 0,2 | 0,1 |
| | | Diminution nécessaire | 0,0 | 0,0 | 0,0 | 0,0 | 0,0 | 0,0 | 0,0 | 0,0 |
| Villeneuve | R10 | Bruit résiduel | 47,3 | 47,3 | 47,3 | 47,5 | 47,7 | 47,8 | 47,9 | 48,0 |
| | | Bruit éoliennes | 28,1 | 29,5 | 34,9 | 38,9 | 40,2 | 40,2 | 39,7 | 39,7 |
| | | Bruit ambiant | 47,3 | 47,4 | 47,6 | 48,1 | 48,5 | 48,5 | 48,5 | 48,6 |
| | | EMERGENCE | 0,0 | 0,1 | 0,3 | 0,6 | 0,8 | 0,7 | 0,6 | 0,6 |
| | | Diminution nécessaire | 0,0 | 0,0 | 0,0 | 0,0 | 0,0 | 0,0 | 0,0 | 0,0 |
| | R10a | Bruit résiduel | 47,3 | 47,3 | 47,3 | 47,5 | 47,7 | 47,8 | 47,9 | 48,0 |
| | | Bruit éoliennes | 24,0 | 25,4 | 30,8 | 34,8 | 36,1 | 36,1 | 35,3 | 35,3 |
| | | Bruit ambiant | 47,3 | 47,3 | 47,4 | 47,8 | 48,0 | 48,1 | 48,2 | 48,3 |
| | | EMERGENCE | 0,0 | 0,0 | 0,1 | 0,3 | 0,3 | 0,3 | 0,3 | 0,3 |
| | | Diminution nécessaire | 0,0 | 0,0 | 0,0 | 0,0 | 0,0 | 0,0 | 0,0 | 0,0 |
| Fontrapé | R11 | Bruit résiduel | 34,7 | 37,1 | 39,4 | 41,4 | 43,9 | 46,1 | 48,4 | 50,6 |
| | | Bruit éoliennes | 30,7 | 32,1 | 37,5 | 41,5 | 42,8 | 42,8 | 42,3 | 42,3 |
| | | Bruit ambiant | 36,1 | 38,3 | 41,6 | 44,5 | 46,4 | 47,8 | 49,3 | 51,2 |
| | | EMERGENCE | 1,4 | 1,2 | 2,2 | 3,1 | 2,5 | 1,7 | 0,9 | 0,6 |
| | | Diminution nécessaire | 0,0 | 0,0 | 0,0 | 0,0 | 0,0 | 0,0 | 0,0 | 0,0 |

 Niveau ambiant inférieur ou égal à 35 dB(A) : aucun seuil d'urgence n'est à respecter dans ce cas
Rappel : si bruit ambiant > 35 dB(A), seuil de 5 dB(A)

Volkswind – Projet éolien de Mazerolles (86)
Etude d'impact acoustique

EMERGENCES GLOBALES - NORDEX N149 - 4,5 MW - mât de 125 m

| Période de NUIT (22h-7h) | | Type de bruit | 3 m/s | 4 m/s | 5 m/s | 6 m/s | 7 m/s | 8 m/s | 9 m/s | 10 m/s |
|-----------------------------|------------------------------|------------------------------|-------|-------|-------|-------|-------|-------|-------|--------|
| La Contrie | R1 | Bruit résiduel | 26,1 | 28,3 | 29,9 | 32,2 | 36,9 | 38,3 | 40,9 | 43,4 |
| | | Bruit éoliennes | 11,4 | 12,8 | 17,9 | 21,9 | 23,2 | 23,2 | 22,5 | 22,5 |
| | | Bruit ambiant | 26,2 | 28,4 | 30,2 | 32,6 | 37,0 | 38,4 | 40,9 | 43,4 |
| | | EMERGENCE | 0,1 | 0,1 | 0,3 | 0,4 | 0,1 | 0,1 | 0,0 | 0,0 |
| | | Diminution nécessaire | 0,0 | 0,0 | 0,0 | 0,0 | 0,0 | 0,0 | 0,0 | 0,0 |
| | R1a | Bruit résiduel | 26,1 | 28,3 | 29,9 | 32,2 | 36,9 | 38,3 | 40,9 | 43,4 |
| | | Bruit éoliennes | 15,0 | 16,4 | 21,6 | 25,6 | 26,9 | 26,9 | 26,2 | 26,2 |
| | | Bruit ambiant | 26,4 | 28,6 | 30,5 | 33,1 | 37,3 | 38,6 | 41,0 | 43,5 |
| | | EMERGENCE | 0,3 | 0,3 | 0,5 | 0,9 | 0,4 | 0,3 | 0,1 | 0,1 |
| | | Diminution nécessaire | 0,0 | 0,0 | 0,0 | 0,0 | 0,0 | 0,0 | 0,0 | 0,0 |
| La Gaudinière | R2 | Bruit résiduel | 25,0 | 28,8 | 31,0 | 33,9 | 38,7 | 41,2 | 44,5 | 47,7 |
| | | Bruit éoliennes | 13,2 | 14,6 | 19,5 | 23,5 | 24,8 | 24,8 | 24,1 | 24,1 |
| | | Bruit ambiant | 25,3 | 29,0 | 31,3 | 34,3 | 38,9 | 41,3 | 44,5 | 47,7 |
| | | EMERGENCE | 0,3 | 0,2 | 0,3 | 0,4 | 0,2 | 0,1 | 0,0 | 0,0 |
| | | Diminution nécessaire | 0,0 | 0,0 | 0,0 | 0,0 | 0,0 | 0,0 | 0,0 | 0,0 |
| | R2a | Bruit résiduel | 25,0 | 28,8 | 31,0 | 33,9 | 38,7 | 41,2 | 44,5 | 47,7 |
| | | Bruit éoliennes | 13,1 | 14,5 | 19,4 | 23,4 | 24,7 | 24,7 | 24,1 | 24,1 |
| | | Bruit ambiant | 25,3 | 29,0 | 31,3 | 34,3 | 38,9 | 41,3 | 44,5 | 47,7 |
| | | EMERGENCE | 0,3 | 0,2 | 0,3 | 0,4 | 0,2 | 0,1 | 0,0 | 0,0 |
| | | Diminution nécessaire | 0,0 | 0,0 | 0,0 | 0,0 | 0,0 | 0,0 | 0,0 | 0,0 |
| R2b | Bruit résiduel | 25,0 | 28,8 | 31,0 | 33,9 | 38,7 | 41,2 | 44,5 | 47,7 | |
| | Bruit éoliennes | 13,1 | 14,5 | 19,4 | 23,4 | 24,7 | 24,7 | 24,1 | 24,1 | |
| | Bruit ambiant | 25,3 | 29,0 | 31,3 | 34,2 | 38,9 | 41,3 | 44,5 | 47,7 | |
| | EMERGENCE | 0,3 | 0,2 | 0,3 | 0,3 | 0,2 | 0,1 | 0,0 | 0,0 | |
| | Diminution nécessaire | 0,0 | 0,0 | 0,0 | 0,0 | 0,0 | 0,0 | 0,0 | 0,0 | |
| La Bussièrè | R3 | Bruit résiduel | 24,7 | 33,0 | 36,1 | 39,3 | 42,5 | 45,6 | 48,8 | 52,0 |
| | | Bruit éoliennes | 10,9 | 12,3 | 17,3 | 21,3 | 22,6 | 22,6 | 21,9 | 21,9 |
| | | Bruit ambiant | 24,9 | 33,0 | 36,2 | 39,4 | 42,5 | 45,7 | 48,8 | 52,0 |
| | | EMERGENCE | 0,2 | 0,0 | 0,1 | 0,1 | 0,0 | 0,1 | 0,0 | 0,0 |
| | | Diminution nécessaire | 0,0 | 0,0 | 0,0 | 0,0 | 0,0 | 0,0 | 0,0 | 0,0 |
| Les Hybaudières | R4 | Bruit résiduel | 26,6 | 30,9 | 33,0 | 37,9 | 42,3 | 45,6 | 49,4 | 53,1 |
| | | Bruit éoliennes | 16,5 | 17,9 | 23,1 | 27,1 | 28,4 | 28,4 | 27,7 | 27,7 |
| | | Bruit ambiant | 27,0 | 31,1 | 33,4 | 38,2 | 42,5 | 45,7 | 49,5 | 53,1 |
| | | EMERGENCE | 0,4 | 0,2 | 0,4 | 0,3 | 0,2 | 0,1 | 0,1 | 0,0 |
| | | Diminution nécessaire | 0,0 | 0,0 | 0,0 | 0,0 | 0,0 | 0,0 | 0,0 | 0,0 |
| Les Logettes | R5 | Bruit résiduel | 23,9 | 29,5 | 32,3 | 40,6 | 41,8 | 43,0 | 44,2 | 45,4 |
| | | Bruit éoliennes | 29,0 | 30,4 | 36,0 | 40,0 | 41,3 | 41,3 | 40,6 | 40,6 |
| | | Bruit ambiant | 30,2 | 33,0 | 37,5 | 43,3 | 44,6 | 45,3 | 45,8 | 46,7 |
| | | EMERGENCE | 6,3 | 3,5 | 5,2 | 2,7 | 2,8 | 2,3 | 1,6 | 1,3 |
| | | Diminution nécessaire | 0,0 | 0,0 | 3,6 | 0,0 | 0,0 | 0,0 | 0,0 | 0,0 |
| La Carte | R6 | Bruit résiduel | 22,5 | 26,2 | 34,4 | 36,2 | 38,2 | 40,1 | 42,0 | 43,9 |
| | | Bruit éoliennes | 24,2 | 25,6 | 30,9 | 34,9 | 36,2 | 36,2 | 35,6 | 35,6 |
| | | Bruit ambiant | 26,4 | 28,9 | 36,0 | 38,6 | 40,4 | 41,6 | 42,9 | 44,5 |
| | | EMERGENCE | 3,9 | 2,7 | 1,6 | 2,4 | 2,2 | 1,5 | 0,9 | 0,6 |
| | | Diminution nécessaire | 0,0 | 0,0 | 0,0 | 0,0 | 0,0 | 0,0 | 0,0 | 0,0 |
| | R6a | Bruit résiduel | 22,5 | 26,2 | 34,4 | 36,2 | 38,2 | 40,1 | 42,0 | 43,9 |
| | | Bruit éoliennes | 24,8 | 26,2 | 31,5 | 35,5 | 36,8 | 36,8 | 36,2 | 36,2 |
| | | Bruit ambiant | 26,8 | 29,2 | 36,2 | 38,9 | 40,6 | 41,8 | 43,0 | 44,6 |
| | | EMERGENCE | 4,3 | 3,0 | 1,8 | 2,7 | 2,4 | 1,7 | 1,0 | 0,7 |
| | | Diminution nécessaire | 0,0 | 0,0 | 0,0 | 0,0 | 0,0 | 0,0 | 0,0 | 0,0 |
| Le Coudret | R7 | Bruit résiduel | 24,7 | 30,1 | 32,6 | 39,5 | 41,8 | 44,1 | 46,4 | 48,7 |
| | | Bruit éoliennes | 18,9 | 20,3 | 25,5 | 29,5 | 30,8 | 30,8 | 30,1 | 30,1 |
| | | Bruit ambiant | 25,7 | 30,5 | 33,4 | 39,9 | 42,1 | 44,3 | 46,5 | 48,8 |
| | | EMERGENCE | 1,0 | 0,4 | 0,8 | 0,4 | 0,3 | 0,2 | 0,1 | 0,1 |
| | | Diminution nécessaire | 0,0 | 0,0 | 0,0 | 0,0 | 0,0 | 0,0 | 0,0 | 0,0 |
| Les Rémièrs | R8 | Bruit résiduel | 31,6 | 38,8 | 44,0 | 48,7 | 50,6 | 52,5 | 54,4 | 56,3 |
| | | Bruit éoliennes | 16,3 | 17,7 | 22,9 | 26,9 | 28,2 | 28,2 | 27,5 | 27,5 |
| | | Bruit ambiant | 31,7 | 38,8 | 44,1 | 48,7 | 50,6 | 52,5 | 54,4 | 56,3 |
| | | EMERGENCE | 0,1 | 0,0 | 0,1 | 0,0 | 0,0 | 0,0 | 0,0 | 0,0 |
| | | Diminution nécessaire | 0,0 | 0,0 | 0,0 | 0,0 | 0,0 | 0,0 | 0,0 | 0,0 |
| | R8a | Bruit résiduel | 31,6 | 38,8 | 44,0 | 48,7 | 50,6 | 52,5 | 54,4 | 56,3 |
| | | Bruit éoliennes | 22,7 | 24,1 | 29,3 | 33,3 | 34,6 | 34,6 | 33,9 | 33,9 |
| | | Bruit ambiant | 32,1 | 38,9 | 44,2 | 48,8 | 50,7 | 52,6 | 54,4 | 56,3 |
| | | EMERGENCE | 0,5 | 0,1 | 0,2 | 0,1 | 0,1 | 0,1 | 0,0 | 0,0 |
| | | Diminution nécessaire | 0,0 | 0,0 | 0,0 | 0,0 | 0,0 | 0,0 | 0,0 | 0,0 |
| R8b | Bruit résiduel | 31,6 | 38,8 | 44,0 | 48,7 | 50,6 | 52,5 | 54,4 | 56,3 | |
| | Bruit éoliennes | 20,9 | 22,3 | 27,5 | 31,5 | 32,8 | 32,8 | 32,2 | 32,2 | |
| | Bruit ambiant | 31,9 | 38,9 | 44,1 | 48,8 | 50,7 | 52,5 | 54,4 | 56,3 | |
| | EMERGENCE | 0,3 | 0,1 | 0,1 | 0,1 | 0,1 | 0,0 | 0,0 | 0,0 | |
| | Diminution nécessaire | 0,0 | 0,0 | 0,0 | 0,0 | 0,0 | 0,0 | 0,0 | 0,0 | |
| Chanteloup | R9 | Bruit résiduel | 30,2 | 37,5 | 39,9 | 40,6 | 40,8 | 41,3 | 41,8 | 42,2 |
| | | Bruit éoliennes | 18,7 | 20,1 | 25,4 | 29,4 | 30,7 | 30,7 | 30,3 | 30,3 |
| | | Bruit ambiant | 30,5 | 37,6 | 40,0 | 40,9 | 41,2 | 41,7 | 42,1 | 42,5 |
| | | EMERGENCE | 0,3 | 0,1 | 0,1 | 0,3 | 0,4 | 0,4 | 0,3 | 0,3 |
| | | Diminution nécessaire | 0,0 | 0,0 | 0,0 | 0,0 | 0,0 | 0,0 | 0,0 | 0,0 |
| R9a | Bruit résiduel | 30,2 | 37,5 | 39,9 | 40,6 | 40,8 | 41,3 | 41,8 | 42,2 | |
| | Bruit éoliennes | 26,0 | 27,4 | 32,8 | 36,8 | 38,1 | 38,1 | 37,5 | 37,5 | |
| | Bruit ambiant | 31,6 | 37,9 | 40,7 | 42,1 | 42,7 | 43,0 | 43,1 | 43,5 | |
| | EMERGENCE | 1,4 | 0,4 | 0,8 | 1,5 | 1,9 | 1,7 | 1,3 | 1,3 | |
| | Diminution nécessaire | 0,0 | 0,0 | 0,0 | 0,0 | 0,0 | 0,0 | 0,0 | 0,0 | |
| Villeneuve | R10 | Bruit résiduel | 27,9 | 31,2 | 32,3 | 34,3 | 40,0 | 41,3 | 44,1 | 46,8 |
| | | Bruit éoliennes | 28,1 | 29,5 | 34,9 | 38,9 | 40,2 | 40,2 | 39,7 | 39,7 |
| | | Bruit ambiant | 31,0 | 33,4 | 36,8 | 40,2 | 43,1 | 43,8 | 45,4 | 47,6 |
| | | EMERGENCE | 3,1 | 2,2 | 4,5 | 5,9 | 3,1 | 2,5 | 1,3 | 0,8 |
| | | Diminution nécessaire | 0,0 | 0,0 | 2,6 | 4,6 | 0,2 | 0,0 | 0,0 | 0,0 |
| | R10a | Bruit résiduel | 27,9 | 31,2 | 32,3 | 34,3 | 40,0 | 41,3 | 44,1 | 46,8 |
| | | Bruit éoliennes | 24,0 | 25,4 | 30,8 | 34,8 | 36,1 | 36,1 | 35,3 | 35,3 |
| | | Bruit ambiant | 29,3 | 32,2 | 34,6 | 37,5 | 41,5 | 42,5 | 44,6 | 47,1 |
| | | EMERGENCE | 1,4 | 1,0 | 2,3 | 3,2 | 1,5 | 1,2 | 0,5 | 0,3 |
| | | Diminution nécessaire | 0,0 | 0,0 | 0,0 | 0,4 | 0,0 | 0,0 | 0,0 | 0,0 |
| Fontrapé | R11 | Bruit résiduel | 28,6 | 32,5 | 35,0 | 38,4 | 42,2 | 45,2 | 48,4 | 50,6 |
| | | Bruit éoliennes | 30,7 | 32,1 | 37,5 | 41,5 | 42,8 | 42,8 | 42,3 | 42,3 |
| | | Bruit ambiant | 32,8 | 35,3 | 39,4 | 43,2 | 45,5 | 47,2 | 49,3 | 51,2 |
| | | EMERGENCE | 4,2 | 2,8 | 4,4 | 4,8 | 3,3 | 2,0 | 0,9 | 0,6 |
| | | Diminution nécessaire | 0,0 | 0,0 | 2,5 | 3,1 | 0,6 | 0,0 | 0,0 | 0,0 |

 Niveau ambiant inférieur ou égal à 35 dB(A) : aucun seuil d'urgence n'est à respecter dans ce cas
Rappeler : si bruit ambiant > 35 dB(A), seuil de 3 dB(A)

Les résultats du calcul des émergences avec des modèles d'éolienne N149 indiquent le respect des seuils réglementaires en période de jour pour le projet éolien de Mazerolles.

En période de nuit, des risques de dépassements des seuils réglementaires sont estimés au droit des lieux-dits les Logettes (R5), Villeneuve (R10 et R10a) et Fontrapé (R11) pour des vitesses de vents comprises entre 5 et 7 m/s.

Un plan de fonctionnement optimisé est donc à prévoir pour la période nocturne, dans le but de respecter les seuils réglementaires.

5.2.2. FONCTIONNEMENT OPTIMISE

Un plan de fonctionnement optimisé consiste à brider (fonctionnement réduit) une partie des éoliennes, selon la période de jour ou de nuit et selon la vitesse de vent.

Le plan de fonctionnement optimisé proposé pour le projet éolien de Mazerolles est le suivant :

| NUIT (22h-7h) | | Fonctionnement optimisé - VESTAS V150 - 4,2 MW - mât de 125 m | | | | | | |
|---------------|---------------|---------------------------------------------------------------|---------|---------------|---------------|---------------|---------------|---------------|
| Eolienne | 3 m/s | 4 m/s | 5 m/s | 6 m/s | 7 m/s | 8 m/s | 9 m/s | 10 m/s |
| E1 | mode standard | mode standard | mode 13 | mode standard | mode standard | mode standard | mode standard | mode standard |
| E2 | mode standard | mode standard | mode 11 | mode standard | mode standard | mode standard | mode standard | mode standard |
| E3 | mode standard | mode 11 | mode 3 | mode 13 | mode standard | mode standard | mode standard | mode standard |
| E4 | mode standard | mode 11 | mode 11 | mode 13 | mode standard | mode standard | mode standard | mode standard |

Fonctionnement optimisé Vestas V150 de 4,2 MW – 125m de hauteur en fonction de la vitesse de vent standardisée


| NUIT (22h-7h) | | Fonctionnement optimisé - NORDEX N149 - 4,5 MW - mât de 125 m | | | | | | |
|---------------|---------------|---------------------------------------------------------------|---------|---------|---------------|---------------|---------------|---------------|
| Eolienne | 3 m/s | 4 m/s | 5 m/s | 6 m/s | 7 m/s | 8 m/s | 9 m/s | 10 m/s |
| E1 | mode standard | mode standard | mode 17 | mode 9 | mode standard | mode standard | mode standard | mode standard |
| E2 | mode standard | mode standard | mode 16 | mode 9 | mode standard | mode standard | mode standard | mode standard |
| E3 | mode standard | mode standard | mode 13 | mode 9 | mode 1 | mode standard | mode standard | mode standard |
| E4 | mode standard | mode standard | mode 13 | mode 10 | mode 2 | mode standard | mode standard | mode standard |

Fonctionnement optimisé Nordex N149 de 4,5 MW – 125m de hauteur en fonction de la vitesse de vent standardisée

En appliquant les modes optimisés définis précédemment, les seuils réglementaires sont respectés pour l'ensemble des zones à émergence réglementée à proximité du projet, comme le montre le tableau suivant.

EMERGENCES GLOBALES - VESTAS V150 - 4,2 MW - mât de 125 m


| Période de NUIT (22h-7h) | | Type de bruit | 3 m/s | 4 m/s | 5 m/s | 6 m/s | 7 m/s | 8 m/s | 9 m/s | 10 m/s | |
|-----------------------------|-----------------------|-----------------------|-------|-------|-------|-------|-------|-------|-------|--------|------|
| La Contrie | R1 | Bruit résiduel | 26,1 | 28,3 | 29,9 | 32,2 | 36,9 | 38,3 | 40,9 | 43,4 | |
| | | Bruit éoliennes | 9,9 | 12,8 | 14,7 | 18,6 | 22,7 | 22,7 | 22,7 | 22,7 | 22,7 |
| | | Bruit ambiant | 26,2 | 28,4 | 30,0 | 32,4 | 37,0 | 38,4 | 40,9 | 43,4 | |
| | | EMERGENCE | 0,1 | 0,1 | 0,1 | 0,2 | 0,1 | 0,1 | 0,0 | 0,0 | 0,0 |
| | | Diminution nécessaire | 0,0 | 0,0 | 0,0 | 0,0 | 0,0 | 0,0 | 0,0 | 0,0 | 0,0 |
| | | Bruit résiduel | 26,1 | 28,3 | 29,9 | 32,2 | 36,9 | 38,3 | 40,9 | 43,4 | |
| | R1a | Bruit éoliennes | 13,5 | 16,1 | 18,0 | 20,3 | 26,4 | 26,4 | 26,4 | 26,4 | 26,4 |
| | | Bruit ambiant | 26,3 | 28,6 | 30,2 | 32,5 | 37,2 | 38,6 | 41,0 | 43,5 | |
| | | EMERGENCE | 0,2 | 0,3 | 0,3 | 0,3 | 0,3 | 0,3 | 0,1 | 0,1 | 0,1 |
| | | Diminution nécessaire | 0,0 | 0,0 | 0,0 | 0,0 | 0,0 | 0,0 | 0,0 | 0,0 | 0,0 |
| | | Bruit résiduel | 25,0 | 28,8 | 31,0 | 33,9 | 38,7 | 41,2 | 44,5 | 47,7 | |
| | | Bruit éoliennes | 11,4 | 14,6 | 16,1 | 21,3 | 24,3 | 24,3 | 24,3 | 24,3 | 24,3 |
| La Gaudinière | R2 | Bruit ambiant | 25,2 | 29,0 | 31,1 | 34,1 | 38,8 | 41,3 | 44,5 | 47,7 | |
| | | EMERGENCE | 0,2 | 0,2 | 0,1 | 0,2 | 0,1 | 0,1 | 0,0 | 0,0 | 0,0 |
| | | Diminution nécessaire | 0,0 | 0,0 | 0,0 | 0,0 | 0,0 | 0,0 | 0,0 | 0,0 | 0,0 |
| | | Bruit résiduel | 25,0 | 28,8 | 31,0 | 33,9 | 38,7 | 41,2 | 44,5 | 47,7 | |
| | | Bruit éoliennes | 11,3 | 14,4 | 16,1 | 20,9 | 24,2 | 24,2 | 24,2 | 24,2 | 24,2 |
| | | Bruit ambiant | 25,2 | 29,0 | 31,1 | 34,1 | 38,8 | 41,3 | 44,5 | 47,7 | |
| | R2a | EMERGENCE | 0,2 | 0,2 | 0,1 | 0,2 | 0,1 | 0,1 | 0,0 | 0,0 | 0,0 |
| | | Diminution nécessaire | 0,0 | 0,0 | 0,0 | 0,0 | 0,0 | 0,0 | 0,0 | 0,0 | 0,0 |
| | | Bruit résiduel | 25,0 | 28,8 | 31,0 | 33,9 | 38,7 | 41,2 | 44,5 | 47,7 | |
| | | Bruit éoliennes | 11,3 | 14,3 | 16,1 | 20,6 | 24,2 | 24,2 | 24,2 | 24,2 | 24,2 |
| | | Bruit ambiant | 25,2 | 29,0 | 31,1 | 34,1 | 38,8 | 41,3 | 44,5 | 47,7 | |
| | | EMERGENCE | 0,2 | 0,2 | 0,1 | 0,2 | 0,1 | 0,1 | 0,0 | 0,0 | 0,0 |
| R2b | Diminution nécessaire | 0,0 | 0,0 | 0,0 | 0,0 | 0,0 | 0,0 | 0,0 | 0,0 | 0,0 | |
| | Bruit résiduel | 25,0 | 28,8 | 31,0 | 33,9 | 38,7 | 41,2 | 44,5 | 47,7 | | |
| | Bruit éoliennes | 11,3 | 14,3 | 16,1 | 20,6 | 24,2 | 24,2 | 24,2 | 24,2 | 24,2 | |
| | Bruit ambiant | 25,2 | 29,0 | 31,1 | 34,1 | 38,8 | 41,3 | 44,5 | 47,7 | | |
| | EMERGENCE | 0,2 | 0,2 | 0,1 | 0,2 | 0,1 | 0,1 | 0,0 | 0,0 | 0,0 | |
| | Diminution nécessaire | 0,0 | 0,0 | 0,0 | 0,0 | 0,0 | 0,0 | 0,0 | 0,0 | 0,0 | |
| La Bussière | R3 | Bruit résiduel | 24,7 | 33,0 | 36,1 | 39,3 | 42,5 | 45,6 | 48,8 | 52,0 | |
| | | Bruit éoliennes | 9,2 | 12,5 | 13,7 | 19,5 | 22,1 | 22,1 | 22,1 | 22,1 | 22,1 |
| | | Bruit ambiant | 24,8 | 33,0 | 36,2 | 39,4 | 42,5 | 45,7 | 48,8 | 52,0 | |
| | | EMERGENCE | 0,1 | 0,0 | 0,1 | 0,1 | 0,0 | 0,1 | 0,0 | 0,0 | 0,0 |
| | | Diminution nécessaire | 0,0 | 0,0 | 0,0 | 0,0 | 0,0 | 0,0 | 0,0 | 0,0 | 0,0 |
| | | Bruit résiduel | 26,6 | 30,9 | 33,0 | 37,9 | 42,3 | 45,6 | 49,4 | 53,1 | |
| Les Hybaudières | R4 | Bruit éoliennes | 15,0 | 17,9 | 19,6 | 23,6 | 27,8 | 27,8 | 27,9 | 27,9 | 27,9 |
| | | Bruit ambiant | 26,9 | 31,1 | 33,2 | 38,0 | 42,4 | 45,7 | 49,5 | 53,1 | |
| | | EMERGENCE | 0,3 | 0,2 | 0,2 | 0,1 | 0,1 | 0,1 | 0,1 | 0,0 | 0,0 |
| | | Diminution nécessaire | 0,0 | 0,0 | 0,0 | 0,0 | 0,0 | 0,0 | 0,0 | 0,0 | 0,0 |
| | | Bruit résiduel | 23,9 | 29,5 | 32,3 | 40,6 | 41,8 | 43,0 | 44,2 | 45,4 | |
| | | Bruit éoliennes | 27,8 | 31,6 | 31,4 | 39,6 | 40,6 | 40,6 | 40,6 | 40,6 | 40,6 |
| Les Logettes | R5 | Bruit ambiant | 29,3 | 33,7 | 34,9 | 43,2 | 44,3 | 45,0 | 45,8 | 46,7 | |
| | | EMERGENCE | 5,4 | 4,2 | 2,6 | 2,6 | 2,5 | 2,0 | 1,6 | 1,3 | |
| | | Diminution nécessaire | 0,0 | 0,0 | 0,0 | 0,0 | 0,0 | 0,0 | 0,0 | 0,0 | 0,0 |
| | | Bruit résiduel | 22,5 | 26,2 | 34,4 | 36,2 | 38,2 | 40,1 | 42,0 | 43,9 | |
| | | Bruit éoliennes | 22,8 | 26,5 | 27,1 | 34,5 | 35,6 | 35,6 | 35,6 | 35,6 | 35,6 |
| | | Bruit ambiant | 25,7 | 29,4 | 35,2 | 38,4 | 40,1 | 41,4 | 42,9 | 44,5 | |
| La Carte | R6 | EMERGENCE | 3,2 | 3,2 | 0,8 | 2,2 | 1,9 | 1,3 | 0,9 | 0,6 | |
| | | Diminution nécessaire | 0,0 | 0,0 | 0,0 | 0,0 | 0,0 | 0,0 | 0,0 | 0,0 | 0,0 |
| | | Bruit résiduel | 22,5 | 26,2 | 34,4 | 36,2 | 38,2 | 40,1 | 42,0 | 43,9 | |
| | | Bruit éoliennes | 23,5 | 27,2 | 27,6 | 35,1 | 36,3 | 36,3 | 36,3 | 36,3 | 36,3 |
| | | Bruit ambiant | 26,0 | 29,7 | 35,3 | 38,7 | 40,4 | 41,6 | 43,1 | 44,6 | |
| | | EMERGENCE | 3,5 | 3,5 | 0,9 | 2,5 | 2,2 | 1,5 | 1,1 | 0,7 | |
| Le Coudret | R7 | Diminution nécessaire | 0,0 | 0,0 | 0,0 | 0,0 | 0,0 | 0,0 | 0,0 | 0,0 | 0,0 |
| | | Bruit résiduel | 24,7 | 30,1 | 32,6 | 39,5 | 41,8 | 44,1 | 46,4 | 48,7 | |
| | | Bruit éoliennes | 17,5 | 21,0 | 21,9 | 28,6 | 30,3 | 30,3 | 30,3 | 30,3 | 30,3 |
| | | Bruit ambiant | 25,4 | 30,6 | 33,0 | 39,8 | 42,1 | 44,3 | 46,5 | 48,8 | |
| | | EMERGENCE | 0,7 | 0,5 | 0,4 | 0,3 | 0,3 | 0,2 | 0,1 | 0,1 | |
| | | Diminution nécessaire | 0,0 | 0,0 | 0,0 | 0,0 | 0,0 | 0,0 | 0,0 | 0,0 | 0,0 |
| Les Rémières | R8 | Bruit résiduel | 31,6 | 38,8 | 44,0 | 48,7 | 50,6 | 52,5 | 54,4 | 56,3 | |
| | | Bruit éoliennes | 14,9 | 18,0 | 20,7 | 24,5 | 27,7 | 27,7 | 27,7 | 27,7 | 27,7 |
| | | Bruit ambiant | 31,6 | 38,8 | 44,1 | 48,7 | 50,6 | 52,5 | 54,4 | 56,3 | |
| | | EMERGENCE | 0,0 | 0,0 | 0,1 | 0,0 | 0,0 | 0,0 | 0,0 | 0,0 | 0,0 |
| | | Diminution nécessaire | 0,0 | 0,0 | 0,0 | 0,0 | 0,0 | 0,0 | 0,0 | 0,0 | 0,0 |
| | | Bruit résiduel | 31,6 | 38,8 | 44,0 | 48,7 | 50,6 | 52,5 | 54,4 | 56,3 | |
| | R8a | Bruit éoliennes | 21,3 | 24,7 | 26,1 | 32,1 | 34,1 | 34,1 | 34,1 | 34,1 | 34,1 |
| | | Bruit ambiant | 32,0 | 38,9 | 44,1 | 48,8 | 50,7 | 52,6 | 54,4 | 56,3 | |
| | | EMERGENCE | 0,4 | 0,1 | 0,1 | 0,1 | 0,1 | 0,1 | 0,0 | 0,0 | 0,0 |
| | | Diminution nécessaire | 0,0 | 0,0 | 0,0 | 0,0 | 0,0 | 0,0 | 0,0 | 0,0 | 0,0 |
| | | Bruit résiduel | 31,6 | 38,8 | 44,0 | 48,7 | 50,6 | 52,5 | 54,4 | 56,3 | |
| | | Bruit éoliennes | 19,5 | 23,4 | 23,4 | 31,6 | 32,3 | 32,3 | 32,3 | 32,3 | 32,3 |
| R8b | Bruit ambiant | 31,8 | 38,9 | 44,1 | 48,8 | 50,6 | 52,5 | 54,4 | 56,3 | | |
| | EMERGENCE | 0,2 | 0,1 | 0,1 | 0,1 | 0,0 | 0,0 | 0,0 | 0,0 | 0,0 | |
| | Diminution nécessaire | 0,0 | 0,0 | 0,0 | 0,0 | 0,0 | 0,0 | 0,0 | 0,0 | 0,0 | |
| | Bruit résiduel | 30,2 | 37,5 | 39,9 | 40,6 | 40,8 | 41,3 | 41,8 | 42,2 | | |
| | Bruit éoliennes | 17,1 | 20,7 | 21,8 | 28,5 | 29,9 | 29,9 | 29,9 | 29,9 | 29,9 | |
| | Bruit ambiant | 30,4 | 37,6 | 39,9 | 40,8 | 41,1 | 41,6 | 42,0 | 42,5 | | |
| Chanteloup | R9 | EMERGENCE | 0,2 | 0,1 | 0,0 | 0,2 | 0,3 | 0,3 | 0,2 | 0,3 | |
| | | Diminution nécessaire | 0,0 | 0,0 | 0,0 | 0,0 | 0,0 | 0,0 | 0,0 | 0,0 | 0,0 |
| | | Bruit résiduel | 30,2 | 37,5 | 39,9 | 40,6 | 40,8 | 41,3 | 41,8 | 42,2 | |
| | | Bruit éoliennes | 24,7 | 27,9 | 29,9 | 34,7 | 37,5 | 37,5 | 37,5 | 37,5 | 37,5 |
| | | Bruit ambiant | 31,3 | 38,0 | 40,3 | 41,6 | 42,4 | 42,8 | 43,1 | 43,5 | |
| | | EMERGENCE | 1,1 | 0,5 | 0,4 | 1,0 | 1,6 | 1,5 | 1,3 | 1,3 | |
| Villeneuve | R10 | Diminution nécessaire | 0,0 | 0,0 | 0,0 | 0,0 | 0,0 | 0,0 | 0,0 | 0,0 | 0,0 |
| | | Bruit résiduel | 27,9 | 31,2 | 32,3 | 34,3 | 40,0 | 41,3 | 44,1 | 46,8 | |
| | | Bruit éoliennes | 26,8 | 29,4 | 31,8 | 33,9 | 39,6 | 39,6 | 39,6 | 39,6 | 39,6 |
| | | Bruit ambiant | 30,4 | 33,4 | 35,1 | 37,1 | 42,8 | 43,6 | 45,4 | 47,6 | |
| | | EMERGENCE | 2,5 | 2,2 | 2,8 | 2,8 | 2,8 | 2,3 | 1,3 | 0,8 | |
| | | Diminution nécessaire | 0,0 | 0,0 | 0,0 | 0,0 | 0,0 | 0,0 | 0,0 | 0,0 | 0,0 |
| R10a | Bruit résiduel | 27,9 | 31,2 | 32,3 | 34,3 | 40,0 | 41,3 | 44,1 | 46,8 | | |
| | Bruit éoliennes | 22,7 | 25,2 | 27,4 | 29,3 | 35,5 | 35,5 | 35,5 | 35,5 | 35,5 | |
| | Bruit ambiant | 29,0 | 32,1 | 33,5 | 35,5 | 41,3 | 42,3 | 44,6 | 47,1 | | |
| | EMERGENCE | 1,1 | 0,9 | 1,2 | 1,2 | 1,3 | 1,0 | 0,5 | 0,3 | | |
| | Diminution nécessaire | 0,0 | 0,0 | 0,0 | 0,0 | 0,0 | 0,0 | 0,0 | 0,0 | 0,0 | |
| | Bruit résiduel | 28,6 | 32,5 | 35,0 | 38,4 | 42,2 | 45,2 | 48,4 | 50,6 | | |
| Fontrapé | R11 | Bruit éoliennes | 29,4 | 32,1 | 34,3 | 37,4 | 42,2 | 42,2 | 42,2 | 42,2 | 42,2 |
| | | Bruit ambiant | 32,0 | 35,4 | 37,7 | 40,9 | 45,2 | 46,9 | 49,3 | 51,2 | |
| | | EMERGENCE | 3,4 | 2,9 | 2,7 | 2,5 | 3,0 | 1,7 | 0,9 | 0,6 | |
| | | Diminution nécessaire | 0,0 | 0,0 | 0,0 | 0,0 | 0,0 | 0,0 | 0,0 | 0,0 | 0,0 |

 Niveau ambiant inférieur ou égal à 35 dB(A) : aucun seuil d'urgence n'est à respecter dans ce cas
Rappel : si bruit ambiant > 35 dB(A), seuil de 3 dB(A)

Résultats des calculs des émergences en période de nuit – VESTAS V150 de 4,2MW mode optimisé avec peignes – 125m de hauteur nacelle

EMERGENCES GLOBALES - NORDEX N149 - 4,5 MW - mât de 125 m

| Période de NUIT (22h-7h) | | Type de bruit | 3 m/s | 4 m/s | 5 m/s | 6 m/s | 7 m/s | 8 m/s | 9 m/s | 10 m/s | |
|-----------------------------|-----------------------|-----------------------|-------|-------|-------|-------|-------|-------|-------|--------|-----|
| La Contrie | R1 | Bruit résiduel | 26,1 | 28,3 | 29,9 | 32,2 | 36,9 | 38,3 | 40,9 | 43,4 | |
| | | Bruit éoliennes | 11,4 | 12,8 | 15,1 | 17,4 | 22,6 | 23,2 | 22,5 | 22,5 | |
| | | Bruit ambiant | 26,2 | 28,4 | 30,0 | 32,4 | 37,0 | 38,4 | 40,9 | 43,4 | |
| | | EMERGENCE | 0,1 | 0,1 | 0,1 | 0,2 | 0,1 | 0,1 | 0,0 | 0,0 | 0,0 |
| | | Diminution nécessaire | 0,0 | 0,0 | 0,0 | 0,0 | 0,0 | 0,0 | 0,0 | 0,0 | 0,0 |
| | | Bruit résiduel | 26,1 | 28,3 | 29,9 | 32,2 | 36,9 | 38,3 | 40,9 | 43,4 | |
| | R1a | Bruit éoliennes | 15,0 | 16,4 | 19,0 | 20,9 | 26,0 | 26,9 | 26,2 | 26,2 | |
| | | Bruit ambiant | 26,4 | 28,6 | 30,2 | 32,5 | 37,2 | 38,6 | 41,0 | 43,5 | |
| | | EMERGENCE | 0,3 | 0,3 | 0,3 | 0,3 | 0,3 | 0,3 | 0,1 | 0,1 | |
| | | Diminution nécessaire | 0,0 | 0,0 | 0,0 | 0,0 | 0,0 | 0,0 | 0,0 | 0,0 | |
| | | Bruit résiduel | 25,0 | 28,8 | 31,0 | 33,9 | 38,7 | 41,2 | 44,5 | 47,7 | |
| | | Bruit éoliennes | 13,2 | 14,6 | 16,4 | 19,1 | 24,4 | 24,8 | 24,1 | 24,1 | |
| La Gaudinière | R2 | Bruit ambiant | 25,3 | 29,0 | 31,1 | 34,0 | 38,8 | 41,3 | 44,5 | 47,7 | |
| | | EMERGENCE | 0,3 | 0,2 | 0,1 | 0,1 | 0,1 | 0,1 | 0,0 | 0,0 | |
| | | Diminution nécessaire | 0,0 | 0,0 | 0,0 | 0,0 | 0,0 | 0,0 | 0,0 | 0,0 | |
| | | Bruit résiduel | 25,0 | 28,8 | 31,0 | 33,9 | 38,7 | 41,2 | 44,5 | 47,7 | |
| | | Bruit éoliennes | 13,1 | 14,5 | 16,4 | 19,0 | 24,2 | 24,7 | 24,1 | 24,1 | |
| | | Bruit ambiant | 25,3 | 29,0 | 31,1 | 34,0 | 38,8 | 41,3 | 44,5 | 47,7 | |
| | R2a | EMERGENCE | 0,3 | 0,2 | 0,1 | 0,1 | 0,1 | 0,1 | 0,0 | 0,0 | |
| | | Diminution nécessaire | 0,0 | 0,0 | 0,0 | 0,0 | 0,0 | 0,0 | 0,0 | 0,0 | |
| | | Bruit résiduel | 25,0 | 28,8 | 31,0 | 33,9 | 38,7 | 41,2 | 44,5 | 47,7 | |
| | | Bruit éoliennes | 13,1 | 14,5 | 16,4 | 18,9 | 24,2 | 24,7 | 24,1 | 24,1 | |
| | | Bruit ambiant | 25,3 | 29,0 | 31,1 | 34,0 | 38,8 | 41,3 | 44,5 | 47,7 | |
| | | EMERGENCE | 0,3 | 0,2 | 0,1 | 0,1 | 0,1 | 0,1 | 0,0 | 0,0 | |
| R2b | Diminution nécessaire | 0,0 | 0,0 | 0,0 | 0,0 | 0,0 | 0,0 | 0,0 | 0,0 | | |
| | Bruit résiduel | 25,0 | 28,8 | 31,0 | 33,9 | 38,7 | 41,2 | 44,5 | 47,7 | | |
| | Bruit éoliennes | 13,1 | 14,5 | 16,4 | 18,9 | 24,2 | 24,7 | 24,1 | 24,1 | | |
| | Bruit ambiant | 25,3 | 29,0 | 31,1 | 34,0 | 38,8 | 41,3 | 44,5 | 47,7 | | |
| | EMERGENCE | 0,3 | 0,2 | 0,1 | 0,1 | 0,1 | 0,1 | 0,0 | 0,0 | | |
| | Diminution nécessaire | 0,0 | 0,0 | 0,0 | 0,0 | 0,0 | 0,0 | 0,0 | 0,0 | | |
| La Bussière | R3 | Bruit résiduel | 24,7 | 33,0 | 36,1 | 39,3 | 42,5 | 45,6 | 48,8 | 52,0 | |
| | | Bruit éoliennes | 10,9 | 12,3 | 14,1 | 16,9 | 22,2 | 22,6 | 21,9 | 21,9 | |
| | | Bruit ambiant | 24,9 | 33,0 | 36,2 | 39,3 | 42,5 | 45,7 | 48,8 | 52,0 | |
| | | EMERGENCE | 0,2 | 0,0 | 0,1 | 0,0 | 0,0 | 0,1 | 0,0 | 0,0 | |
| | | Diminution nécessaire | 0,0 | 0,0 | 0,0 | 0,0 | 0,0 | 0,0 | 0,0 | 0,0 | |
| | | Bruit résiduel | 24,7 | 33,0 | 36,1 | 39,3 | 42,5 | 45,6 | 48,8 | 52,0 | |
| Les Hybaudières | R4 | Bruit éoliennes | 16,5 | 17,9 | 20,2 | 22,5 | 27,7 | 28,4 | 27,7 | 27,7 | |
| | | Bruit ambiant | 27,0 | 31,1 | 33,2 | 38,0 | 42,4 | 45,7 | 49,5 | 53,1 | |
| | | EMERGENCE | 0,4 | 0,2 | 0,2 | 0,1 | 0,1 | 0,1 | 0,1 | 0,0 | |
| | | Diminution nécessaire | 0,0 | 0,0 | 0,0 | 0,0 | 0,0 | 0,0 | 0,0 | 0,0 | |
| | | Bruit résiduel | 23,9 | 29,5 | 32,3 | 40,6 | 41,8 | 43,0 | 44,2 | 45,4 | |
| | | Bruit éoliennes | 29,0 | 30,4 | 32,2 | 35,6 | 41,1 | 41,3 | 40,6 | 40,6 | |
| Les Logettes | R5 | Bruit ambiant | 30,2 | 33,0 | 35,3 | 41,8 | 44,5 | 45,3 | 45,8 | 46,7 | |
| | | EMERGENCE | 6,3 | 3,5 | 3,0 | 1,2 | 2,7 | 2,3 | 1,6 | 1,3 | |
| | | Diminution nécessaire | 0,0 | 0,0 | 0,0 | 0,0 | 0,0 | 0,0 | 0,0 | 0,0 | |
| | | Bruit résiduel | 22,5 | 26,2 | 34,4 | 36,2 | 38,2 | 40,1 | 42,0 | 43,9 | |
| | | Bruit éoliennes | 24,2 | 25,6 | 27,3 | 30,6 | 36,1 | 36,2 | 35,6 | 35,6 | |
| | | Bruit ambiant | 26,4 | 28,9 | 35,2 | 37,3 | 40,3 | 41,6 | 42,9 | 44,5 | |
| La Carte | R6 | EMERGENCE | 3,9 | 2,7 | 0,8 | 1,1 | 2,1 | 1,5 | 0,9 | 0,6 | |
| | | Diminution nécessaire | 0,0 | 0,0 | 0,0 | 0,0 | 0,0 | 0,0 | 0,0 | 0,0 | |
| | | Bruit résiduel | 22,5 | 26,2 | 34,4 | 36,2 | 38,2 | 40,1 | 42,0 | 43,9 | |
| | | Bruit éoliennes | 24,8 | 26,2 | 27,9 | 31,2 | 36,7 | 36,8 | 36,2 | 36,2 | |
| | | Bruit ambiant | 26,8 | 29,2 | 35,3 | 37,4 | 40,6 | 41,8 | 43,0 | 44,6 | |
| | | EMERGENCE | 4,3 | 3,0 | 0,9 | 1,2 | 2,4 | 1,7 | 1,0 | 0,7 | |
| Le Coudret | R7 | Diminution nécessaire | 0,0 | 0,0 | 0,0 | 0,0 | 0,0 | 0,0 | 0,0 | 0,0 | |
| | | Bruit résiduel | 24,7 | 30,1 | 32,6 | 39,5 | 41,8 | 44,1 | 46,4 | 48,7 | |
| | | Bruit éoliennes | 18,9 | 20,3 | 22,1 | 25,1 | 30,5 | 30,8 | 30,1 | 30,1 | |
| | | Bruit ambiant | 25,7 | 30,5 | 33,0 | 39,6 | 42,1 | 44,3 | 46,5 | 48,8 | |
| | | EMERGENCE | 1,0 | 0,4 | 0,4 | 0,1 | 0,3 | 0,2 | 0,1 | 0,1 | |
| | | Diminution nécessaire | 0,0 | 0,0 | 0,0 | 0,0 | 0,0 | 0,0 | 0,0 | 0,0 | |
| Les Rémiers | R8 | Bruit résiduel | 31,6 | 38,8 | 44,0 | 48,7 | 50,6 | 52,5 | 54,4 | 56,3 | |
| | | Bruit éoliennes | 16,3 | 17,7 | 19,9 | 22,5 | 27,8 | 28,2 | 27,5 | 27,5 | |
| | | Bruit ambiant | 31,7 | 38,8 | 44,1 | 48,7 | 50,6 | 52,5 | 54,4 | 56,3 | |
| | | EMERGENCE | 0,1 | 0,0 | 0,1 | 0,0 | 0,0 | 0,0 | 0,0 | 0,0 | |
| | | Diminution nécessaire | 0,0 | 0,0 | 0,0 | 0,0 | 0,0 | 0,0 | 0,0 | 0,0 | |
| | | Bruit résiduel | 31,6 | 38,8 | 44,0 | 48,7 | 50,6 | 52,5 | 54,4 | 56,3 | |
| | R8a | Bruit éoliennes | 22,7 | 24,1 | 26,1 | 29,0 | 34,4 | 34,6 | 33,9 | 33,9 | |
| | | Bruit ambiant | 32,1 | 38,9 | 44,1 | 48,7 | 50,7 | 52,6 | 54,4 | 56,3 | |
| | | EMERGENCE | 0,5 | 0,1 | 0,1 | 0,0 | 0,1 | 0,1 | 0,0 | 0,0 | |
| | | Diminution nécessaire | 0,0 | 0,0 | 0,0 | 0,0 | 0,0 | 0,0 | 0,0 | 0,0 | |
| | | Bruit résiduel | 31,6 | 38,8 | 44,0 | 48,7 | 50,6 | 52,5 | 54,4 | 56,3 | |
| | | Bruit éoliennes | 20,9 | 22,3 | 23,8 | 27,2 | 32,8 | 32,8 | 32,2 | 32,2 | |
| R8b | Bruit ambiant | 31,9 | 38,9 | 44,1 | 48,7 | 50,7 | 52,5 | 54,4 | 56,3 | | |
| | EMERGENCE | 0,3 | 0,1 | 0,1 | 0,0 | 0,1 | 0,0 | 0,0 | 0,0 | | |
| | Diminution nécessaire | 0,0 | 0,0 | 0,0 | 0,0 | 0,0 | 0,0 | 0,0 | 0,0 | | |
| | Bruit résiduel | 30,2 | 37,5 | 39,9 | 40,6 | 40,8 | 41,3 | 41,8 | 42,2 | | |
| | Bruit éoliennes | 18,7 | 20,1 | 22,0 | 25,1 | 30,5 | 30,7 | 30,3 | 30,3 | | |
| | Bruit ambiant | 30,5 | 37,6 | 39,9 | 40,7 | 41,2 | 41,7 | 42,1 | 42,5 | | |
| Chanteloup | R9 | EMERGENCE | 0,3 | 0,1 | 0,0 | 0,1 | 0,4 | 0,4 | 0,3 | 0,3 | |
| | | Diminution nécessaire | 0,0 | 0,0 | 0,0 | 0,0 | 0,0 | 0,0 | 0,0 | 0,0 | |
| | | Bruit résiduel | 30,2 | 37,5 | 39,9 | 40,6 | 40,8 | 41,3 | 41,8 | 42,2 | |
| | | Bruit éoliennes | 26,0 | 27,4 | 29,7 | 32,4 | 37,7 | 38,1 | 37,5 | 37,5 | |
| | | Bruit ambiant | 31,6 | 37,9 | 40,3 | 41,2 | 42,5 | 43,0 | 43,1 | 43,5 | |
| | | EMERGENCE | 1,4 | 0,4 | 0,4 | 0,6 | 1,7 | 1,7 | 1,3 | 1,3 | |
| Villeneuve | R10 | Diminution nécessaire | 0,0 | 0,0 | 0,0 | 0,0 | 0,0 | 0,0 | 0,0 | 0,0 | |
| | | Bruit résiduel | 27,9 | 31,2 | 32,3 | 34,3 | 40,0 | 41,3 | 44,1 | 46,8 | |
| | | Bruit éoliennes | 28,1 | 29,5 | 32,4 | 34,4 | 39,5 | 40,2 | 39,7 | 39,7 | |
| | | Bruit ambiant | 31,0 | 33,4 | 35,3 | 37,3 | 42,8 | 43,8 | 45,4 | 47,6 | |
| | | EMERGENCE | 3,1 | 2,2 | 3,0 | 3,0 | 2,8 | 2,5 | 1,3 | 0,8 | |
| | | Diminution nécessaire | 0,0 | 0,0 | 0,0 | 0,0 | 0,0 | 0,0 | 0,0 | 0,0 | |
| | R10a | Bruit résiduel | 27,9 | 31,2 | 32,3 | 34,3 | 40,0 | 41,3 | 44,1 | 46,8 | |
| | | Bruit éoliennes | 24,0 | 25,4 | 28,2 | 30,1 | 35,3 | 36,1 | 35,3 | 35,3 | |
| | | Bruit ambiant | 29,3 | 32,2 | 33,7 | 35,7 | 41,2 | 42,5 | 44,6 | 47,1 | |
| | | EMERGENCE | 1,4 | 1,0 | 1,4 | 1,4 | 1,2 | 1,2 | 0,5 | 0,3 | |
| | | Diminution nécessaire | 0,0 | 0,0 | 0,0 | 0,0 | 0,0 | 0,0 | 0,0 | 0,0 | |
| | | Bruit résiduel | 28,6 | 32,5 | 35,0 | 38,4 | 42,2 | 45,2 | 48,4 | 50,6 | |
| Fontrapé | R11 | Bruit éoliennes | 30,7 | 32,1 | 34,8 | 37,0 | 42,2 | 42,8 | 42,3 | 42,3 | |
| | | Bruit ambiant | 32,8 | 35,3 | 37,9 | 40,7 | 45,2 | 47,2 | 49,3 | 51,2 | |
| | | EMERGENCE | 4,2 | 2,8 | 2,9 | 2,3 | 3,0 | 2,0 | 0,9 | 0,6 | |
| | | Diminution nécessaire | 0,0 | 0,0 | 0,0 | 0,0 | 0,0 | 0,0 | 0,0 | 0,0 | |
| | | Bruit résiduel | 28,6 | 32,5 | 35,0 | 38,4 | 42,2 | 45,2 | 48,4 | 50,6 | |
| | | Bruit éoliennes | 30,7 | 32,1 | 34,8 | 37,0 | 42,2 | 42,8 | 42,3 | 42,3 | |

 Niveau ambiant inférieur ou égal à 35 dB(A) : aucun seuil d'urgence n'est à respecter dans ce cas
Rappel : si bruit ambiant > 35 dB(A), seuil de 3 dB(A)

Résultats des calculs des émergences en période de nuit – NORDEX N149 de 4,5MW mode optimisé avec peignes – 125m de hauteur nacelle

5.3. PERIMETRE DE MESURE DU BRUIT

Le niveau de bruit maximal des installations éoliennes est fixé à 70 dB(A) pour la période de jour et 60 dB(A) pour la période de nuit dans le périmètre de mesure du bruit. Ce périmètre correspond au plus petit polygone dans lequel sont inscrits les disques de centre chaque aérogénérateur et de rayon R défini par :

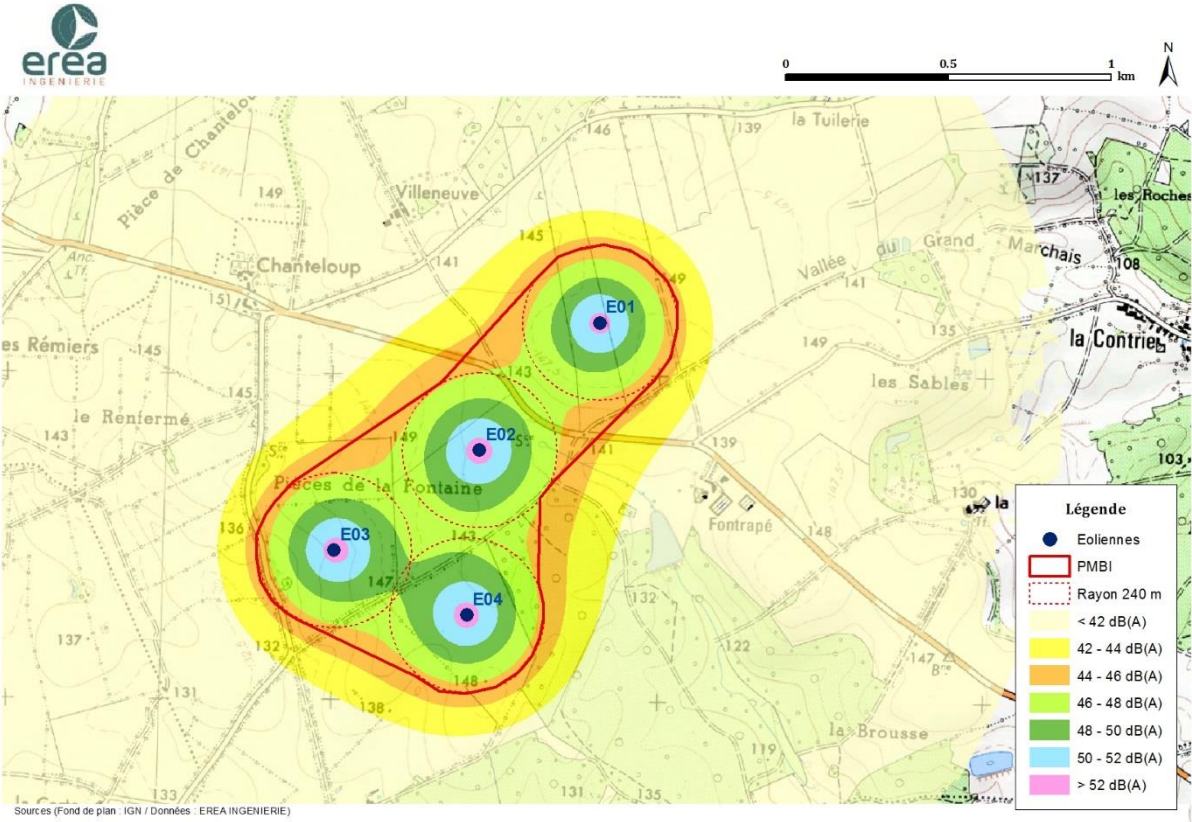
- $R = 1,2 \times (\text{hauteur du moyeu} + \text{longueur d'un demi-rotor})$

Le rayon du périmètre de mesure du bruit de l'installation du projet pour le type de configuration étudiée est de 240 m.

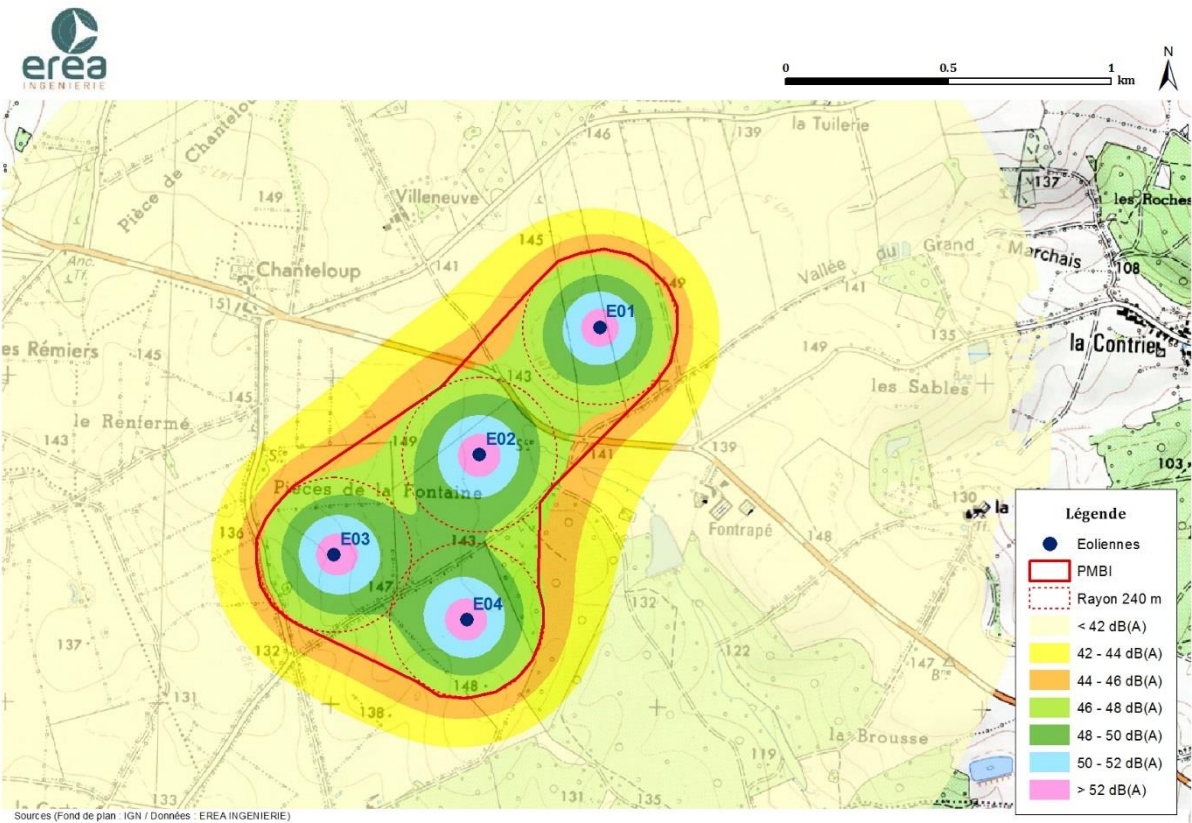
En limite de ce périmètre, les niveaux sonores varient au maximum entre 44 et 46 dB(A) à 2 m de hauteur pour la vitesse de vent correspondant aux émissions de bruits les plus bruyantes, soit 10 m/s. D'autre part, ces niveaux sonores sont calculés avec un fonctionnement normal (sans bridage) des éoliennes. Ces niveaux sont donc bien inférieurs aux seuils réglementaires de 70 dB(A) de jour et 60 dB(A) de nuit.

Les figures qui suivent illustrent les niveaux sonores à l'intérieur du périmètre de mesure du bruit de l'installation, en vent portant dans toutes les directions.

Ainsi, pour toutes directions et vitesses de vent, les seuils réglementaires sont respectés en limite du périmètre de mesure du bruit de l'installation pour le type d'éolienne étudié.



Isophones au périmètre de mesure du bruit de l'installation – Configuration V150



Isophones au périmètre de mesure du bruit de l'installation – Configuration N149

5.4. TONALITE MARQUEE

La tonalité marquée est détectée dans un spectre non pondéré de tiers d'octave quand la différence de niveau entre la bande de tiers d'octave et les quatre bandes de tiers d'octave les plus proches (les deux bandes immédiatement inférieures et les deux bandes immédiatement supérieures) atteint ou dépasse les niveaux suivants :

| 50 Hz à 315 Hz | 400 Hz à 1250 Hz | 1600 Hz à 8000 Hz |
|----------------|------------------|-------------------|
| 10 dB | 5 dB | 5 dB |

Ainsi, dans le cas où le bruit des éoliennes est à tonalité marquée de manière établie ou cyclique, sa durée d'apparition ne doit pas excéder 30% de la durée de fonctionnement de l'établissement dans chacune des périodes diurne et nocturne. La signature spectrale de l'éolienne chez les riverains reste théoriquement la même quelle que soit la vitesse du vent. L'étude de tonalité pour une vitesse de vent peut suffire à répondre à la problématique. Cette étude de la tonalité marquée peut directement être étudiée sur le spectre de puissance acoustique donné par le constructeur. Il est en effet admis que, malgré les déformations subies par le spectre de l'éolienne notamment par les effets de sol et d'absorption atmosphérique, celles-ci n'entraîneront pas de déformation suffisamment inégale sur des bandes de 1/3 d'octave adjacentes pour provoquer, chez le riverain, une tonalité marquée imputable au bruit des éoliennes.

Les tonalités des éoliennes VESTAS V150 – 4,2 MW et NORDEX N149 – 4,5 MW avec peignes sont calculées à partir des données des émissions spectrales des machines selon les données des constructeurs disponibles en tiers d'octave.

Les tableaux suivants présentent les tonalités en dB, calculées pour les différentes vitesses de vent à hauteur de la nacelle.

| Fréquences (en Hz) | 50 Hz | 63 Hz | 80 Hz | 100 Hz | 125 Hz | 160 Hz | 200 Hz | 250 Hz | 315 Hz | 400 Hz | 500 Hz | 630 Hz |
|--------------------|-------|-------|-------|--------|--------|--------|--------|--------|--------|--------|--------|--------|
| 4 m/s | 0,1 | 0,2 | 0,1 | 0,1 | 0,2 | 0,1 | 0,0 | 0,2 | 0,2 | 0,2 | 0,4 | 0,4 |
| 5 m/s | 0,2 | 0,1 | 0,0 | 0,1 | 0,2 | 0,2 | 0,0 | 0,3 | 0,1 | 0,2 | 0,4 | 0,4 |
| 6 m/s | 0,2 | 0,1 | 0,0 | 0,1 | 0,2 | 0,1 | 0,1 | 0,3 | 0,1 | 0,2 | 0,4 | 0,4 |
| 7 m/s | 0,2 | 0,1 | 0,1 | 0,2 | 0,2 | 0,0 | 0,0 | 0,2 | 0,3 | 0,2 | 0,3 | 0,5 |
| 8 m/s | 0,2 | 0,1 | 0,0 | 0,2 | 0,2 | 0,1 | 0,0 | 0,2 | 0,3 | 0,2 | 0,3 | 0,5 |
| 9 m/s | 0,3 | 0,2 | 0,0 | 0,2 | 0,2 | 0,0 | 0,1 | 0,2 | 0,3 | 0,2 | 0,3 | 0,5 |
| 10 m/s | 0,2 | 0,2 | 0,0 | 0,1 | 0,2 | 0,0 | 0,0 | 0,3 | 0,2 | 0,2 | 0,4 | 0,4 |

| Fréquences (en Hz) | 800 Hz | 1 kHz | 1,25 kHz | 1,6 kHz | 2 kHz | 2,5 kHz | 3,15 kHz | 4 Hz | 5 kHz | 6,3 kHz | 8 kHz |
|--------------------|--------|-------|----------|---------|-------|---------|----------|------|-------|---------|-------|
| 4 m/s | 0,5 | 0,5 | 0,6 | 0,9 | 0,9 | 1,1 | 1,3 | 1,7 | 1,8 | 2,0 | 2,5 |
| 5 m/s | 0,5 | 0,6 | 0,6 | 0,9 | 1,0 | 1,0 | 1,4 | 1,8 | 1,7 | 2,0 | 2,5 |
| 6 m/s | 0,5 | 0,6 | 0,6 | 0,9 | 1,0 | 1,0 | 1,4 | 1,8 | 1,7 | 2,0 | 2,4 |
| 7 m/s | 0,6 | 0,5 | 0,5 | 0,9 | 0,9 | 1,1 | 1,4 | 1,7 | 1,6 | 2,0 | 2,5 |
| 8 m/s | 0,6 | 0,5 | 0,6 | 0,9 | 0,9 | 1,1 | 1,3 | 1,7 | 1,7 | 2,0 | 2,4 |
| 9 m/s | 0,6 | 0,5 | 0,6 | 0,9 | 0,9 | 1,0 | 1,3 | 1,6 | 1,7 | 1,9 | 2,4 |
| 10 m/s | 0,5 | 0,6 | 0,6 | 0,8 | 0,9 | 1,0 | 1,2 | 1,7 | 1,7 | 1,8 | 2,3 |

Calculs des tonalités de l'éolienne VESTAS V150 – 4,2 MW - STE

| Fréquences (en Hz) | 50 | 63 | 80 | 100 | 125 | 160 | 200 | 250 | 315 | 400 | 500 | 630 |
|--------------------|-----|-----|-----|-----|-----|-----|-----|-----|-----|-----|-----|-----|
| 3 m/s | 0,5 | 1,5 | 0,9 | 1,5 | 0,9 | 1,6 | 1,4 | 1,3 | 0,2 | 0,1 | 1,9 | 0,4 |
| 4 m/s | 0,5 | 1,5 | 0,9 | 1,5 | 0,9 | 1,6 | 1,4 | 1,3 | 0,2 | 0,1 | 1,9 | 0,4 |
| 5 m/s | 1,5 | 0,2 | 0,5 | 0,1 | 1,3 | 0,7 | 1,0 | 0,9 | 0,5 | 0,3 | 1,4 | 0,1 |
| 6 m/s | 1,5 | 0,2 | 0,5 | 0,1 | 1,3 | 0,7 | 1,0 | 0,9 | 0,5 | 0,3 | 1,4 | 0,1 |
| 7 m/s | 1,5 | 0,2 | 0,5 | 0,1 | 1,3 | 0,7 | 1,0 | 0,9 | 0,5 | 0,3 | 1,4 | 0,1 |
| 8 m/s | 3,1 | 1,0 | 1,3 | 2,5 | 1,9 | 2,2 | 0,8 | 1,3 | 1,5 | 0,5 | 1,5 | 0,9 |
| 9 m/s | 3,1 | 1,0 | 1,3 | 2,5 | 1,9 | 2,2 | 0,8 | 1,3 | 1,5 | 0,5 | 1,5 | 0,9 |
| 10 m/s | 3,1 | 1,0 | 1,3 | 2,5 | 1,9 | 2,2 | 0,8 | 1,3 | 1,5 | 0,5 | 1,5 | 0,9 |

| Fréquences (en Hz) | 800 | 1000 | 1250 | 1600 | 2000 | 2500 | 3150 | 4000 | 5000 | 6300 | 8000 |
|--------------------|-----|------|------|------|------|------|------|------|------|------|------|
| 3 m/s | 1,0 | 0,4 | 0,3 | 0,2 | 0,2 | 1,4 | 1,7 | 1,0 | 1,7 | 3,2 | 1,3 |
| 4 m/s | 1,0 | 0,4 | 0,3 | 0,2 | 0,2 | 1,4 | 1,7 | 1,0 | 1,7 | 3,1 | 1,1 |
| 5 m/s | 0,8 | 0,5 | 0,2 | 0,3 | 0,2 | 1,0 | 2,9 | 4,6 | 2,7 | 0,0 | 0,1 |
| 6 m/s | 0,8 | 0,5 | 0,2 | 0,3 | 0,2 | 1,0 | 2,9 | 4,6 | 2,7 | 0,0 | 0,1 |
| 7 m/s | 0,8 | 0,5 | 0,2 | 0,3 | 0,2 | 1,0 | 2,9 | 4,6 | 2,7 | 0,0 | 0,1 |
| 8 m/s | 0,7 | 0,2 | 0,1 | 0,4 | 0,3 | 0,6 | 1,3 | 2,8 | 4,4 | 0,2 | 1,0 |
| 9 m/s | 0,7 | 0,2 | 0,1 | 0,4 | 0,3 | 0,6 | 1,3 | 2,8 | 4,4 | 0,2 | 1,0 |
| 10 m/s | 0,7 | 0,2 | 0,1 | 0,4 | 0,3 | 0,6 | 1,3 | 2,8 | 4,4 | 0,2 | 1,0 |

Calculs des tonalités de l'éolienne NORDEX N149 – 4,5 MW - STE

Le calcul de ces tonalités n'indique aucune tonalité marquée à l'émission pour les fréquences comprises entre 50 et 8000 Hz.

Les émissions sonores des modèles des éoliennes considérées ne font apparaître aucune tonalité marquée au droit des zones à émergences réglementées les plus exposées.

Les mesures de réception qui seront réalisées après la mise en service du parc permettront de valider le respect de cette partie de la réglementation.

5.5. EFFETS CUMULES

Les projets ou parcs les plus proches, connus au sens de l'article R122-5 du Code de l'Environnement et susceptible d'engendrer des impacts sonores cumulés, sont le parc éolien de Bouresse qui est actuellement en fonctionnement et le projet éolien de Vernon qui est en cours d'instruction. Ce parc et ce projet étant respectivement situés à environ 7,5 et 12 kilomètres de celui de Mazerolles, aucun impact cumulé n'est à prévoir.

Le projet éolien de Mazerolles n'est susceptible d'engendrer aucun impact cumulé avec un autre projet, de quelque nature qu'il soit.

Les effets cumulés sont nuls.

5.6. SCENARIO DE REFERENCE

Selon l'article R122-5 du code de l'environnement, l'étude d'impact doit comporter une description des aspects pertinents de l'état actuel de l'environnement, dénommée "scénario de référence", et de leur évolution en cas de mise en œuvre du projet ainsi qu'un aperçu de l'évolution probable de l'environnement en l'absence de mise en œuvre du projet, dans la mesure où les changements naturels par rapport au scénario de référence peuvent être évalués moyennant un effort raisonnable sur la base des informations environnementales et des connaissances scientifiques disponibles.

L'ambiance sonore au sein de la zone d'étude est représentative d'une zone rurale calme marquée par les activités anthropiques dont l'agriculture. Ces bruits vont a priori peu évoluer, avec ou sans la prise en considération du projet éolien de Mazerolles. En effet, seul le trafic routier risque d'augmenter légèrement, sans toutefois modifier significativement l'ambiance sonore générale.

En cas de mise en œuvre du projet, l'ambiance sonore du projet sera légèrement modifiée en certains points de la zone d'étude, mais l'ambiance sonore générale restera caractéristique d'une zone rurale avec quelques activités anthropiques.

En l'absence de mise en œuvre de ce projet, l'ambiance sonore restera quasiment inchangée.

6. CONCLUSION

Ce rapport fait état d'une étude acoustique détaillée menée dans le cadre du dossier de demande d'autorisation unique du projet éolien de Mazerolles. Il est réalisé à partir d'une campagne de mesures réalisée en juillet et août 2019. Ce rapport intègre les différents éléments de l'arrêté du 26 août 2011, modifié par l'arrêté ministériel du 22 juin 2020, relatif aux installations de production d'électricité utilisant l'énergie mécanique du vent au sein d'une installation soumise à autorisation au titre de la rubrique 2980 de la législation des installations classées pour la protection de l'environnement (Section 6 – Articles 26 à 31).

Ce projet prévoit l'implantation de quatre éoliennes sur la commune de Mazerolles. Dans l'ensemble du rapport, ce projet est considéré comme un nouveau projet indépendant des autres projets connus avec des exploitants différents. Ainsi, la présente étude prend en compte les quatre éoliennes et s'articule autour des trois principaux axes suivants :

- **Détermination du bruit résiduel** sur le site en fonction de la vitesse du vent (mesures),
- **Estimation de la contribution sonore du projet** au droit des habitations riveraines (calculs),
- **Analyse de l'émergence** au droit de ces habitations afin de valider le respect de la réglementation française en vigueur, ou le cas échéant, de proposer des solutions adaptées pour respecter les seuils réglementaires.

6.1. ETAT INITIAL

Une campagne de mesures *in situ* a été réalisée sur une période de 40 jours, du 2 juillet au 9 août 2019, afin de caractériser au mieux les différentes ambiances sonores présentes autour de la zone d'implantation potentielle (ZIP).

Cette campagne se compose de 11 points fixes, placés au droit des habitations les plus exposées au projet. L'ambiance sonore générale est représentative d'une zone rurale traversée et bordée par plusieurs routes départementales (D31 et D727).

Les niveaux sonores mesurés *in situ* sont variables d'une journée à l'autre, mais d'une manière générale les niveaux observés de jour comme de nuit sont caractéristiques d'un environnement rural relativement calme. Les mesures de bruit réalisées ont été analysées à partir de l'indicateur L_{50} en fonction de la vitesse du vent (vitesse standardisée à 10 m du sol).

Ces niveaux varient globalement entre 22 et 58 dB(A) selon les classes de vent (entre 3 et 10 m/s) et les périodes (jour et nuit) considérées.

6.2. ANALYSE PREVISIONNELLE ET EMERGENCES

Les émergences globales au droit des habitations sont calculées à partir de la contribution des éoliennes (pour des vitesses de vent allant de 3 à 10 m/s) et du bruit existant déterminé à partir des mesures *in situ* (selon les analyses L_{50} / vitesse du vent). Une configuration est calculée à partir de deux modèles d'éoliennes Vestas V150 – 4,2MW - 125 m de hauteur de nacelle et Nordex N149 – 4,5MW – 125 m de hauteur nacelle.

L'analyse prévisionnelle montre des risques de dépassement des seuils réglementaires en période de nuit au droit de certaines habitations riveraines au projet, pour des vitesses de vent standardisées de 4 à 7 m/s, selon la configuration considérée.

Par conséquent, une mesure de réduction d'impact acoustique est proposée avec la mise en place d'un plan de fonctionnement optimisé. Il s'agit de brider une partie des éoliennes en période de nuit, pour des vitesses de vent standardisées comprises entre 4 et 7 m/s, selon la configuration.

Il n'apparaît pas de tonalité marquée au droit des zones à émergence réglementée riveraines du projet pour les types d'éoliennes utilisés pour le projet éolien de Mazerolles.

Dans le périmètre de mesure du bruit défini à l'article 2 de l'arrêté du 26 août 2011, les niveaux de bruit sont bien inférieurs aux seuils réglementaires fixés pour les périodes de jour et de nuit qui sont respectivement de 70 et 60 dB(A).

Les projets et parcs connus les plus proches sont le parc éolien de Bouresse situé à 7,5 km et le projet éolien de Vernon, situé à environ 12 kilomètres de celui de Mazerolles. A cette distance, il n'y a pas d'effets cumulés entre les projets.

Avec ou sans la mise en œuvre du projet, l'ambiance sonore générale restera caractéristique d'un environnement rural où les principales sources de bruit sont les activités humaines, agricoles et les axes de transport plus ou moins fréquentés.

En conclusion, l'analyse acoustique prévisionnelle fait apparaître que les seuils réglementaires admissibles seront respectés, en considérant les modes de fonctionnement définis, pour l'ensemble des zones à émergence réglementée concernées par le projet éolien, quelles que soient les périodes de jour ou de nuit et les conditions (vitesse et direction) de vent.

ANNEXE

ANNEXE N°1 : ANALYSES « BRUIT-VENT »

ANNEXE N°2 : DONNEES DES EMISSIONS SONORES

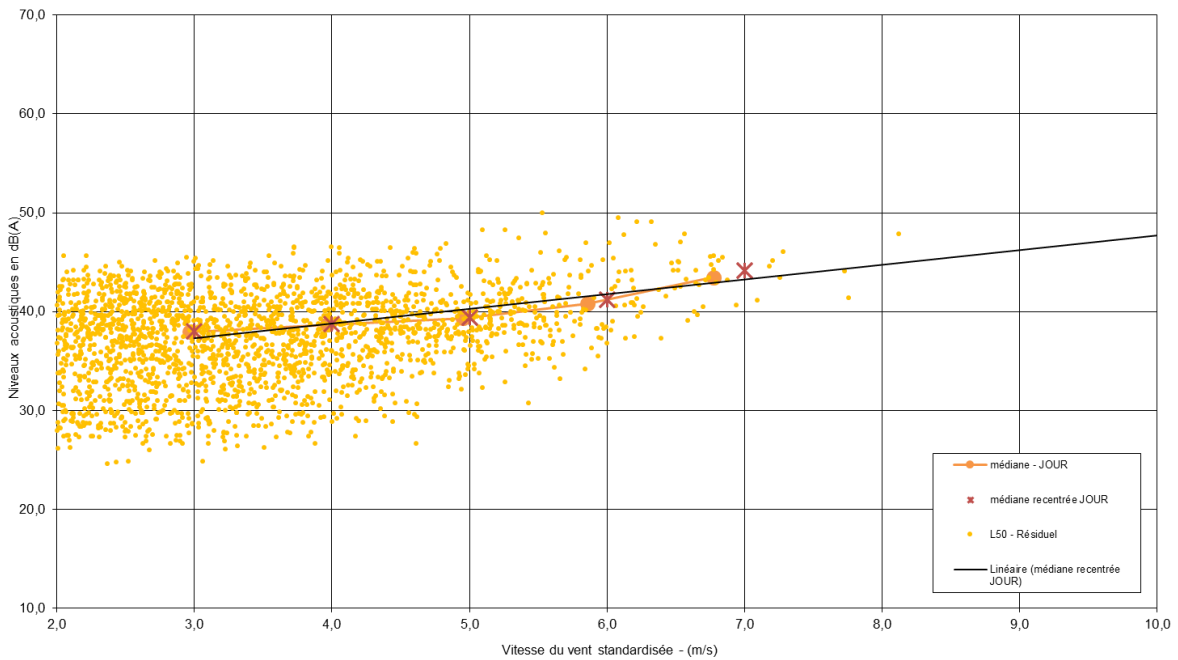
ANNEXE N°3 : LOGICIEL DE CALCULS

ANNEXE N°1 : ANALYSES « BRUIT-VENT »

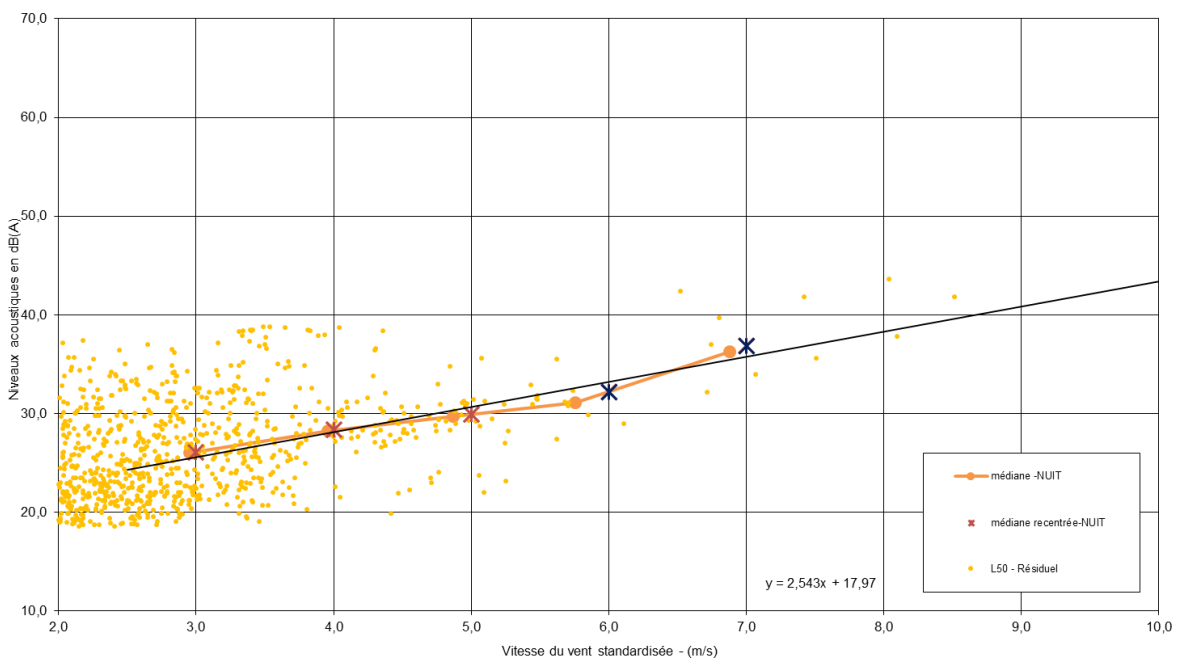
Les analyses « bruit-vent » sont présentées ci-après pour chacun des 11 points de mesures réalisés.

Les médianes recentrées calculées avec moins de 10 échantillons sont représentées par une croix bleue.

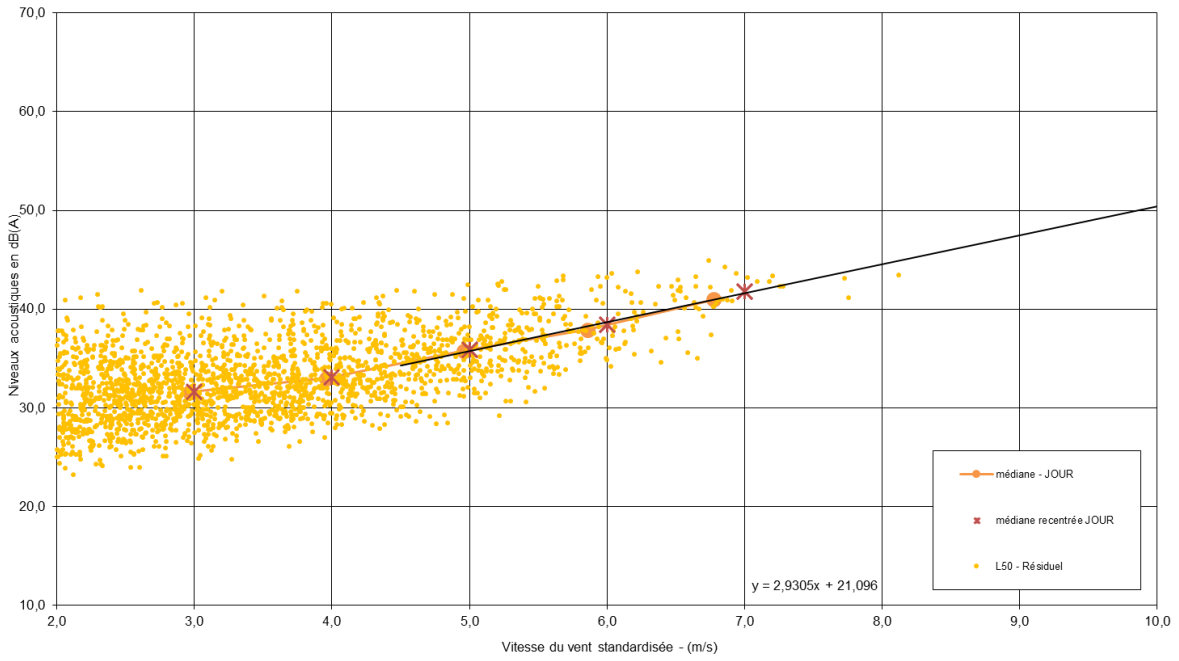
PF1 - La Contrie, 86320 Mazerolles - Période de Jour (7h-22h)



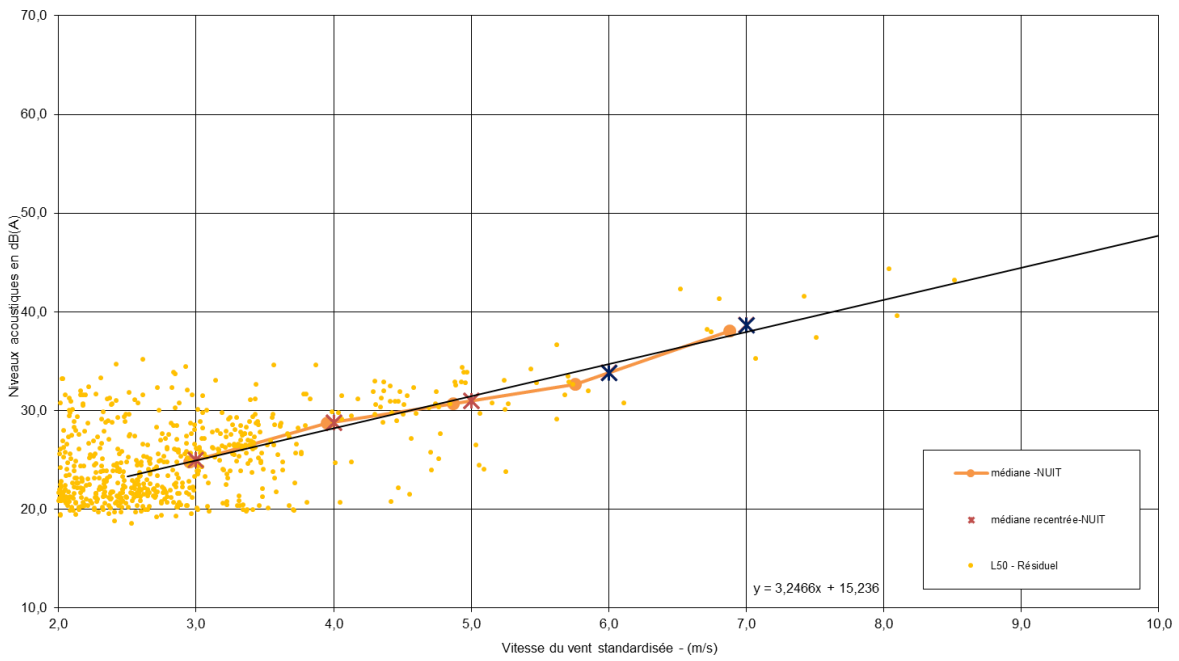
PF1 - La Contrie, 86320 Mazerolles - Période de Nuit (22h-7h)



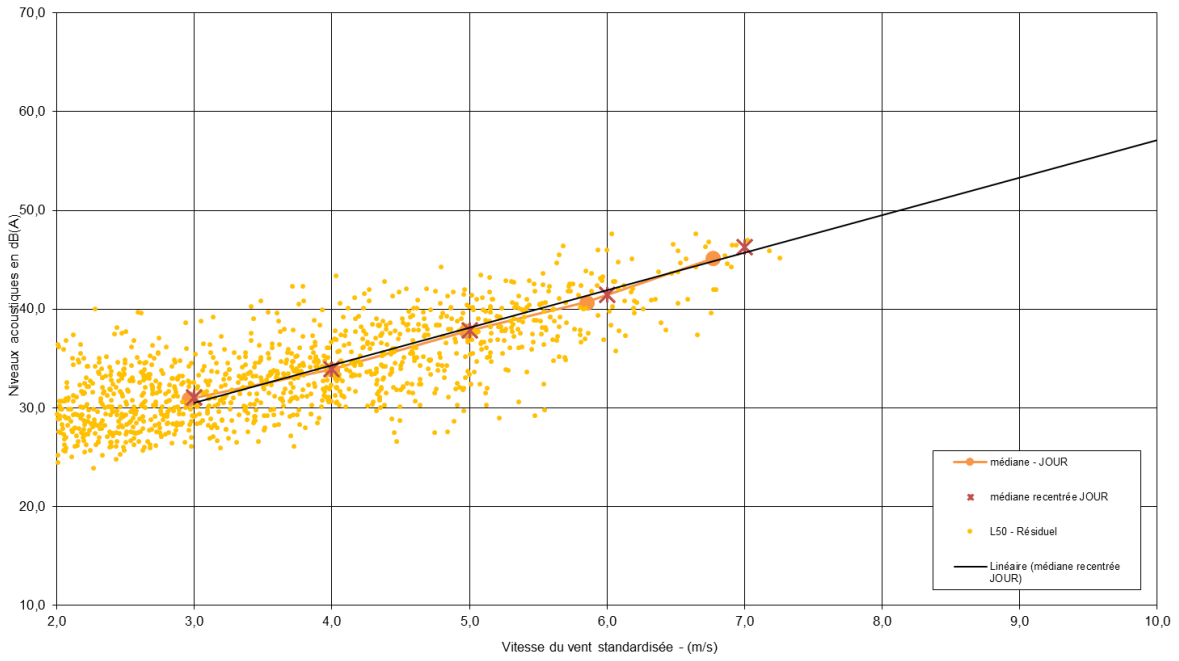
PF2 - La Gaudinière, 86320 Goux - Période de Jour (7h-22h)



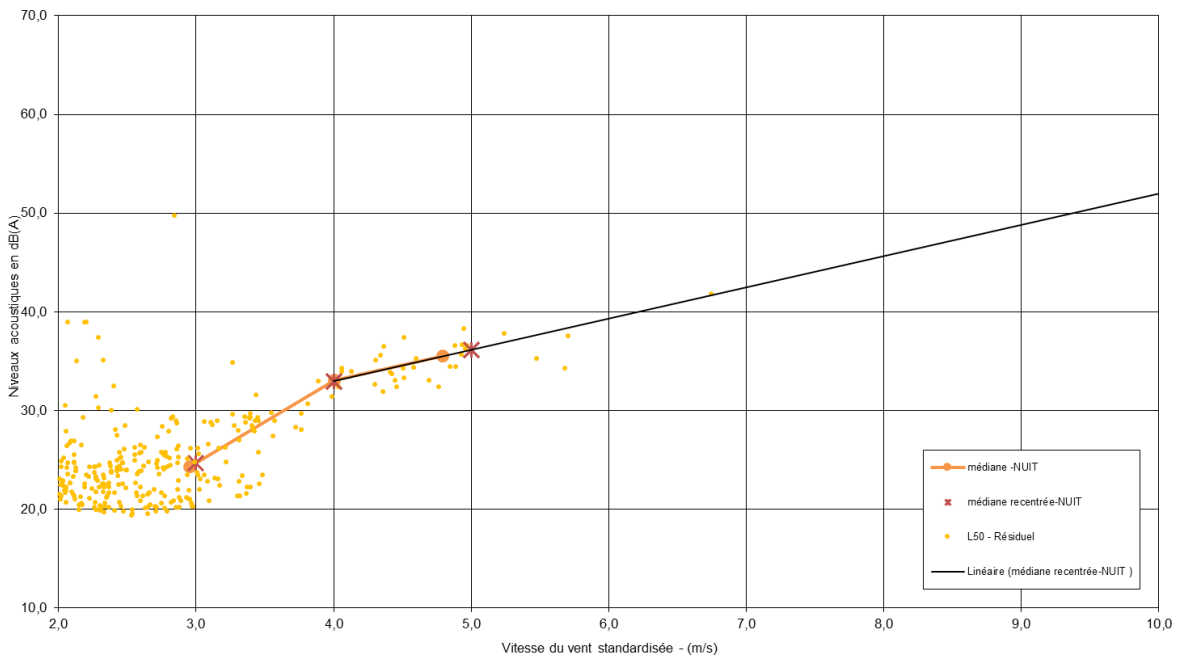
PF2 - La Gaudinière, 86320 Goux - Période de Nuit (22h-7h)



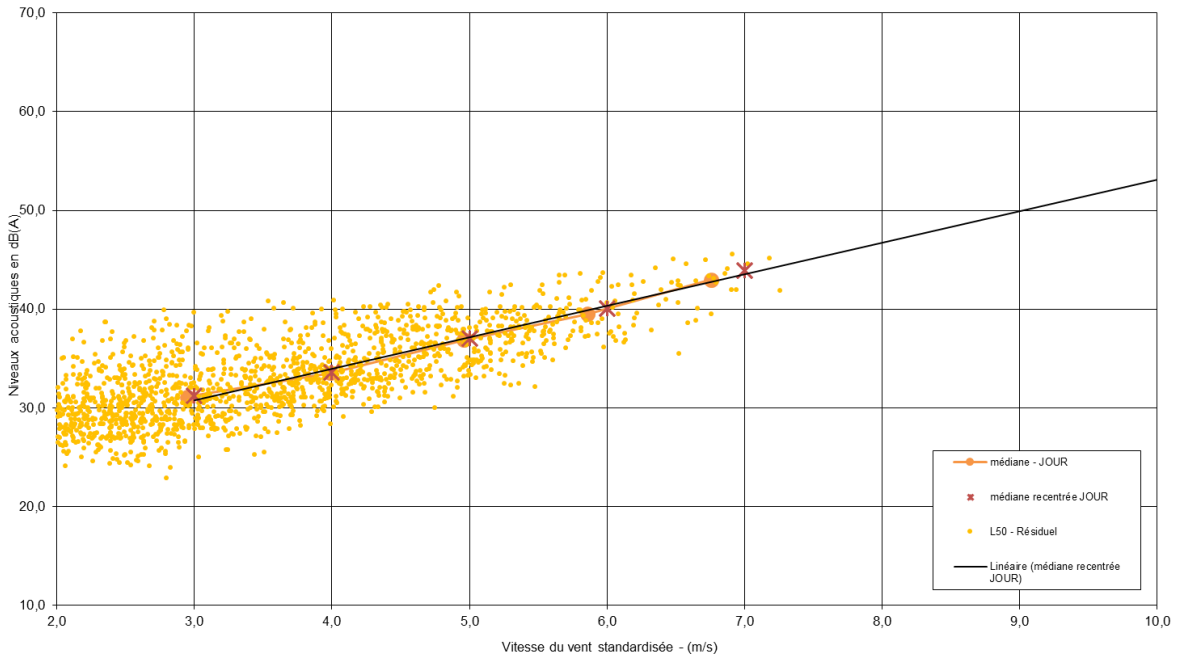
PF3 - La Bussière, 86320 Goux - Période de Jour (7h-22h)



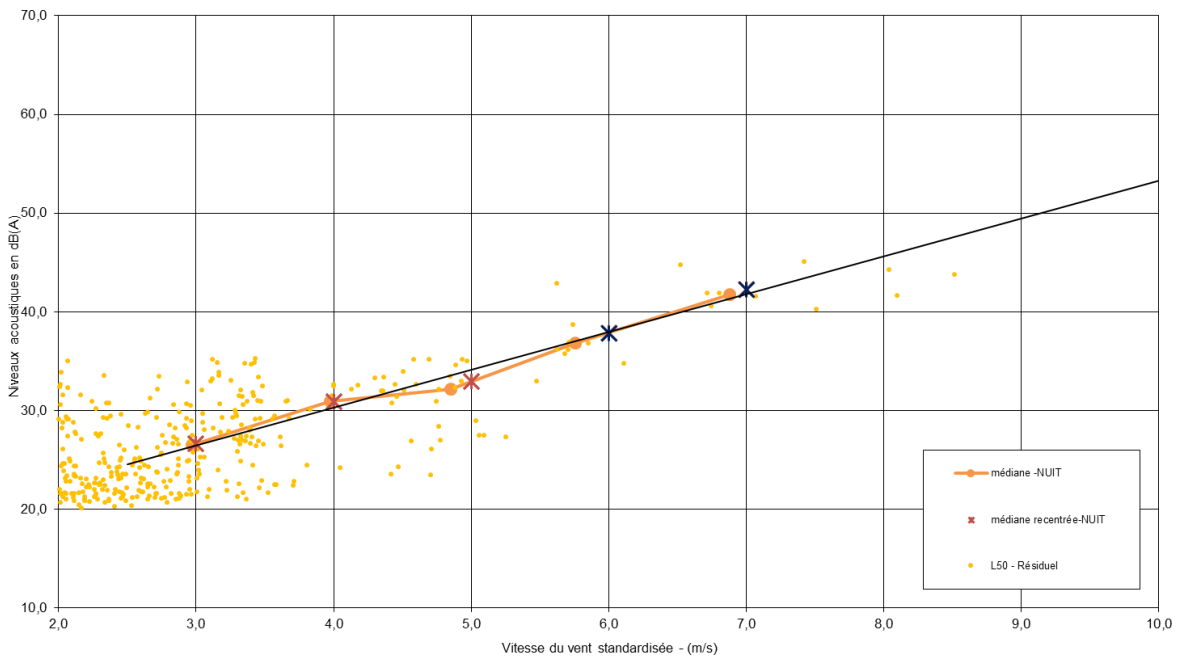
PF3 - La Bussière, 86320 Goux - Période de Nuit (22h-7h)



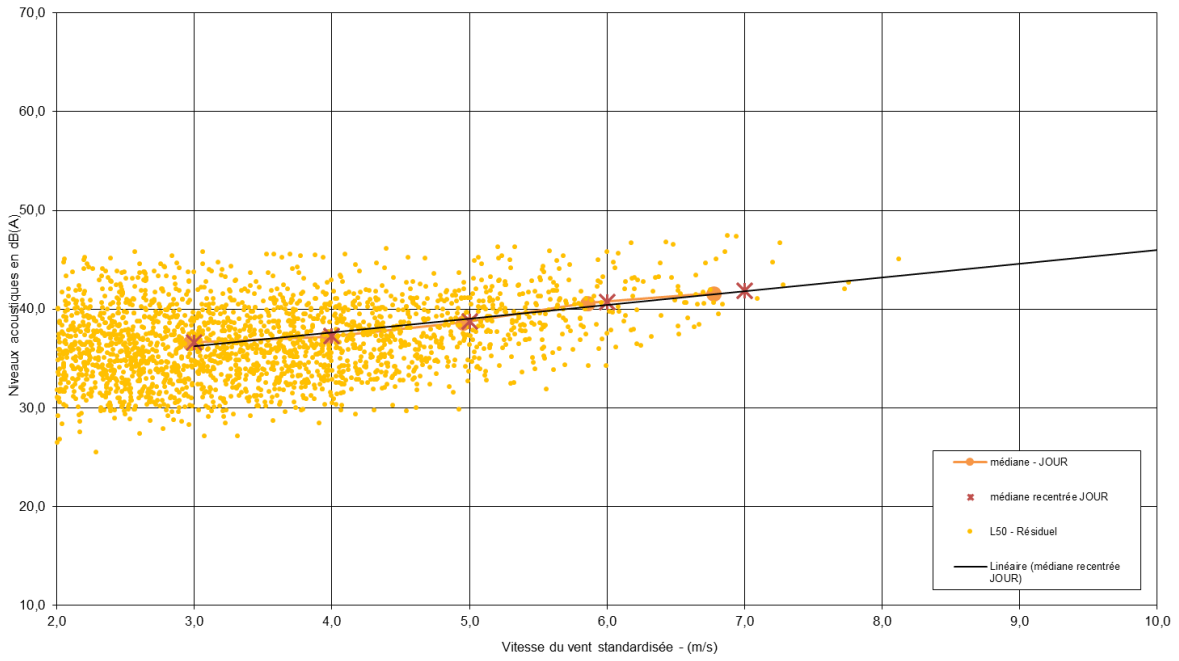
PF4 - Les Hybaudières - Période de Jour (7h-22h)



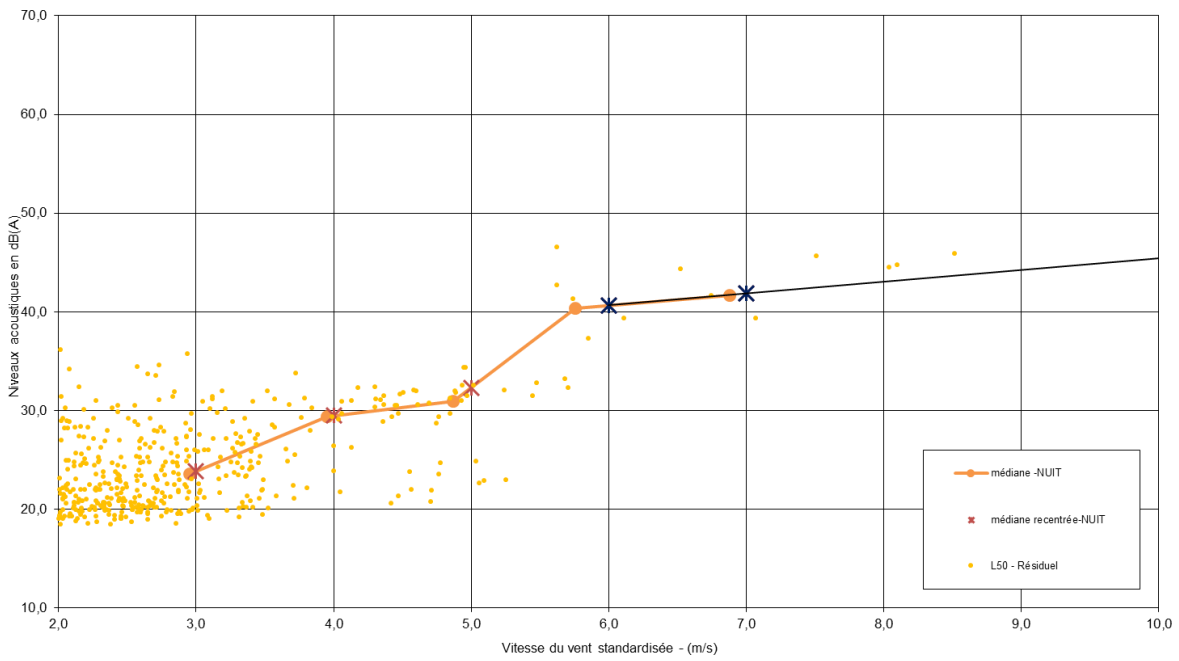
PF4 - Les Hybaudières, 86320 Goux - Période de Nuit (22h-7h)



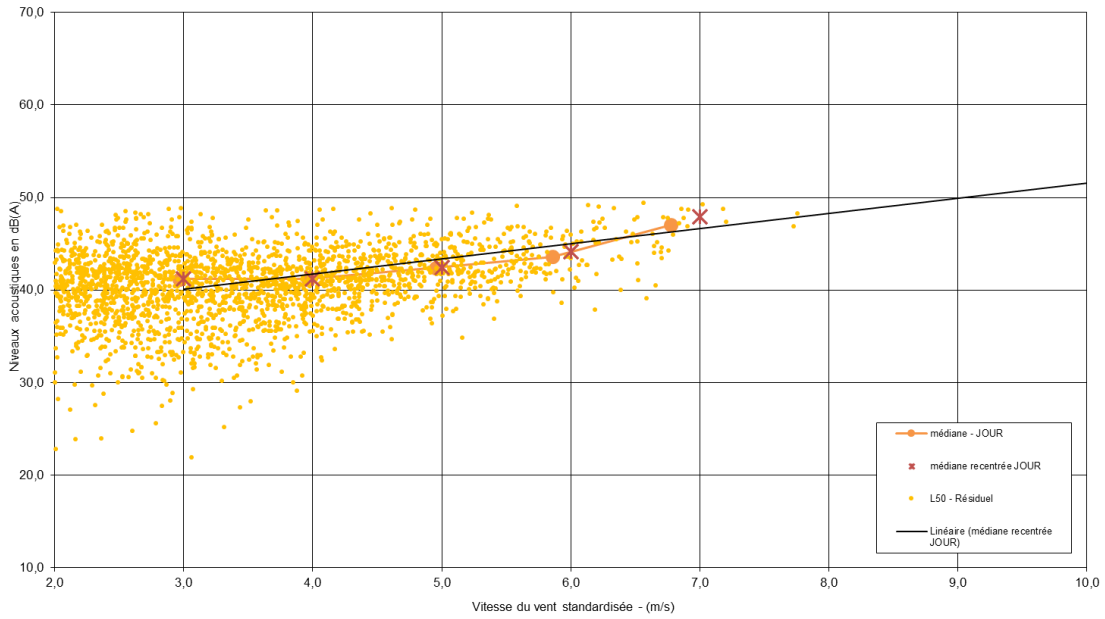
PF5 - Les Logettes, 86320 Mazerolles - Période de Jour (7h-22h)



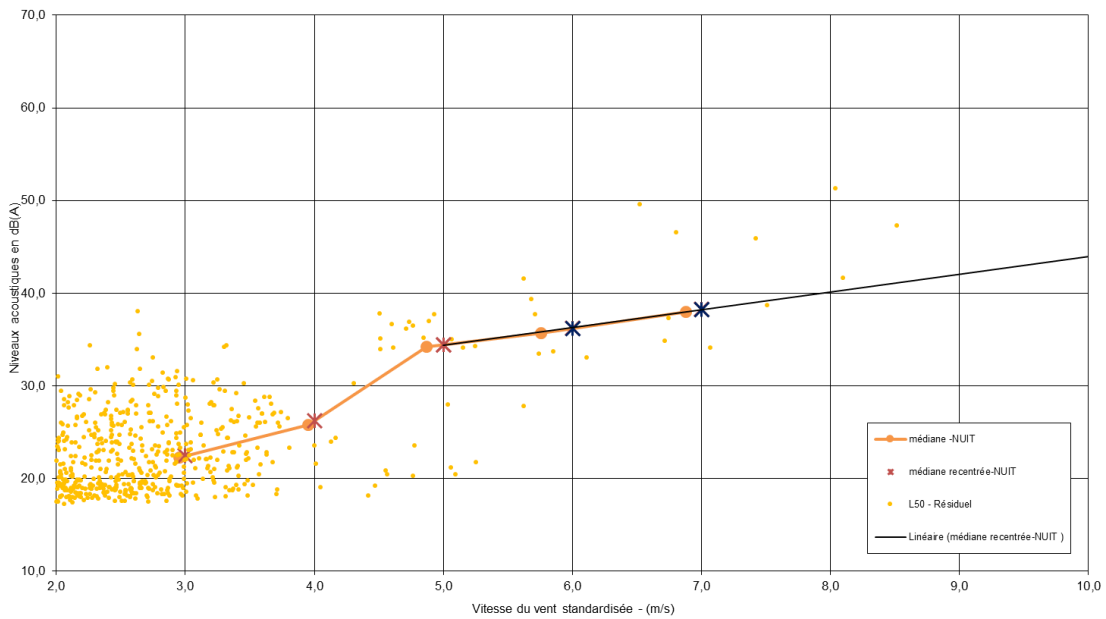
PF5 - Les Logettes, 86320 Mazerolles - Période de Nuit (22h-7h)



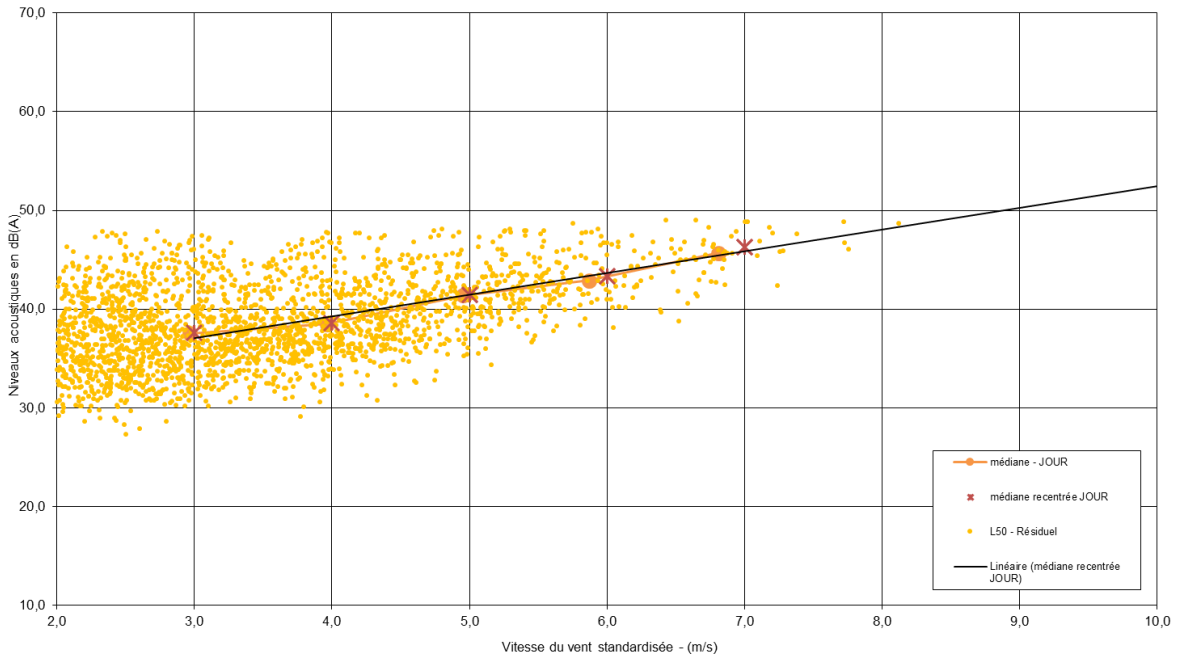
PF6 - La Carte, 86410 Bouresse - Période de Jour (7h-22h)



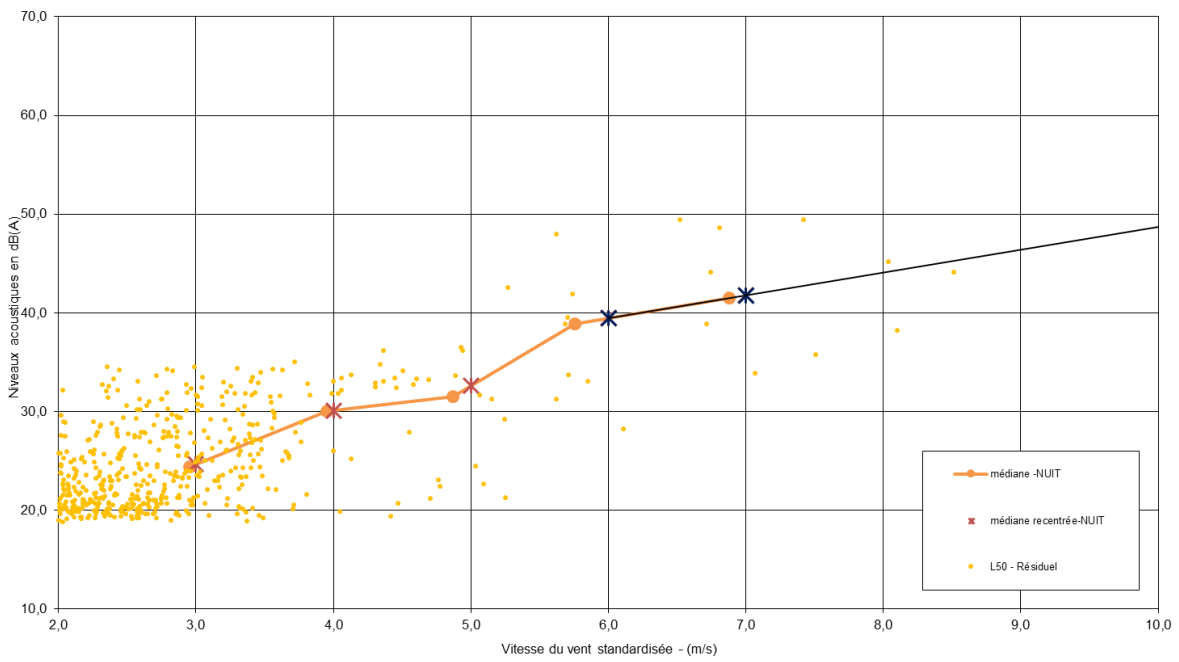
PF6 - La Carte, 86410 Bouresse - Période de Nuit (22h-7h)



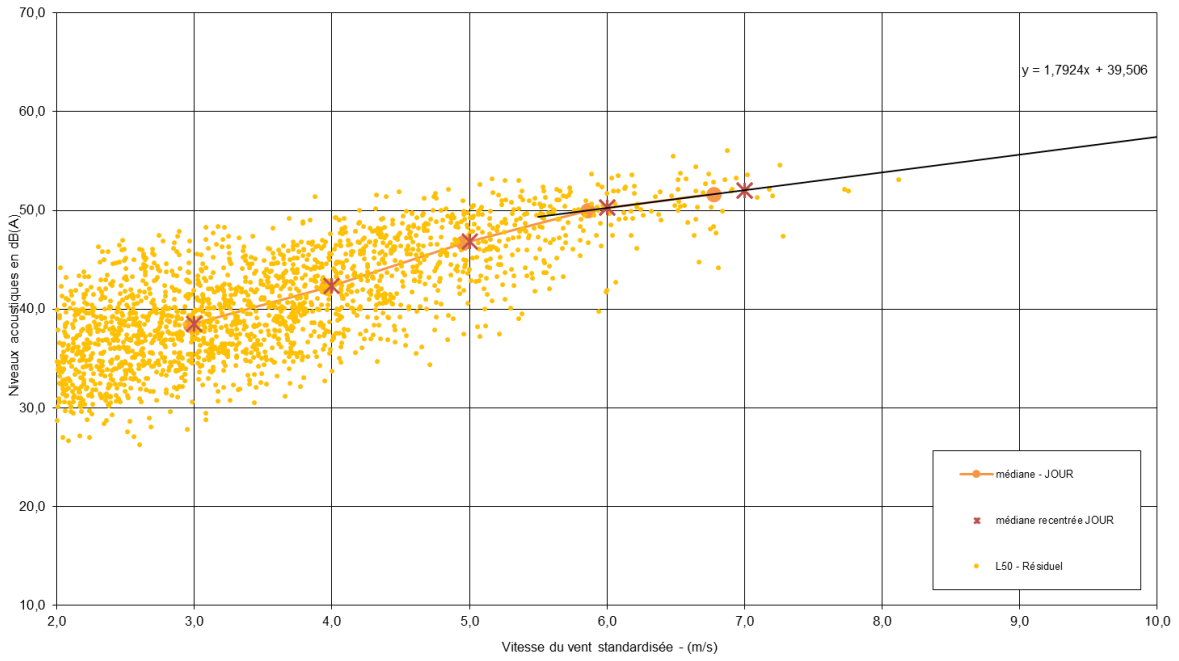
PF7 - Le Coudret 86410 Bouresse - Période de Jour (7h-22h)



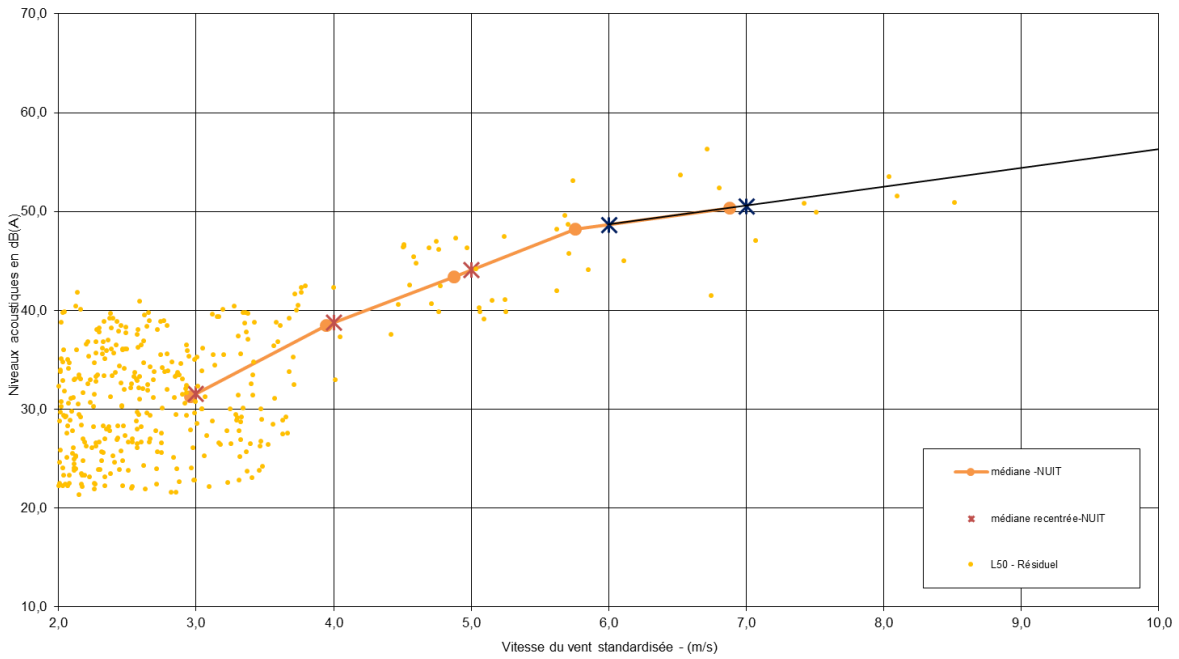
PF7 - Le Coudret, 86410 Bouresse - Période de Nuit (22h-7h)



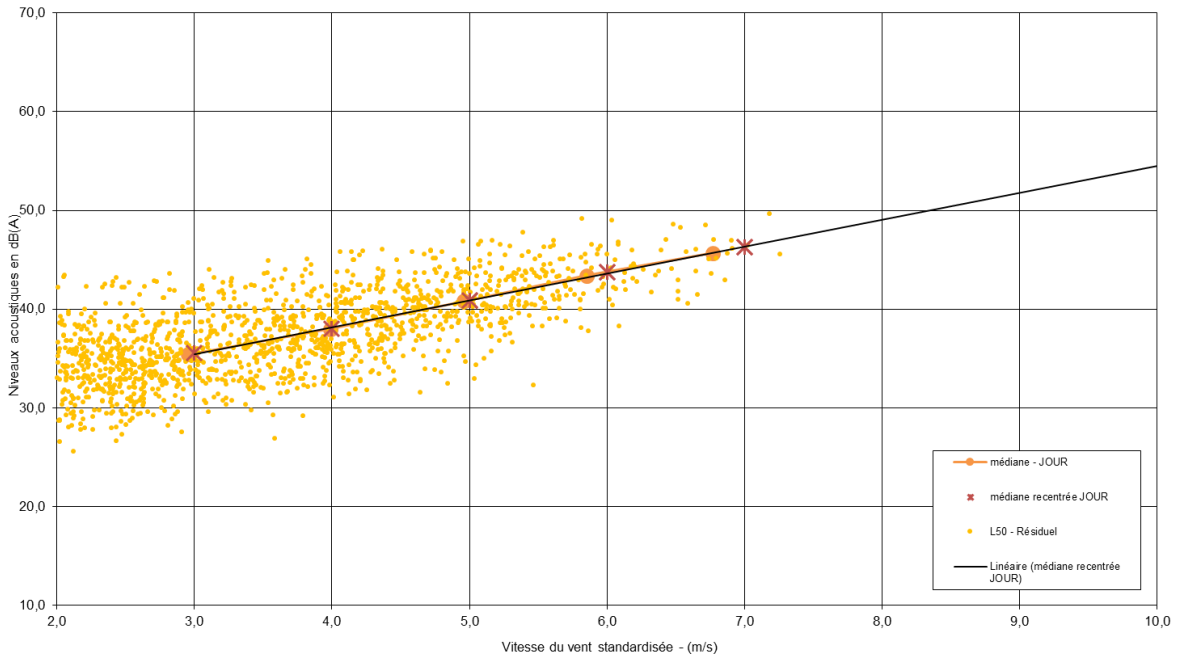
PF8 - Les Rémiers, 86410 Verrières - Période de Jour (7h-22h)



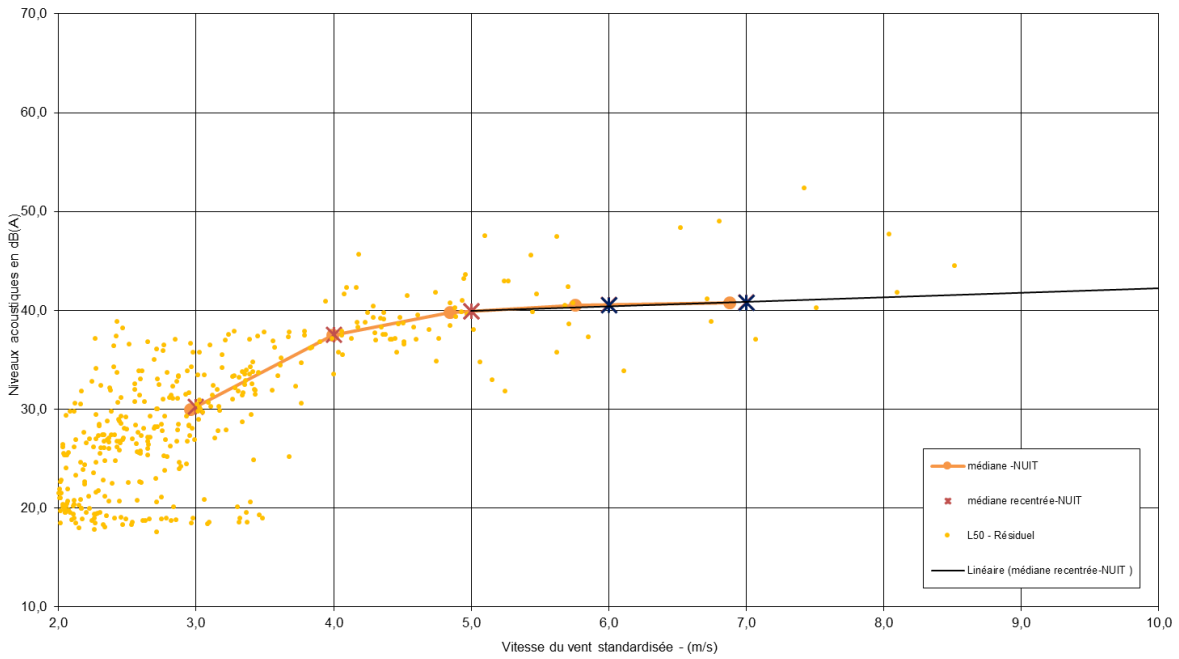
PF8 - Les Rémiers, 86410 Verrières - Période de Nuit (22h-7h)



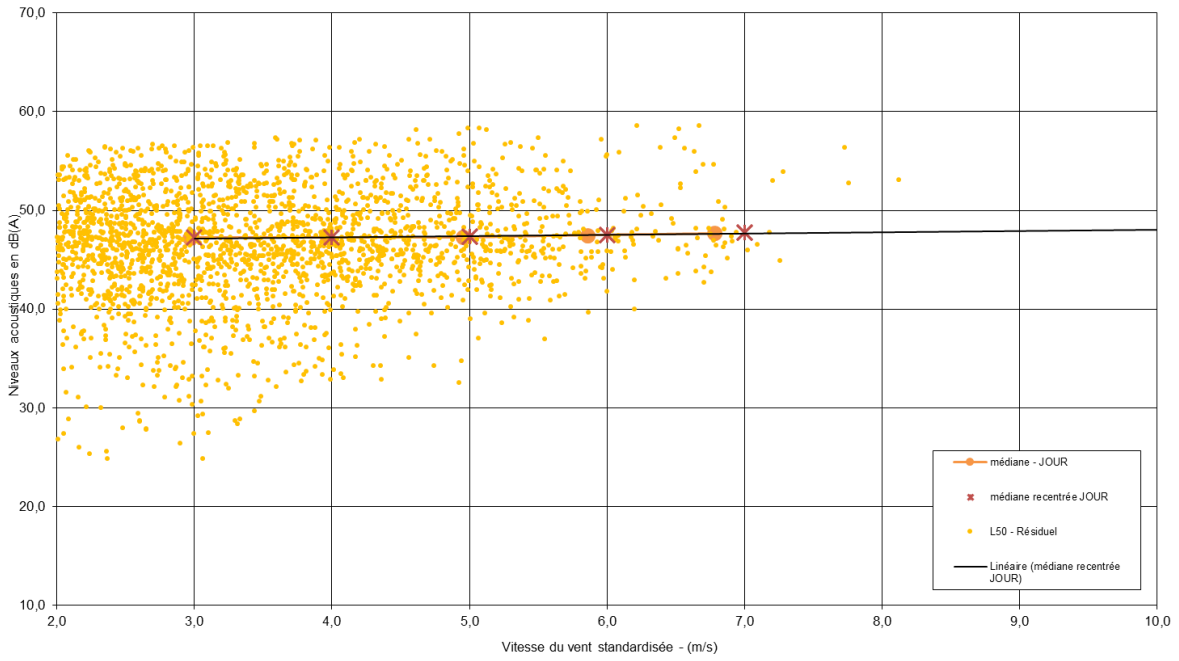
PF9 - 86320, Mazerolles - Période de Jour (7h-22h)



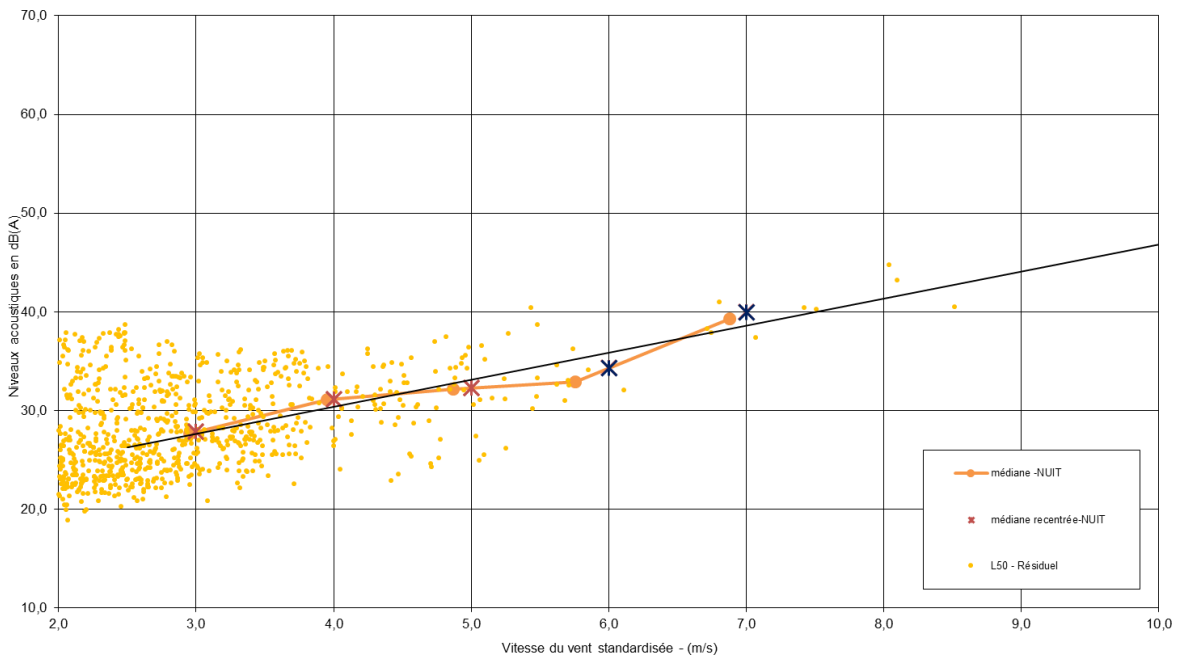
PF9 - Chanteloup, 86320 Mazerolles - Période de Nuit (22h-7h)



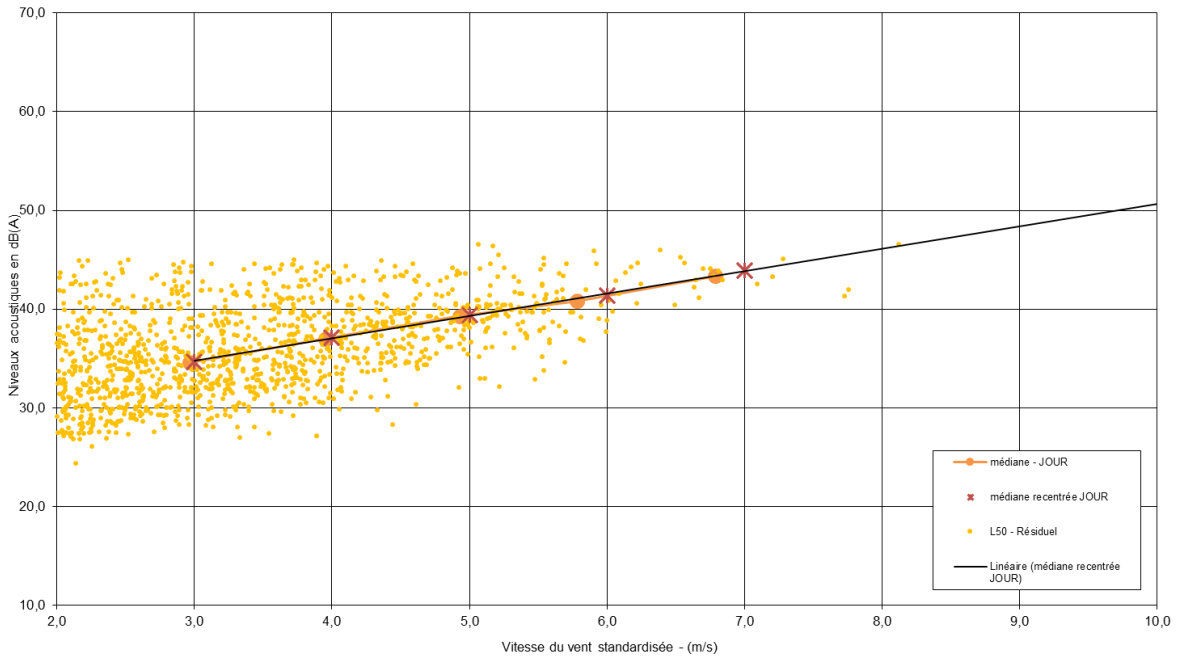
PF10 - Villeneuve, 86320 Mazerolles - Période de Jour (7h-22h)



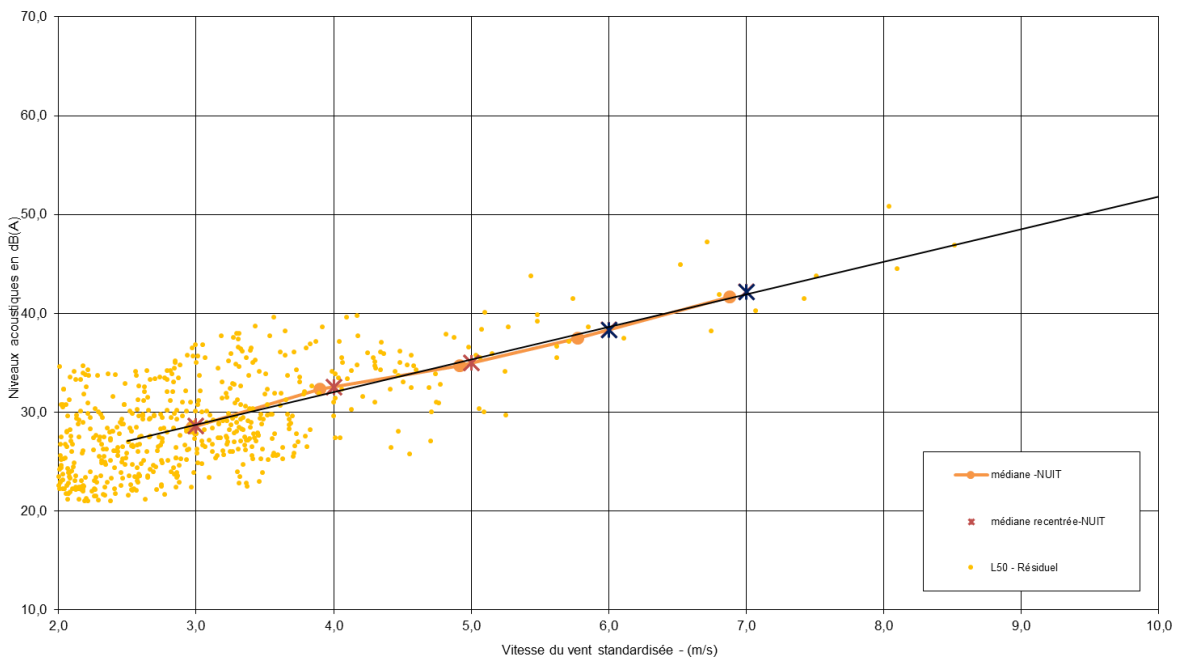
PF10 - Villeneuve, 86320 Mazerolles - Période de Nuit (22h-7h)



PF11 - Fontrapé, 86320 Mazerolles - Période de Jour (7h-22h)



PF11 - Fontrapé, 86320 Mazerolles - Période de Nuit (22h-7h)



ANNEXE N°2 : DONNEES DES EMISSIONS SONORE

Restricted
Document no.: 0067-7067 V09
2018-09-25

Performance Specification

V150-4.0/4.2 MW 50/60 Hz



Vestas Wind Systems A/S · Hedeager 42 · 8200 Aarhus N · Denmark · www.vestas.com

Vestas

VESTAS PROPRIETARY NOTICE: This document contains valuable confidential information of Vestas Wind Systems A/S. It is protected by copyright law as an unpublished work. Vestas reserves all patent, copyright, trade secret, and other proprietary rights to it. The information in this document may not be used, reproduced, or disclosed except as and to the extent rights are expressly granted by Vestas in writing and subject to applicable conditions. Vestas disclaims all warranties except as expressly granted by written agreement and is not responsible for unauthorized use, for which it may pursue legal remedies against responsible parties.

6.3 Sound Curves, Mode 0/0-0S

| Sound Power Level at Hub Height | | |
|-----------------------------------|------------------------------------------------------------------------------------------------------------------------------------------------------------|--------------------------------------------------------------------------------------------|
| Conditions for Sound Power Level: | Measurement standard IEC 61400-11 ed. 3 Maximum turbulence at hub height: 30% Inflow angle (vertical): 0 ±2° Air density: 1.225 kg/m ³ | |
| Wind speed at hub height [m/s] | Sound Power Level at Hub Height [dBA] Mode 0 (Blades with serrated trailing edge) | Sound Power Level at Hub Height [dBA] Mode 0-0S (Blades without serrated trailing edge) |
| 3 | 91.1 | 93.4 |
| 4 | 91.3 | 94.0 |
| 5 | 93.2 | 97.1 |
| 6 | 96.4 | 100.5 |
| 7 | 99.9 | 103.8 |
| 8 | 103.3 | 106.6 |
| 9 | 104.9 | 108.0 |
| 10 | 104.9 | 108.0 |
| 11 | 104.9 | 108.0 |
| 12 | 104.9 | 108.0 |
| 13 | 104.9 | 108.0 |
| 14 | 104.9 | 108.0 |
| 15 | 104.9 | 108.0 |
| 16 | 104.9 | 108.0 |
| 17 | 104.9 | 108.0 |
| 18 | 104.9 | 108.0 |
| 19 | 104.9 | 108.0 |
| 20 | 104.9 | 108.0 |

Table 6-3: Sound curves, Mode 0/0-0S

10.3 Sound Curves, Sound Optimized Mode SO1

| Sound Power Level at Hub Height | |
|-----------------------------------|------------------------------------------------------------------------------------------------------------------------------------------------------------|
| Conditions for Sound Power Level: | Measurement standard IEC 61400-11 ed. 3 Maximum turbulence at hub height: 30% Inflow angle (vertical): 0 ±2° Air density: 1.225 kg/m ³ |
| Wind speed at hub height [m/s] | Sound Power Level at Hub Height [dBA] Sound Optimized Mode SO1 (Blades with serrated trailing edge) |
| 3 | 91.1 |
| 4 | 91.3 |
| 5 | 93.2 |
| 6 | 96.4 |
| 7 | 99.9 |
| 8 | 102.7 |
| 9 | 103.3 |
| 10 | 103.3 |
| 11 | 103.3 |
| 12 | 103.3 |
| 13 | 103.4 |
| 14 | 103.4 |
| 15 | 103.4 |
| 16 | 103.4 |
| 17 | 103.4 |
| 18 | 103.4 |
| 19 | 103.4 |
| 20 | 103.4 |

Table 10-3: Sound curves, Sound Optimized Mode SO1

11.3 Sound Curves, Sound Optimized Mode SO2

| Sound Power Level at Hub Height | |
|-----------------------------------|------------------------------------------------------------------------------------------------------------------------------------------------------------|
| Conditions for Sound Power Level: | Measurement standard IEC 61400-11 ed. 3 Maximum turbulence at hub height: 30% Inflow angle (vertical): 0 ±2° Air density: 1.225 kg/m ³ |
| Wind speed at hub height [m/s] | Sound Power Level at Hub Height [dBA] Sound Optimized Mode SO2 (Blades with serrated trailing edge) |
| 3 | 91.1 |
| 4 | 91.3 |
| 5 | 93.2 |
| 6 | 96.4 |
| 7 | 99.9 |
| 8 | 102.0 |
| 9 | 102.0 |
| 10 | 102.0 |
| 11 | 102.0 |
| 12 | 102.0 |
| 13 | 102.0 |
| 14 | 102.0 |
| 15 | 102.0 |
| 16 | 102.0 |
| 17 | 102.0 |
| 18 | 102.0 |
| 19 | 102.0 |
| 20 | 102.0 |

Table 11-3: Sound curves, Sound Optimized Mode SO2

12.3 Sound Curves, Sound Optimized Mode SO3

| Sound Power Level at Hub Height | |
|-----------------------------------|------------------------------------------------------------------------------------------------------------------------------------------------------------|
| Conditions for Sound Power Level: | Measurement standard IEC 61400-11 ed. 3 Maximum turbulence at hub height: 30% Inflow angle (vertical): 0 ±2° Air density: 1.225 kg/m ³ |
| Wind speed at hub height [m/s] | Sound Power Level at Hub Height [dBA] Sound Optimized Mode SO3 (Blades with serrated trailing edge) |
| 3 | 91.1 |
| 4 | 91.3 |
| 5 | 93.2 |
| 6 | 96.3 |
| 7 | 99.5 |
| 8 | 99.5 |
| 9 | 99.5 |
| 10 | 99.5 |
| 11 | 99.5 |
| 12 | 99.5 |
| 13 | 99.5 |
| 14 | 99.5 |
| 15 | 99.5 |
| 16 | 99.5 |
| 17 | 99.5 |
| 18 | 99.5 |
| 19 | 99.5 |
| 20 | 99.5 |

Table 12-3: Sound curves, Sound Optimized Mode SO3

13.3 Sound Curves, Sound Optimized Mode SO11

| Sound Power Level at Hub Height | |
|-----------------------------------|------------------------------------------------------------------------------------------------------------------------------------------------------------|
| Conditions for Sound Power Level: | Measurement standard IEC 61400-11 ed. 3 Maximum turbulence at hub height: 30% Inflow angle (vertical): 0 ±2° Air density: 1.225 kg/m ³ |
| Wind speed at hub height [m/s] | Sound Power Level at Hub Height [dBA] Sound Optimized Mode SO11 (Blades with serrated trailing edge) |
| 3 | 91.1 |
| 4 | 91.3 |
| 5 | 93.0 |
| 6 | 94.4 |
| 7 | 95.6 |
| 8 | 96.8 |
| 9 | 98.0 |
| 10 | 98.8 |
| 11 | 99.0 |
| 12 | 99.2 |
| 13 | 99.2 |
| 14 | 99.2 |
| 15 | 99.2 |
| 16 | 99.2 |
| 17 | 99.2 |
| 18 | 99.2 |
| 19 | 99.2 |
| 20 | 99.2 |

Table 13-3: Sound curves, Sound Optimized Mode SO11

14.3 Sound Curves, Sound Optimized Mode SO12

| Sound Power Level at Hub Height | |
|-----------------------------------|------------------------------------------------------------------------------------------------------------------------------------------------------------|
| Conditions for Sound Power Level: | Measurement standard IEC 61400-11 ed. 3 Maximum turbulence at hub height: 30% Inflow angle (vertical): 0 ±2° Air density: 1.225 kg/m ³ |
| Wind speed at hub height [m/s] | Sound Power Level at Hub Height [dBA] Sound Optimized Mode SO12 (Blades with serrated trailing edge) |
| 3 | 91.1 |
| 4 | 91.3 |
| 5 | 93.0 |
| 6 | 94.9 |
| 7 | 96.9 |
| 8 | 98.9 |
| 9 | 99.6 |
| 10 | 99.9 |
| 11 | 99.9 |
| 12 | 99.9 |
| 13 | 99.9 |
| 14 | 99.9 |
| 15 | 99.9 |
| 16 | 99.9 |
| 17 | 99.9 |
| 18 | 99.9 |
| 19 | 99.9 |
| 20 | 99.9 |

Table 14-3: Sound curves, Sound Optimized Mode SO12

15.3 Sound Curves, Sound Optimized Mode SO13

| Sound Power Level at Hub Height | |
|-----------------------------------|------------------------------------------------------------------------------------------------------------------------------------------------------------|
| Conditions for Sound Power Level: | Measurement standard IEC 61400-11 ed. 3 Maximum turbulence at hub height: 30% Inflow angle (vertical): 0 ±2° Air density: 1.225 kg/m ³ |
| Wind speed at hub height [m/s] | Sound Power Level at Hub Height [dBA] Sound Optimized Mode SO13 (Blades with serrated trailing edge) |
| 3 | 91.1 |
| 4 | 91.3 |
| 5 | 91.9 |
| 6 | 92.1 |
| 7 | 93.1 |
| 8 | 94.2 |
| 9 | 95.8 |
| 10 | 96.5 |
| 11 | 96.9 |
| 12 | 97.0 |
| 13 | 97.0 |
| 14 | 97.0 |
| 15 | 97.0 |
| 16 | 97.0 |
| 17 | 97.0 |
| 18 | 97.0 |
| 19 | 97.0 |
| 20 | 97.0 |

Table 15-3: Sound curves, Sound Optimized Mode SO13



Noise level, Power curves, Thrust curves

Nordex N149/4.0 - 4.5
STE

Operational modes

© Nordex Energy GmbH, Langenhorner Chaussee 600, D-22419 Hamburg, Germany
All rights reserved. Observe protection notice ISO 16016.

Mode 0

| Standardized wind speed $V_{S(10m)}$ [m/s] | Apparent sound power level | | | | | |
|-----------------------------------------------------|----------------------------|-------------------------|----------------------------|-------------------------|----------------------------|-------------------------|
| | hub height 105 m | | hub height 125 m | | hub height 164 m | |
| | L _{WA} [dB(A)] | V _H [m/s] | L _{WA} [dB(A)] | V _H [m/s] | L _{WA} [dB(A)] | V _H [m/s] |
| 3.0 | 94.0 | 4.3 | 94.0 | 4.4 | 94.0 | 4.6 |
| 4.0 | 95.0 | 5.8 | 95.4 | 5.9 | 96.1 | 6.1 |
| 5.0 | 100.3 | 7.2 | 100.8 | 7.4 | 101.5 | 7.6 |
| 6.0 | 104.3 | 8.7 | 104.8 | 8.9 | 105.5 | 9.2 |
| 7.0 | 106.1 | 10.1 | 106.1 | 10.3 | 106.1 | 10.7 |
| 8.0 | 106.1 | 11.6 | 106.1 | 11.8 | 106.1 | 12.2 |
| 9.0 | 106.1 | 13.0 | 106.1 | 13.3 | 106.1 | 13.8 |
| 10.0 | 106.1 | 14.4 | 106.1 | 14.8 | 106.1 | 15.3 |
| 11.0 | 106.1 | 15.9 | 106.1 | 16.2 | 106.1 | 16.8 |
| 12.0 | 106.1 | 17.3 | 106.1 | 17.7 | 106.1 | 18.3 |

Mode 1

| Standardized wind speed $V_{S(10m)}$ [m/s] | Apparent sound power level | | | | | |
|-----------------------------------------------------|----------------------------|-------------------------|----------------------------|-------------------------|----------------------------|-------------------------|
| | hub height 105 m | | hub height 125 m | | hub height 164 m | |
| | L _{WA} [dB(A)] | V _H [m/s] | L _{WA} [dB(A)] | V _H [m/s] | L _{WA} [dB(A)] | V _H [m/s] |
| 3.0 | 94.0 | 4.3 | 94.0 | 4.4 | 94.0 | 4.6 |
| 4.0 | 95.0 | 5.8 | 95.4 | 5.9 | 96.1 | 6.1 |
| 5.0 | 100.3 | 7.2 | 100.8 | 7.4 | 101.5 | 7.6 |
| 6.0 | 104.3 | 8.7 | 104.8 | 8.9 | 105.3 | 9.2 |
| 7.0 | 105.5 | 10.1 | 105.5 | 10.3 | 105.5 | 10.7 |
| 8.0 | 105.5 | 11.6 | 105.5 | 11.8 | 105.5 | 12.2 |
| 9.0 | 105.5 | 13.0 | 105.5 | 13.3 | 105.5 | 13.8 |
| 10.0 | 105.5 | 14.4 | 105.5 | 14.8 | 105.5 | 15.3 |
| 11.0 | 105.5 | 15.9 | 105.5 | 16.2 | 105.5 | 16.8 |
| 12.0 | 105.5 | 17.3 | 105.5 | 17.7 | 105.5 | 18.3 |

Mode 2

| Standardized wind speed $V_{S(10m)}$ [m/s] | Apparent sound power level | | | | | |
|-----------------------------------------------------|----------------------------|-------------------------|----------------------------|-------------------------|----------------------------|-------------------------|
| | hub height 105 m | | hub height 125 m | | hub height 164 m | |
| | L _{WA} [dB(A)] | V _H [m/s] | L _{WA} [dB(A)] | V _H [m/s] | L _{WA} [dB(A)] | V _H [m/s] |
| 3.0 | 94.0 | 4.3 | 94.0 | 4.4 | 94.0 | 4.6 |
| 4.0 | 95.0 | 5.8 | 95.4 | 5.9 | 96.1 | 6.1 |
| 5.0 | 100.3 | 7.2 | 100.8 | 7.4 | 101.5 | 7.6 |
| 6.0 | 104.3 | 8.7 | 104.7 | 8.9 | 105.0 | 9.2 |
| 7.0 | 105.0 | 10.1 | 105.0 | 10.3 | 105.0 | 10.7 |
| 8.0 | 105.0 | 11.6 | 105.0 | 11.8 | 105.0 | 12.2 |
| 9.0 | 105.0 | 13.0 | 105.0 | 13.3 | 105.0 | 13.8 |
| 10.0 | 105.0 | 14.4 | 105.0 | 14.8 | 105.0 | 15.3 |
| 11.0 | 105.0 | 15.9 | 105.0 | 16.2 | 105.0 | 16.8 |
| 12.0 | 105.0 | 17.3 | 105.0 | 17.7 | 105.0 | 18.3 |

Mode 3

| Standardized wind speed $V_{S(10m)}$ [m/s] | Apparent sound power level | | | | | |
|-----------------------------------------------------|----------------------------|-------------------------|----------------------------|-------------------------|----------------------------|-------------------------|
| | hub height 105 m | | hub height 125 m | | hub height 164 m | |
| | L _{WA} [dB(A)] | V _H [m/s] | L _{WA} [dB(A)] | V _H [m/s] | L _{WA} [dB(A)] | V _H [m/s] |
| 3.0 | 94.0 | 4.3 | 94.0 | 4.4 | 94.0 | 4.6 |
| 4.0 | 95.0 | 5.8 | 95.4 | 5.9 | 96.1 | 6.1 |
| 5.0 | 100.3 | 7.2 | 100.8 | 7.4 | 101.5 | 7.6 |
| 6.0 | 104.3 | 8.7 | 104.6 | 8.9 | 104.6 | 9.2 |
| 7.0 | 104.6 | 10.1 | 104.6 | 10.3 | 104.6 | 10.7 |
| 8.0 | 104.6 | 11.6 | 104.6 | 11.8 | 104.6 | 12.2 |
| 9.0 | 104.6 | 13.0 | 104.6 | 13.3 | 104.6 | 13.8 |
| 10.0 | 104.6 | 14.4 | 104.6 | 14.8 | 104.6 | 15.3 |
| 11.0 | 104.6 | 15.9 | 104.6 | 16.2 | 104.6 | 16.8 |
| 12.0 | 104.6 | 17.3 | 104.6 | 17.7 | 104.6 | 18.3 |

Mode 4

| Standardized wind speed VS(10m) [m/s] | Apparent sound power level | | | | | |
|------------------------------------------------|----------------------------|-------------|------------------|-------------|------------------|-------------|
| | hub height 105 m | | hub height 125 m | | hub height 164 m | |
| | LWA [dB(A)] | VH [m/s] | LWA [dB(A)] | VH [m/s] | LWA [dB(A)] | VH [m/s] |
| 3.0 | 94.0 | 4.3 | 94.0 | 4.4 | 94.0 | 4.6 |
| 4.0 | 95.0 | 5.8 | 95.4 | 5.9 | 96.1 | 6.1 |
| 5.0 | 100.3 | 7.2 | 100.8 | 7.4 | 101.5 | 7.6 |
| 6.0 | 103.9 | 8.7 | 104.0 | 8.9 | 104.1 | 9.2 |
| 7.0 | 104.1 | 10.1 | 104.1 | 10.3 | 104.1 | 10.7 |
| 8.0 | 104.1 | 11.6 | 104.1 | 11.8 | 104.1 | 12.2 |
| 9.0 | 104.1 | 13.0 | 104.1 | 13.3 | 104.1 | 13.8 |
| 10.0 | 104.1 | 14.4 | 104.1 | 14.8 | 104.1 | 15.3 |
| 11.0 | 104.1 | 15.9 | 104.1 | 16.2 | 104.1 | 16.8 |
| 12.0 | 104.1 | 17.3 | 104.1 | 17.7 | 104.1 | 18.3 |

Mode 5

| Standardized wind speed VS(10m) [m/s] | Apparent sound power level | | | | | |
|------------------------------------------------|----------------------------|-------------|------------------|-------------|------------------|-------------|
| | hub height 105 m | | hub height 125 m | | hub height 164 m | |
| | LWA [dB(A)] | VH [m/s] | LWA [dB(A)] | VH [m/s] | LWA [dB(A)] | VH [m/s] |
| 3.0 | 94.0 | 4.3 | 94.0 | 4.4 | 94.0 | 4.6 |
| 4.0 | 95.0 | 5.8 | 95.4 | 5.9 | 96.1 | 6.1 |
| 5.0 | 100.3 | 7.2 | 100.8 | 7.4 | 101.5 | 7.6 |
| 6.0 | 103.6 | 8.7 | 103.6 | 8.9 | 103.6 | 9.2 |
| 7.0 | 103.6 | 10.1 | 103.6 | 10.3 | 103.6 | 10.7 |
| 8.0 | 103.6 | 11.6 | 103.6 | 11.8 | 103.6 | 12.2 |
| 9.0 | 103.6 | 13.0 | 103.6 | 13.3 | 103.6 | 13.8 |
| 10.0 | 103.6 | 14.4 | 103.6 | 14.8 | 103.6 | 15.3 |
| 11.0 | 103.6 | 15.9 | 103.6 | 16.2 | 103.6 | 16.8 |
| 12.0 | 103.6 | 17.3 | 103.6 | 17.7 | 103.6 | 18.3 |

Mode 9

| Standardized wind speed VS(10m) [m/s] | Apparent sound power level | | | | | |
|------------------------------------------------|----------------------------|-------------|------------------|-------------|------------------|-------------|
| | hub height 105 m | | hub height 125 m | | hub height 164 m | |
| | LWA [dB(A)] | VH [m/s] | LWA [dB(A)] | VH [m/s] | LWA [dB(A)] | VH [m/s] |
| 3.0 | 94.0 | 4.3 | 94.0 | 4.4 | 94.0 | 4.6 |
| 4.0 | 95.0 | 5.8 | 95.4 | 5.9 | 96.1 | 6.1 |
| 5.0 | 100.1 | 7.2 | 100.4 | 7.4 | 100.5 | 7.6 |
| 6.0 | 100.5 | 8.7 | 100.5 | 8.9 | 100.5 | 9.2 |
| 7.0 | 100.5 | 10.1 | 100.5 | 10.3 | 100.5 | 10.7 |
| 8.0 | 100.5 | 11.6 | 100.5 | 11.8 | 100.5 | 12.2 |
| 9.0 | 100.5 | 13.0 | 100.5 | 13.3 | 100.5 | 13.8 |
| 10.0 | 100.5 | 14.4 | 100.5 | 14.8 | 100.5 | 15.3 |
| 11.0 | 100.5 | 15.9 | 100.5 | 16.2 | 100.5 | 16.8 |
| 12.0 | 100.5 | 17.3 | 100.5 | 17.7 | 100.5 | 18.3 |

Mode 10

| Standardized wind speed VS(10m) [m/s] | Apparent sound power level | | | | | |
|------------------------------------------------|----------------------------|-------------|------------------|-------------|------------------|-------------|
| | hub height 105 m | | hub height 125 m | | hub height 164 m | |
| | LWA [dB(A)] | VH [m/s] | LWA [dB(A)] | VH [m/s] | LWA [dB(A)] | VH [m/s] |
| 3.0 | 94.0 | 4.3 | 94.0 | 4.4 | 94.0 | 4.6 |
| 4.0 | 95.0 | 5.8 | 95.4 | 5.9 | 96.1 | 6.1 |
| 5.0 | 99.8 | 7.2 | 99.9 | 7.4 | 100.0 | 7.6 |
| 6.0 | 100.0 | 8.7 | 100.0 | 8.9 | 100.0 | 9.2 |
| 7.0 | 100.0 | 10.1 | 100.0 | 10.3 | 100.0 | 10.7 |
| 8.0 | 100.0 | 11.6 | 100.0 | 11.8 | 100.0 | 12.2 |
| 9.0 | 100.0 | 13.0 | 100.0 | 13.3 | 100.0 | 13.8 |
| 10.0 | 100.0 | 14.4 | 100.0 | 14.8 | 100.0 | 15.3 |
| 11.0 | 100.0 | 15.9 | 100.0 | 16.2 | 100.0 | 16.8 |
| 12.0 | 100.0 | 17.3 | 100.0 | 17.7 | 100.0 | 18.3 |

Mode 11

| Standardized wind speed $V_{S(10m)}$ [m/s] | Apparent sound power level | | | | | |
|-----------------------------------------------------|----------------------------|-------------------------|----------------------------|-------------------------|----------------------------|-------------------------|
| | hub height 105 m | | hub height 125 m | | hub height 164 m | |
| | L _{WA} [dB(A)] | V _H [m/s] | L _{WA} [dB(A)] | V _H [m/s] | L _{WA} [dB(A)] | V _H [m/s] |
| 3.0 | 94.0 | 4.3 | 94.0 | 4.4 | 94.0 | 4.6 |
| 4.0 | 95.0 | 5.8 | 95.4 | 5.9 | 96.1 | 6.1 |
| 5.0 | 99.5 | 7.2 | 99.5 | 7.4 | 99.5 | 7.6 |
| 6.0 | 99.5 | 8.7 | 99.5 | 8.9 | 99.5 | 9.2 |
| 7.0 | 99.5 | 10.1 | 99.5 | 10.3 | 99.5 | 10.7 |
| 8.0 | 99.5 | 11.6 | 99.5 | 11.8 | 99.5 | 12.2 |
| 9.0 | 99.5 | 13.0 | 99.5 | 13.3 | 99.5 | 13.8 |
| 10.0 | 99.5 | 14.4 | 99.5 | 14.8 | 99.5 | 15.3 |
| 11.0 | 99.5 | 15.9 | 99.5 | 16.2 | 99.5 | 16.8 |
| 12.0 | 99.5 | 17.3 | 99.5 | 17.7 | 99.5 | 18.3 |

Mode 12

| Standardized wind speed $V_{S(10m)}$ [m/s] | Apparent sound power level | | | | | |
|-----------------------------------------------------|----------------------------|-------------------------|----------------------------|-------------------------|----------------------------|-------------------------|
| | hub height 105 m | | hub height 125 m | | hub height 164 m | |
| | L _{WA} [dB(A)] | V _H [m/s] | L _{WA} [dB(A)] | V _H [m/s] | L _{WA} [dB(A)] | V _H [m/s] |
| 3.0 | 94.0 | 4.3 | 94.0 | 4.4 | 94.0 | 4.6 |
| 4.0 | 95.0 | 5.8 | 95.4 | 5.9 | 96.1 | 6.1 |
| 5.0 | 99.0 | 7.2 | 99.0 | 7.4 | 99.0 | 7.6 |
| 6.0 | 99.0 | 8.7 | 99.0 | 8.9 | 99.0 | 9.2 |
| 7.0 | 99.0 | 10.1 | 99.0 | 10.3 | 99.0 | 10.7 |
| 8.0 | 99.0 | 11.6 | 99.0 | 11.8 | 99.0 | 12.2 |
| 9.0 | 99.0 | 13.0 | 99.0 | 13.3 | 99.0 | 13.8 |
| 10.0 | 99.0 | 14.4 | 99.0 | 14.8 | 99.0 | 15.3 |
| 11.0 | 99.0 | 15.9 | 99.0 | 16.2 | 99.0 | 16.8 |
| 12.0 | 99.0 | 17.3 | 99.0 | 17.7 | 99.0 | 18.3 |

Mode 13

| Standardized wind speed $V_{S(10m)}$ [m/s] | Apparent sound power level | | | | | |
|-----------------------------------------------------|----------------------------|-------------------------|----------------------------|-------------------------|----------------------------|-------------------------|
| | hub height 105 m | | hub height 125 m | | hub height 164 m | |
| | L _{WA} [dB(A)] | V _H [m/s] | L _{WA} [dB(A)] | V _H [m/s] | L _{WA} [dB(A)] | V _H [m/s] |
| 3.0 | 94.0 | 4.3 | 94.0 | 4.4 | 94.0 | 4.6 |
| 4.0 | 95.0 | 5.8 | 95.4 | 5.9 | 96.1 | 6.1 |
| 5.0 | 98.5 | 7.2 | 98.5 | 7.4 | 98.5 | 7.6 |
| 6.0 | 98.5 | 8.7 | 98.5 | 8.9 | 98.5 | 9.2 |
| 7.0 | 98.5 | 10.1 | 98.5 | 10.3 | 98.5 | 10.7 |
| 8.0 | 98.5 | 11.6 | 98.5 | 11.8 | 98.5 | 12.2 |
| 9.0 | 98.5 | 13.0 | 98.5 | 13.3 | 98.5 | 13.8 |
| 10.0 | 98.5 | 14.4 | 98.5 | 14.8 | 98.5 | 15.3 |
| 11.0 | 98.5 | 15.9 | 98.5 | 16.2 | 98.5 | 16.8 |
| 12.0 | 98.5 | 17.3 | 98.5 | 17.7 | 98.5 | 18.3 |

Mode 14

| Standardized wind speed $V_{S(10m)}$ [m/s] | Apparent sound power level | | | | | |
|-----------------------------------------------------|----------------------------|-------------------------|----------------------------|-------------------------|----------------------------|-------------------------|
| | hub height 105 m | | hub height 125 m | | hub height 164 m | |
| | L _{WA} [dB(A)] | V _H [m/s] | L _{WA} [dB(A)] | V _H [m/s] | L _{WA} [dB(A)] | V _H [m/s] |
| 3.0 | 94.0 | 4.3 | 94.0 | 4.4 | 94.0 | 4.6 |
| 4.0 | 95.0 | 5.8 | 95.4 | 5.9 | 96.1 | 6.1 |
| 5.0 | 98.0 | 7.2 | 98.0 | 7.4 | 98.0 | 7.6 |
| 6.0 | 98.0 | 8.7 | 98.0 | 8.9 | 98.0 | 9.2 |
| 7.0 | 98.0 | 10.1 | 98.0 | 10.3 | 98.0 | 10.7 |
| 8.0 | 98.0 | 11.6 | 98.0 | 11.8 | 98.0 | 12.2 |
| 9.0 | 98.0 | 13.0 | 98.0 | 13.3 | 98.0 | 13.8 |
| 10.0 | 98.0 | 14.4 | 98.0 | 14.8 | 98.0 | 15.3 |
| 11.0 | 98.0 | 15.9 | 98.0 | 16.2 | 98.0 | 16.8 |
| 12.0 | 98.0 | 17.3 | 98.0 | 17.7 | 98.0 | 18.3 |

Mode 15

| Standardized wind speed $V_{S(10m)}$ [m/s] | Apparent sound power level | | | | | |
|-----------------------------------------------------|----------------------------|-------------------------|----------------------------|-------------------------|----------------------------|-------------------------|
| | hub height 105 m | | hub height 125 m | | hub height 164 m | |
| | L _{WA} [dB(A)] | V _H [m/s] | L _{WA} [dB(A)] | V _H [m/s] | L _{WA} [dB(A)] | V _H [m/s] |
| 3.0 | 94.0 | 4.3 | 94.0 | 4.4 | 94.0 | 4.6 |
| 4.0 | 95.0 | 5.8 | 95.4 | 5.9 | 96.0 | 6.1 |
| 5.0 | 97.5 | 7.2 | 97.5 | 7.4 | 97.5 | 7.6 |
| 6.0 | 97.5 | 8.7 | 97.5 | 8.9 | 97.5 | 9.2 |
| 7.0 | 97.5 | 10.1 | 97.5 | 10.3 | 97.5 | 10.7 |
| 8.0 | 97.5 | 11.6 | 97.5 | 11.8 | 97.5 | 12.2 |
| 9.0 | 97.5 | 13.0 | 97.5 | 13.3 | 97.5 | 13.8 |
| 10.0 | 97.5 | 14.4 | 97.5 | 14.8 | 97.5 | 15.3 |
| 11.0 | 97.5 | 15.9 | 97.5 | 16.2 | 97.5 | 16.8 |
| 12.0 | 97.5 | 17.3 | 97.5 | 17.7 | 97.5 | 18.3 |

Mode 16

| Standardized wind speed $V_{S(10m)}$ [m/s] | Apparent sound power level | | | | | |
|-----------------------------------------------------|----------------------------|-------------------------|----------------------------|-------------------------|----------------------------|-------------------------|
| | hub height 105 m | | hub height 125 m | | hub height 164 m | |
| | L _{WA} [dB(A)] | V _H [m/s] | L _{WA} [dB(A)] | V _H [m/s] | L _{WA} [dB(A)] | V _H [m/s] |
| 3.0 | 94.0 | 4.3 | 94.0 | 4.4 | 94.0 | 4.6 |
| 4.0 | 95.0 | 5.8 | 95.4 | 5.9 | 95.9 | 6.1 |
| 5.0 | 97.0 | 7.2 | 97.0 | 7.4 | 97.0 | 7.6 |
| 6.0 | 97.0 | 8.7 | 97.0 | 8.9 | 97.0 | 9.2 |
| 7.0 | 97.0 | 10.1 | 97.0 | 10.3 | 97.0 | 10.7 |
| 8.0 | 97.0 | 11.6 | 97.0 | 11.8 | 97.0 | 12.2 |
| 9.0 | 97.0 | 13.0 | 97.0 | 13.3 | 97.0 | 13.8 |
| 10.0 | 97.0 | 14.4 | 97.0 | 14.8 | 97.0 | 15.3 |
| 11.0 | 97.0 | 15.9 | 97.0 | 16.2 | 97.0 | 16.8 |
| 12.0 | 97.0 | 17.3 | 97.0 | 17.7 | 97.0 | 18.3 |

Mode 17

| Standardized wind speed $V_{S(10m)}$ [m/s] | Apparent sound power level | | | | | |
|-----------------------------------------------------|----------------------------|-------------------------|----------------------------|-------------------------|----------------------------|-------------------------|
| | hub height 105 m | | hub height 125 m | | hub height 164 m | |
| | L _{WA} [dB(A)] | V _H [m/s] | L _{WA} [dB(A)] | V _H [m/s] | L _{WA} [dB(A)] | V _H [m/s] |
| 3.0 | 94.0 | 4.3 | 94.0 | 4.4 | 94.0 | 4.6 |
| 4.0 | 95.0 | 5.8 | 95.4 | 5.9 | 95.8 | 6.1 |
| 5.0 | 96.5 | 7.2 | 96.5 | 7.4 | 96.5 | 7.6 |
| 6.0 | 96.5 | 8.7 | 96.5 | 8.9 | 96.5 | 9.2 |
| 7.0 | 96.5 | 10.1 | 96.5 | 10.3 | 96.5 | 10.7 |
| 8.0 | 96.5 | 11.6 | 96.5 | 11.8 | 96.5 | 12.2 |
| 9.0 | 96.5 | 13.0 | 96.5 | 13.3 | 96.5 | 13.8 |
| 10.0 | 96.5 | 14.4 | 96.5 | 14.8 | 96.5 | 15.3 |
| 11.0 | 96.5 | 15.9 | 96.5 | 16.2 | 96.5 | 16.8 |
| 12.0 | 96.5 | 17.3 | 96.5 | 17.7 | 96.5 | 18.3 |

ANNEXE N°3 : LOGICIEL DE CALCULS

L'analyse des incertitudes et de la sensibilité des calculs est complexe à estimer car elles sont très dépendantes des données d'entrées (données géométriques et données acoustiques).

En tout état de cause, au stade des études prévisionnelles, le parti pris est de prendre l'ensemble des dispositions nécessaires pour s'affranchir au maximum des incertitudes en restant conservateur.

Ainsi, tout comme en phase de mesures et d'estimation du bruit ambiant préexistant, les hypothèses de calcul prises sont également plutôt à tendance majorante (le plus en faveur des riverains) :

- Hypothèses d'émission du constructeur : prise en compte des données garanties du constructeur qui sont généralement plus élevées que les données mesurées.
- Calculs avec occurrences météorologiques maximum (100 %) pour toutes les directions de vent.

La prise en compte de l'ensemble des hypothèses majorantes est un gage de sécurité pour le respect des émergences réglementaires.

Détails sur la modélisation avec le logiciel CadnaA

Les principales caractéristiques du logiciel que nous utilisons pour les projets éoliens sont les suivantes :

- Modélisation réelle du site en trois dimensions : topographie et présence des bâtiments.
- Modélisation des éoliennes par des sources ponctuelles à hauteur de la nacelle.
- Calcul de propagation selon la norme ISO 9613-2 (prise en compte de l'atténuation atmosphérique, de la nature du sol, des réflexions sur les bâtiments, des conditions météorologiques ...).
- Calculs en fréquence à partir des spectres fournis par le constructeur.

On trouvera ci-après une présentation du logiciel qui est adapté à la propagation de tous types de bruit dans l'environnement : routes, voies ferrées, sites industriels, équipements divers.



**CadnaA : une solution logicielle simple
d'utilisation, pour le calcul, l'évaluation,
la prévision et la présentation de
l'exposition acoustique et de l'impact
des polluants dans l'air**



CadnaA en bref

Que vous cherchiez à étudier l'impact sonore d'une zone industrielle, d'un centre commercial avec un parking, d'un réseau de routes et de voies ferrées ou même d'une ville entière avec un aéroport :

CadnaA répondra à tous vos besoins !

❖ Présentation interactive en ligne

Grâce à notre présentation interactive en ligne (entre 15 et 45 mn), découvrez les caractéristiques du logiciel CadnaA les plus utiles à vos besoins particuliers. Tout ce dont vous avez besoin est un ordinateur avec une connexion Internet et une liaison téléphonique.

Envoyez vos questions à l'adresse Info@dataakustik.com

❖ Manipulation intuitive

Travaillez dans une interface claire et bien ordonnée pour des calculs simples, tout en bénéficiant des possibilités les plus sophistiquées pour la manipulation de vos données lorsque l'analyse devient plus complexe.

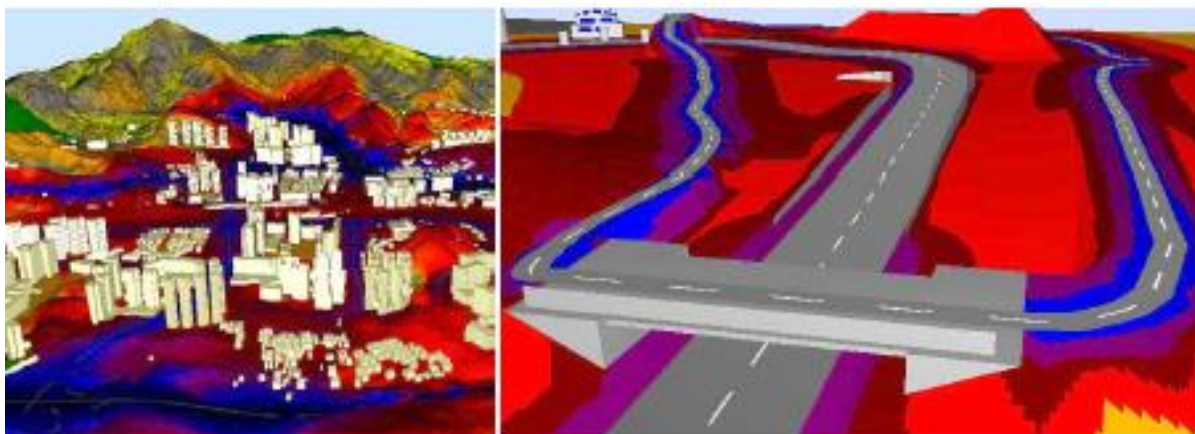
Concentrez-vous sur le projet, et non pas sur le logiciel. Toutes les caractéristiques concernant les données et les analyses sont simples et intuitives à manipuler.

❖ Productivité améliorée

Basculez en une seconde de l'affichage 2D au 3D. Vous conservez la main sur vos données quel que soit le type de représentation. Multipliez la vitesse de modélisation en utilisant différentes techniques de simplification et d'automatisation. Plusieurs techniques d'accélération des calculs vous permettent de traiter plus rapidement vos projets, et de réaliser ainsi un gain de temps appréciable.

❖ Analyse perfectionnée

Fondez votre analyse sur les normes nationales et internationales certifiées, intégrant les méthodes de calculs et les consignes réglementaires. Exécutez une analyse prédéfinie ou personnalisée de toutes les données contenues dans le modèle : évaluation des bâtiments, détection des zones sensibles, carte des conflits, etc.



Industrie

- Planification des mesures de réduction du bruit
- Sauvegarde des données d'émission dans des bibliothèques facilement accessibles
- Comparaison des différents scénarios avec variantes
- Vérification de votre modèle en utilisant les possibilités sophistiquées de visualisation en 3D
- Calcul de la propagation sonore extérieure en fonction des sources sonores situées à l'intérieur des bâtiments
- Echange de données avec le logiciel de calcul des bruits intérieurs Bastian™
- Calcul d'incertitudes avec écarts types pour l'émission et la propagation

Route et voie ferrée

- Comparaison entre différents scénarios de planification
- Optimisation automatique des barrières acoustiques situées à côté d'une rue ou d'une voie ferrée
- Visualisation des scénarios de réduction de bruit et simulation d'ambiance sonore (auralisation)
- Gestion efficace des projets, visualisés sous forme d'arborescence claire avec leurs variantes
- Croisement automatique des données Objets avec un modèle numérique de terrain
- Vérification de modèle en visualisant de tous les trajets de propagation

Cartographie du bruit

- Accélération du temps de calcul à l'aide de calculs distribués et de traitements multi-processeurs
- Utilisation de toute la capacité RAM disponible avec la technologie 64 bits
- Fusion efficace des différents types de données à l'aide de plus de 30 formats d'importation différents
- Accès aux objets à et substitution tous les attributs d'objet directement dans l'affichage 3D
- Analyse de modèle à l'aide des différentes techniques d'évaluation acoustique
- Accélération des calculs par techniques d'optimisation incluant un contrôle de la précision des résultats selon les normes Qualité appropriées
- Traitement des domaines étendus bénéficiant du plus haut niveau de détail (finesse de description), sans perdre l'avantage de la structure du projet (clarté et simplicité).

Système expert industriel

(Option SET)

- Génération automatique du spectre de puissance acoustique en fonction des caractéristiques techniques de la source (ex. puissance électrique en kW, débit volumétrique en m³/h, vitesse de rotation en tr/min)
- Travail simplifié grâce à l'utilisation de 150 modules prédéfinis pour les sources sonores les plus courantes, comme des moteurs électriques et des moteurs à combustion, des pompes, des ventilateurs, des tours de refroidissement, des boîtes de vitesses, etc.
- Modélisation des systèmes complexes, notamment des transmissions, en combinant plusieurs sources (ex. ventilateur avec deux conduits connectés).

Bruit des avions

(Option FLG)

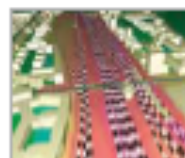
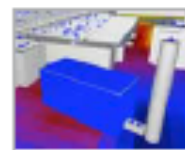
Calcul du bruit émis par les aéroports civils et militaires en fonction des méthodes de calcul AzB 2008, AzB (1975), ECAC Doc.29 ou DIN 45684-1

- Recours aux procédures les plus pertinentes pour l'évaluation acoustique des avions aux niveaux européen et international
- Evaluation de l'exposition acoustique globale incluant le bruit routier, celui des voies ferrées et des avions
- Utilisation des données radar et de classification des groupes en fonction du code OACI pour calculer le bruit des avions

Pollution de l'air

(Option APL)

- Calcul, évaluation et présentation de la répartition des polluants dans l'air selon le modèle lagrangien de dispersion de particules ALSTAL2000 (d'autres modèles sont en cours d'intégration)
- Evaluation des mesures dans le contexte des plans d'atténuation du bruit et de la qualité de l'air
- La simplicité et la puissance de calcul offertes par CadnaA s'appliquent également à la modélisation de la répartition des polluants dans l'air
- Tous les formats d'importation de données sont disponibles sans frais supplémentaires



Version démo gratuite

Visitez le site

www.datibonusik.com



Améliorez votre compréhension grâce à nos tutoriaux en ligne www.datibonusik.com

AECOM

ALSTOM

Audi

BASF
The Chemical Company

Göteborg
Association

ENERTEC

ABB

CSTB

DAEWOO E&E

DB

DB

Dorsch Gruppe

ExxonMobil

MÖLLER-BRM

GE Energy

GE

INLAND

THE LINDT GROUP

DAIMLER

ACCION

OMV

OMV


SIEMENS

Siemens

WATTENFALL

Bayer

WSP

Utilisez également notre logiciel Cadna  R* pour le calcul et l'évaluation des niveaux sonores dans les salles et les lieux de travail! Les fonctionnalités et la prise en main des logiciels sont pratiquement identiques, ce qui signifie une efficacité accrue pour vos analyses dans ces deux domaines d'expertise.

Services

Assistance

Nos experts sont à votre service. Si vous rencontrez un problème sur l'un de vos projets CadnaA, il vous suffit de nous appeler ou de nous envoyer votre fichier.

Séminaires

Nous proposons régulièrement des ateliers pour débutants ou pour experts confirmés, afin de vous accompagner dans l'utilisation de CadnaA au mieux de ses nombreuses possibilités.

Séminaires en ligne

Découvrez-en plus sur les derniers développements et des applications spécifiques sans même quitter votre bureau ! Nos ateliers en ligne sont un moyen efficace de vous tenir informés des dernières avancées technologiques implémentées dans le logiciel CadnaA



Plus d'informations sur les séminaires à l'adresse www.datakustik.com

CadnaA Standard

toutes les normes et réglementations disponibles

tous les types de bruit (industrie, route et voie ferrée)

CadnaA Basic

tous les types de bruit (industrie, route et voie ferrée)

Une norme ou une réglementation pour chaque type de bruit

CadnaA Modular

Un type de bruit

Une norme ou une réglementation pour le type de bruit choisi

09 12



DataKustik GmbH
Gewerbering 5
86926 Greifenberg
Allemagne

Téléphone : +49 8192 93308 0
info@datakustik.com
www.datakustik.com

Copyright : www.datakustik.com